

TESI DOCTORAL

Aprofitament i transformació de matèries primeres per a l'elaboració d'ornaments durant la prehistòria recent (5600-3400 cal. ane) al nord-est de la península Ibèrica.

MÒNICA OLIVA POVEDA

Director de Tesi: DR. MIQUEL MOLIST MONTAÑA

Programa de doctorat en Arqueologia Prehistòrica

Departament de Prehistòria

UNIVERSITAT AUTÒNOMA DE BARCELONA

2015

ANNEX 1. PROGRAMA EXPERIMENTAL

ANNEX 1. PROGRAMA EXPERIMENTAL

El mètode experimental es basa en l'observació i mesura d'un fenomen i les seves propietats per contrastar hipòtesis formulades (Reynolds, 1988). Els estudis experimentals estan considerats com una disciplina pròpia i no com una disciplina auxiliar. Dintre del procés experimental es distingeix la experiència en sí, que serien els coneixements adquirits per la pràctica i permet consolidar tot un seguit de paràmetres que aplicarem per conèixer les propietats de matèries, instruments, accions... D'una altra banda, l'experiment constitueix la prova empírica per determinar si una interpretació està fonamentada realment. L'obtenció de resultats similars durant el procés experimental exclou consegüentment l'atzar i estableix premisses o condicions preestablertes (Terradas, 1999).

La nostra intenció ha estat partir de la premissa que l'experimentació ens serveix per formular hipòtesi de caracterització d'uns processos de treball que contrastarem a partir del registre arqueològic. L'objectiu no ha estat fer una rèplica de certs objectes, sinó veure possibilitats i processos en l'elaboració d'aquests objectes i verificar hipòtesis amb les traces tecnològiques observades. Aquestes traces tecnològiques les anem reconeixent a mida que es van implementant tècniques i combinant matèries primeres. Alhora, la possibilitat de tenir els processos permet anar categoritzant les mostres arqueològiques. Partim inicialment del que s'ha anomenat experimentació replicativa, inicial o prospectiva (Gibaja, 2004) i és la que més s'acosta a l'objectiu de veure el comportament de certes matèries primeres, la utilitat o versatilitat de les "eines" emprades, la dificultat en realitzar una acció o obtenció de traces, o temps invertit final. Una vegada vam implementar anteriorment aquest mètode (Oliva, 2002; Oliva, 2007a) es van triar les variables a treballar en posteriors experiències experimentals. Això vol dir que teníem establertes unes variables individualitzades i ens centràvem en aquestes, tant per validar-les com per modificar-les en el cas que no resultessin efectives segons el que s'ha anomenat l'experimentació controlada (Gibaja, 2004).

Tot i així, sovint hi ha processos i traces que no hem pogut realitzar i que sí que trobem en la mostra arqueològica, per la dificultat pròpia de l'acció.

A nivell metodològic hem dissenyat una fitxa amb les categories que ens permetien contrastar resultats amb les traces tecnològiques arqueològiques. Una vegada realitzat l'experiment les peces es netejaven amb aigua, es deixaven assecar i s'utilitzava la lupa binocular per registrar les traces experimentals.

També cal incidir que, en antigues fases experimentals ja s'havien constatat alguns processos, com les perforacions rotatives directes amb estri i les perforacions rotatives concèntriques, i per

tant en el programa final ens hem volgut aproximar més als moments inicials de transformació de les peces, els acabats, facetats, etc...

L'experimentació es va dur a terme en diverses jornades en temps i espai (2002-2014), durant les quals es van anar posar en pràctica processos de 10 morfo-tipus d'ornament, 14 tècniques relacionades i dues matèries primeres.

A. CATEGORIES I VARIABLES DE L'EXPERIMENTACIÓ

A-1. MATÈRIES PRIMERES

1. Espècies malacològiques utilitzades: *Acanthocardia tuberculata*, *Cerastoderma glaucum*, *Glycymeris sp*, *Columbella rustica*, *Phalium saburon*
2. Carpologia : *Prunus avium*
3. Minerals : *talc* i *lignic/atzabeja*

A-2. EINES UTILITZADES I SUPORTS

- pressionador de banya de daina (*Dama Dama*)
- taladre de sílex-perforador
- percussors de sorrenca i quars blanc
- trepant de volant d'inèrcia o ballarina i trepant manual
- perforador de sílex
- un suport d'argila per fer-los servir de mode de fixació
- superfícies de pedra (microconglomerat, sorrenca i calcària)
- Lupa binocular per observar els tipus de traces resultants del procés experimental.

A.3- TÈCNIQUES IMPLEMENTADES

Incisions i direcció que es portava en relació a l'objecte

Fractura controlada

Pressió controlada i realització de ranurats

Poliment/Abrasió contra alguna superfície activa

Perforació i tipus d'orificis (simple, unipolar, Bipolar)

Percussió o colpejar amb algun útil

Serratge

Engrandiment de fractures o orificis

Realització d'osques

Realització de fractures
Realització de fissures
Moviments de rotació

- Temps de realització: les traces apareixen de forma proporcional al temps invertit en la producció de les mateixes. En el moment que s'ha estimat que les traces són ja presents en la peça, s'ha comptabilitzat la durada total.

Quan malgrat la inversió de temps o dins un temps prudencial en comparació amb d'altres experiments que contenen les mateixes variables, no s'ha aconseguit fer aparèixer les traces tecnològiques, estimem que els suports o eines no permeten assegurar una aproximació fidel a la hipòtesi plantejada.

B-1. CATEGORIES DE LES FITXES

1. Matèria primera. Tipus duresa, estat i espècie/classe...
2. Morfotipus i jaciment exemple
3. Enumeració/descripció de processos realitzats
4. Tècniques implementades:

Incisions

Fractura controlada

Pressió controlada i realització de ranurats

Poliment/Abrasió

Perforació i tipus d'orificis (simple, unipolar, bipolar)

Percussió

Serratge

Engrandiment de fractures o orificis

Realització d'osques

Realització de fractures

Realització de fissures

Moviments de rotació

DURADA EXPERIMENT.

B-2. TRACES OBSERVABLES

I. TRACES PROCESSOS ELABORACIÓ O PRODUCCIÓ. DESCRIPCIÓ.

Percussió

✓ Directa

✓ Indirecta

Serratge

Perforació

- ✓ Per percussió
- ✓ Per abrasió
- ✓ Per taladre o pressió controlada

a- Traces de les perforacions

- ✓ Estries concèntriques
- ✓ Estries obliqües
- ✓ Línies paral·leles

Poliment i Brunyit

- ✓ Ubicació del poliment
- ✓ Característiques del poliment

b- Traces d'acabats de la superfície

Poliments: Estries/línies verticals

Poliments: Estries/línies en totes direccions

Poliments: Estries/línies horitzontals

Poliments: Estries/ línies obliqües

c- Traces d'acabats dels contorns

Poliments: Estries/línies verticals

Poliments: Estries/línies en totes direccions

Poliments: Estries/línies horitzontals

Poliments: Estries/ línies obliqües

d- Traces d'acabats generals

Brunyit/Abrasió

Alteració tèrmica

Implementació de substàncies i/o resines o consolidants

e- Traces de les decoracions

- . Acanalats
- . Incisions
- . Impressions
- . Estriats
- . Ranurats
- . Pigmentacions
- . Aplics-insercions
- . Altres

B-3. FITXES EXPERIMENTALS

Fitxa 1

Tria matèria primera segons morfotipus d'ornament a reproduir. MALACOFAUNA MARINA. Matèria primera dura. Valves d'*Acanthocardia tuberculata* i *Cerastoderma glaucum*

Morfotipus de exemple i objectiu: Perforació en cos de valva de *Cardium* sp per abrasió i per fractura directa.

Enumeració/descripció de processos realitzats.

- Perforació per abrasió directa contra superfície de microconglomerat i calcària combinat amb perforació per fractura directa intencional i rotació directa amb estri lític (trepan manual de sílex).
- Es van utilitzar tres valves donat que en el procés de fractura directa del cos per percussió, la pressió exercida trencava per la meitat la valva, deixant invalidat el procés. Una vegada es va originar una primera fractura-orifici, es va procedir a engrandir-lo per rotació directa manual amb un perforador o taladre de sílex amb punta.

Tècniques implementades

Abrasió de plànol de perforació previ

Fractura controlada

Rotació

Perforacions: 1. Abrasió i 2. Directa rotativa concèntrica

Orificis: unipolar

DURADA EXPERIMENT : 20 minuts

TRACES OBSERVABLES

- Fractures: punts de fractura en el plànol de perforació en la valva d'*Acanthocardia*.
- Perforació per pressió controlada. Traces de les perforacions: estries irregulars en l'orifici en la valva d'*Acanthocardia*; línies paral·leles en plànol abrasiu al voltant de la perforació en *Cerastoderma*.
- Traces d'acabats de la superfície: Poliments: Estries/línies en totes direccions al voltant de l'umbo.

CONCLUSIONS I COMPARATIVA AMB LES PECES ARQUEOLÒGIQUES

Les traces que veiem en les valves experimentals són similars a les que s'han pogut observar en exemplars arqueològics, com a l'exemplar de La Draga D03-JF87-15, l'exemplar de Mas d'en Boixos MB-299-4-11a, etc...

Un gra d'abradió de dimensions mitjanes o grans produeix una perforació més irregular, amb fractures al contorn de l'orifici.

Un gra d'abradió més fi produeix un rebaix controlat i crea un plànol d'abradió uniforme i un orifici que es va engrandint a mida que es realitza més abradió.

En tots els exemplars s'observa en més o menys grau la presència d'una abradió prèvia que ha fet perdre part de les costelles de la valva, les que estan més properes a l'orifici de suspensió i les irregularitats del contorn produïdes pels punts d'impacte i la rotació amb estri lític.

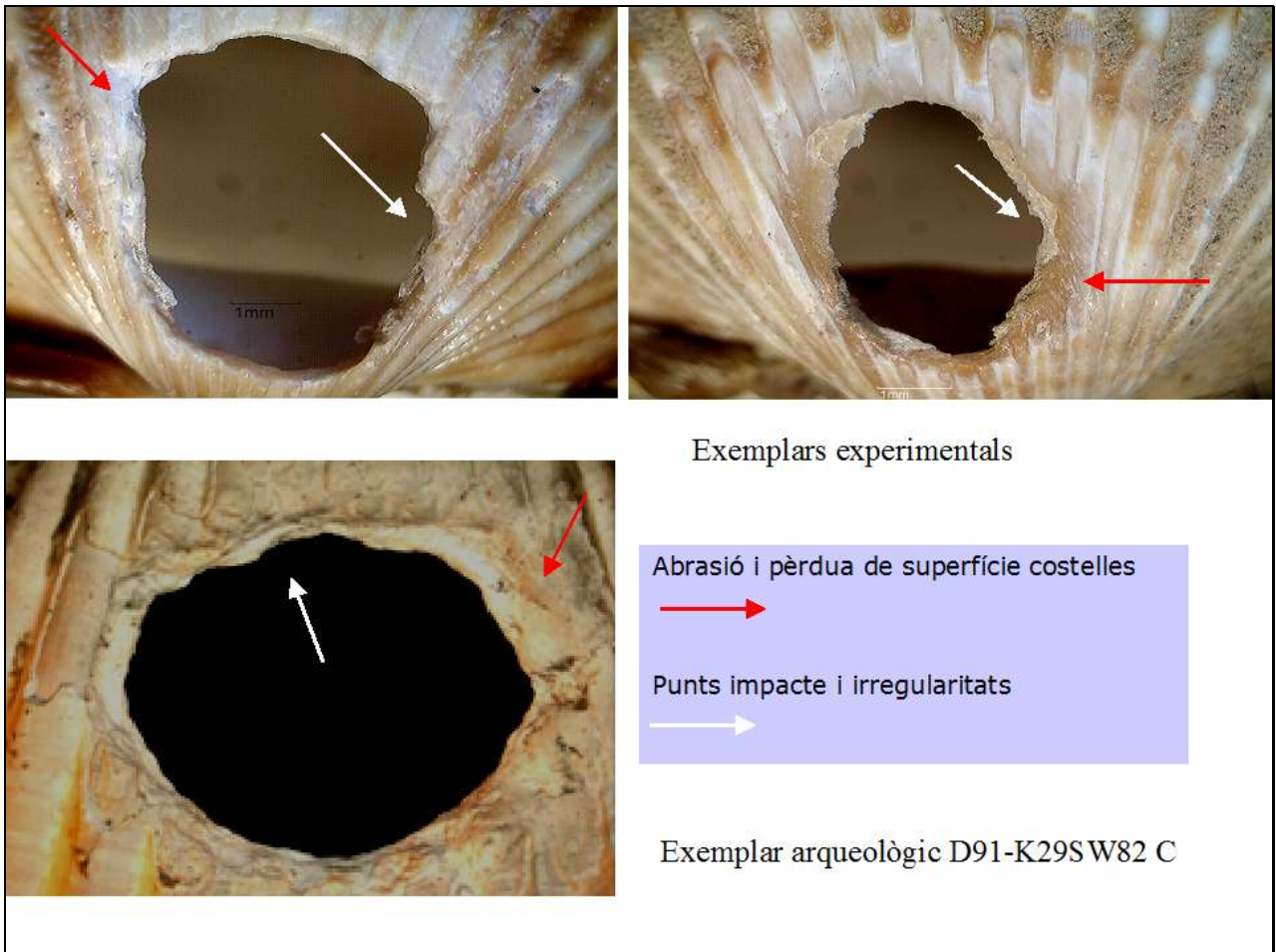


Figura 370. (a dalt, esquerra): *Acanthocardia tuberculata* amb perforació sobre cos. Plànol de perforació previ abradió contra microconglomerat 10x. Perforació resultant per perforació directa. (a dalt, dreta): *Cerastoderma glaucum*. Perforació sobre cos de la valva. Abrasió del plànol poliment sobre calcària 10x. Perforació resultant per abradió directa. (a baix).

Fitxa 2

Tria selecció matèria primera segons morfotipus d'ornament a reproduir

MALACOFUNA MARINA. Matèria primera dura. *Glycymeris bimaculata*.

Morfotipus de Jaciment exemple: Braçalet articulat. Serra del mas Bonet, Mas d'en Boixos.

Enumeració/descripció de processos realitzats.

La superfície de la valva de *Glycymeris* es poleix abrasivament per facilitar la percussió directa una vegada aquesta superfície està prou rebaixada, produint fractura al centre o punt mig de la valva; seguidament es continua fracturant controladament amb un estri lític colpejat per percussió, fins aconseguir un diàmetre intern prou ajustat al desitjat circumdant a l'orifici. S'ha produït una fractura i només tenim la valva paleal com a fragment a polir de forma abrasiva per abrasió directa contra superfície, per tant, ara només ens queda la possibilitat de realitzar la meitat d'un braçalet articulat. Realitzem perforació en un extrem per perforació rotativa concèntrica. Posteriorment es produeix poliment dels contorns externs i interns amb un estri lític manual de gran duresa de superfície erosiva (pedra, preferentment de granit, conglomerat...).



Figura 371. Detall de procés d'erosió de la superfície de la valva per afavorir la fractura central controlada. Fracturació i intent de donar forma arciforme per percussió de la vora paleal. Poliment per abrasió dels contorns i superfície de la vora paleal i preparació per perforar els extrems.

Tècniques implementades

Fractura controlada
Percussió
Poliment/Abrasió
Engrandiment

DURADA EXPERIMENT : 90 minuts.

TRACES OBSERVABLES

Percussió directa del cos de la valva amb un percussor
Perforació per taladre. Traces de les perforacions: Estries concèntriques rotatives
Poliment abrasiu dels contorns i superfície.
Traces d'acabats de la superfície
Poliments: Estries/línies en totes direccions
Poliments: Estries/línies horitzontals/verticals
Traces d'acabats dels contorns
Poliments: Estries/línies verticals
Poliments: Estries/línies en totes direccions

CONCLUSIONS I COMPARATIVA AMB LES PECES ARQUEOLÒGIQUES

En el nostre cas es va fracturar la valva, deixant com a zona útil una vora paleal prou gran com per intentar reproduir una part de braçalet articulats. Aquest tipus de procés tecnològic requereix de destresa doncs i certa força manual per tal de poder treballar la petxina, ja que la valva de *Glycymeris* és gruixuda i d'extrema duresa. Altres treballs apunten al mètode de producció, sense que puguem saber dades del temps invertit en la seva realització (Castany, 2009). És probable, donades les dificultats subjacents a la tècnica que comporta fractura reiterada, que alguns braçalets articulats es realitzessin a partir de la fractura accidental de la valva inicial en intentar aconseguir l'anella central. En alguns jaciments conviuen braçalets sencers i braçalets articulats com els de *Barranc de Fabra* (Amposta).



Figura 372. Meitats de braçalets articulats del jaciment de Barranc de Fabra.

Fitxa 3

Tria selecció matèria primera segons morfotipus d'ornament a reproduir

MALACOFUNA MARINA. Matèria primera dura. *Columbella rustica*.

Morfotipus de Jaciment exemple: Gasteròpodes perforats amb abrasió d'àpex.

Enumeració/descripció de processos realitzats

Poliment abrasiu de l'àpex contra una superfície tipus molí de calcària i molí de microconglomerat. Necessita afegir-se aigua durant l'abrasió contra calcària.

Tècniques implementades

Abrasió directa de l'àpex

DURADA EXPERIMENT : abrasió (5 minuts en microconglomerat i 10 minuts en calcària).

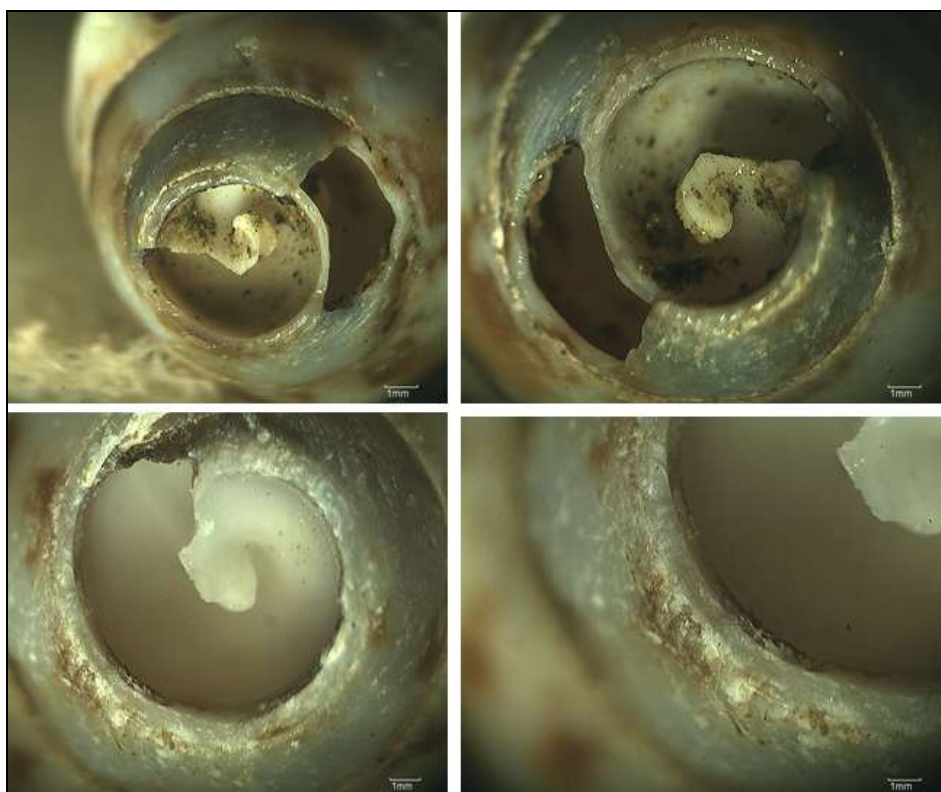


Figura 373. (a dalt) *Columbella* experimental contra molí calcària a 10X i a 15X; (a baix) *Columbella* experimental contra molí microconglomerat a 20X i a 30X.

TRACES OBSERVABLES

Abrasió + pressió controlada.

Traces de l'abrasió àpex: Estries/ línies obliqües regulars en calcària i irregulars en microconglomerats i pàtina lluent de fregament.

CONCLUSIONS I COMPARATIVA AMB LES PECES ARQUEOLÒGIQUES

Les abrasions de l'apex són més efectives per mitjà d'abració contra una superfície de gra mitjà o gruixut. Deixa però estries molt més marcades i una erosió significativa al voltant de la darrera volta de l'escapa.

Les abrasions contra superfícies de gra fi són més regulars i no deixen traces de fregament al voltant de l'escapa o cos, només a la zona abracionada. La major part dels exemplars observats correspondrien a aquesta metodologia d'abració.

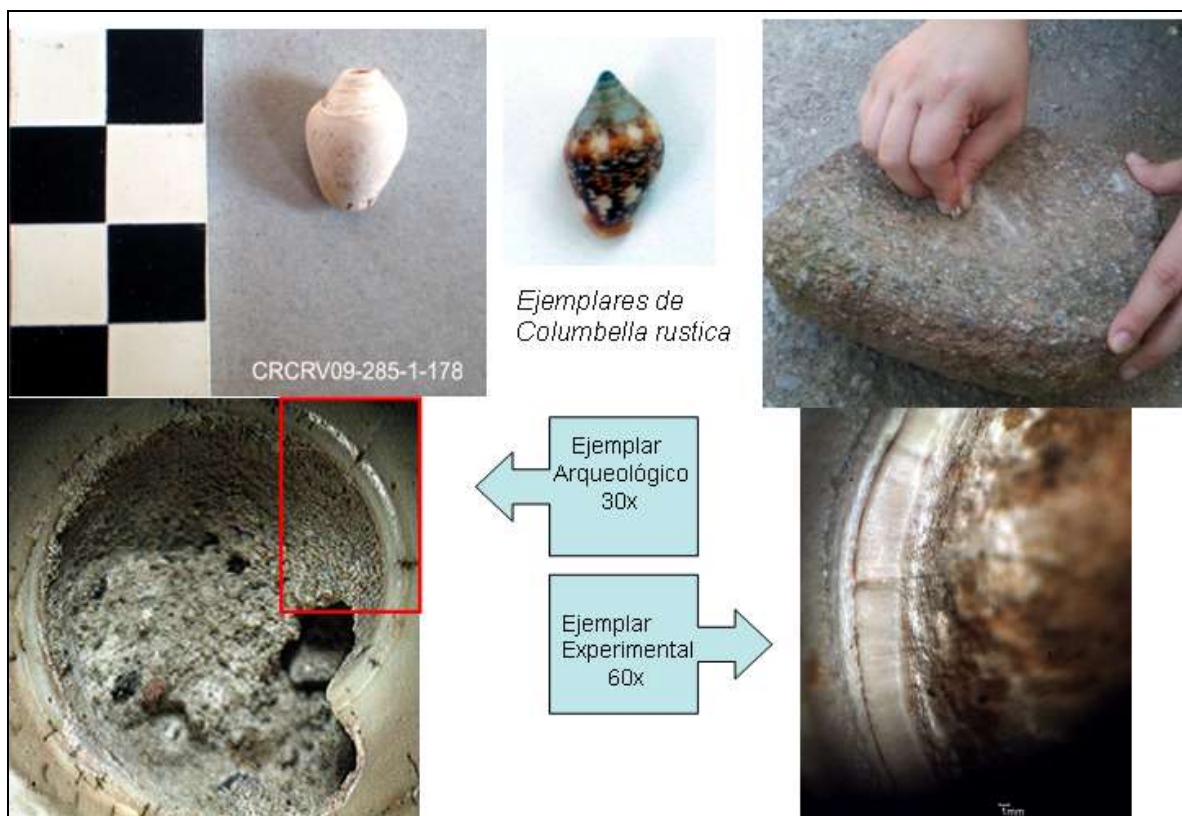


Figura 374. Detall procés comparatiu de traces amb un exemplar.

Fitxa 4

Tria selecció matèria primera segons morfotipus d'ornament a reproduir

MALACOFUNA MARINA. Matèria primera dura. *Glycymeris violascens*.

Morfotipus de Jaciment exemple: Poliment de fragment petxina per pre-forma de dena-penjoll de Glycymeris.

Enumeració/descripció de processos realitzats

Poliment abrasiu contra sorrenca

Tècniques implementades: Poliment/Abrasió

DURADA EXPERIMENT : 45 minuts

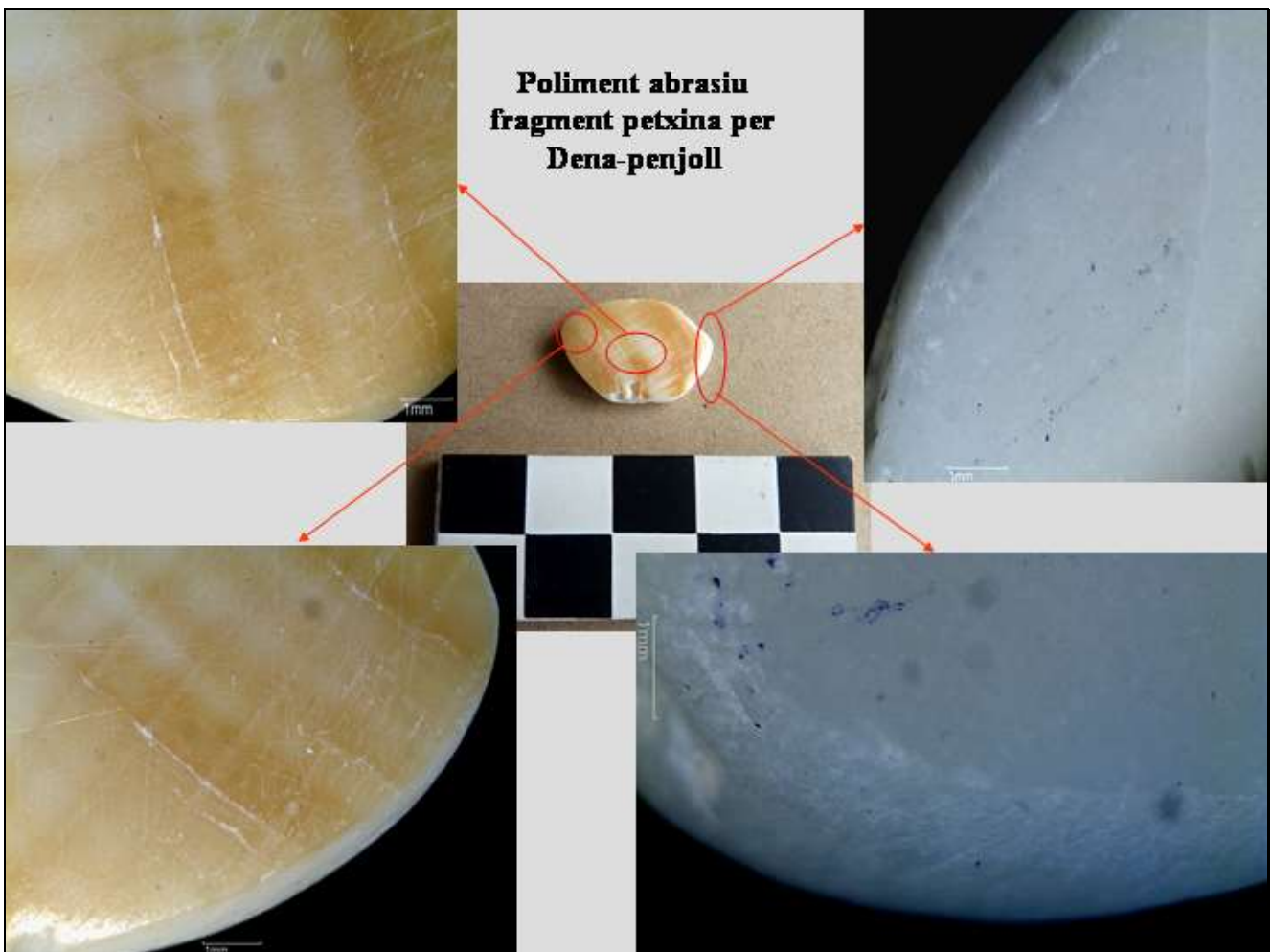


Figura 375. Fragment experimental a mig polir per donar forma de dena-penjoll i detall de les traces deixades en superfície i contorns així com els diferents plànols facetats.

TRACES OBSERVABLES

Poliment i Brunyit

Traces d'acabats de la superfície: Poliments: Estries/línies en totes direccions

Traces d'acabats dels contorns: Estries/línies verticals i estries/línies en totes direccions

CONCLUSIONS I COMPARATIVA AMB LES PECES ARQUEOLÒGIQUES

El procés de fabricació de les denes-penjolls es realitzaria per poliment abrasiu de els superfícies. Donat el temps invertit en treballar les valves de *Glycymeris*, establim que fer-ho també amb les de *Spondylus* seria també difícil i amb una inversió considerable. S'hauria de sumar la realització d'un plànol de perforació central per rebaix transversal i una perforació central. La inversió de temps i fortalesa mecànica necessària ens indica un treball artesà segurament força valorat.



Figura 376. Contorns polits en denes-penjoll d'exemplars de La Draga D13-6254) i un d'experimental.



Figura 377. Plànols d'abrasió en denes-penjoll d'exemplars de La Draga D13-6936) i un d'experimental.

Fitxa 5

Tria selecció matèria primera segons morfotipus d'ornament a reproduir

CARPOLOGIA. Matèria primera tova. Pinyol de cirera (*Prunus avium*)

Morfotipus de Jaciment exemple: Denes de collar. La Draga

Enumeració/descripció de processos realitzats

Es preparen pinyols de cirera actual (descarnament, assecat) i se separen d'una banda per una primera mostra. La segona mostra queda exposada al foc durant més de 10 minuts. Es procedeix a realitzar de forma manual, amb la subjecció del pinyol per dos dits la perforació per abrasió en la mostra 1 contra una pedra de microconglomerat. S'afegeix sorra i aigua a la superfície activa. El pinyol de la mostra 1 mostra plànol d'abrasió molt pronunciat.

Tècniques implementades:

Abrasió pera perforació: orifici simple unipolar

Alteració tèrmica

DURADA EXPERIMENT :

Mostra 1 : preparació : 72 hores ; perforació : 10 minuts

Mostra 2 : preparació : 72 hores ; termoalteració i fractura en el moment en que es perforen



Figura 378. Detall dels pinyols, exposició al foc de la mostra2, perforació per abrasió dels pinyols no termoalterats i comparació dels pinyols exposats a foc i dels arqueològics.

TRACES OBSERVABLES

Perforació per abrasió en mostra 1. Línies paral·leles.

Alteració tèrmica en mostra 2. Fractura.

CONCLUSIONS I COMPARATIVA AMB LES PECES ARQUEOLÒGIQUES

A partir d'aquesta experiència, podem inferir que els pinyols perforats localitzats a La Draga molt possiblement es van perforar una vegada estaven assecats i descarnats.

Els exemplars que presenten exposició tèrmica es varen perforar prèviament a la seva exposició a foc, doncs la seva pèrdua de volum, massa i deshidratació faria que la fragilitat comportés fractura, tali com ha passat en el procés experimental, on ha estat impossible aconseguir una perforació donada la fragilitat de la grana carbonitzada.



Figura 379. A l'esquerra, grana experimental, traces en plànol abrasiu i perforació; a la dreta, traces en granes de La Draga (D05-19 i D05-20).

Fitxa 6

Tria selecció matèria primera segons morfotipus d'ornament a reproduir

MINERAL. Matèria primera tova. Lignit, atzabeja i talc (Sanavastre, Cerdanya).

Morfotipus de Jaciment exemple : Denes circulars, poliment i perforació. Sant Pau del Camp

Enumeració/descripció de processos realitzats

Poliment del fragment o pre-forma i perforació rotativa concèntrica. Es va afegir una mica d'aigua durant el procés.

En els casos d'atzabeja i talc durant el poliment es van observar arrodoniments del contorn i poliment de les superfícies. Els fragments de lignit eren més fràgils. En aquests exemplars es van realitzar perforacions unipolars.

Tècniques implementades:

Abrasió

Perforació unipolar rotativa

DURADA EXPERIMENT :

- Pre-forma de lignit : poliment de 10 minuts cadascuna contra pedra de microconglomerat abans de la fracturació de les dues pre-formes abans d'acabar la perforació. Mala qualitat del lignit ?
- Pre-forma de talc : poliment contra pedra de microconglomerat i perforació, 20 minuts. Perforació de 1mm de diàmetre : 1 minut ; perforació de 2mm de diàmetre : 5 minuts.
- Pre-forma d'atzabeja : poliment de 7 minuts contra pedra de microconglomerat i perforació de 1mm de diàmetre en 5 minuts.



Figura 380. Peces polides per abrasió i perforació central rotativa concèntrica.

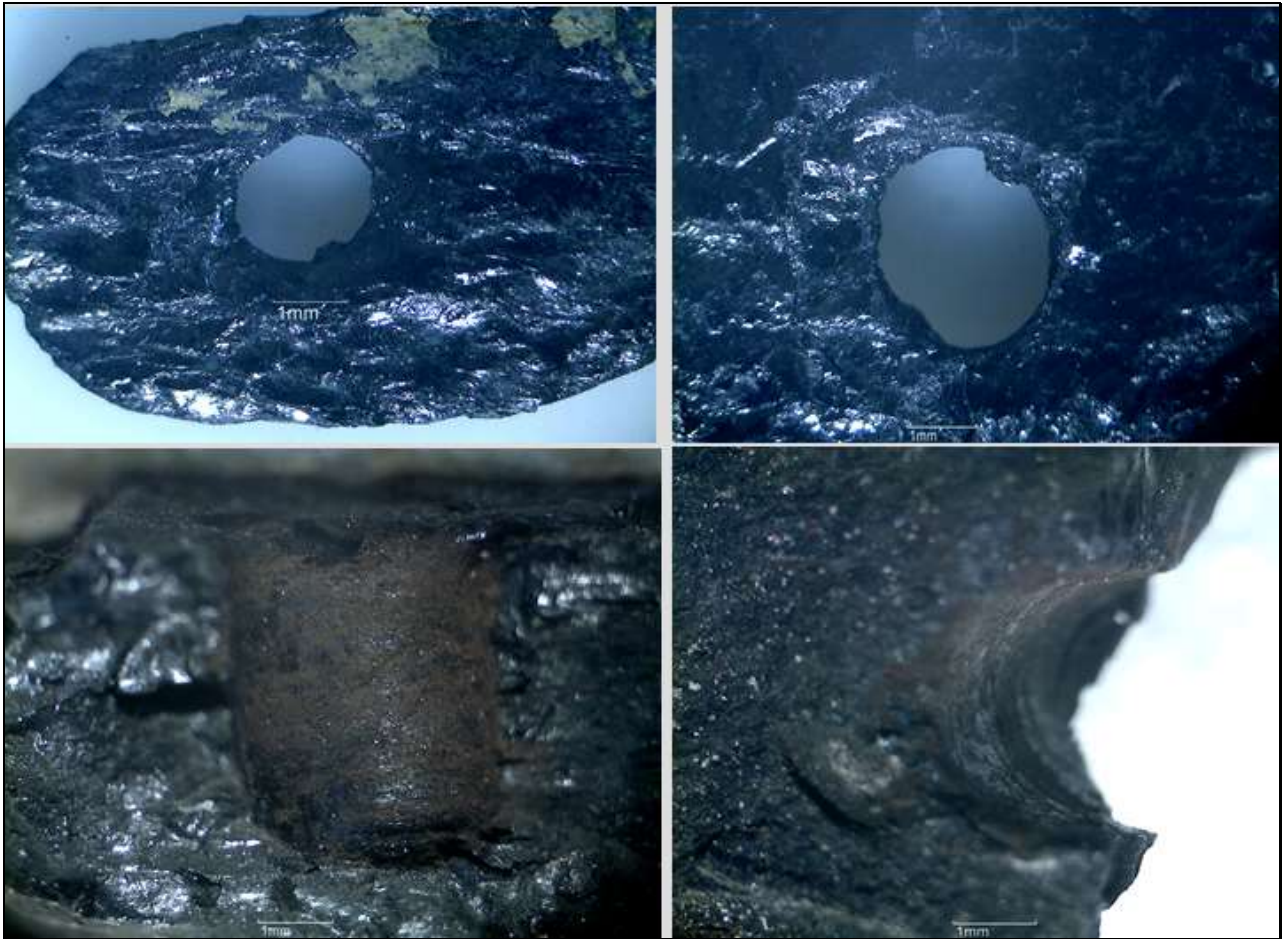


Figura 381. Superfícies i perforació en dena d'atzabeja (a dalt); traces de la perforació rotativa concèntrica en una de les peces trencades de lignit.

TRACES OBSERVABLES

Perforació per taladre en els tres casos. Estries concèntriques rotatives en orificis de perforació.

Poliment i Brunyit de superfícies i contorns

Traces d'acabats de la superfície

Poliments: Estries/línies en totes direccions

Poliments: Estries/línies horitzontals

Poliments: Estries/ línies obliqües

Traces d'acabats dels contorns

Poliments: Estries/línies verticals

Poliments: Estries/línies en totes direccions

Poliments: Estries/línies horitzontals

Poliments: Estries/ línies obliqües



Figura 382. Dena experimental de talc, perforació rotativa concèntrica amb traces del trepant i les deixades en forma paral·lela pel poliment contra superfície de microconglomerat.

CONCLUSIONS I COMPARATIVA AMB LES PECES ARQUEOLÒGIQUES

El lignit no ha permès verificar processos, doncs la mostra experimental era fràgil i no permetia realitzar una perforació sencera, sí poliment.

L'atzabeja, un estadi més fòssil del carbó mineral que el lignit ja era capaç de suportar la pressió del poliment i la perforació. El seu comportament era millor.

Les traces de poliment en el fragment de talc polit són amb irregularitats i melladures de abrasió. El procés d'abrasió contra una superfície de gra mitjà o gruixut deixa traces semblants a les que es poden veure en denes arqueològiques de variscita, per tant, molt comunes en minerals tous. D'entre les traces similars trobem les realitzades de forma unidireccional i que queden com a línies paral·leles en la superfície o els contorns de les peces, de forma marcada i possibles de identificar

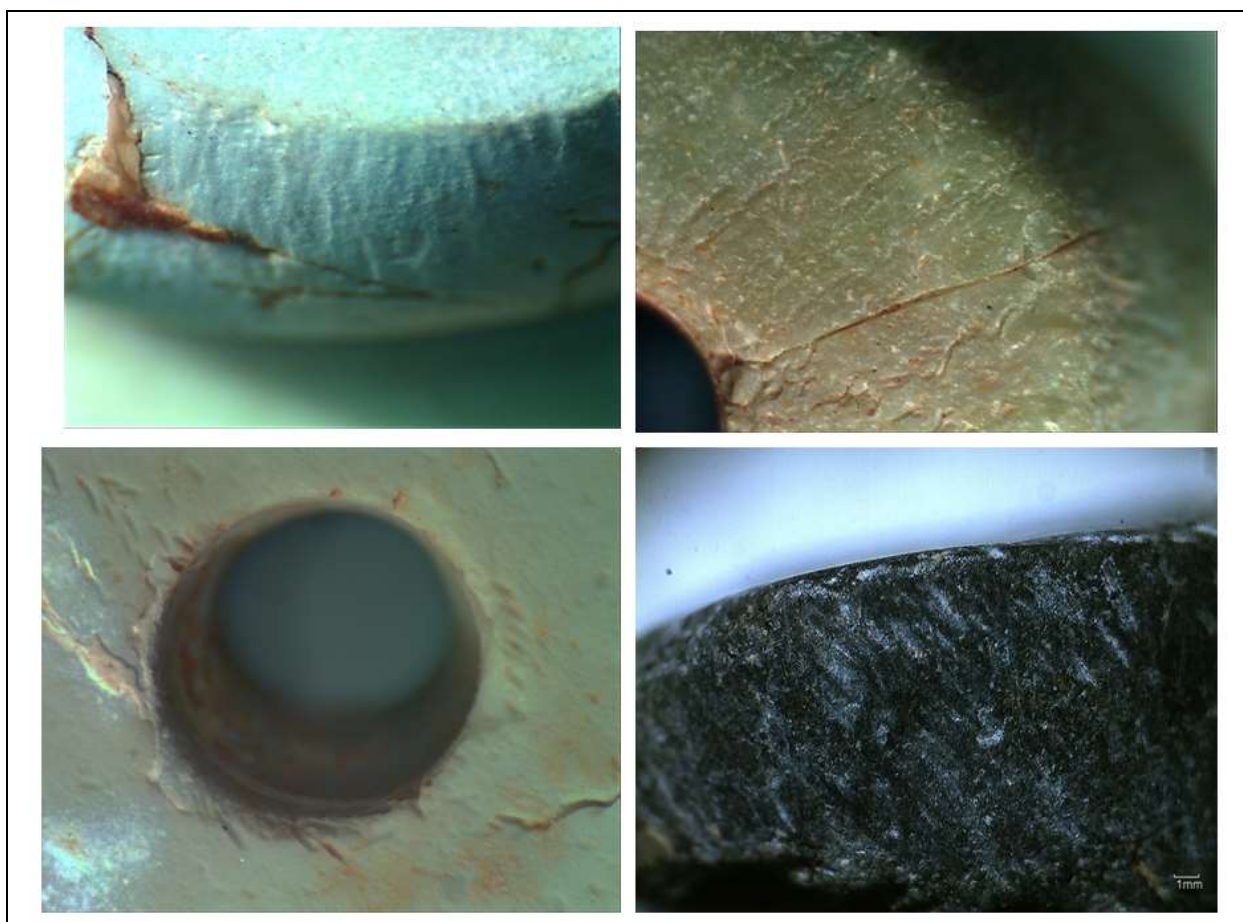


Figura 383. Denes arqueològiques de La Gardunya i Bòbila Madurell BM-2-81, amb traces paral·leles per abrasió i orifici amb traces del trepant en la vora del contorn de l'orifici.

No trobem possibilitats de realització de denes de petites dimensions per nosaltres (exemple en jaciment de La Gardunya, d'entre 2,9mm i 4,3mm), donat que el poliment amb l'únic suport de dos dits per subjectar-lo, ens sembla molt dificultós per a una persona adulta. Sí que podria ser versemblant per a un infantil. El procés de perforació es duria terme abans del poliment final i abans de les dimensions finals.

S'ha proposat en anteriors treballs la possibilitat de seriació en la producció de denes de petites dimensions amb un motlle de sorrenca amb ranura, on s'engarsarien les denes a mig polir ja perforades, i s'anirien fent rodar de forma alternant i longitudinal (Yerkes, 1993; Ricou i Esnard, 2000) cosa que afavoriria la homogeneïtat de les peces.

Fitxa 7

Tria selecció matèria primera segons morfotipus d'ornament a reproduir

MALACOFAUNA MARINA. Matèria primera dura. *Glycymeris sp.*

Morfotipus de Jaciment exemple *Glycymeris sp* amb perforació apical.

Enumeració/descripció de processos realitzats.

Abrasió contra una sorrenca dura de la zona de l'umbó fins aconseguir la perforació per rebaix de la zona apical.

Tècniques implementades

Poliment/Abrasió

Perforació irregular i plànol d'abrasió

Orificis: orifici simple unipolar

DURADA EXPERIMENT : 5 minuts

TRACES OBSERVABLES

Perforació per abrasió. Estries verticals unidireccionals.

CONCLUSIONS I COMPARATIVA AMB LES PECES ARQUEOLÒGIQUES

L'experimentació ens ha demostrat que el procés de fabricació, el poliment per abrasió per tal de produir la perforació, és molt factible per mitjà d'aquesta tècnica i amb aquestes eines així com per la inversió de temps.



Figura 384. (a dalt), Valva de *Glycymeris sp.*, amb perforació al cos de litòfag i perforació per abrasió de l'umbó; (a baix esquerra), valva perforada de Cova del Frare CF-X21-2-115; (a baix dreta, valva perforada de Can Filuà CF1-1-88.

Fitxa 8

Tria selecció matèria primera segons morfotipus d'ornament a reproduir

MALACOFAUNA MARINA. Matèria primera dura. *Dentalium vulgare*.

Morfotipus de Jaciment exemple. *Dentalium* amb fractura als extrems

Enumeració/descripció de processos realitzats. L'eina utilitzada va ser una sorrenca de gra dur com a suport del poliment. La tècnica va ser la fracturació de l'extrem proximal de forma intencional i controladament contra la superfície de la pedra sorrenca.

Tècniques implementades

Pressió controlada

Fractures

DURADA EXPERIMENT : 1 minut

TRACES OBSERVABLES

Fractura directa.

Traces irregularitats del contorn de l'orifici.

CONCLUSIONS I COMPARATIVA AMB LES PECES ARQUEOLÒGIQUES

Força exemplars arqueològics estudiats presenten aquest tipus de fractura en un dels extrems. La majoria han patit igualment una regularització per abrasió posterior i desgast.

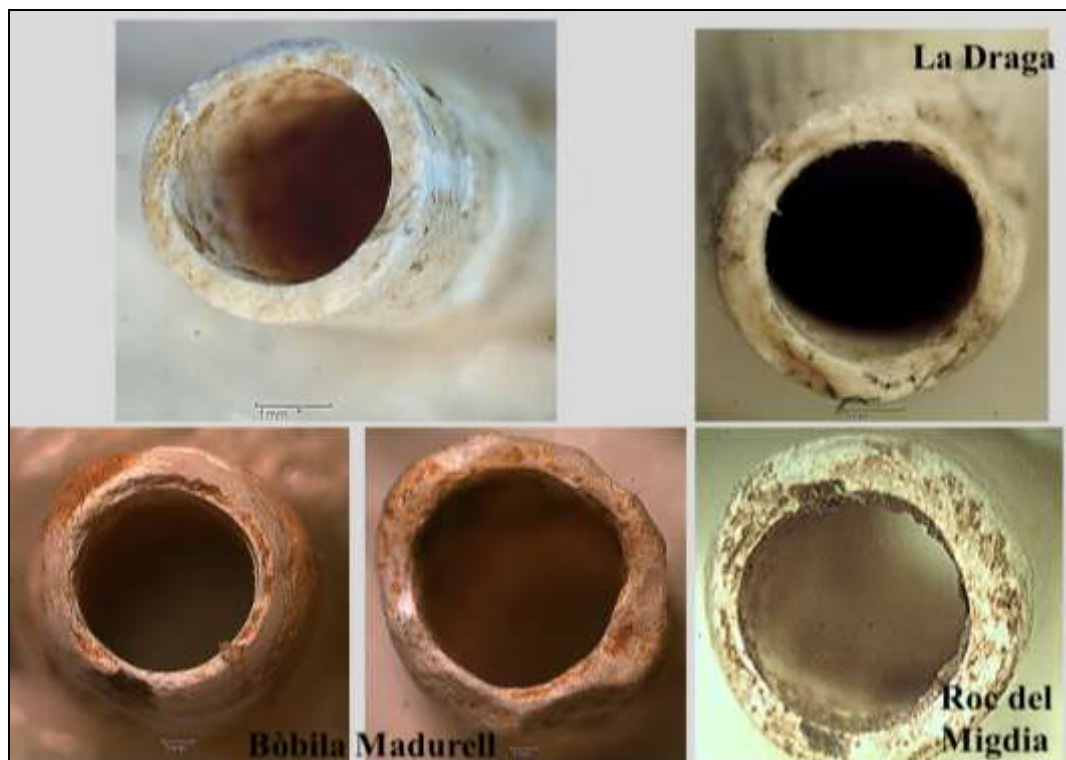


Figura 385. Exempler experimental amb fractura en l'extrem envoltat de *dentalium* de La Draga (D11-VII-1830), Bòbila Madurell (BM-SH3-18, BM-SH3-34) i Roc del Migdia (RM91-K17-260).

Fitxa 9

Tria selecció matèria primera segons morfotipus d'ornament a reproduir

MALACOFAUNA MARINA. Matèria primera dura. *Dentalium vulgare*.

Morfotipus de Jaciment exemple. *Dentalium* amb poliment per abrasió dels dos extrems

Enumeració/descripció de processos realitzats

La tècnica utilitzada va ser la de fregar els dos extrems de la *dentalium* contra la superfície de la pedra sorrenca fins aconseguir un arrodoniment dels mateixos.

Tècniques implementades

Poliment/Abrasió

DURADA EXPERIMENT : 2 minuts

TRACES OBSERVABLES

Poliment i Brunyit. Traces del poliment d'abrasió horitzontal paral·lela.

CONCLUSIONS I COMPARATIVA AMB LES PECES ARQUEOLÒGIQUES

La majoria dels exemplars arqueològics estudiats presenten aquest tipus de fractura en un dels extrems o en els dos.



Figura 386. *Dentalium* experimental amb extrem abrasió i al seu voltant exemplars de: a dalt, Can Filuà CF-X22-1-2, a la dreta en columna, exemplars de Bòbila Madurell BM-SH3-20 i BM-SH3-38.

Fitxa 10

Tria selecció matèria primera segons morfotipus d'ornament a reproduir

MALACOFAUNA MARINA. Matèria primera dura. *Glycymeris glycymeris*

Morfotipus de Jaciment exemple. *Glycymeris* perforada a l'umbó

Enumeració/descripció de processos realitzats

La tècnica emprada va ser la polir la superfície de la línia paleal interna contra la superfície de la pedra sorrenca i posteriorment, subjectar la valva de *Glycymeris* amb la mà (mode de fixació) mentre s'efectua una abrasió de l'umbo i posterior perforació rotativa directa a sobre del plànol amb un taladre manual de sílex, alternant de forma rotativa en dues direccions.

Tècniques implementades

Poliment/Abrasió

Perforació directa unipolar

Engrandiment

Rotació

DURADA EXPERIMENT. No supera els 30 minuts.

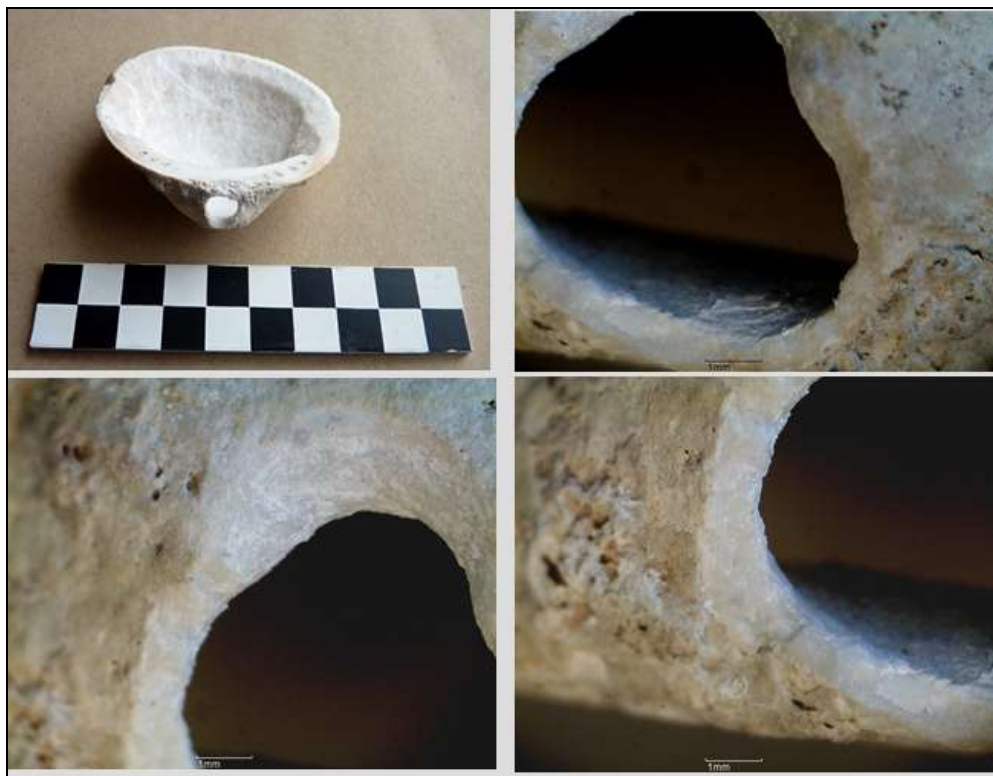


Figura 387. Valva experimental de *Glycymeris glycymeris* amb perforació realitzada per abrasió i rotació manual directa amb perforador.

TRACES OBSERVABLES

Perforació per abrasió i per pressió directa per taladre o pressió controlada.

Traces de poliment estries en totes direccions; el poliment dels contorns i línies paleals presenten igualment estries en totes direccions. Traces de perforació irregulars i en diverses direccions.

CONCLUSIONS I COMPARATIVA AMB LES PECES ARQUEOLÒGIQUES

Constatem exemplars arqueològics on podem afirmar que s'implementa aquesta doble combinació de tècniques, per una banda fractura o abrasió i una vegada iniciat l'orifici a l'umbo, es perfora de forma rotativa concèntrica amb un perforador manual.

Tant en les peces experimentals de mostra com en les arqueològiques s'aprecien irregularitats en les dimensions, punts d'impacte al contorn de l'orifici i escaires regulars producte de la rotació i fractura per l'acció.



Figura 388. Exemplars dels jaciments de Bòbila Madurell (BM-MS7-1-226 12253) i Mas d'en Boixos (MB-326-1).

Fitxa 11

Tria selecció matèria primera segons morfotipus d'ornament a reproduir

MALACOFAUNA MARINA. Matèria primera dura. *Glycymeris violascens*

Morfotipus de Jaciment exemple. Penjoll de *Glycymeris*

Enumeració/descripció de processos realitzats

Les eines utilitzades van ser un percussor de sorrenca allargat per la fracturació de la valva, una sorrenca dura per al poliment dels contorns i de la superfície de la valva i una ballarina o trepant amb volant d'inèrcia per efectuar la perforació.

La tècnica utilitzada va ser la de fracturar la valva per tal d'aconseguir un fragment corresponent a la part ventral i de poca curvatura. A continuació es poleixen els contorns i les dues superfícies del fragment escollit contra la superfície de la pedra sorrenca fins aconseguir una preforma allargada i amb cantons arrodonits. Finalment, es col·loca en un suport de fixació consistent en una massa d'argila, on s'enclava i es perfora de forma bipolar l'extrem més apical, una vegada orientada la peça, amb el trepant.

Tècniques implementades

Fractura controlada

Poliment/Abrasió

Perforació unipolar rotativa concèntrica

DURADA EXPERIMENT : 60 minuts

TRACES OBSERVABLES

Poliment i perforació.

Traces del poliment estries verticals; les traces del poliment dels contorns són línies paral·leles obliqües. Traces de la perforació estries concèntriques.

CONCLUSIONS I COMPARATIVA AMB LES PECES ARQUEOLÒGIQUES

Pel que fa a la tècnica, constatem exemplars arqueològics on s'implementen els poliments dels contorns i superfícies, sovint apreciats traces a sobre de la capa original de la valva, diversos plànols de facetat, traces unidireccionals i perforació bipolar rotativa concèntrica.

A nivell de matèria primera, la valva de *Glycymeris* requereix una força important de cara a polir i donar la forma desitjada del penjoll, per tant, erosionar les costelles i dents i, depenent d'aquesta variable, una inversió considerable de temps. Pel que fa a la utilització d'altres espècies, considerem que el treball de *Spondylus* devia ser costós pel gruix de la valva, apreciable als ornaments de La Draga, Sant Pau del Camp i Cova de les Ànimes.



Figura 389. Penjoll experimental de *Glycymeris violascens*, detall de la perforació bipolar.

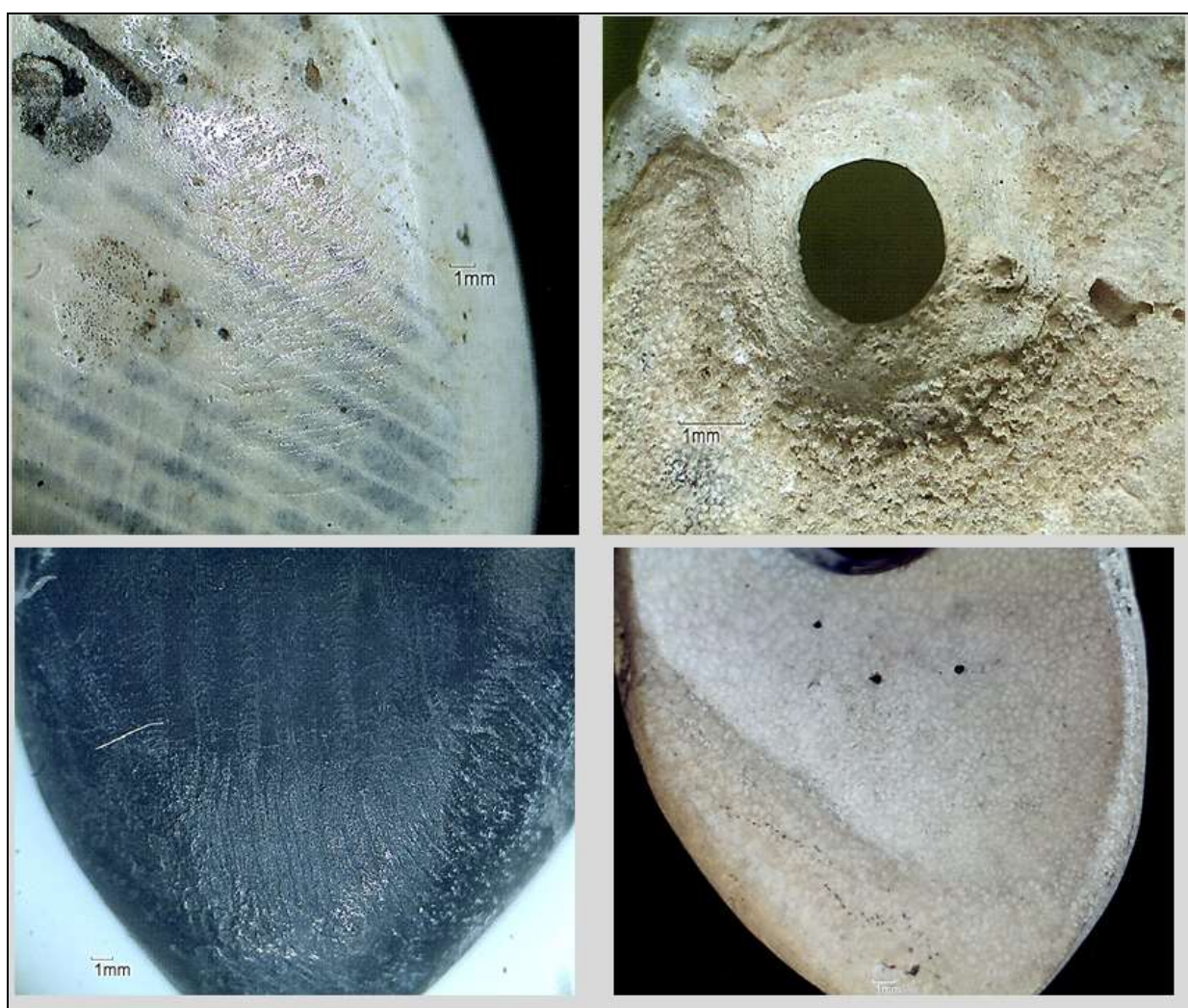


Figura 390. Denes-penjoll de La Draga amb traces de poliment (D11-JJ81-8-1832 D12-JE81-7-4312, D11-JE81-7-2485) i orifici del penjoll d'El Bordellet (E93a, a dalt a la dreta).

Fitxa 12

Tria selecció matèria primera segons morfotipus d'ornament a reproduir

MALACOFUNA MARINA. Matèria primera dura. *Glycymeris bimaculata*.

Morfotipus de Jaciment exemple. Anella-disc de *Glycymeris*. La Draga i Can Roqueta II

Enumeració/descripció de processos realitzats.

Les eines utilitzades van ser una sorrenca dura per al poliment, la ballarina o trepant amb volant d'inèrcia i un taladre manual de pedra (sílex) per la perforació directa.

La tècnica aplicada va ser la de polir per abrasió concèntrica contra una sorrenca dura, els contorns i la superfície externa de la valva. A continuació, una vegada fixada en un suport de massa d'argila tova, s'efectua la perforació unipolar amb el trepant a la part central de la peça, que posteriorment es va agrandint amb un percussor de sorrenca i un taladre de sílex. Durant la percussió directa l'orifici de la perforació s'ha trencat a l'extrem més apical, sense ocasionar gaires inconvenients. S'han realitzat ranurats per incisió amb sílex al plànol extern de la vora paleal a mode de decoració.

Tècniques implementades:

Fractura controlada i Pressió controlada

Poliment/Abrasió

Perforació unipolar

Percussió

Engrandiment

Ranurats

DURADA EXPERIMENT : 90 minuts

TRACES OBSERVABLES

Percussió directa

Poliment abrasiu. Traces de poliment estries en totes direccions. Les traces del poliment dels contorns són línies paral·leles obliqües.

Perforació unipolar concèntriques al voltant de l'orifici gran.

Traces de les decoracions: Ranurats paral·lels a la línia paleal amb secció en U i V.



Figura 391. *Glycymeris violascens* polida i en procés de regularització, amb perforació central per engrandir i inicis dels ranurats a la vora paleal.

CONCLUSIONS I COMPARATIVA AMB LES PECES ARQUEOLÒGIQUES

Aquesta forma-tipus ha estat de les més difícils a aconseguir. Per una banda, tenim una valva dura, *Glycymeris*, i amb cert gruix que té moltes probabilitats de fragmentació fatal durant l'ampliació de la perforació central per percussió. El poliment de la peça és llarg i necessita d'una força considerable com hem comentat anteriorment en altres morfo-tipus, sobretot el poliment de la part interna.

Pel que fa a les ranures, l'aparença i el tipus de secció son molt aproximades a la peça de referència, l'anella disc de CRII-775 i a la que hem estudiat de La Draga D10-II-240-431, fetes per incisions.

Fitxa 13

Tria selecció matèria primera segons morfotipus d'ornament a reproduir

MALACOFAUNA MARINA. Matèria primera dura. *Acanthocardia tuberculata*.

Morfotipus de Jaciment exemple. Dena circular de Cardium

Enumeració/descripció de processos realitzats

Les eines utilitzades van ser una sorrenca dura com a suport del poliment, un percussor manual de pedra (sílex) per a la fracturació, un taladre de sílex i una ballarina o trepant per a la perforació. En primer lloc es fragmenta la valva de Cardium pels contorns fins aconseguir una preforma inicial. Després s'efectua el poliment dels contorns i superfície del fragment contra la sorrenca per tal de donar-li una forma arrodonida. A continuació, es fixa a la massa d'argila que funciona com a suport de fixació i s'efectua la perforació amb el trepant de forma bipolar.

Tècniques implementades:

Fractura

Poliment/Abrasió

Perforació Bipolar

DURADA EXPERIMENT : 30 minuts



Figura 392. Dena en procés de poliment final de les superfícies i perforació central per rotació concèntrica.

TRACES OBSERVABLES

Perforació. Traces de perforació concèntriques.

Traces d'acabats de la superfície

Poliments: Estries/línies en totes direccions

Traces d'acabats dels contorns

Poliments: Estries/ línies obliqües

CONCLUSIONS

Pel que fa a la tècnica, constatem exemplars arqueològics on s'implementen els poliments dels contorns i superfícies, sovint apreciand diversos plànols de facetat, i la perforació bipolar. A nivell de matèria primera, la valva de *cardium* requereix força de cara a polir les costelles i donar la forma desitjada circular tot i que és més "tova" que una valva amb més gruix.

No trobem possibilitats de realització de denes de petites dimensions per nosaltres, donat que el poliment amb l'únic suport de dos dits per subjectar-lo, ens sembla molt difícil per a una persona adulta. Sí que podria ser versemblant per a un infantil, si bé la inversió de temps és important.

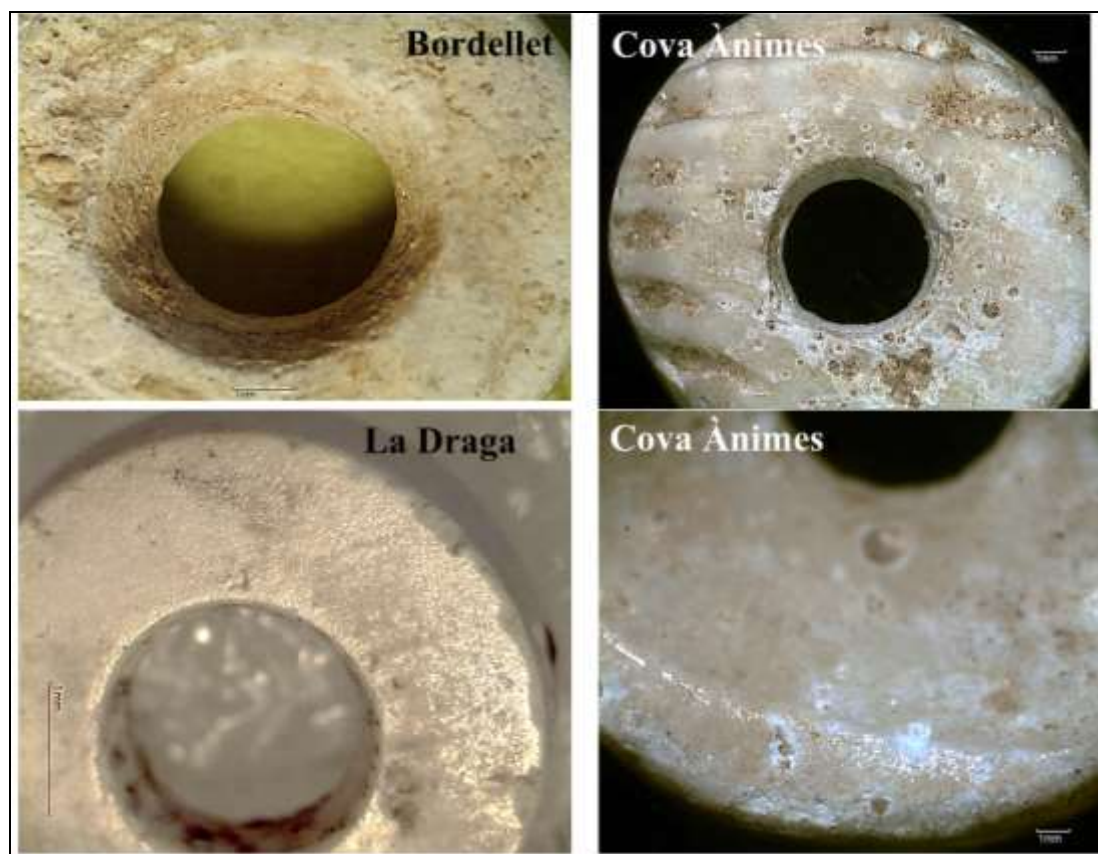


Figura 393. Denes amb les traces de poliment i concèntriques de la perforació de Bordellet E93 c, La Draga (D10-III-128) i Cova de les Ànimes (CA-2671-1 i CA-2671-5).

Experiment	Tècnica	Tipus de traces resultants
Valves perforades a sobre del cos. Espècies: <i>Acanthocardia tuberculata</i> <i>Cerastoderma glaucum</i>)	-Poliment del cos per abrasió -Fractura controlada	-Orifici irregular per abrasió contra suport erosiu de gra mitjà. -Estries irregulars en zona de umbo en <i>Acanthocardia</i> i paral·leles en <i>Cerastoderma</i> . -Orifici regular uniforme i amb pla d'abrasió per abrasió contra suport erosiu de gra fi o petit. -Estries/línies en totes direccions al voltant de l'umbo per abrasió-poliment de superfície.
Braçalet articulat de <i>Glycymeris sp.</i>	-Poliment de la vora paleal per abrasió -Perforació directa amb trepant giratori	- Línies abrasives en superfície de la valva i contorn de la vora paleal en totes direccions i en paral·lel. -Estries concèntriques unipolars de perforació directa rotativa
Gasteròpodes perforats al labro i àpex rebaixat (<i>Columbella rustica</i>)	-Perforació per fractura directa -Abrasió de l'àpex contra molí de calcària i microconglomerat	-Orifici amb contorn irregular i osques de fractura directa. -Superfície de la volta de l'àpex abrasionada uniforme lluent. -Estries/ línies obliqües regulars en calcària i irregulars en microconglomerats.
Poliment de petxina per dena-penjoll	-Poliment del cos i contorn per abrasió	-Estries en totes direccions i verticals pel poliment.
Perforació de pinyol <i>Prunus avium</i>	-Abrasió de pla del cos -Alteració tèrmica	-Estries paral·leles uniformes i en totes direccions en el pla d'abrasió
Denes circulars lignit i talc	-Poliment abrasiu de pre-forma -Perforació	-Acabats de superfície: Estries/línies en totes direccions, horitzontals i obliqües. -Acabats de contorn: Estries/línies verticals, en totes direccions, horitzontals i obliqües.
<i>Glycymeris sp</i> amb perforació a umbo	-Abrasió de l'umbo contra suport sorrenc	-Estries verticals unidireccionals paral·leles a pla d'abrasió.
Fractura dels extrems en <i>Dentalium</i>	-Fractura directa controlada d'extrem	-Traces irregulars en el contorn de l'orifici
Abrasió dels extrems en <i>Dentalium</i>	-Abrasió horitzontal paral·lela	- Superfície de la volta de l'àpex abrasionada uniforme lluent.
<i>Glycymeris sp</i> amb perforació a umbo	-Abrasió de l'umbo -Fractura i rotació directa dins l'orifici amb estri lític	- Estries en totes direccions a umbo -Osques i irregularitats en contorn de l'orifici
<i>Penjoll de Glycymeris</i>	-Poliment del cos per abrasió contra sorrenca -Perforació directa bipolar amb trepant	-Estries verticals i paral·leles obliqües del poliment abrasiu -Estries concèntriques rotatives dins l'orifici de la perforació
Anella-disc de <i>Glycymeris</i>	-Poliment del cos per abrasió contra sorrenca - Perforació directa unipolar amb trepant -Ranuració amb estri tallant lític	-Estries en totes direccions i en els contorns són línies paral·leles obliqües. - Estries concèntriques al voltant de l'orifici. - Línies paral·leles a la línia paleal amb secció en U i V.
Dena circular de <i>cardium sp</i>	- Poliment del cos per abrasió contra sorrenca - Perforació directa bipolar amb trepant	-Estries/línies en totes direccions i en el contorn són obliqües. -Estries concèntriques al voltant de l'orifici.

Taula 76. Quadre-resum de morfo-tipus, tècniques i traces resultants experimentals.

7. ORNAMENTS DEL NEOLÍTIC MITJÀ

El total de mostra estudiada prové de 8 jaciments, bàsicament de tipus funerari, i un assentament a l'aire lliure. El total d'ornaments estudiats és de 1495.

7.1. BÒBILA MADURELL

Els ornaments estudiats comprenen una tria de les campanyes de BÒBILA MADURELL 1987-1988, BÒBILA MADURELL-Sud 1989 i BÒBILA MADURELL-MAS DURAN (Sant Quirze del Vallès) 1992-1993. Hem cregut convenient, per tal de situar espacialment des de un inici el tipus d'ornament, descriure'l adscrivint el tipus d'estructura. La tria de mostra de peces s'ha fet amb uns criteris determinants: tenir tots els morfo-tipus representats i la determinació de totes les variants en pautes tecnològiques i funcionals estandarditzades en el conjunt de peces del jaciment.

Morfo-tipus d'ornaments per estructures

ESTRUCTURA	TIPUS	ORNAMENTS
BM-36	Sitja	Penjoll de valva perforada
BM-10.4	Sitja	Penjoll de valva perforada
BM-MS7	Sitja	Penjoll de valva perforada
BM-MS69	inhumació individual	Penjoll de valva perforada
BM-MS79	inhumació individual	Penjoll de valva perforada
BM-MS65	inhumació individual	Penjoll de valva perforada
BM-M14	inhumació individual	Penjoll de valva perforada
BM-H10	inhumació individual	Penjoll de valva perforada, denes variscita/cal·laïta
BM-11.3	inhumació individual	Penjoll de valva perforada
BM-MS17	inhumació individual	Penjoll de valva perforada
BM-1	inhumació doble	Penjoll de valva perforada
BM-78	inhumació múltiple	Penjoll de valva perforada
BM-MS28	inhumació individual	Penjoll de gasteròpode biperforat
BM-SH3	inhumació individual	Denes Dentalium
BM-2	inhumació individual	Penjoll petxina, Denes serpentina (¿), Denes de talc (esteatita)
BM-M15	inhumació individual	Denes de corall, denes variscita/cal·laïta
BM-MS61	inhumació individual	Denes de corall, denes variscita/cal·laïta
BM-5	inhumació individual	Denes serpentina (esteatita??), denes variscita/cal·laïta
BM-G9	inhumació individual	Denes de talc (esteatita), denes variscita
BM-G12	inhumació individual	Denes variscita/ cal·laïta
BM-M9	inhumació individual	Denes variscita i 2 plaquetes rectangulars variscita/ cal·laïta
BM-G10	inhumació individual	Denes variscita/ cal·laïta
BM-M11	inhumació individual	Denes variscita/ cal·laïta

MORFO-TIPUS	NOMBRE	CONTEXT ARQUEOLÒGIC
Penjolls valves perforades (<i>Glycymeris glycymeris</i> , <i>Glycymeris sp</i> i un exemplar de <i>Chamelea gallina</i> i un exemplar d' <i>Acanthocardia tuberculata</i>)	24	Inhumació doble BM-1 Inhumació múltiple BM-78 Fosses sitges BM-36, MS-43, MS-44, MS-7 Inhumacions individuals: MS-17, MS-65, MS-69 i MS-79
Penjoll de malacofauna marina (<i>Glycymeris sp</i>)	1	Inhumació individual? BM-2
Denes circulars de serpentina	128	Inhumació individual? BM-2 (65 denes) Inhumació individual BM-5 (63 denes)
Dena circular de pedra tova	16	Inhumació individual? BM-2
Denes de <i>Dentalium</i>	18	Inhumació individual SH-3
Denes tipus barrilet de variscita/ cal·laïta	35	Inhumacions individuals: M-7, H-10, M-9, M-15, G-10, MS-61, MS-15,
Denes bicòniques globulars de variscita/ cal·laïta	4	Inhumacions individuals: H-10, M-15
Denes circulars de variscita/ cal·laïta	166	Inhumacions individuals: M-5, M-11, G- 12, G-9, M-9, M-15, G-10, MS-61
Denes tubulars de variscita/ cal·laïta	8	Inhumacions individuals: MS-61, H-10, M- 9, M-15, G-10
Denes de corall (tubular i circular)	7	Inhumacions individuals: M-15, MS-61,
Aplics-Plaquetes rectangulars de variscita/ cal·laïta	2	Inhumacions individuals: M-9
Gasteròpodes sense espira (<i>Thais haemastoma</i>)	2	Inhumacions individuals: MS-17, MS-74
Penjoll gasteròpode perforat (<i>Phalium saburon</i>)	1	Inhumació individual MS-28
Opercle	3	Inhumacions individuals: MS-28, MS-17; Inhumació doble: MF-18
Total	417	

Taula 26. Total d'ornaments, morfo-tipus i context arqueològic dels materials de la mostra de Bòbila Madurell.

7.1.1. PENJOLLS (Valves perforades)

S'han estudiat un total de 36 efectius¹ que hem considerat penjolls tipus valves perforades. S'han realitzat sobre 4 tipus d'espècies malacològiques: *Glycymeris sp*, *Glycymeris glycymeris*, *Acanthocardia tuberculata*, *Chamelea gallina*, aquestes dues darreres únicament representades per un exemplar cadascuna. La mostra més significativa correspon a 30 valves perforades de *Glycymeris sp*, amb unes dimensions dels exemplars que oscil·len entre els 53,5mm i 11mm d'amplada, els 54,5mm i 13,5mm de longitud i els 5mm i 1mm de gruix.

Totes presenten una perforació, amb diferents i variables diàmetres: 6,7mm x 4mm el de més dimensió i 1,5mm x 0,5mm el més petit.

En molts casos presenten processos d'erosió, concreció i descalcificació, en 4 casos només es conserva la meitat de l'exemplar i en 2 casos s'ha identificat valva en estat fòssil. En altres 5 casos hi ha una contaminació de la peça i les parts analítiques per la sigla o marcatge, cosa que ha dificultat el seu estudi.

Fosses-sitges

Es recuperen 15 exemplars de valves perforades a fosses tipus sitja. Destaquem els exemplars més significatius:

DESCRIPCIÓ, PRODUCCIÓ I FUNCIONALITAT

-BM-36-2784b: Valva de *Glycymeris sp* amb perforació a l'umbo. Està molt deteriorada i a la vora paleal l'àrea més polida està contaminada de tinta de sigla. Amida 18,5mm d'ample per 17mm de longitud i té un gruix de 1,5mm. L'orifici de suspensió amida 1mmx2mm.

L'orifici presenta pla d'abrasió amb línies verticals paral·leles, i lleus punts de fractura de l'orifici de forma irregular que podrien ser indicis d'una combinació de fractura per pressió amb l'abrasió prèvia. A nivell d'ús, es constata lleu patina per fregament reiterat en la zona de la perforació.

-BM-36-2249a: Valva de *Glycymeris sp* amb perforació a l'umbo i amb la vora paleal retallada d'antic. Presenta molta concreció en la cara interna. Amida 53,5mm d'amplada per 54,5mm de longitud i 5mm de gruix. L'orifici de suspensió fa 6mm de diàmetre.

Presenta un orifici circular realitzat per rotació directa amb estri lític i conserva una osca de fractura. S'han pogut observar les línies circulars rotatives deixades pel trepant internes dins l'orifici, que permeten pensar en un trepant giratori manual directe.

¹ Procedents de les 3 intervencions de Bòbila Madurell assenyalades: Bòbila Madurell 1987-1988, Bòbila Madurell-Sud 1989 i Bòbila Madurell- Mas Duran 1992-1993.

-BM-36-2249c: Valva de *Glycymeris sp* perforada a l'umbo. Presenta fractura en la zona basal antiga. La perforació és natural, deguda a una atac de múltiples animals litòfags que també han deixat marcada la superfície de la valva. Les seves mesures són: 46mm d'amplada per 42mm de longitud i 4mm de gruix. La perforació amida 6mm x5mm.

Ja hem comentat el caràcter natural de l'orifici de suspensió i únicament ressaltar que observem lleu patina de fregament reiterat en la superfície, que no podem destriar o com a producte del rodament de la valva o com a ús ornamental.



Figura 238. Conjunt de valves perforades de la sitja BM-36.

-BM-10.4-625: Valva de *Glycymeris sp* rodada amb perforació a la zona de l'umbo amb plànol conservat. Estava reblerta de terra. Amida 26mm d'amplada per 23mm de longitud i fa 2,5mm de gruix. La perforació mesura 2mmx1,5mm. Es pot observar el plànol d'abrasió amb claredat i la perforació resultant. No hem pogut discernir traces d'ús.

-BM-MS7-12251: Valva de *Glycymeris sp* rodada i fracturada. Amida 29mm de longitud per 26mm d'amplada i 3mm de gruix. Va ser perforada per abrasió a l'umbo i s'han observat línies paral·leles transversals en el pla d'abrasió. També s'observa fregament reiterat per ús a sobre de la xarnel·la.

-BM-MS7-1-226 12253: Valva de *Glycymeris sp* rodada i concrecionada. Amida 16mm de longitud per 15mm d'amplada i 1,5mm de gruix. L'orifici de suspensió amida 2mm de diàmetre. Va ser perforada per rotació directa amb estri. La valva es conserva amb deteriorament per descalcificació.



Figura 239. Detall dels tipus d'orifici: per poliment i rotació directa amb estri (BM-36-2249a) i per abrasió (BM36-2784b, 2249b i 2784a).



Figura 240. Detall de les dues valves de la sitja MS7, una amb perforació directa rotativa (BM-MS7-1-226 12253) i una altra amb abrasió de l'umbo (BM-MS7-12251).

Inhumacions individuals

Es recuperen fins a 10 efectius tipus penjolls realitzats en valves perforades en inhumacions individuals (MS69-1-2-12535, MS79-1-26 12534, MS65-1-2 12536, M14-3, H10-44, H10-82, 11.3-127, 11.3-128, MS17-12540 i MS17-12541).

DESCRIPCIÓ, PRODUCCIÓ I FUNCIONALITAT

Totes són exemplars de *Glycymeris sp*, valves rodades amb concrecions i descalcificacions importants. Les valves són de mitjanes o petites dimensions, d'entre 15mm i 30mm de longitud per 11mm i 26mm d'amplada. Les perforacions són irregulars, petites, que oscil·len entre 1,5mm i 6,7mm. A nivell tecnològic, totes han patit abrasió a l'umbo amb superfície de gra fi i es poden observar les línies verticals paral·leles a l'umbo. La excepció és la valva perforada BM-M14-3 que ha estat perforada per percussió controlada.

A nivell d'ús s'han observat petits punts de fregament reiterat en alguns exemplars al voltant de l'orifici de suspensió, a sobre de la xarnel·la, i a la vora paleal. Destaca l'únic exemplar realitzat en una altra espècie.



Figura 241. Selecció d'algunes valves perforades localitzades a inhumacions individuals. Detall de perforacions per percussió, per abrasió i detall de poliment de la vora paleal.



Figura 242. Conjunt de MS17 i detall de la perforació en l'umbo de la valva 12540.

-BM-MS17-12540: Valva perforada tipus penjoll realitzada amb l'espècie *Chamelea gallina*. Aquesta peça, és una valva petita retallada que amida 15mm d'amplada i 11mm de longitud, amb un gruix de 1mm. L'orifici de la perforació amida 1mm. Es van distingir línies verticals paral·leles al plànol de l'umbo producte d'una abrasió amb una pedra de gra fi. A nivell d'ús hi ha traces de fregament en diverses àrees de la xarnel·la i la part interna de la vora paleal.

Inhumacions dobles

DESCRIPCIÓ, PRODUCCIÓ I FUNCIONALITAT

BM-1-1-10a 12229 i BM-1-1-10b 12230.

Són dos penjolls realitzats amb valves de *Glycymeris sp*, precedents d'una inhumació infantil doble. Formaven part d'un collaret. Ambdós presenten deteriorament per la sigla. Les mesures són 24mm d'amplada per 22mm de longitud i 2mm de gruix amb una perforació que amida 2mm x1.5mm en el cas de l'exemplar BM-1-1-10a 12229; i unes mesures de 11mm d'amplada

per 13,5mm de longitud i 1mm de gruix amb un orifici de perforació de 1mmx 0,5mm per l'exemplar BM-1-1-10b 12230.

En els dos casos s'evidencia un pla abrasiu de la zona de l'umbo amb una perforació al centre resultat de fregament contra una superfície de gra fi. S'han observat traces de fregament lleu i en el cas BM-1-1-10a 12229 fractures dins l'orifici producte d'una pressió/inclusió directa per engrandir l'orifici. Igualment determinem punts de fregament per ús en el contorn de la vora paleal de la valva.



Figura 243. Detall de les valves perforades, perforacions i traces d'ús al voltant de l'orifici de suspensió i a la vora paleal per fregament reiterat.

Inhumacions múltiples

De les 4 valves perforades tipus penjoll realitzades amb *Glycymeris glycymeris* (BM-78-2-397 12546, BM-78-1-982 12569, BM-MS44-1-15 12539, BM-MS43-1-7 12537) en els dos darrers exemplars es va determinar perforació natural i totes dues presenten força concrecions i fractures de rodament. Desconeixem el context arqueològic.

Les altres valves perforades antròpicament les descrivim a continuació i pertanyen a la mateixa estructura arqueològica, una inhumació múltiple:

DESCRIPCIÓ, PRODUCCIÓ I FUNCIONALITAT

-BM-78-2-397 12546: Valva de *Glycymeris glycymeris* perforada a la zona de l'umbo, amb evidències de rodament. La vora paleal està deteriorada degut a la presència de sigla amb tinta. Amida 41mm d'amplada per 38mm de longitud i un gruix de 3mm. La perforació resultant mesura 1,5mm de diàmetre. L'orifici de suspensió es va realitzar per perforació directa per rotació amb una punta petita lítica. S'han distingit estries concèntriques internes dins l'orifici amb un lleu poliment de l'umbo, possiblement previ a la perforació.

-BM-78-1-982 12569: Valva de *Glycymeris glycymeris* perforada a la zona de l'umbo. Està fracturada d'antic tot i que s'ha determinat una osca de fracturació nova, segurament realitzada durant l'excavació. Les mesures són 60mm d'amplada per 56mm de longitud i 5,5mm de gruix. L'orifici de suspensió amida 9mm de diàmetre.

L'orifici de suspensió està realitzat per combinació de percussió directa controlada i rotació directa concèntrica amb estri. S'han observat estries concèntriques internes dins orifici, producte de la rotació amb el trepant. També s'ha determinat un lleu poliment previ a la zona de l'umbo.

-BM-78-2-399 12542: Valva de *Acanthocardia tuberculata* perforada a l'umbo. Presenta la vora paleal rodada i deteriorada per la sigla amb tinta. Amida 13,5mm d'amplada i 11mm de longitud, amb 1,5mm de gruix. L'orifici de suspensió amida 1,5mm de diàmetre. Es va recuperar en una inhumació múltiple. S'observa un pla d'abrasió a la zona de l'umbo i l'orifici central. En el pla de perforació es distingeixen línies verticals paral·leles unidireccionals al pla horitzontal abrasiu. A nivell d'ús es pot apreciar patina de fregament reiterat al contorn del pla abrasiu i possibles punts distribuïts al voltant de la xarrel·la com a punts de fregament per ús.

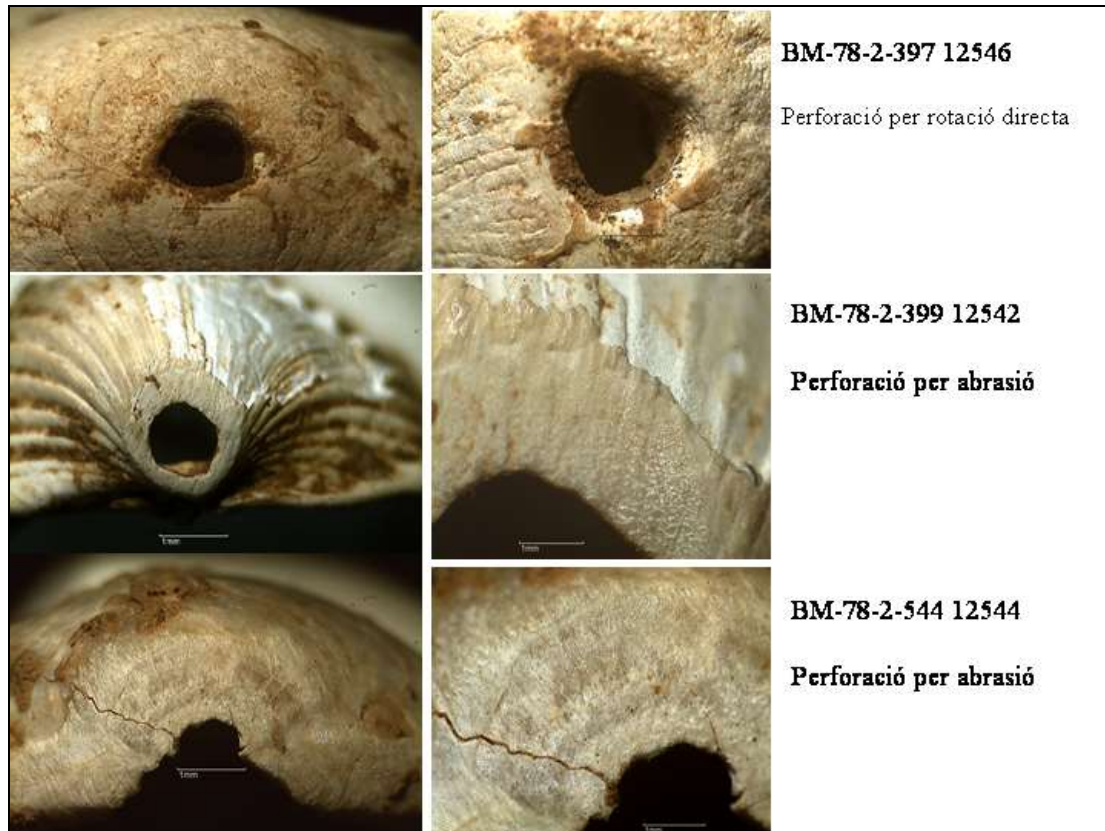


Figura 244. Tipus de perforació en valves de l'estructura BM78.

7.1.2. PENJOLLS (Gasteròpode perforat)

Inhumacions individuals

DESCRIPCIÓ, PRODUCCIÓ I FUNCIONALITAT

-BM-MS28-2-20 12538: Cargol amb doble perforació realitzat amb el gasteròpode *Phalium saburon*. Està força rodat i en procés de descalcificació. Presenta també força concreció. Mesures: 70mm de longitud, 40mm d'amplada i 35mm de contorn. Les dues perforacions presenten orificis de 3mm de diàmetre.

Les modificacions clares s'han observat relatives a la realització dels dos orificis de suspensió. S'han destriat estries concèntriques rotatives dins els orificis producte d'una perforació directa per rotació concèntrica unipolar. També s'ha intuït una lleugera abrasió a la zona. Igualment, a nivell d'ús, s'ha observat traces de fregament reiterat i poliment entre els orificis, reafirmant una possible subjecció per suspensió.



Figura 245. Exemplar de *Phalium saburon* de l'estructura MS28. Detall de les dues perforacions de suspensió realitzades per rotació concèntrica.

7.1.3. DENES (*Dentalium*)

Inhumacions individuals

DESCRIPCIÓ, PRODUCCIÓ I FUNCIONALITAT

-BM-SH3. S'han estudiat 27 denes realitzades amb *Dentalium sp* (*D. Vulgare*) i *Antalis dentalium*, totes recuperades com a conjunt d'un collar (?) en l'estructura BM-SH3. Anirien enfilades o suspenses com a grup formant o collar o polsera o turmellera. Les denes es conserven individuals, o encara formant parells o tríos inserides unes en altres, a excepció de 5 fragments que estan encara *in situ* col·locats un a dintre dels altres. Totes estan força deteriorades, en procés de descalcificació.

Les mesures dels exemplars de denes oscil·len entre els 16,5mm de longitud màxima i 6,3mm de mínima; els diàmetres i d'inserció dels extrems van dels 1,8mm a 3,8mm.

La producció dels exemplars i la seva transformació per a inserció es va realitzar per fractura de l'extrem tancat apical i poliment dels dos extrems resultants donat que en gairebé tots els casos hem observat abrasió intensa. Únicament en 3 casos s'ha pogut discernir del rodament natural una patina lluent a un o als dos extrems apicals que seria resultat de fregament reiterat. Les superfícies estan rodades en diferents graus, i algunes presenten patina de fregament, ja sigui pel contacte entre denes o bé per contacte amb una altra superfície.



Figura 246. Detall de denes enfilades, detall del poliment abrasiu dels extrems i de les superfícies, detall de dues denes enganxades, una amb perforació de litòfag.

7.1.4. PENJOLLS (Petxina)

Inhumacions individuals

DESCRIPCIÓ, PRODUCCIÓ I FUNCIONALITAT

-BM-2-216 11786. Penjoll realitzat amb valva de *Glycymeris sp*, amb el contorn apical arrodonit i basal en bi-apuntada. La superfície de la peça marca una sinuositat lateral. Cap circular, estrenyiment i punta triangular. Les mesures són; 12mm de longitud per 6mm d'amplada i 4 mm de gruix. La perforació amida 1,5mm de diàmetre. No sabem estructura arqueològica. Les superfícies i contorns estan polits per abrasió contra superfície de gra fi. L'orifici de suspensió s'ha realitzat per perforació bipolar concèntrica rotativa amb una punta d'estri lític que ha deixat estries de rotació. A nivell d'ús, es distingeix una patina lluent en punts de fricció reiterada a la zona apical, basal, orifici i contorns.



Figura 247. Detall de l'orifici de suspensió per plànol anterior i posterior del penjoll, zona basal i detall de traces de fregament al contorn.

7.1.5. DENES TUBULARS (Corall)

Inhumacions individuals

DESCRIPCIÓ, PRODUCCIÓ I FUNCIONALITAT

-BM-M15-45: Dena tubular feta en corall rosat. Els extrems estan rodats i deteriorats. Les mesures de la peça són: 4,9mm de longitud, 4,3mm de diàmetre de contorn i 2mm de diàmetre en els extrems d'inserció. La dena s'ha realitzat per poliment intens abrasiu de superfícies i contorns en totes direccions segons les traces observades, contra una superfície de gra fi. Presenta diversos plànols de facetat d'aquest procés. Els extrems es van perforar de forma bicònica, bipolar i de forma concèntrica rotativa amb un estri o punta lítica. La dena es portaria pel sistema de enfilament o suspensió. A nivell d'ús, s'han discernit traces de fregament reiterat en el contorn de la peça així com al voltant dels extrems.

-BM-M15-53: Dena tubular feta en corall rosat. extrems estan rodats i deteriorats. Les mesures de la peça són: 4,6mm de longitud, 5,6mm de diàmetre de contorn i 2mm de diàmetre en els extrems d'inserció. La dena s'ha realitzat per poliment intens abradiu de superfícies i contorns en totes direccions segons les traces observades, contra una superfície de gra fi. Presenta diversos plànols de facetat d'aquest procés. Els extrems es van perforar de forma bicònica, bipolar i de forma concèntrica rotativa amb un estri o punta lítica. La dena es portaria pel sistema de enfilament o suspensió. A nivell d'ús, s'han discernit traces de fregament reiterat en el contorn de la peça així com al voltant dels extrems.

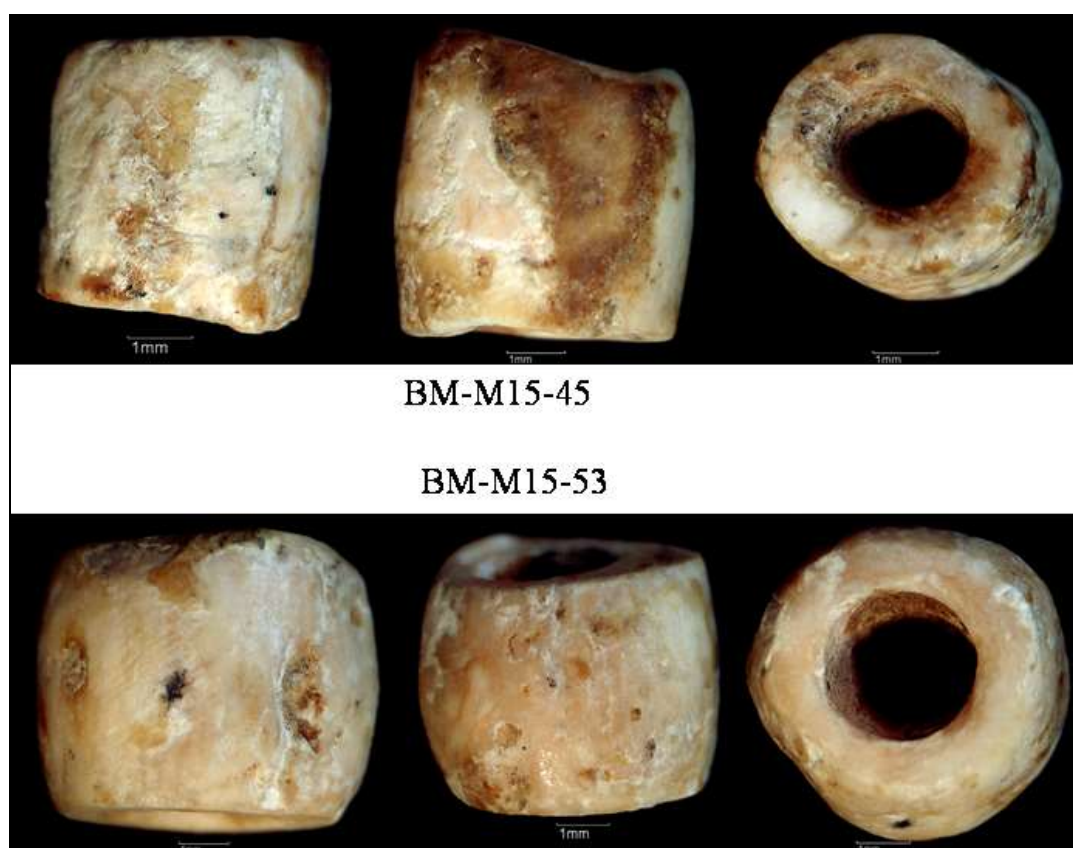


Figura 248. Denes de corall BM-M15M45 i BM-M15-53. Detalls contorns i orificis inserció.

-BM-MS-61: corresponen a cinc denes que podríem considerar de tipus circular-tubular i amb força concrecions. Estan enfilades a nivell museístic entre denes de variscita cal·laïta.

Originàriament, en la memòria arqueològica consten com a "*denes realitzades a partir d'arrels que configuren les peces dentàries, possiblement corresponents a algun animal, malgrat no haver-se pogut determinar*" (Blanch et al. 1990: 234). No hem localitzat la sisena dena que consta a la memòria.

Es tracta de fragments de corall molt deshidratat i en procés de pèrdua de carbonat càlcic. De fet, una de les denes ja està trencada (MS61-16-8). Donada la seva fragilitat no hem pogut fer

manipulació per traces tecnològiques, tot i que mantenen una semblança morfo-tipològica a les detectades a l'estructura BM-M15 i es pot inferir una producció similar.



Figura 249. Denes de corall enfilades corresponents a l'estructura MS-61.

7.1.6. DENES (Pedra)

Denes de serpentina/amfibolita

Inhumacions individuals

DESCRIPCIÓ, PRODUCCIÓ I FUNCIONALITAT

-BM-2- (peces del nº 11787 numerades del 1 al 65)

Conjunt de 65 exemplars amb forma de dena circular amb perforació central. Estarien realitzades en serpentina/amfibolita². Les mesures de les denes són uniformes i homogènies, com si es tractés d'un intent de producció seriada. La producció en sèrie pre-estableix o bé, que es treballa una veta, filó o mina de serpentina o bé es duu a terme un poliment minuciós de cada fragment.

El diàmetre de les denes és de 3mm i el diàmetre de l'orifici central de 1,2mm. Els gruixos varien més, sovint inclinats, i oscil·len entre 0,5mm i 2mm. Totes les denes presenten poliment per abrasió contra superfície de gra fi en els contorns i irregularitats en de les superfícies.



Figura 250. Exemples de denes de serpentina, amb detall de perforacions i gruixos amb poliments.

² Morfològicament són similars a les analitzades de serpentina-amfibolita de Mas d'en Boixos analitzades en el marc de l'exposició "Xarxes: els primers intercanvis..." (Bosch et al. 2011).

No es poden apreciar traces de serrat o fractura de separació de la dena del que seria el tub o mina, però sí línies incises molt marcades en les superfícies i els contorns, possibles delimitadores de denes prèvies a la fractura i/o serrat. Pel que fa a l'orifici central es distingeixen estries concèntriques dins de l'orifici, fetes per rotació concèntrica amb un estri o punta lítica. A nivell d'ús, només s'han destriat punts lluents de fregament en els contorns.

- BM-5

Conjunt de 63 denes circulars de color negre, algunes amb concrecions amb perforació central. Estarien realitzades en serpentina/amfibolita³. Les mesures de les denes són uniformes i homogènies, com si es tractés d'un intent de producció seriada. La producció en sèrie pre-estableix o bé, que es treballa una veta, filó o mina de serpentina o bé es duu a terme un poliment minuciós de cada fragment. Els diàmetres⁴ oscil·len entre 3mm i 3,5mm. Els gruixos van dels 0,5mm als 1,5mm. La perforació, que majoritàriament està ben centrada, correspon a un diàmetre de 0,7mm. No es poden apreciar traces de serrat o fractura de separació de la dena del que seria el tub o mina, però sí línies incises molt marcades en les superfícies i els contorns, possibles delimitadores de denes prèvies a la fractura i/o aserrat. Pel que fa a l'orifici central es distingeixen estries concèntriques dins de l'orifici, fetes per rotació concèntrica amb un estri o punta lítica. A nivell d'ús, només s'han destriat punts lluents de fregament en els contorns.



Figura 251. Detall del conjunt de denes enfilades per a exposició en vitrina a MHS.

³ Morfològicament són similars a les analitzades de serpentina-amfibolita de Mas d'en Boixos analitzades en el marc de l'exposició "Xarxes: els primers intercanvis..." (Bosch et al. 2011).

⁴ En total : 48 denes amb 3 mm. de diàmetre, 12 denes amb 3,2 mm i 3 denes amb 3,5 mm (coincideix amb les dades donades a Blanch et al. (1990). La resta de mesures han variat, doncs les hem tornat a prendre per guanyar precisió amb peu de rei digital.

7.1.7. DENES (Minerals)

Denes de talc

Inhumacions individuals

DESCRIPCIÓ, PRODUCCIÓ I FUNCIONALITAT

-BM-G9 (n° del 1 al n° 83).

Conjunt de 22 denes circulars realitzades amb pedra tova d'un color gris fosc a negre. Les mesures de les denes són: gruixos que van de 0,5mm a 1,3mm per tant són força primes, els diàmetres de les denes oscil·len entre els 3,6mm i els 5mm i finalment els diàmetres dels orificis varien entre 1,5mm i 2,5mm.

Totes les denes s'han polit de forma intensa, per abrasió, en totes les superfícies i contorns, segons les traces contra una superfície de gra fi. La perforació s'ha realitzat de forma rotativa concèntrica directa amb un estri de punta lítica i per ambdós plànols de superfície, de forma bipolar.

La dena BM-G9-6 presenta irregularitats en els plànols de superfície, tot i estar molt polida i només una dena BM-G9-79 estava trencada.



Figura 252. Algunes denes del conjunt G9 i detall de les superfícies i traces de la perforació (marques del trepant giratori, a sota a l'esquerra) i de poliment abrasiu intens (a sota a la dreta).

S'ha realitzat una anàlisi de RDX en dues d'aquestes denes: BM-G9-79 i BM-G9-4. L'anàlisi de BM-G9-79 va donar com a resultat un mineral tou, amb components de moscovita i alguns quarsos en poca quantitat, mineral però que apareix associat sovint. Per tant és un silicat. Podríem contemplar la possibilitat d'encabir-la en el grup de minerals tous tipus talc. Pel que fa a la dena BM-G9-4, aquesta també presentava la moscovita com a component principal, alguns pics amb quars i alguna presència molt minsa de clinoclor ric en ferro.

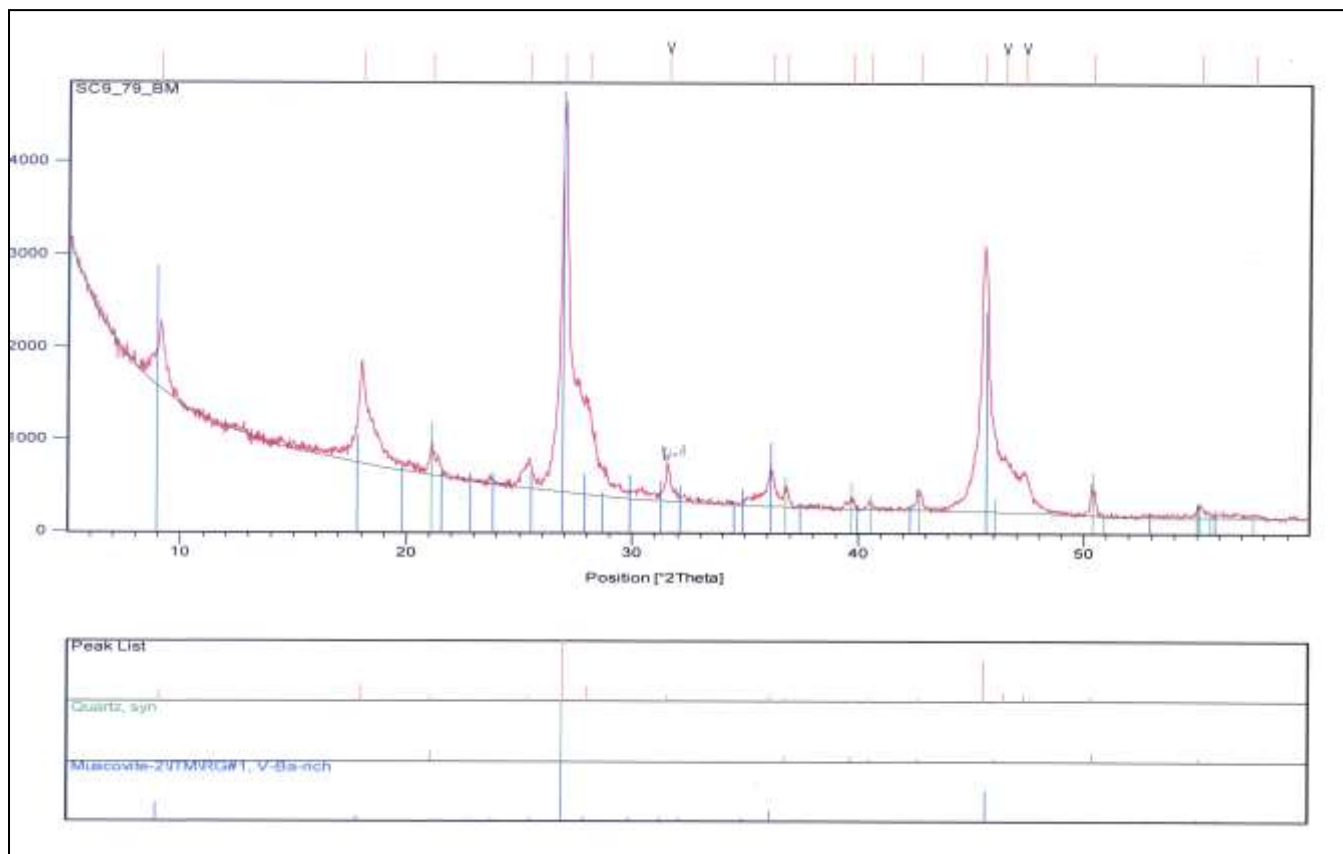


Figura 253. Difractograma RDX de la dena BM-G9-79 amb el marcador de la moscovita com a element principal i pics de presència de quars.

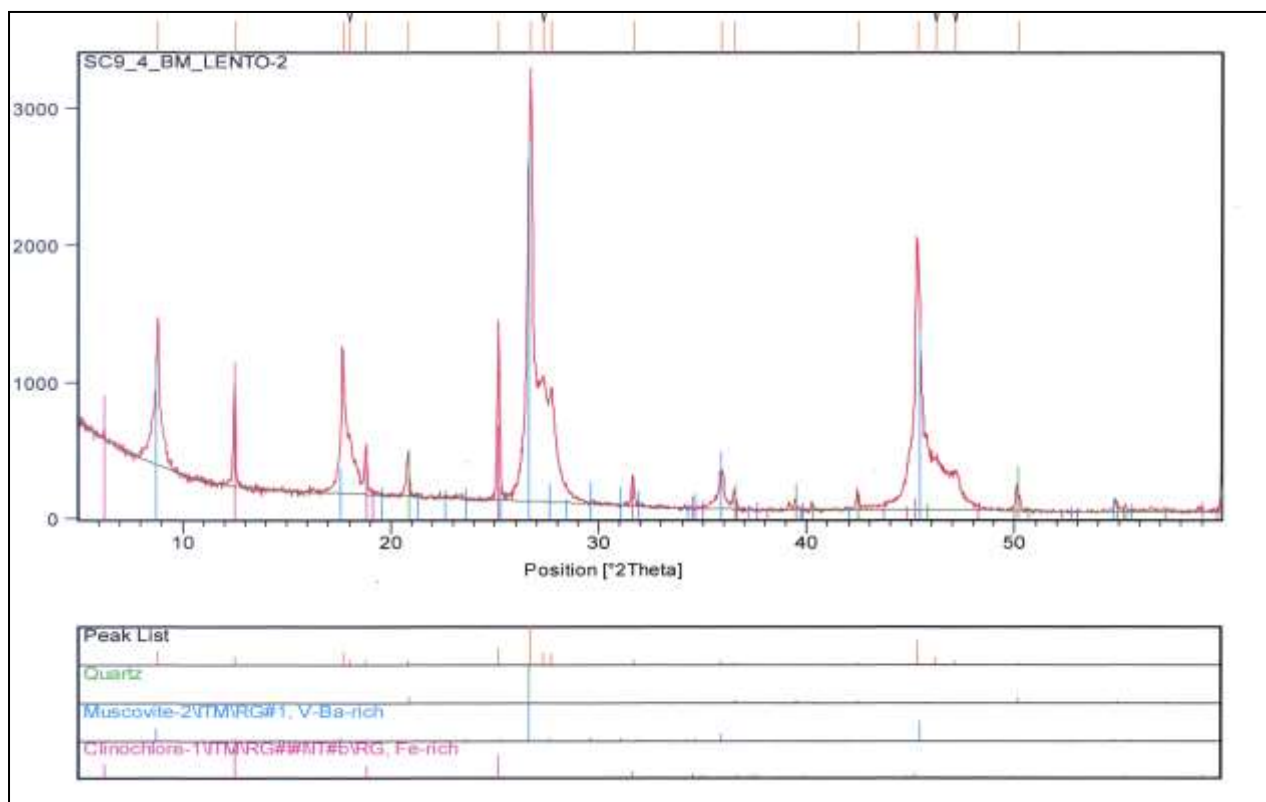


Figura 254. Difractograma RDX de la dena BM-G9-4 amb el marcador de la moscovita com a element principal i pics de presència de quars i clinoclor.

- BM-2- (peces nº 44, 45, 46, 69 B3, 70 B3, 81 B3, 82 B3, 39 B4, 40 B4, 41 B4, 5 3C, 211 A2-A4, 212 A2-A4, 213 A2-A4, 214 A2-A4, 215 A2-A4).

DESCRIPCIÓ, PRODUCCIÓ I FUNCIONALITAT

Conjunt de 16 denes circulars amb perforació central realitzades en pedra tova (classificat com a esteatita segons excavadors) de color negre. Podem preveure que es pot encabir en el grup genèric de talc. Les mesures de les denes són variables, amb gruixos que van dels 1,5mm als 5,75mm, uns diàmetres que oscil·len entre els 6mm i els 8mm i finalment presenten diàmetres de perforació d'entre 2mm i 5mm.

Totes les denes presenten poliment per abrasió, moltes han permès discernir que contra una superfície de gra fi i en 4 casos deduïm que contra una superfície de gra mitjà. Les traces d'aquest poliment es mostren com a línies obliqües paral·leles en els contorns, i línies en totes direccions en les dues cares de la superfície. Aquestes línies són molt marcades en 5 casos i són lleus en 6 casos. En uns 5 casos de denes hi va haver fractura durant el poliment del contorn.



Figura 255. Algunes variants dels tipus de perforacions de les denes estudiades.



Figura 256. Tipus de traces d'abradió i poliment de la superfície observades en el conjunt de denes.

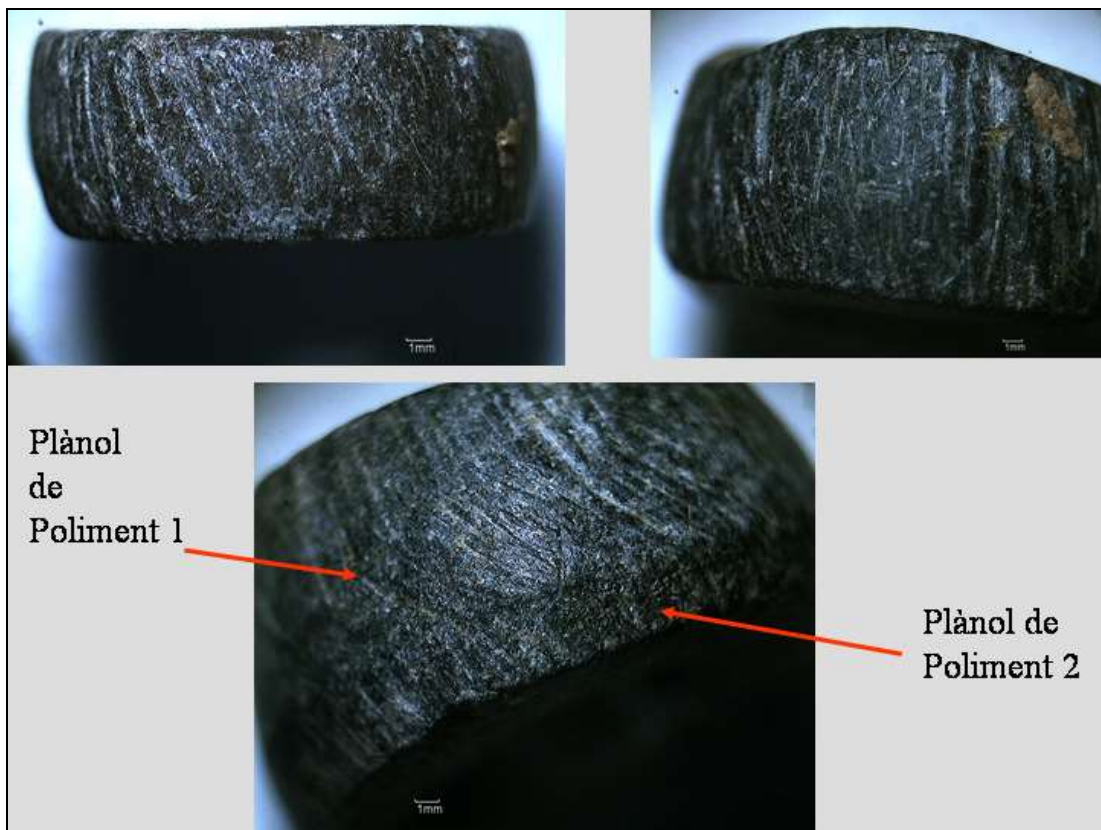


Figura 257. Detall de traces de poliment abrasiu dels contorns de les denes.

Pel que fa a la perforació, aquesta es va realitzar de forma rotativa amb una punta lítica que ha deixat línies concèntriques dins els orificis de suspensió/inserció de les denes. En un cas, BM-2-214 A2-A4 es va produir un desviament de la perforació per moviment o desplaçament del trepant amb doble orifici solapat.

En el cas de la dena BM-2-46 el poliment va ser posterior a la perforació i conserva lleument el pla d'abrasió. A nivell d'ús en 7 casos es distingeixen perfectament zones de fregament reiterat en els contorns i superfícies. En la resta es distingeix lleu fregament en tota la peça.

Denes de variscita/cal·laïta

Les denes realitzades amb variscita⁵ s'han documentat en diverses estructures del jaciment arqueològic, i nosaltres hem realitzat l'estudi sobre uns conjunts concrets tenint en compte la diversitat de morfo-tipus representats. En descrivim les peces més significatives.

Inhumacions individuals

DESCRIPCIÓ, PRODUCCIÓ I FUNCIONALITAT

-Grup BM-MS61 (13-1 a 13-38; 28-1, 28-2 i 28-3; 37-1 a 37-15; 16-1 a 16-8; 18-1 a 18-6; 21-1, 21-2, 21-3; 17-1 a 17-4; 14-1 a 14-5; 29-1, 29-2, 10,11,12, 19, 20 i 56).

Total de peces : 93. Consta de 1 dena rectangular que podria haver estat una plaqueta, 13 denes tipus barrilet (amb mesures que oscil·len d'entre 24mm i 10mm de longitud i entre 15mm i 7mm d'amplada o diàmetre màxim), 1 plaqueta rectangular de 5mm x 5mm i 2 mm de gruix, 1 dena tubular de 6mm x 6mm i 77 denes circulars que oscil·len entre 10mm de diàmetre màxim i 5mm de diàmetre mínim. Els diàmetres dels orificis d'enfilament amiden 2mm.

⁵ Considerem que en aquest cas i donades altres analítiques realitzades a exemplars de Bòbila Madurell (per exemple del Sepulcre 3 i sepulcre B6), les denes serien de variscita, desestimant la denominació genèrica de cal·laïta. Per tant, per Bòbila Madurell, tenint en compte els morfo-tipus i tècniques implementades, parlarem de variscita.



Figura 258. Algunes agrupacions de denes corresponents a l'estructura MS61.

-Grup BM-H10 (nº 41,42,43,80).

DESCRIPCIÓ, PRODUCCIÓ I FUNCIONALITAT

-BM-H10-80. Dena tubular de color verd amb moltes impureses de color negre i marró, fracturada en un extrem. Les seves mesures són 7,2mm de longitud, 6,2mm de diàmetre en un extrem i de 5,5mm en l'altre extrem. La peça està molt polida en tot el contorn i en els extrems, on presenta plànols d'abradió preparatoris de l'orifici per suspensió i enfilament, un d'ells força concrecionat.

L'orifici que entravessa la dena d'extrem a extrem amida 2,5mm de diàmetre. La perforació es va dur a terme per rotació amb punta lítica en trepant giratori que ha deixat marques circulars concèntriques a l'inici i dins de l'orifici. Es va dur a terme des de els dos extrems de la peça, de forma bipolar.

-BM-H10-43. Dena bicònica de tipus globular de color verd amb impureses negres i superfície poc polimentada. Les seves mesures són 9mm de longitud, 8,8mm de diàmetre màxim, 7mm de diàmetre de plànol d'abradió en els dos extrems de la peça i 2,5mm de diàmetre de l'orifici de perforació que l'entravessa. Es poden distingir estries poliment i facetat en totes direccions i en paral·lel en la superfície. L'orifici de perforació es va realitzar per rotació amb estri de punta lítica, tipus trepant de forma bipolar, des de els dos plànols extrems de la peça fins a convergir.

-BM-H10-41. Dena tipus barrilet de color verd amb impureses de quars visibles. Les mesures de la peça són: 11,8mm de longitud, 7,3mm de diàmetre màxim, 6mm de diàmetre dels plànols d'abradió dels dos extrems de la peça i finalment 3,5mm de diàmetre de l'orifici de suspensió i enfilament. S'han pogut observar línies paral·leles en totes direccions del poliment i facetat de la superfície de la peça.

-BM-H10-42. Dena tipus barrilet de color verd . Les mesures són: 14mm de longitud, 8,5mm de diàmetre màxim, 6,5mm de diàmetre en els dos plànols d'abradió dels dos extrems i finalment 3mm de diàmetre de l'orifici de suspensió i enfilament. S'han pogut observar línies en totes direccions de poliment de la superfície i també zones amb fregament reiterat.

A nivell general, aquestes denes malgrat que morfològicament difereixen comparteixen trets tecnològics i funcionals comuns: totes han estat polides de la mateixa forma aleatòria, amb abradió contra una superfície de gra fi i gra gruixut, amb les evidències de línies en totes direccions en superfície i extrems; en totes es poden destriar les estries concèntriques dins els orificis de perforació producte de la punta lítica, la perforació s'ha fet de forma bipolar i en dos temps, això vol dir que s'ha utilitzat el trepant dues vegades per cada extrem per aconseguir fer convergir la perforació, deixant clarament una marca o solc desviat. A nivell d'ús, es determinat una lleu pàtina de fregament reiterat de tota la superfície i també en el plànol d'abradió, just a la vora de l'entrada de l'orifici de suspensió i/o enfilament .



Figura 259. Dena tipus barrilet i traces de producció en superfície i extrems amb plànols de perforació.

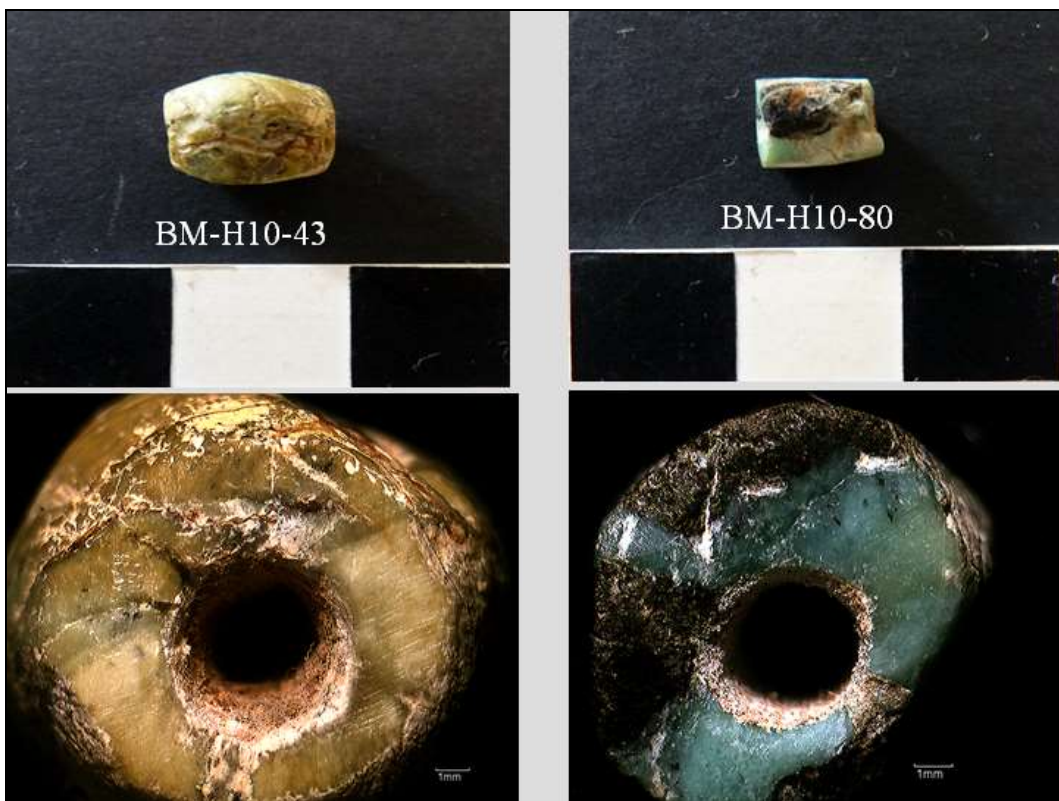


Figura 260. Denes globular i tubular de BM H10 i traces dels plànols de perforació.

- Grup BM-G12 (nº 22,45,145)

DESCRIPCIÓ, PRODUCCIÓ I FUNCIONALITAT

-BM-G12-45. Dena circular de color verd clar. Amida 6mm de diàmetre per 1,5mm de gruix i presenta perforació central que mesura 1,8mm de diàmetre. La superfície presenta línies de poliment en totes direccions, possiblement contra gra fi. La perforació central s'ha dut a terme per perforació rotativa bipolar en varis intents irregulars, de fet en dos temps, que han deixat estries concèntriques dins l'orifici. A nivell d'ús es veu una lleu patina de fregament reiterat de la superfície i al voltant de l'orifici.

-BM-G12-145. Dena circular de color verd intens i impureses negres. Amida 5,7mm de diàmetre per 3mm de gruix i presenta perforació central que mesura 2mm de diàmetre. La superfície presenta línies de poliment en totes direccions, possiblement contra gra fi. La perforació central s'ha dut a terme per perforació rotativa bipolar que han deixat estries concèntriques dins l'orifici. A nivell d'ús es veu una lleu patina de fregament reiterat de la superfície i al voltant de l'orifici.

-BM-G12-22. Dena circular de color verd clar gairebé blanc. Amida 6,4mm de diàmetre per 3mm de gruix i presenta perforació central que mesura 1,7mm de diàmetre. La superfície presenta línies de poliment en totes direccions, possiblement contra gra fi i algunes impureses. La perforació central s'ha dut a terme per perforació rotativa bipolar en dos temps que ha deixat estries concèntriques dins l'orifici. A nivell d'ús es veu una lleu patina de fregament reiterat de la superfície i al voltant de l'orifici.



Figura 261. Conjunt de les tres denes circulars i detall de traces en els plànols de perforació.

-Grup BM-G9 (nº 12,69,78)

DESCRIPCIÓ, PRODUCCIÓ I FUNCIONALITAT

-BM-G9-12. Dena circular de color verd de perforació excèntrica i restituïda, contaminada per imedio. Amida 6,9mm de diàmetre per 1,6mm de gruix i presenta perforació central que mesura 1,5mm de diàmetre. La superfície presenta línies de poliment en totes direccions, possiblement contra gra fi. La perforació central s'ha dut a terme per perforació rotativa bipolar en dos temps que ha deixat estries concèntriques dins l'orifici. A nivell d'ús es veu una lleu patina de fregament reiterat de la superfície i al voltant de l'orifici.

-BM-G9-78. Dena circular de color blanc-beix de perforació excèntrica amb irregularitats. Amida 7,7mm de diàmetre per 3,8mm de gruix i presenta perforació central que mesura 2mm de diàmetre. La superfície i contorns presenten línies de poliment en totes direccions, possiblement contra gra fi. La perforació central s'ha dut a terme per perforació rotativa bipolar que ha deixat estries concèntriques dins l'orifici. A nivell d'ús es veu una lleu patina de fregament reiterat de la superfície i al voltant de l'orifici.

-BM-G9-69. Dena circular de color verd de perforació excèntrica amb irregularitats. Amida 6,7mm de diàmetre per 3mm de gruix i presenta perforació central que mesura 1,5mm de diàmetre. La superfície i contorns presenten línies de poliment en totes direccions, possiblement contra gra fi. La perforació central s'ha dut a terme per perforació rotativa bipolar que ha deixat estries concèntriques dins l'orifici i marques al voltant. A nivell d'ús es veu una lleu patina de fregament reiterat de la superfície i al voltant de l'orifici.



Figura 262. Detall de les denes circulars i de les traces de poliment en superfícies i contorns.

-Grup BM-M9 (nº 6,7, 83, 84, 88,89, 96)

DESCRIPCIÓ, PRODUCCIÓ I FUNCIONALITAT

-BM-M9-6. Dena tubular de color verd intens de la que es conserva la meitat en secció. Amida 8,5mm de longitud per 7mm de diàmetre, 2,8mm de gruix i presenta perforació transversal que mesura 2mm de diàmetre. Poliment intens superfície i contorns. La perforació és de tipus concèntrica bipolar i s'observen marques del trepant-punta en el pla de perforació així com fregament per ús reiterat en les superfícies.

-BM-M9-89. Dena circular de color verd que només conserva la meitat. Amida 5,5mm de diàmetre per 3mm de gruix i presenta perforació central que mesura 2,5mm de diàmetre. La

superfície i contorns presenten línies de poliment en totes direccions, possiblement contra gra fi. La perforació central s'ha dut a terme per perforació rotativa bipolar en dos temps que ha deixat estries concèntriques dins l'orifici. A nivell d'ús es veu una lleu patina de fregament reiterat de la superfície i al voltant de l'orifici.

-BM-M9-96. Dena circular de color verd i contorn de forma biconvexa. Amida 8mm de diàmetre per 4,3mm de gruix i presenta perforació central que mesura 2mm de diàmetre. La superfície i contorns presenten línies de poliment en línies paral·leles, possiblement contra gra fi. El poliment és abrasiu en dos plànols de facetat i té unes marques iguals als dos plànols que fan pensar en un suport o motlle de fixació. La perforació central s'ha dut a terme per perforació rotativa bipolar. A nivell d'ús es veu una lleu patina de fregament reiterat de la superfície i al voltant de l'orifici.

-BM-M9-83-84. Dena tipus barrilet de color verd clar, fracturada i enganxada pels dos fragments fent visible la perforació en secció. Amida 10mm de longitud per 8,7mm de diàmetre, 2,4mm de gruix i presenta perforació transversal que mesura 3mm de diàmetre. Poliment intens superfície i contorns. La perforació és de tipus concèntrica bipolar. Es pot observar una abrasió posterior per a una altra reutilització amb un poliment abrasiu per donar forma post-trencament al voltant de perforació.

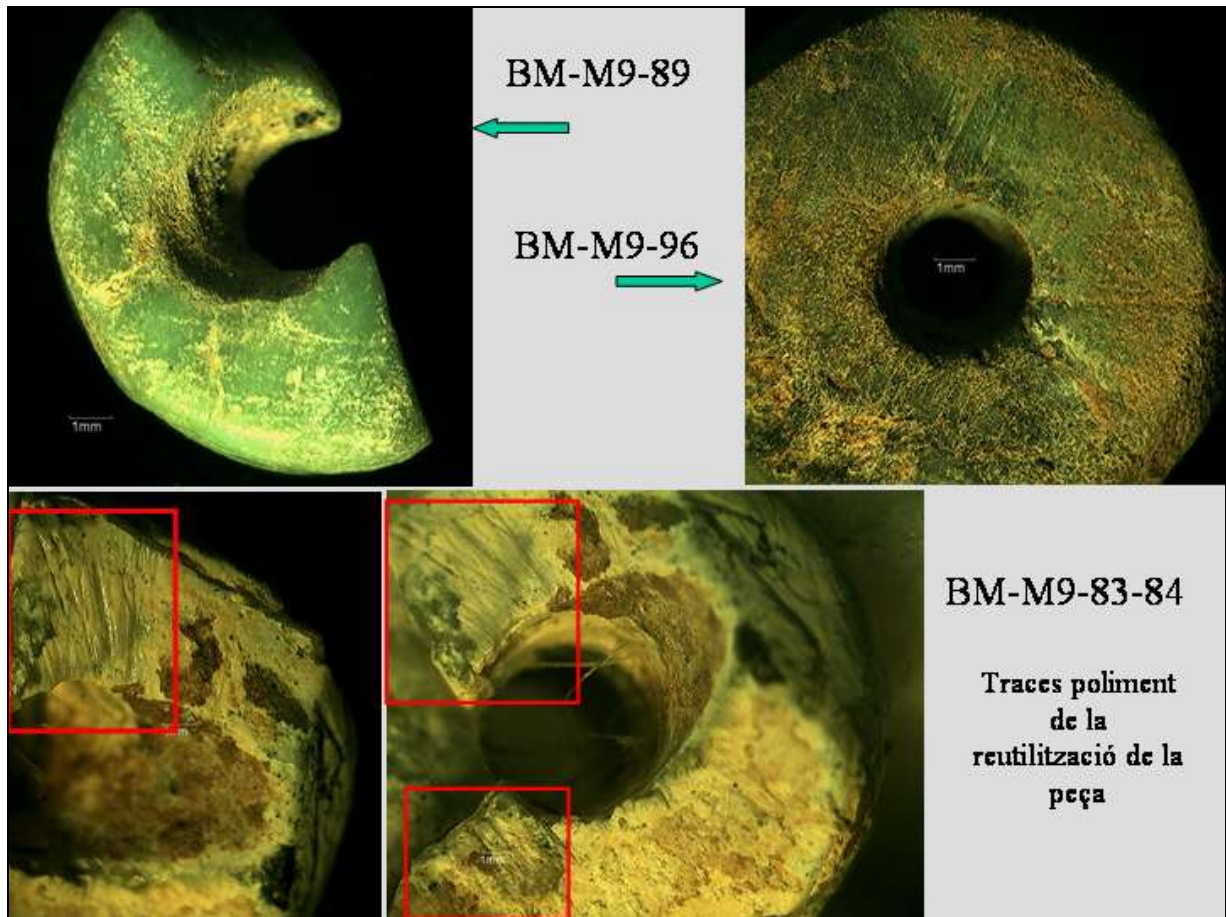


Figura 263. Detall de les traces de perforació, poliment i reutilització de les denes de BM-M9.

Plaquetes de variscita/ cal·laïta

-**BM-M9-7**. Plaqueta amb forma rectangular de color verd intens i de secció rectangular. Amida 7,7mm de longitud per 4,4mm d'amplada i 1,6mm de gruix. Presenta poliment abrasiu per les dues superfícies i traces de fregament reiterat en un dels plànols, pla, que interpretem com a posterior. La seva funció és incerta a partir de les traces d'ús, si bé podia funcionar com a peça individual no determinada o aplic donades les restes d'una pigmentació adherida de color negre observada amb la lupa a 60X, en tot el contorn de la peça.

-**BM-M9-88**. Plaqueta amb forma rectangular de color verd intens i de secció rectangular. Amida 6,2mm de longitud per 3,7mm d'amplada i 1,3mm de gruix. Presenta poliment abrasiu amb traces en totes direccions per les dues superfícies i traces de fregament reiterat en els dos plànols de superfície. La seva funció és incerta a partir de les traces d'ús, si bé podia funcionar com a peça individual no determinada o aplic donades les restes d'una pigmentació adherida de color negre observada amb la lupa a 60X, en tot el contorn de la peça.



Figura 264. Detalls de les peces tipus plaquetes rectangulars i traces de poliment de les superfícies.

-Grup BM-M15 (nº 12-19; 22-24, 43-59, 67-103). Total de peces: 62. Consta de 17 denes tipus barrilet, 43 denes circulars, una dena bicònica globular i una dena tubular. En descrivim les peces amb traces més significatives.

DESCRIPCIÓ, PRODUCCIÓ I FUNCIONALITAT

-BM-M15-69. Dena circular de color verd. Amida 5,5mm de diàmetre per 2,5mm de gruix i presenta perforació central que mesura 2mm de diàmetre. La superfície i contorns presenten línies de poliment paral·leles possiblement contra gra fi. La perforació central s'ha dut a terme per perforació rotativa bipolar, que es va moure i ha creat un eixamplament. A nivell d'ús es veu patina de fregament reiterat de la superfície i al voltant de l'orifici.

-BM-M15-78. Dena circular de color verd i secció bicònica. Amida 8,6mm de diàmetre per 4,3mm de gruix i presenta perforació central que mesura 2,3mm de diàmetre. La superfície i contorns presenten línies de poliment paral·leles possiblement contra gra fi i mitjà. La perforació central s'ha dut a terme per perforació rotativa bipolar en dos temps. A nivell d'ús es veu patina de fregament reiterat de la superfície i al voltant de l'orifici.

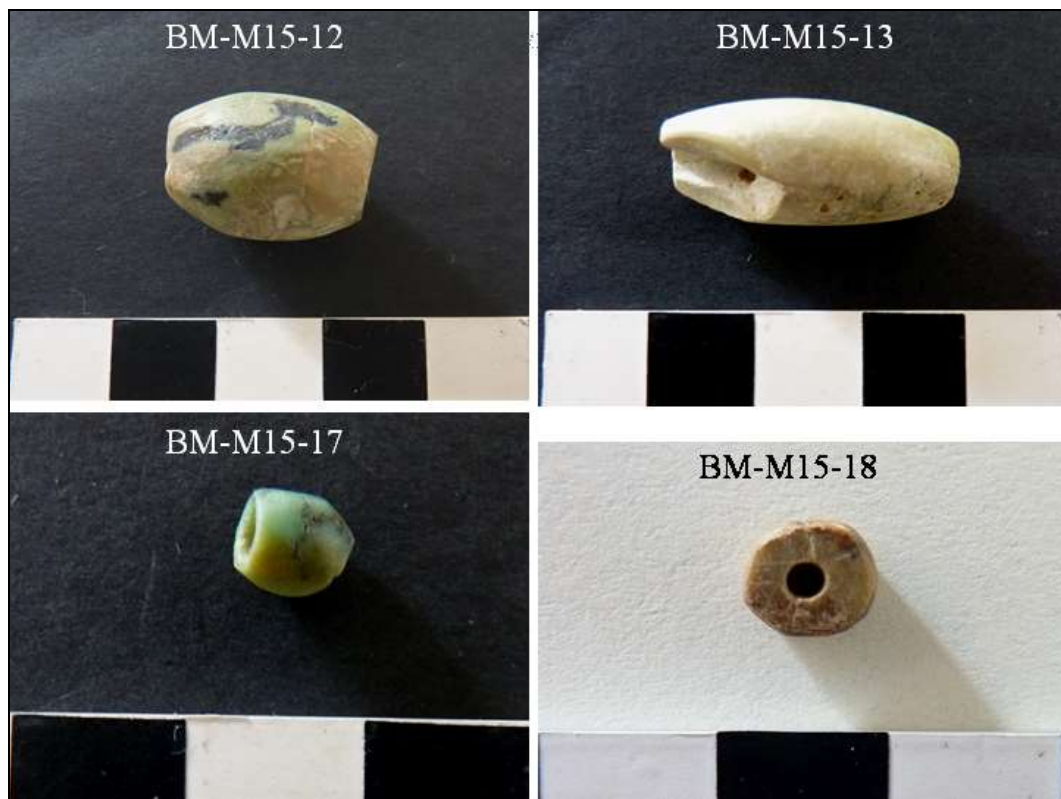


Figura 265. Tipus de denes del conjunt BM-M15.

-BM-M15-93. Dena tipus barrilet de color verd. Amida 20,5mm de longitud per 11,8mm d'amplada i 11,2mm de gruix màxim. Presenta perforació transversal que mesura 3,2mm de diàmetre. Poliment intens superfície i contorns amb gra fi i mitjà, amb diversos plànols de facetat amb traces diverses en orientació. La perforació és de tipus concèntrica bipolar. Es pot observar una abrasió intencional de les irregularitats de la superfície. Traces de fregament reiterat en el contorn de tota la peça.

-BM-M15-94. Dena tipus barrilet de color verd clar. Amida 22,6mm de longitud per 11,2mm d'amplada. Els extrems amiden 8,2mm de diàmetre. Presenta perforació transversal que mesura 4,2mm de diàmetre. Poliment intens superfície i contorns amb gra fi i mitjà. La perforació és de tipus concèntrica bipolar. Es pot observar una abrasió intencional de les irregularitats de la superfície. Traces de fregament reiterat en el contorn de tota la peça.

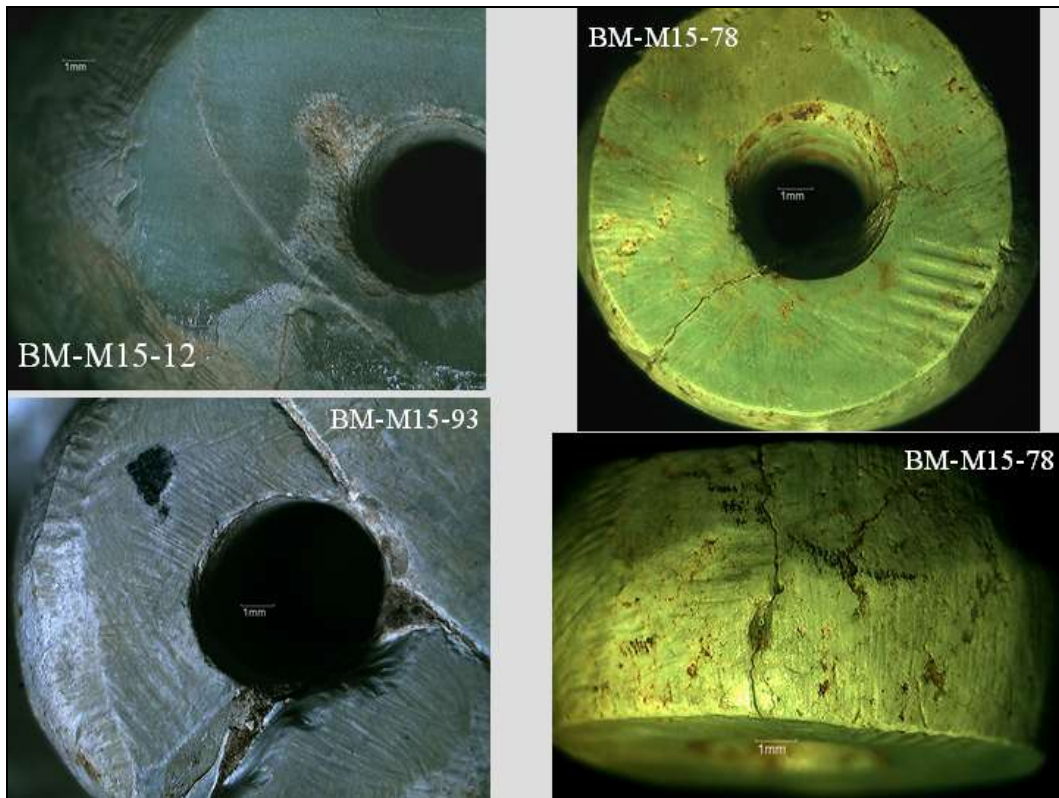


Figura 266. Traces de poliment i perforacions de denes del conjunt M15.

-Grup BM-G10 (nº 11, 20, 22, 25, 26, 30, 51, 52, 68, 69, 181-193). Total de peces: 23. Consta de 2 denes tipus barrilet, 13 denes circulars, una dena globular, 4 denes tubulars, 3 peces no determinades.

DESCRIPCIÓ, PRODUCCIÓ I FUNCIONALITAT

-BM-G10-69. Dena circular de color verd amb concrecions. Amida 11,6mm de diàmetre per 5,1mm de gruix i presenta perforació central que mesura 2,5mm de diàmetre. La superfície i contorns presenten línies de poliment en totes direccions possiblement contra gra fi i mitjà i en diversos plànols de facetat. La perforació central s'ha dut a terme per perforació rotativa bipolar en dos temps. A nivell d'ús es veu patina de fregament reiterat de la superfície i al voltant de l'orifici. Destaca un filament de veta de quars.

-BM-G10-52. Dena circular de color verd amb concrecions. Amida 11,5mm de diàmetre per 4,6mm de gruix i presenta perforació central que mesura 2,1mm de diàmetre. La superfície i contorns presenten línies de poliment en totes direccions possiblement contra gra fi i mitjà i en diversos plànols de facetat. La perforació central s'ha dut a terme per perforació rotativa bipolar en dos temps. A nivell d'ús es veu patina de fregament reiterat de la superfície i contorns. Destaca un filament de veta de quars.

-BM-G10-187. Dena circular de color verd amb un extrem més estret i un altre ample que dona forma, vista en secció, de tendència triangular. Amida 7,9mm de diàmetre per 6,2mm i 4,5mm de gruix, amb perforació central que mesura 3mm de diàmetre. La superfície i contorns presenten línies de poliment paral·leles possiblement contra gra fi i en diversos plànols de facetat. La perforació central s'ha dut a terme per perforació rotativa bipolar en dos temps. A nivell d'ús es veu patina de fregament reiterat dels contorns.

Finalment, destaquem dues peces que van aparèixer isolades en inhumacions individuals.

DESCRIPCIÓ, PRODUCCIÓ I FUNCIONALITAT

-BM-M5-208. Dena circular de color verd intens. Amida 6,5mm de diàmetre per 2mm de gruix, amb perforació central que mesura 1,5mm de diàmetre. La superfície i contorns presenten línies de poliment en totes direccions contra gra fi. La perforació central s'ha dut a terme per perforació rotativa bipolar. A nivell d'ús es veu patina de fregament reiterat dels contorns.

-BM-M11-38. Dena circular de color verd amb irregularitats en el poliment i errors de perforació. Amida 10mm de diàmetre per 5mm de gruix, amb perforació central que mesura 2mm de diàmetre. La superfície i contorns presenten línies de poliment en totes direccions contra gra fi. La perforació central s'ha dut a terme per perforació rotativa bipolar. A nivell d'ús es veu patina de fregament reiterat dels contorns.

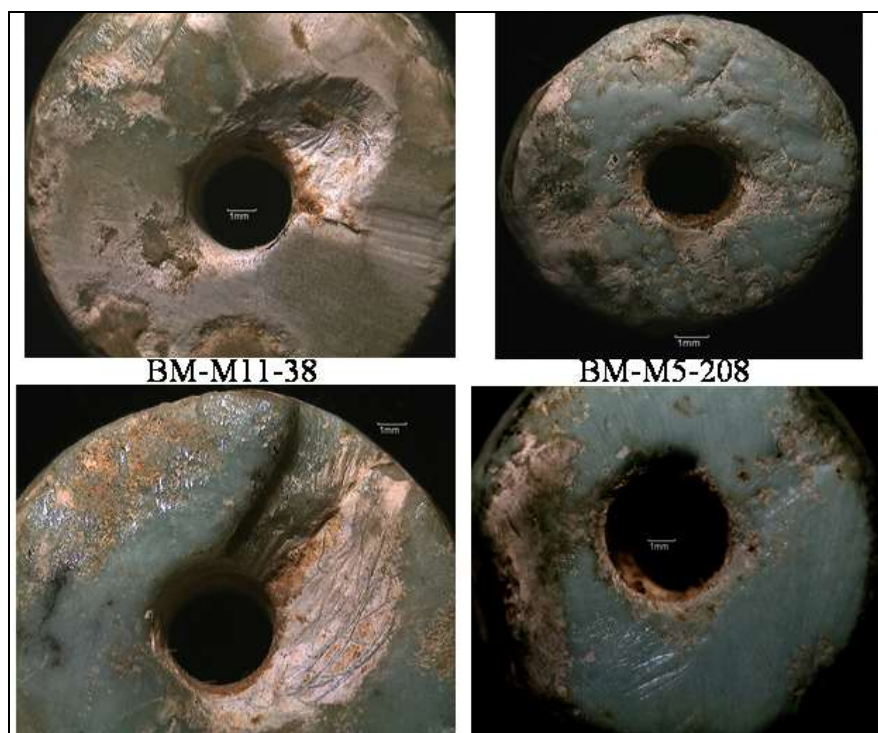


Figura 267. Denes BM-M11-38, amb errors de perforació, i la dena BM-M5-208 amb irregularitats.

7.2. CAN ROQUETA II

7.2.1 DENES (Minerals)

Recuperem aquest conjunt de denes estudiades anteriorment per nosaltres (Oliva, 2002) per dos motius: s'ha realitzat una analítica de Difracció de Raigs X i podem confirmar que es tracta de variscita; durant l'excavació recent de l'any 2015 del crani de l'inhumat realitzat per la Dra. Tona Majó, es van localitzar 3 noves denes que s'han incorporat a l'estudi de la mostra.

MORFO-TIPUS	NOMBRE	CONTEXT ARQUEOLÒGIC
Denes circulars de variscita	16	Inhumació individual

Taula 27. Total d'ornaments, morfo-tipus i context arqueològic dels materials de la mostra de Can Roqueta II.

DESCRIPCIÓ

Són denes de tipus circulars, en la seva majoria amb la perforació al centre a excepció de les denes CRII-329-1-75 i CRII-329-1-78, on la perforació està situada en un pla més aviat central-mesial. El poliment dels contorns i de les dues superfícies és també característica comuna, i només s'observa un acabat més irregular a la dena CRII-329-1-77, on s'observen arestes rectes al contorn de la dena. Les mesures de les denes són: diàmetres màxims que oscil·len entre 7mm i 11mm, gruixos que van dels 2mm als 5mm i finalment, orificis de suspensió/inserció d'entre 1mm i 3 mm. De fet, de les 16 denes, cinc són de 9 mm de diàmetre, tres mesuren 10 mm de diàmetre i cinc en fan 7 mil·límetres. Només dues surten de les tres mesures anteriors i només per un mil·límetre de diferència. Els gruixos també són molt homogenis, al voltant de 3 i 4 mm i només dues denes amplien els valors a 2 i 5 mm.

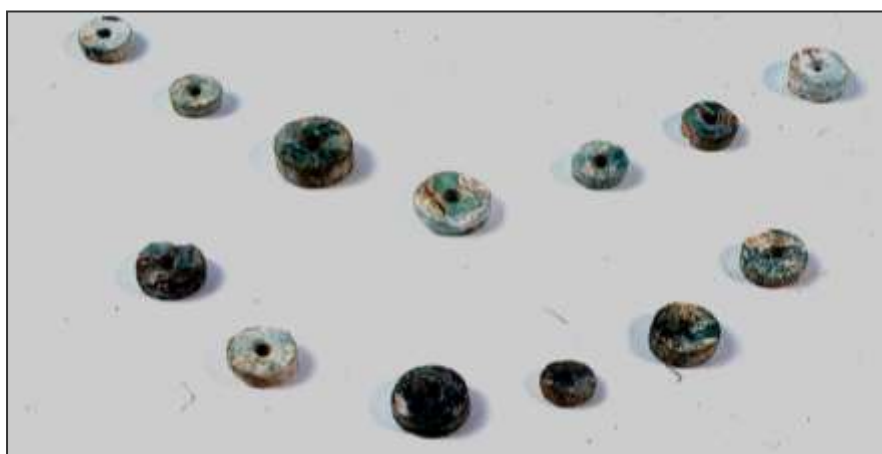


Figura 268. Conjunt de denes de variscita de CRII-329.

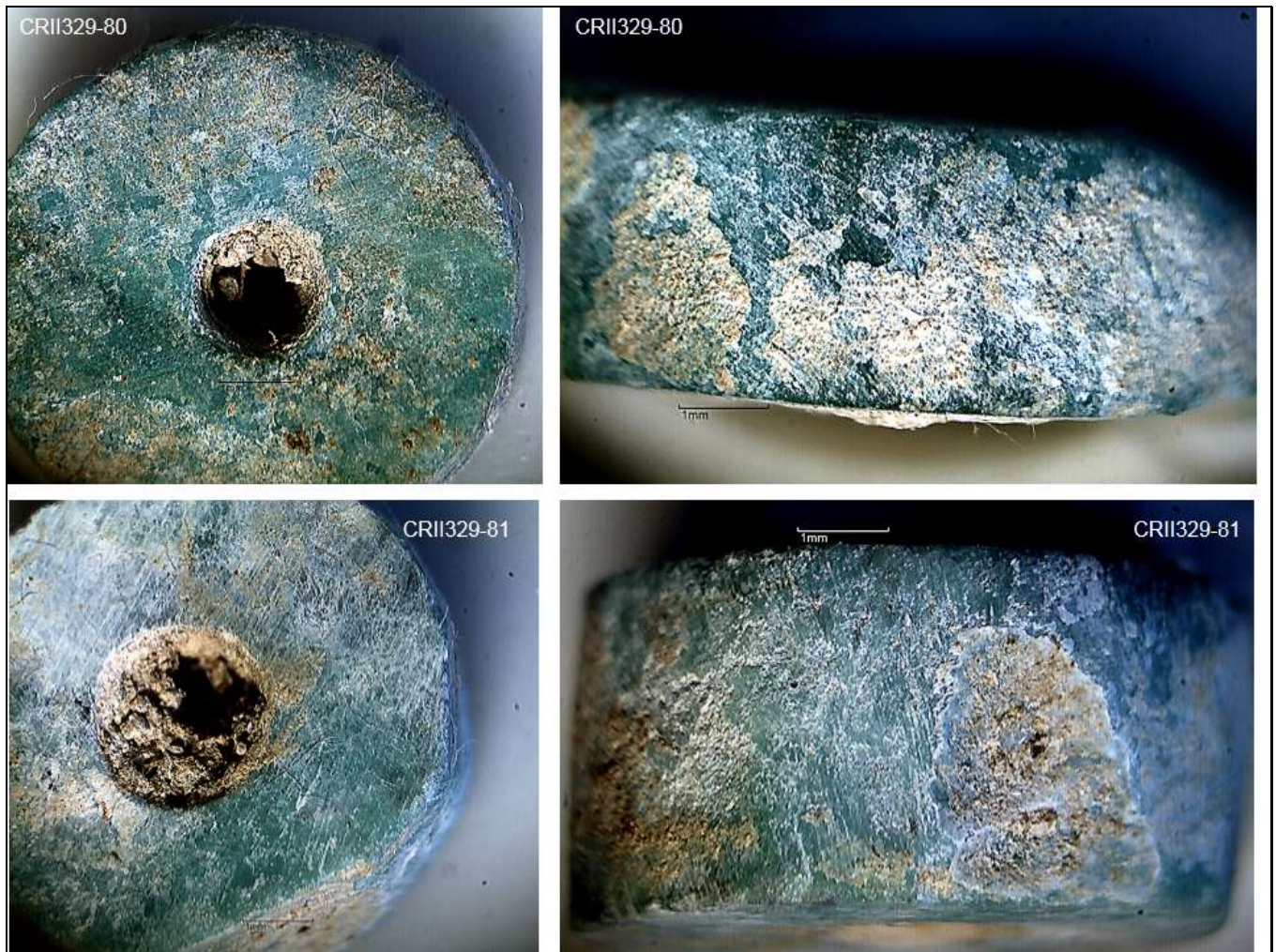


Figura 269. Detall de les traces de poliment abrasiu unidireccionals paral·leles i obliqües en les superfícies i contorns de les denes CRII329-80 i CRII329-81.

PRODUCCIÓ I FUNCIONALITAT

El difractograma de l'analítica mostra clarament un únic component, la variscita, i altres impureses irrellevants. No és variscita fèrrica, característica molt comuna a la variscita procedent de les mines de Gavà, però no descartem que es tracti d'una veta aïllada de les galeries conegudes.

A nivell tecnològic, les denes es varen fabricar a partir de la tria de fragments per donar forma a la pre-forma inicial circular. Les traces de poliment observades en indiquen un poliment abrasiu de les superfícies i contorns, deixant línies paral·leles en les superfícies i en totes direccions en quatre casos. En el cas dels contorns, també es determinaren línies paral·leles obliqües i en el cas de CRII329-81, plànols diferenciats d'angles rectes en tot el contorn.

L'orifici d'inserció central es va realitzar de forma concèntrica rotativa bipolar, de tendència bicònica en algun cas. Finalment es va polir els contorn i la superfície de les denes com a procés d'acabat de les peces. No s'han detectat clars indicis d'ús degut en part a les concrecions

generalitzades dins els orificis d'inserció/suspensió. Tot i així contemplem l'enfilament per a polsera o collar segons la disposició en l'inhumat i el sepulcre.

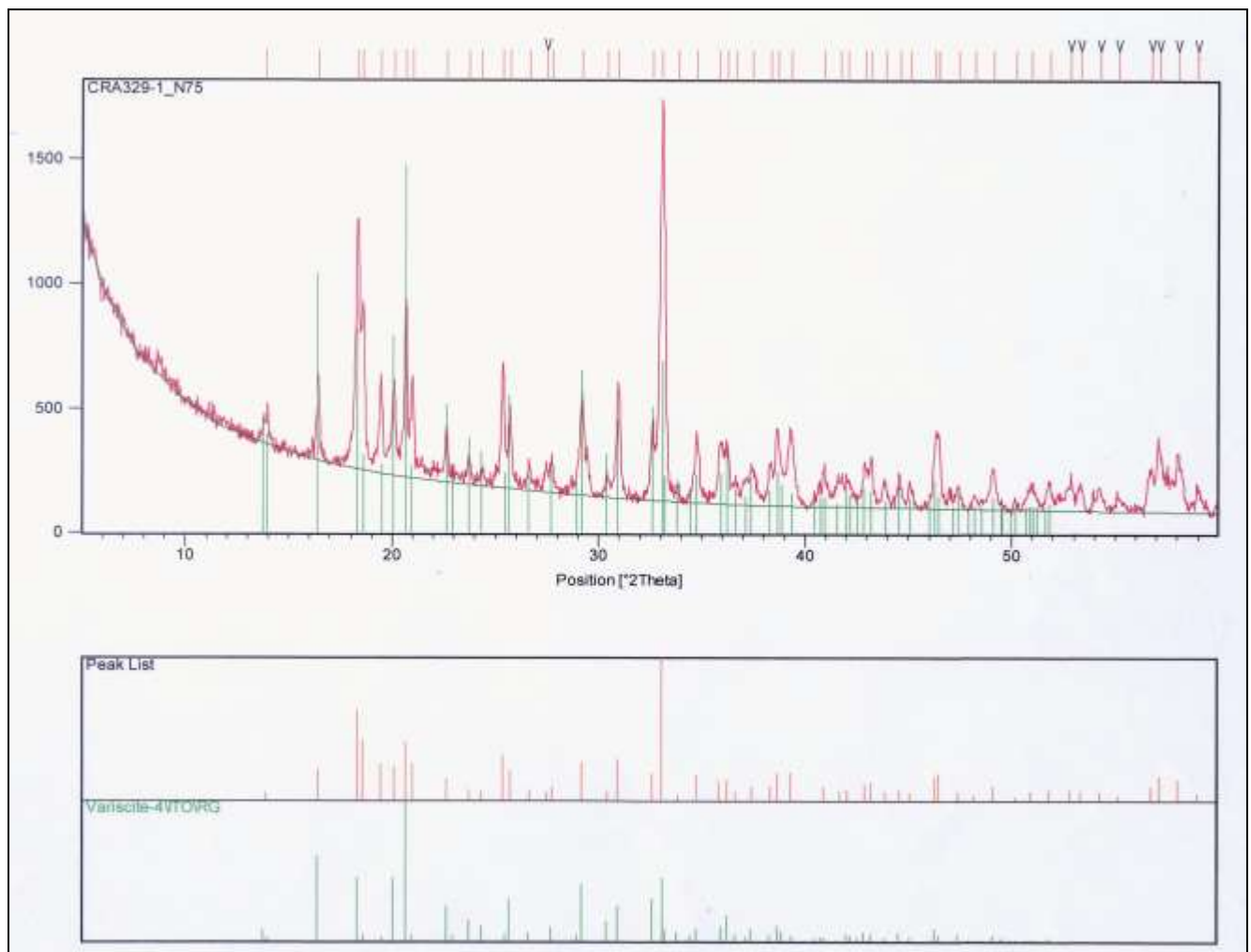


Figura 270. Difractograma de la dena CRII-329-75, amb un únic component, la variscita.

7.3. FEIXA DEL MORO

La mostra de 70 denes que vam poder estudiar eren peces d'una polsera i de un collar procedents de la cista 2. Les denes són variscita fèrrica, determinada per difracció de Raigs X⁶ i dipositades al Servei de Patrimoni d'Andorra.

MORFO-TIPUS	NOMBRE	CONTEXT ARQUEOLÒGIC
Denes circulars	38	Cistes 2 i 3
Denes barrilet	24	Cistes 2 i 3
Denes globulars bicòniques	7	Cistes 2 i 3
Denes irregulars	1	Cistes 2 i 3
Total	70	

Taula 28. Total de denes de la mostra estudiada per morfo-tipus i context arqueològic de Feixa del Moro.

7.3.1. DENES CIRCULARS. COLLAR CISTA 2.

DESCRIPCIÓ, PRODUCCIÓ I FUNCIONALITAT

S'han determinat 28 denes circulars que formaven part del collar de la cista 2. Les denes estan molt ben acabades i polides. El color de les peces es mou entre el verd clar, amb parts de tonalitats més fosques o gairebé blaves. A nivell morfo-mètric, els diàmetres de les denes oscil·len entre 6,7mm i 10,4mm amb un gruix d'entre 2,3mm fins 7,3mm.

Comptabilitzem 6 denes que considerem com a discoïdals pel gruix (1,8mm-4,3mm) i que en els diàmetres oscil·len entre 7,1mm i 10,9mm.

Totes presenten una perforació central, amb diàmetres que varien entre 2mm i 2,5mm. Segons les traces observades⁷ de producció, aquestes denes han patit un poliment intens abrasiu del fragment original per donar forma a la superfície i contorns, deixant línies en totes direccions. Presenten un orifici central realitzat per perforació bipolar rotativa consecutiva amb un trepant lític. Es poden observar els solcs i estries concèntriques a dins dels orificis, traces producte d'aquesta acció. Hi ha una excepció amb la dena FM-17c, en la que la perforació realitzada és bipolar rotativa concèntrica de secció bicònica i efectuada en dos temps. Les denes s'han finalitzat amb un poliment intens per regularitzar les superfícies i contorns. A nivell de traces d'ús, s'ha observat lleu fregament al voltant de l'orifici i una patina en tota la superfície. Les denes s'utilitzarien per mitjà d'un sistema en combinació amb d'altres peces.

⁶ Anàlisi de diverses denes amb resultats de Variscita amb presència de Fosfosiderita i Strengita (Edo et al. 1992).

⁷ No es va poder fer registre fotogràfic degut a la impossibilitat d'acoblar una càmera a la lupa binocular de les instal·lacions del Servei d'Arqueologia d'Andorra. Totes les descripcions es van introduir a la nostra base de dades en el moment de l'observació.

7.3.2. DENES TIPUS BARRILET. COLLAR CISTA 2.

DESCRIPCIÓ, PRODUCCIÓ I FUNCIONALITAT

Es van estudiar 19 denes tipus barrilet que formaven part del collar. Les denes estaven molt polides i ben acabades a excepció de 4 peces que presentaven fractura o irregularitats en els extrems. Totes presenten un engruiximent al centre de la peça, que els hi dóna la característica forma i una perforació en els extrems que les travessa d'extrem a extrem. El color de les denes és el verd clar fins arribar al blau, amb tonalitats més fosques de les concrecions de les betes geològiques. A nivell morfomètric, presenten variabilitat en les dimensions. Les longituds van de 37mm a 7,9mm, les amplades (diàmetres) màximes oscil·len entre 7,5mm i 16,4mm, amb uns diàmetres dels plànols de perforació dels extrems situats entre 11mm i 6mm. Els orificis d'enfilament dels extrems presenten uns diàmetres de 2mm i 3mm.

Les traces tecnològiques observades ens permeten inferir un poliment intens abrasiu de les superfícies i contorns a partir d'una pre-forma inicial o fragment, donat que hem observat línies abrasives en totes direccions. El procés següent seria el poliment abrasiu dels extrems per preparar el plànol de perforació, on en el centre es realitzaren les perforacions bipolars rotatives consecutives. En 24 denes la perforació és bipolar rotativa concèntrica, de secció bicònica i efectuada en dos temps. Hi hauria un poliment final d'acabat que no hem pogut destriar amb claredat del fregament reiterat per ús. Sí que s'ha determinat un desgast al voltant de l'orifici d'enfilament.

7.3.3. DENES GLOBULARS. COLLAR CISTA 2.

DESCRIPCIÓ, PRODUCCIÓ I FUNCIONALITAT

Vam determinar 7 denes que finalment considerem de tipus globular de tendència bicònica. Entre elles destaquem:

-FM-8: Dena molt polimentada de tendència globular i secció bicònica amb contorns arrodonits i perforació que la travessa de forma transversal. Té color verd clar amb àrees més fosques blavoses. Amida 11,4mm de longitud, per 11mm d'amplada màxima. Els plànols de perforació dels extrems mesuren 6,8mm i 7,2mm de diàmetre respectivament, amb un orifici de perforació de 2mm. S'observen traces de poliment abrasiu de la superfície i contorn en totes direccions, donant lloc a la forma de dues meitats de la part inferior del con. La perforació és de tipus bipolar rotativa concèntrica, recta, en dos temps. S'hauria fet un poliment final d'acabat per regularitzar la peça. A nivell d'ús, destriem el fregament reiterat al voltant de l'orifici d'enfilament.



Figura 271. Collar de la cista 2 de Feixa del Moro, i detall de denes circulars i denes barrilet. (Fotos. M. Oliva i J.F. Gibaja).

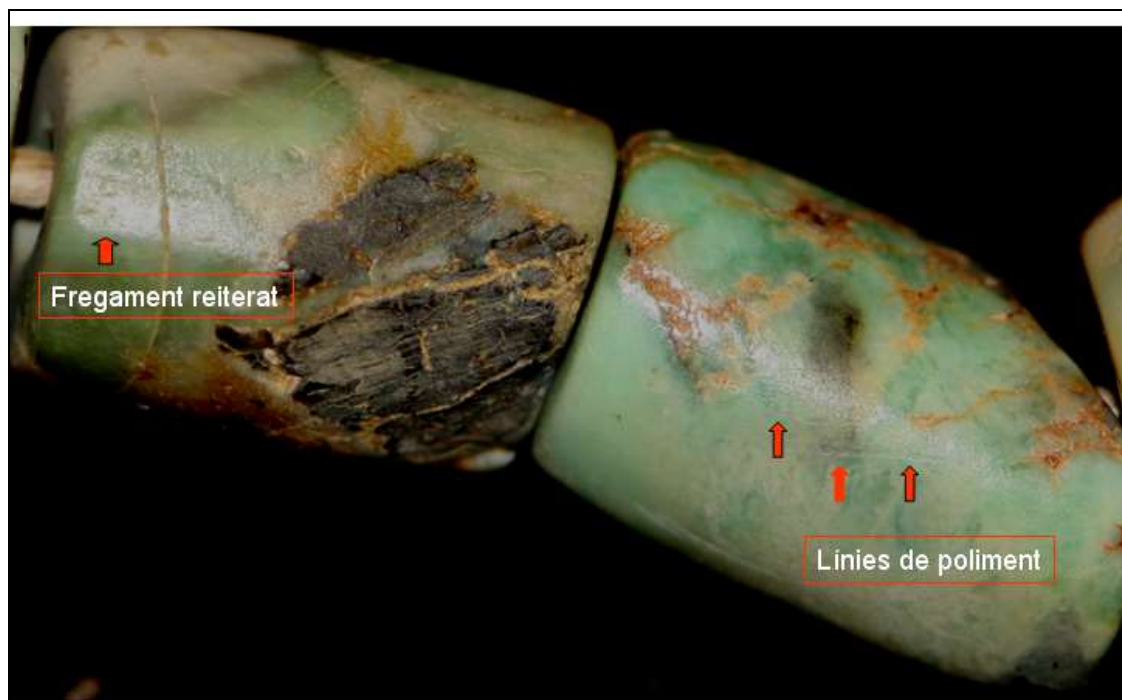


Figura 272. Detall de traces de fregament per ús i de poliment tecnològic. (Foto: J.F.Gibaja)

7.3.4. DENES CIRCULARS . POLSERA CISTA 2.

DESCRIPCIÓ, PRODUCCIÓ I FUNCIONALITAT

S'han estudiat 9 denes molt polides de color verd clar amb tonalitats més fosques arribant a blavoses. Les mesures de les denes són: els diàmetres oscil·len entre 5mm i 8mm, el gruix va de 1,5mm fins 4,5mm. Presenten perforació central amb un orifici amb diàmetres de 2mm i 2,5mm.

Les denes es van realitzar a partir del poliment intens abrasiu d'una pre-forma o fragment i s'observen traces de línies abrasives en totes direccions. Totes es van perforar centralment amb una punta lítica o trepant de forma bipolar rotativa consecutiva, deixant solcs concèntrics en el interior dels orificis. Hi hauria un poliment regularitzant d'acabat de les peces.

A nivell d'ús, s'ha observat un fregament reiterat al voltant de l'orifici d'enfilament i a les superfícies i contorns.

7.3.5. DENES TIPUS BARRILET. POLSERA CISTA 2.

DESCRIPCIÓ, PRODUCCIÓ I FUNCIONALITAT

S'han estudiat 5 denes tipus barrilet de secció perllongada, molt polides i que presenten un engruiximent al centre de la peça. Totes presenten dos orificis als extrems, amb perforació que les travessa. El color és verd clar i varia cap a tonalitats blaves. A nivell morfològic, les denes presenten variabilitat, tenint longituds d'entre 7mm i 14mm. Les amplades o diàmetres màxims oscil·len entre 5mm i 9mm, amb diàmetres dels pla de perforacions dels extrems entre 5mm i 8mm. Finalment, els orificis amiden entre 2mm y 3mm de diàmetre.

A nivell de producció segueixen el patró establert per a altres denes d'aquest tipus, força estandarditzat: un poliment del fragment abrasiu per donar forma, en aquests casos s'observen línies abrasives en totes direccions. Pel que fa a les perforacions, els casos FM-210, FM-206, FM-208 y FM-215, la perforació és bicònica recta, en dos temps. A continuació es faria una acabat de la peça per regularitzar el contorn.

En totes hem observat una lleu erosió al voltant dels orificis d'enfilament i un fregament reiterat en les superfícies.

7.3.6. DENES IRREGULARS. POLSERA CISTA 2

DESCRIPCIÓ, PRODUCCIÓ I FUNCIONALITAT

-FM-213: Dena molt polida de forma irregular, amb els laterals rectes, perforada centralment. El color és verd clar, amb una tonalitat gairebé blau. Un plànol lateral és més ample que l'altre i és de tendència bicònica. Amida 13,2mm d'amplada per 8mm de gruix màxim. La perforació central amida 3mm de diàmetre. S'han observat línies de poliment abrasiu en totes direccions producte del poliment inicial. L'orifici central es va realitzar de forma bipolar i per rotació concèntrica. S'hauria fet un poliment per acabar la peça. Les traces d'ús, a excepció de lleu erosió al voltant de la perforació, és un fregament reiterat en tot el contorn.

7.4. MAS D'EN BOIXOS

Els ornaments estudiats es varen localitzar en estructures de les campanyes de Mas d'en Boixos I (1997) i Mas d'en Boixos 2005. Es tracta d'estructures de diferent tipologia i funcionalitat: l'estructura E319 era una sitja reblerta amb material ceràmic que permet adscriure'l al tipus Chassey, l'estructura E88 és una doble inhumació simultània en fossa i finalment l'estructura E313 es tractaria d'un sepulcre de fossa.

MORFO-TIPUS	NOMBRE	CONTEXT ARQUEOLÒGIC
Denes circulars de cal·laïta	9	Inhumació? E-313
Denes circulars amfibolita-serpetina	56	Inhumació? E-313
Penjolls valves perforades (<i>Glycymeris sp</i>)	41	Sitja i inhumació doble E-88
Total	106	

Taula 29. Total d'ornaments estudiats a la mostra segons context arqueològic a Mas d'en Boixos

7.4.1. PENJOLLS (Valves perforades)

DESCRIPCIÓ, PRODUCCIÓ I FUNCIONALITAT

-MB-319-1-53: Valva perforada a l'umbo de *Glycymeris sp*, de 40 mm d'amplada per 32mm de longitud i 4mm de gruix. L'orifici de suspensió fa 5mm de diàmetre. No conserva la vora paleal i els contorns estan rodats.

La perforació es va realitzar per abrasió lleu i rotació directa amb estri lític.

S'han determinat traces de fregament i pàtina d'ús al voltant orifici i laterals de la zona de les dents per acció de la suspensió.



Figura 273. Valva perforada MB-319, amb les àrees de tecnològiques i funcionals.

-Conjunt MB1-88-1-17 (1-40). El formen 40 valves perforades i 6 valves més sense perforar de l'espècie *Glycymeris sp.* Les valves presenten unes característiques que les fa homogènies: el grau de deteriorament amb concrecions i l'estat de descalcificació.

En el cas de MB1-88-1-17-25 hi ha indicis en el cos i superfície d'haver patit un atac litòfag.

DESCRIPCIÓ, PRODUCCIÓ I FUNCIONALITAT

Es distingeixen dos grups segons dimensions, unes valves més mitjanes i unes de més petites. El grup de les valves mitjanes amiden entre 17mm - 27,2mm d'amplada amb gruixos de 1,5mm i 2,5mm.

Les valves petites amiden entre 8,5mm i 14,3mm d'amplada i gruixos de 0,8mm i 1,4mm. Els diàmetres de les perforacions realitzades a l'umbo oscil·len entre 1,1mm i 2,6mm.

S'han identificat 6 orificis naturals, la resta es van dur a terme per abrasió de l'umbó i en un cas, MB1-88-1-17-38, aquesta es va complementar amb rotació directa dins l'orifici amb un estri lític.

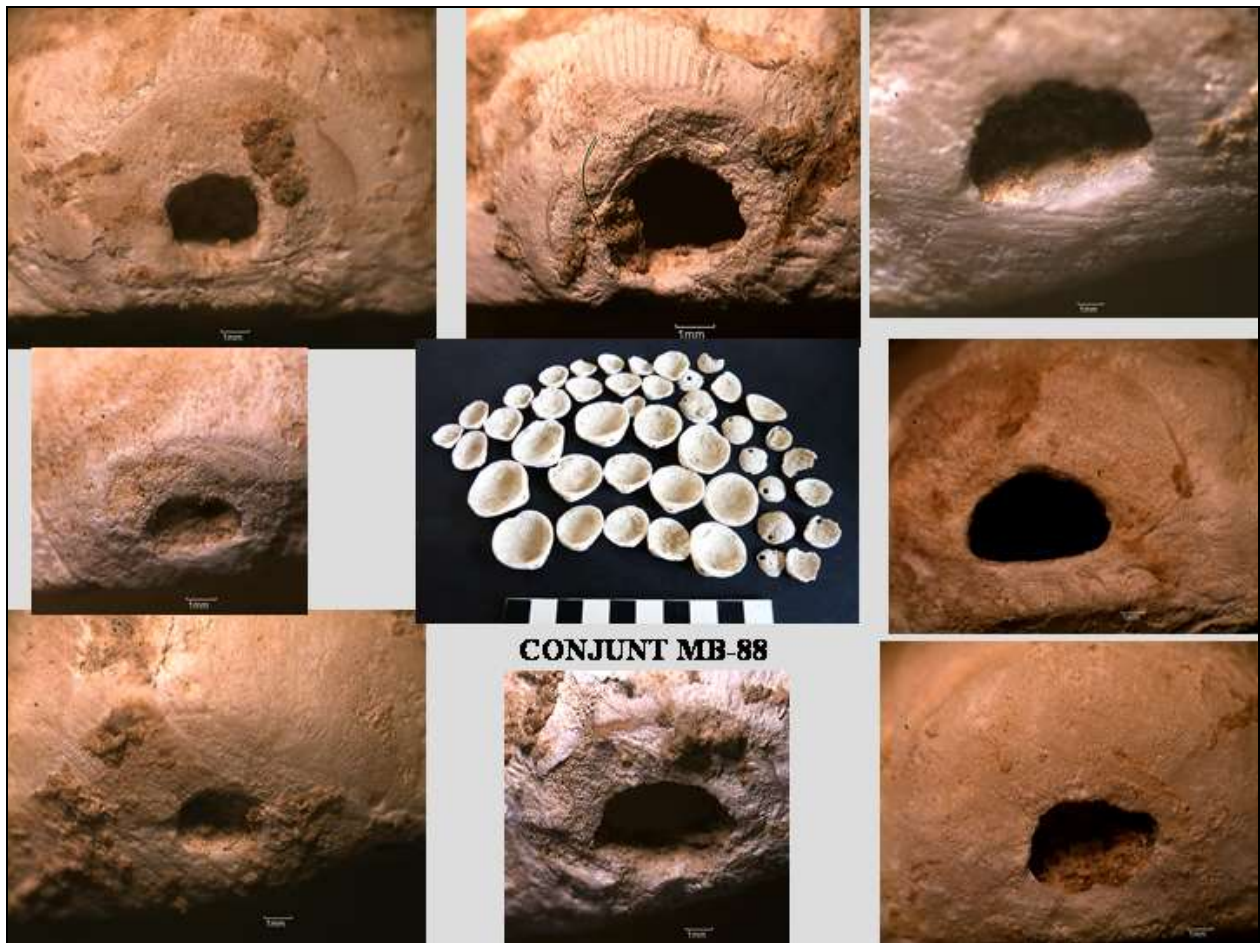


Figura 274. Conjunt de valves de MB-88 (al centre) i detall d'algunes de les perforacions fetes per abrasió, amb els plànols de perforació i traces resultants.

Pel que fa a traces determinades, es veuen amb claredat els plànols d'abrasió de moltes perforacions, amb línies paral·leles. En el cas de MB1-88-1-17-35 a més a més hi ha desgast de la superfície i costelles per fregament i a xarnel·la. En algunes fins i tot hi ha poliments de les vores paleals (MB-88-17-34) dels que en queden línies paral·leles del traç visibles.

Mencionar que apareixen d'altres valves sense perforar a les estructures 311, 319, 323.

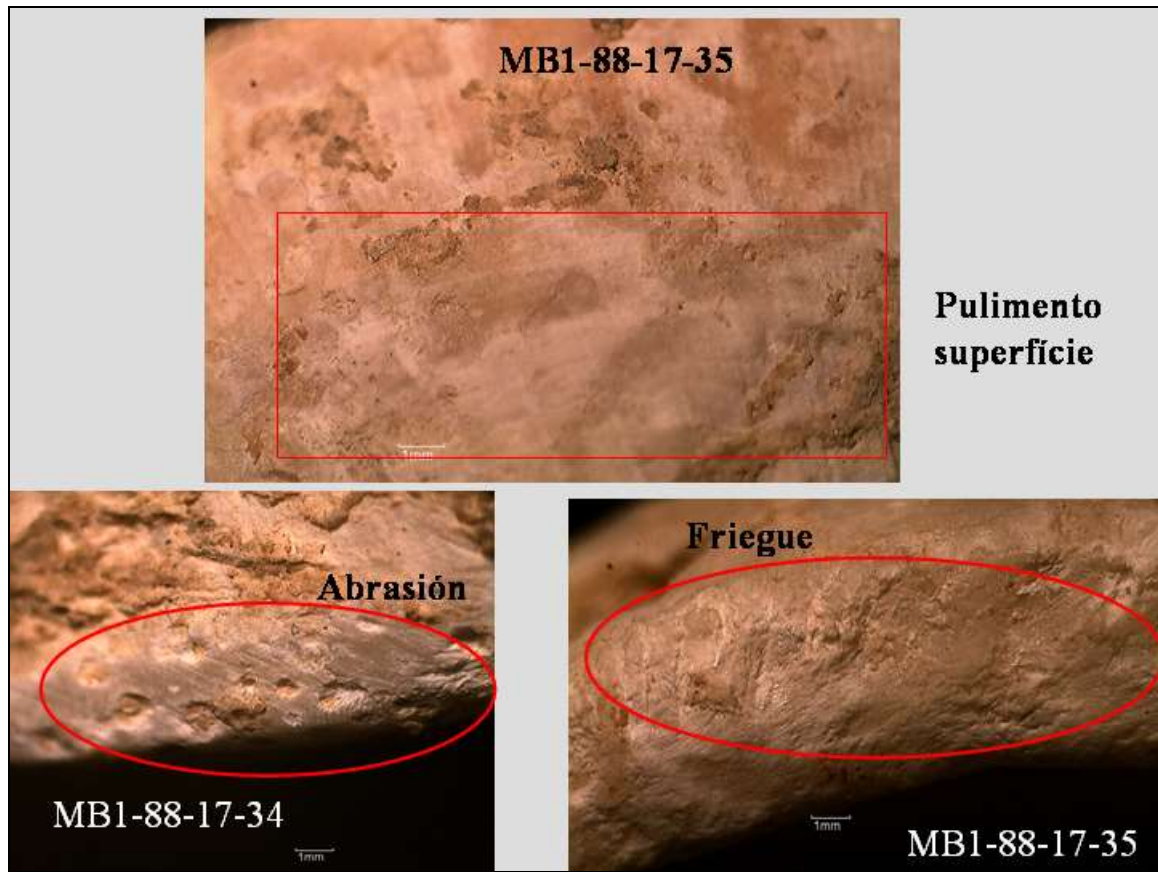


Figura 275. Diferents tipus de traces detectades en exemplars perforats.

7.4.2. DENES (Mineral)

Collar MB-313

El collar està compost de 65 denes circulars de dos tipus, variscita i serpentina/amfibolita.

Denes de cal·laïta

DESCRIPCI3, PRODUCCI3 I FUNCIONALITAT

Corresponen a 9 denes circulars d'entre 8mm i 6,5mm de diàmetre amb gruixos d'entre 2mm i 4mm. Presenten una perforaci3 central o excèntrica, amb orificis que oscil·len entre 1,5mm i 2,5mm. Les seccions de dues denes s3n bic3niques (MB-313-1 i MB-313-4).

Gairebé totes presenten concrecions i les superfícies i contorns no presenten un acabat regular, sin3 que conserven irregularitats. Totes estan polides de forma abrasiva a partir una pre-forma o fragment, donat que es determinen traces paral·leles en superfícies.



Figura 276. Detall del collar i les peces de cal·laïta i serpentina/anfibolita que el componen.

Tot i així, no presenten una regularitat i les denes MB-313-6 i MB-313-9 presenten contorns amb escaires. Les perforacions són rotatives concèntriques bipolars, però realitzades de forma descentrada (Figura 277).

La dena MB-313-6-278 presenta un doble intent de perforació en el plànol anterior (Figura 278).



Figura 277. Conjunt de les denes de cal·laïta del collar i detall d'algunes d'elles i les perforacions excèntriques.



Figura 278. Detall dels dos plànols i secció de la dena MB-313-6.



Figura 279. Detall del plànol anterior i secció de tendència bicònica de la dena MB-313-4.

7.4.3. DENES (Pedra)

Denes de serpentina/amfibolita

DESCRIPCIÓ, PRODUCCIÓ I FUNCIONALITAT

Corresponen a 55 denes circulars d'entre 4mm i 5,5mm de diàmetre amb gruixos d'entre 0,5mm i 2mm. Presenten una perforació central de 1,5mm de diàmetre. Les seccions de 6 denes són bicòniques. Gairebé totes presenten concrecions i les superfícies i contorns presenten un acabat regular. Totes estan polides de forma abrasiva a partir una pre-forma o fragment, donat que es determinen traces paral·leles en superfícies unidireccionals. Algunes denes presenten escaires en plànols d'abradió de les superfícies. Les perforacions són totes rotatives concèntriques unipolars.



Figura 280. Conjunt de denes de serpentina del collar. Detall de les perforacions i plànols d'abradió de les superfícies i seccions.

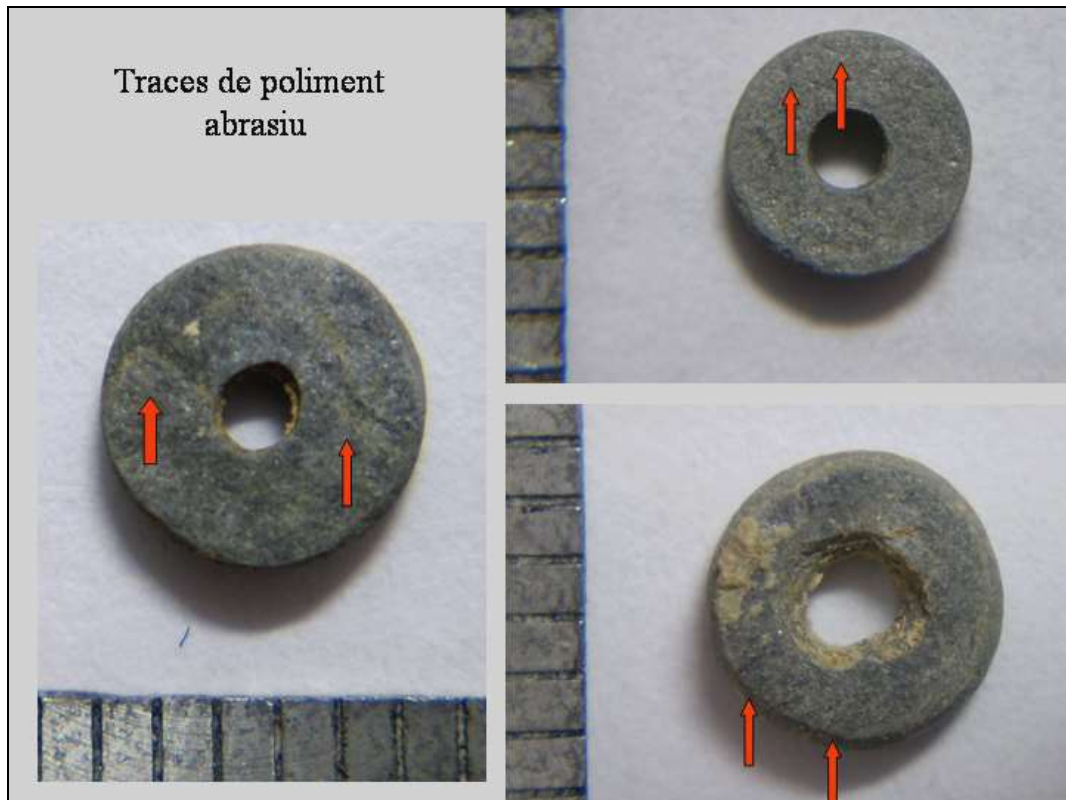


Figura 281. Detall de traces abrasives en les superfícies dels plànols de les denes.

7.5. PLA DEL RIU DE LES MARCETES

D'aquest jaciment es van estudiar únicament dos ornaments en pedra dipositats al Museu Comarcal de Manresa procedents de les fosses 4 i 6 d'inhumació ⁸: un penjoll allargat de tendència oval de contorns arrodonits de variscita (procedent de la Fossa 6, inhumació individual masculina) i una dena tipus barrilet d'antigorita procedent de la Fossa 4, una inhumació doble femenina.

MORFO-TIPUS	NOMBRE	CONTEXT ARQUEOLÒGIC
Penjoll allargat variscita	1	Inhumació individual F.6
Dena barrilet antigorita	1	Inhumació doble F.4
Total	2	

Taula 30. Total d'ornaments de la mostra estudiada segons context arqueològic.

7.5.1. PENJOLLS (Mineral⁹)

DESCRIPCIÓ, PRODUCCIÓ I FUNCIONALITAT

El penjoll de variscita PRM-86-614 té forma rectangular gairebé de tendència oval amb contorns arrodonits i fractura en un lateral de l'extrem apical. El color és verd clar amb concrecions. Presenta una perforació excèntrica apical, que en forma detallada es tracta d'una doble perforació bipolar. D'una banda, hi ha una perforació completa situada en el extrem apical i d'altra, i també hi ha una altra perforació incompleta que va existir prèviament.

Les mesures de la peça són: 18mm de longitud per 12mm d'amplada i 6mm de gruix màxim. El plànol abrasiu de perforació de la cara anterior fa 6mm de diàmetre i el plànol de la cara posterior fa 3mm. L'orifici de suspensió resultant complet amida El 1,5mm de diàmetre.

A nivell de producció, la peça es va realitzar per mitjà d'un poliment abrasiu de les superfícies i contorns a partir d'un fragment, observant-se línies en totes direccions. Pel que fa als orificis, aquests es van dur a terme en dues seqüències: la perforació apical incompleta és anterior i afecta al plànol abrasiu de perforació de la completa. Ambdues perforacions són bipolars i es distingeixen amb claredat els solcs concèntrics del trepant dins dels dos orificis. Al plànol posterior es distingeixen les marques que ha deixat el suport o emmanegament del trepant o punta, en uns cercles lleument marcats per la pressió exercida.

⁸ No s'han incorporat els materials recollits descontextualitzats prèviament a l'excavació arqueològica, no dipositats al museu i que ens consten que estan a domicilis particulars: un cargol *Phalium Saburon* biperforat, dos penjolls d'ulalls de senglar.

⁹ Analítica amb resultat de variscita realitzada recollida a la memòria de la intervenció i a Guitart (1987).



Figura 282. Penjoll PRM-86-6-14, detall de traces de polímer, marques de trepant en la doble perforació i fregament per ús.

A nivell d'ús, s'han observat zones abrasionades per fregament reiterat en el nexa d'unió dels dos orificis, producte del moviment per suspensió de la peça durant l'ús, també s'observa patina de fregament en els contorns de la peça.

Contemplem la possibilitat d'una reutilització de la peça, explicació de la doble perforació per a obtenir un orifici de suspensió. Es va utilitzar diferent punta o trepant per a la realització del segon orifici.

7.5.2. DENA (Pedra)

DESCRIPCIÓ, PRODUCCIÓ I FUNCIONALITAT

La dena tipus barrilet d'antigorita PRM-86-6-6 té secció irregular inclinada. Els extrems de la peça són asimètrics i han patit un rebaix per preparar els plànols de perforació. El color és gris-verd amb puntejats negres i una veta blanca (desconeixem si hi ha anàlítica de determinació). Mesura 17mm de longitud per 13mm de diàmetre màxim.

Els plànols de perforació dels extrems amiden 12mm de diàmetre i 13mm respectivament. Pel que fa als orificis aquests són de 10mm i 8mm.

La peça té un poliment abrasiu en totes les superfícies on s'observen línies en totes direccions i en els contorns, on s'observen de tipus unidireccional. En els plànols de perforació dels extrems també s'observen línies unidireccionals de poliment abrasiu en el sentit de la inclinació del plànol.

La peça presenta perforació bitroncocònica recta, realitzada en dos temps, de tipus bipolar rotativa consecutiva. S'evidencien traces d'estries o solcs a l'interior dels orificis. S'efectuaren amb punta lítica d'almenys 8mm de diàmetre en 2 temps per cada orifici, fent que la perforació convergeix al centre de la peça. A nivell de traces d'ús, es determina un fregament reiterat en les superfícies i contorns així com al voltant dels orificis de suspensió.

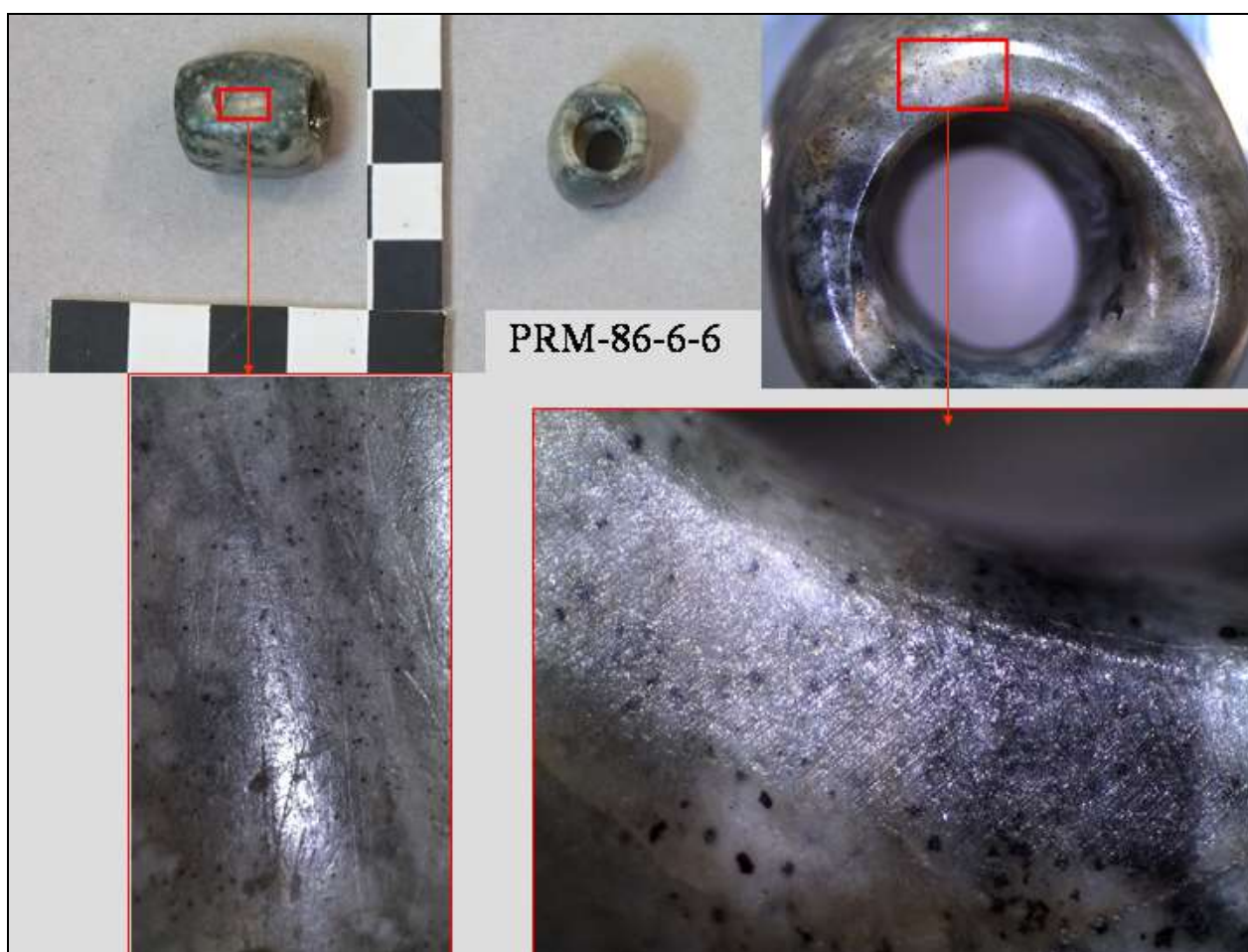


Figura 283. Dena barrilet d'antigorita i detall de traces de poliment de la peça PRM-86-6-6.

7.6. SERRA DEL MAS BONET

Els ornaments corresponen al total aparegut a les dues sitges (SMB-67, SMB-134) adscrites al Neolític Mitjà Chassey del jaciment.

MORFO-TIPUS	NOMBRE	CONTEXT ARQUEOLÒGIC
Penjolls valves perforades (<i>Acanthocardia tuberculata</i>)	2	Sitja
<i>Dena dentalium</i>	1	Sitja
Total	3	

Taula 31. Total d'ornaments per context arqueològic de Serra del Mas Bonet.

7.6.1. PENJOLLS (Valves perforades)

El grau de calcificació de les valves era ja significatiu donat el pla obert per la fricció de la zona de l'umbo amb una pedra erosiva per produir la perforació i deteriorament resultant, on s'aprecia la capa inferior sota les costelles, ja carbonat càlcic. La seva adscripció a ornament s'efectua per les restes observades: fregament al voltant dels orificis i per línies de fregament sobre les costelles que denoten una suspensió per la perforació, oscil·lant, i un fregament de la superfície continuat. Permeten inferir un sistema de suspensió/fixació amb cordill.

DESCRIPCIÓ, PRODUCCIÓ I FUNCIONALITAT

- SMB67-5-58a. Es tracta d'una valva d'*Acanthocardia tuberculata* perforada a l'umbo. Amida 28 mm d'amplada per 24 mm de longitud arribant a un gruix de 2 mm.

Superfície molt erosionada. La perforació és excèntrica a la zona de l'umbo efectuada per abrasió (contra pedra tipus conglomerat segons experimentació) que ha fet "saltar" la capa superficial de la conquilla, que es troba en procés de calcificació.

Per les traces observades, s'identifica fregament abrasiu per repetició al voltant de perforació en general però sobretot en un punt, que identifiquem com a restes de senyals d'ús més que tecnològiques. Aquestes línies, en sentit longitudinal en la superfície de la conquilla, permeten inferir un sistema de suspensió, tipus penjoll, sense poder reconstruir tot el sistema o lligament.



Figura 284. Exempler d'A. *Tuberculata* perforat SMB67-5-58a i detall del punt de l'orifici amb traces al voltant de la perforació 30X.

-SMB67-5-58d. Es tracta d'una valva d'*Acanthocardia tuberculata* perforada a l'umbo. Amida 25 mm d'amplada per 28 mm de longitud arribant a un gruix de 2 mm.

La perforació és excèntrica a la zona de l'àpex efectuada per abrasió contra pedra dura. Es troba en procés de calcificació.

Per les traces observades, s'identifica també fregament abrasiu, per repetició que identifiquem com a senyals d'ús més que tecnològiques. Aquestes línies passen per una franja longitudinal i a continuació de la perforació, i semblen que donarien la volta per la zona de l'umbo. Presenten també senyals de trencaments de les costelles a la vora paleal, comú en valves suspeses i que sovint impacten amb d'altres objectes



Figura 285. Exempler d'A. *Tuberculata* SMB67-5-58d i traces de fregament al llarg de les costelles, a la zona de l'umbo.

7.6.2. DENES (*Dentalium*)

DESCRIPCIÓ, PRODUCCIÓ I FUNCIONALITAT

-SMB-134-3-114a i 114b.

Dos exemplars de *Dentalium vulgare* de 12 i 13 mm de longitud i que presenten els extrems escapçats (fracturats i amb abrasions). Aquests orificis permetien la inserció en un cordill en forma de suspensió. Els diàmetres dels extrems oscil·len entre 3,5 i 2 mm. Un dels exemplars presenta un inici de perforació en la superfície del cos feta per un litòfag, probablement com a conseqüència d'un atac.

A nivell de tecnologia, s'observa una fractura intencional de l'extrem posterior d'un exemplar amb un poliment abrasiu posterior. Igualment hem pogut observar una fractura directa o per inclusió, o sigui, per pressió cap a l'interior de l'altre exemplar (Figura 286).

Únicament interpretem com a traces de fregament reiterat degut al seu ús les línies obliqües i en totes direccions detectades a la superfície del cos dels exemplars.



Figura 286. *Dentalium* recuperades a SMB-134 i detall a 40X de l'extrem polit.



Figura 287. Detall de l'atac de llengua de litòfag sobre el cos de l'exemplar i patina lluent per fregament.

7.7. LA GARDUNYA

Al sepulcre de fossa E4 del jaciment es van localitzar *in situ* els ornaments estudiats: eren un braçalet al canell esquerre, un collar dispers al tòrax i un penjoll d'ullal disposat i que reposa al tòrax. La tomba es va localitzar isolada, no formava part de cap necròpolis.

MORFO-TIPUS	NOMBRE	CONTEXT ARQUEOLÒGIC
Penjoll ullal suïd	1	Inhumació individual
Denes circulars de pedra (serpentina?)	261	Inhumació individual
Denes circulars de cal·laïta	48	Inhumació individual
Denes semi-rectangulars allargades de cal·laïta	6	Inhumació individual
Denes tipus barrilet de cal·laïta	7	Inhumació individual
Total	323	

Taula 32. Total d'ornaments de la sepultura i morfo-tipus de La Gardunya.

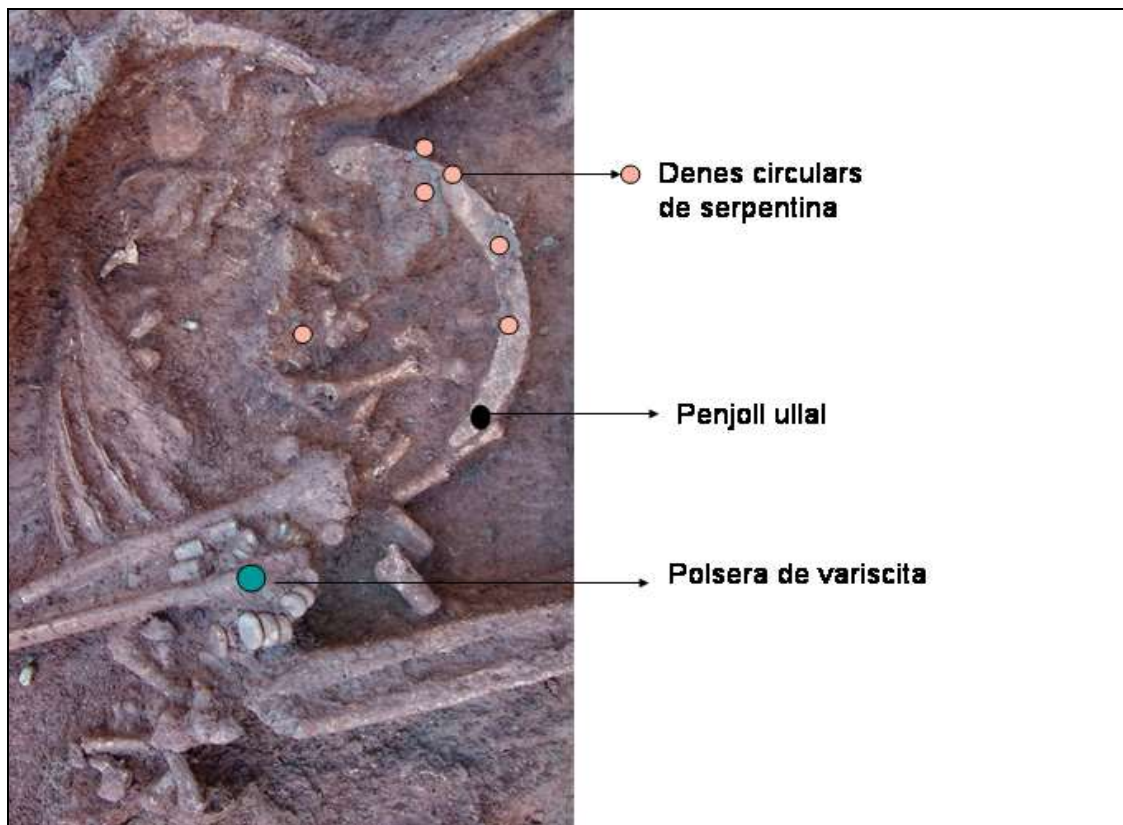


Figura 288. Detall de la disposició dels ornaments en l'individu. Fotografia cedida per la direcció de La Gardunya (Albert Velasco).

7.7.1. DENES CIRCULARS (Minerals)

Denes de cal·laïta

El conjunt ornamental d'un braçalet de variscita/cal·laïta estava compost de 61 denes. A nivell d'anàlisi i de cara a la seva descripció, hem individualitzat cada ornament, això és cada dena, per tal d'adscriure-les a una tipologia o altre. Aquestes denes estaven disposades enfilades en una combinació de seriació contínua segons tipus i, en una segona franja, en combinació alterna tal i com es reflecteix al registre *in situ* de camp. S'utilitzaren a nivell d'aixovar personal formant polsera o braçalet per un sistema de inserció directa per suspensió amb nus al canell de l'individu.

DESCRIPCIÓ, PRODUCCIÓ I FUNCIONALITAT

S'han determinat 48 denes de forma i/o tendència circular. Les denes estan molt ben polides, molt acabades i el seu color oscil·la entre el blanc (deshidratació del mineral i pèrdua de la capa superior de la peça), verd clar i fins al color verd intens. Totes presenten concrecions terroses que formaven part del nucli o fragment original treballat per l'artesà, per tant, són impureses de la veta de cal·laïta. Aquestes segons color i granulometria podrien ser des de ferro fins a goetita. També presenten gairebé totes elles impureses de color gris fosc o negre, propi de la veta igualment.

A nivell morfològic, els diàmetres de les denes oscil·len entre 16,5mm de màxim i 7,9mm la més petita, amb un gruix d'entre 6,6 mm màxim i 1,7mm. Totes les denes presenten una perforació central amb un orifici que oscil·la en diàmetre entre un màxim de 2,7mm i mínim de 1,9mm.

A nivell de processos o cadena operativa de producció de les denes, s'efectua inicialment una perforació central bipolar rotativa consecutiva unidireccional donades les evidències dels solcs dins l'orifici deixats a conseqüència del gir rotatiu dins la peça. En 4 casos aquesta perforació està una mica desviada, derivant casos de perforació excèntrica-central i en un cas excèntrica-apical (dena 24). També s'observen les traces d'engrandiment i abrasió en els dos contorns producte de l'acció perforadora del trepant, segurament lític.

Hem detectat dos casos de perforació unipolar, fetes des de un únic plànol: les denes 089/10 UE3489 52 i 089/10 UE3489 60.

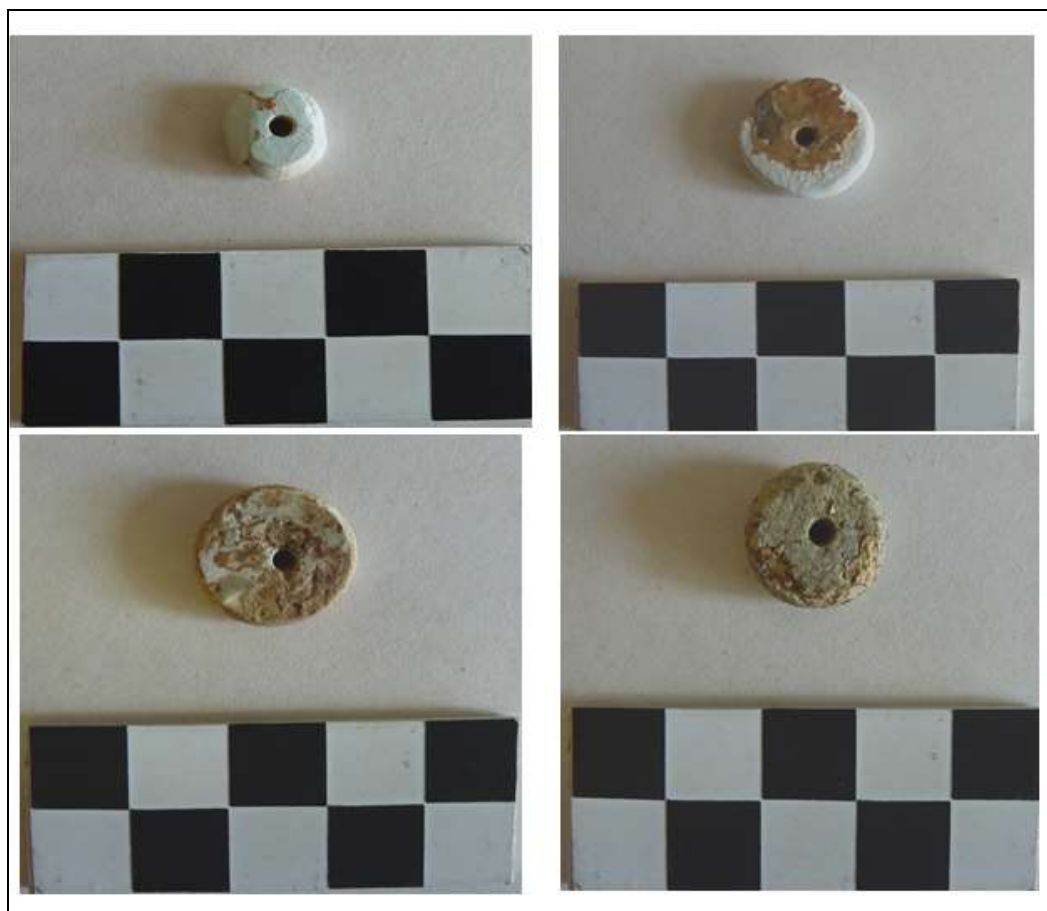


Figura 289. Denes amb diferents graus de conservació

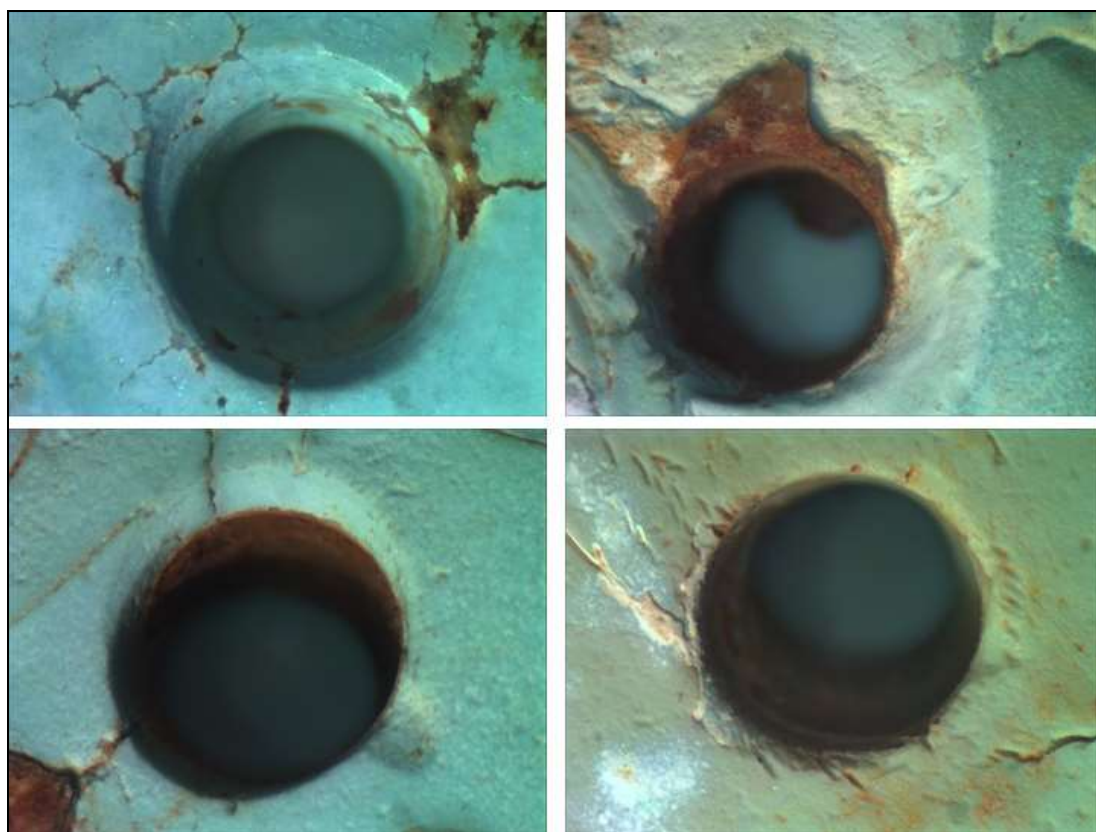


Figura 290. Detall de les perforacions de les denes 23, 56, 59 i 70 realitzades a 40x.

A continuació es fa un poliment intens abradiu de tota la superfície a partir d'una pre-forma inicial (a partir d'un fragment informe) i dels contorns. En algunes de les peces s'observen diferents plànols de poliment de la superfície, evidenciant un procés no homogeni. S'observen les línies d'abradió en paral·lel i en totes direccions que ha deixat aquests moviments en aproximadament 12 denes de forma molt evident a nivell d'observació traceològica. La superfície sobre la que es produeix la abradió seria de gra fi.

A nivell de traceologia de la funcionalitat/ús, en 4 casos hem determinat traces de fregament reiterat entorn els orificis d'enfilament i en els contorns de les peces.

Finalment, a nivell tafonòmic, es veuen efectes de deteriorament per processos tafonòmics (pèrdua de la primera capa de la peça i començament de descalcificació o deshidratació de la peça). També assenyalam els efectes de la consolidació-restauració, en la que s'ha fet *saltar* les concrecions originals de la veta de cal·laïta com si es tractessin de concrecions tafonòmiques, produint un esquirlament i exposició de les capes inferiors del mineral i pèrdua de l'aparença original de la superfície de la peça.

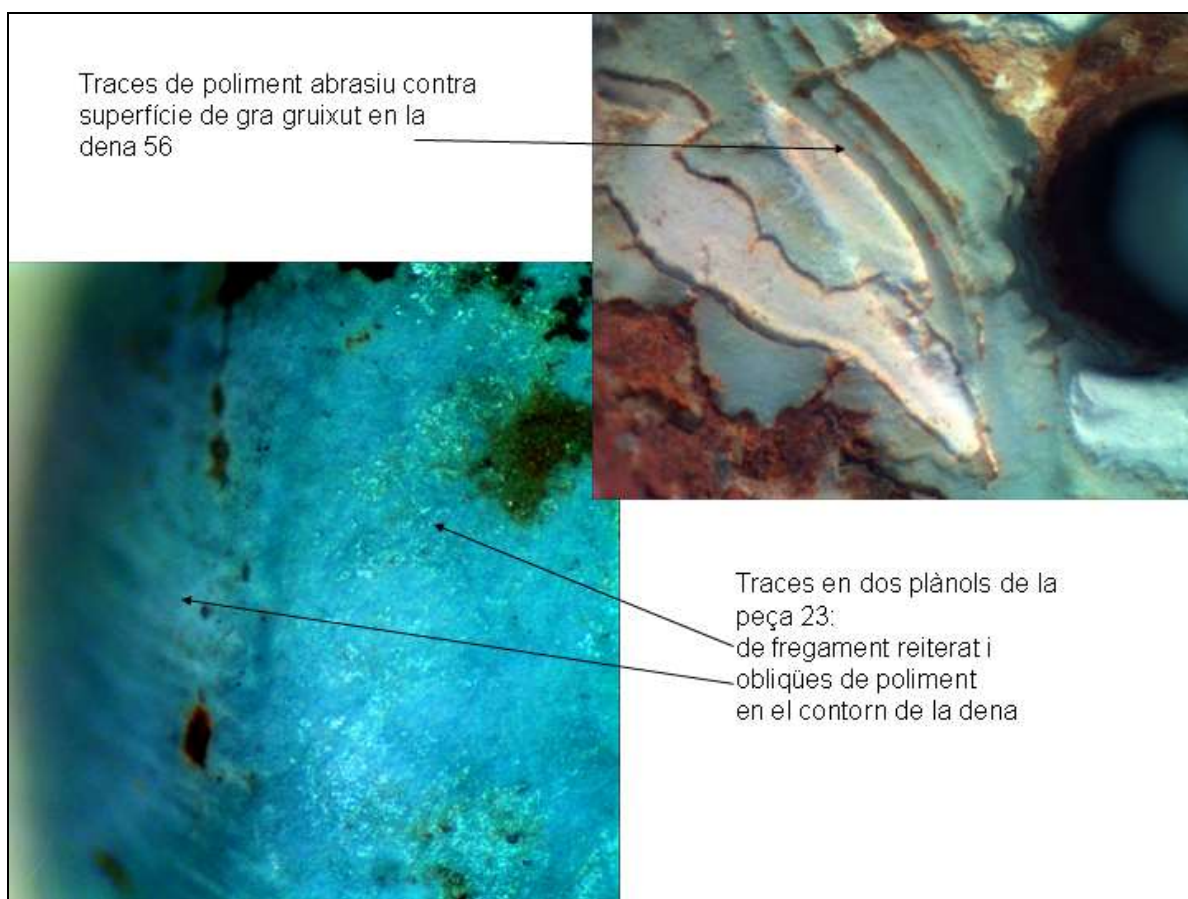


Figura 291. Traces tecnològiques i funcionals de la dena 23, realitzades a 40x i a 60x.

7.7.2. DENES ALLARGSADES SEMI-RECTANGULARS¹⁰ (Minerals)

DESCRIPCIÓ, PRODUCCIÓ I FUNCIONALITAT

S'han determinat 6 denes de forma allargada amb la secció semi-rectangular. Les denes presenten dos orificis, cadascun en un extrem situats enmig d'un plànol facetat o fet per poliment abrasiu que varia segons les dimensions de les peces (veure taula annex inventari).

Les superfícies superior i inferiors són planes i la secció resultant és semi-rectangular i amb tendència el·lipsoïdal donat que no té escaires sinó que els contorn són arrodonits i no arriba a formar cap cilindre ni cercle.

Les denes estan molt ben polides, molt acabades i el seu color oscil·la entre color verd clar i intens excepte en dues que tenen tonalitat blanquinosa. Totes presenten concrecions terroses que formaven part del nucli o fragment original treballat per l'artesà, per tant, són impureses de la veta de cal·laïta. També presenten gairebé totes elles impureses de color gris fosc o negre, propi de la veta mineral.

A nivell morfomètric, les dimensions de la longitud oscil·len entre 17,9mm de màxim i 11,5mm la més curta, amb un gruix d'entre 7,9 mm màxim i 5mm. L'amplada va de 10,2mm i 8,6mm.

Els orificis dels dos extrems, realitzats en plànols d'abrasió, tenen uns diàmetres que oscil·len en entre un màxim de 2,8mm i mínim de 2mm.

S'utilitzaren formant polsera o braçalet per un sistema de inserció directa per suspensió amb nus al canell de l'individu.

¹⁰ Segons la tipologia de M. Edo serien de secció perllongada semirectangulars (1991).

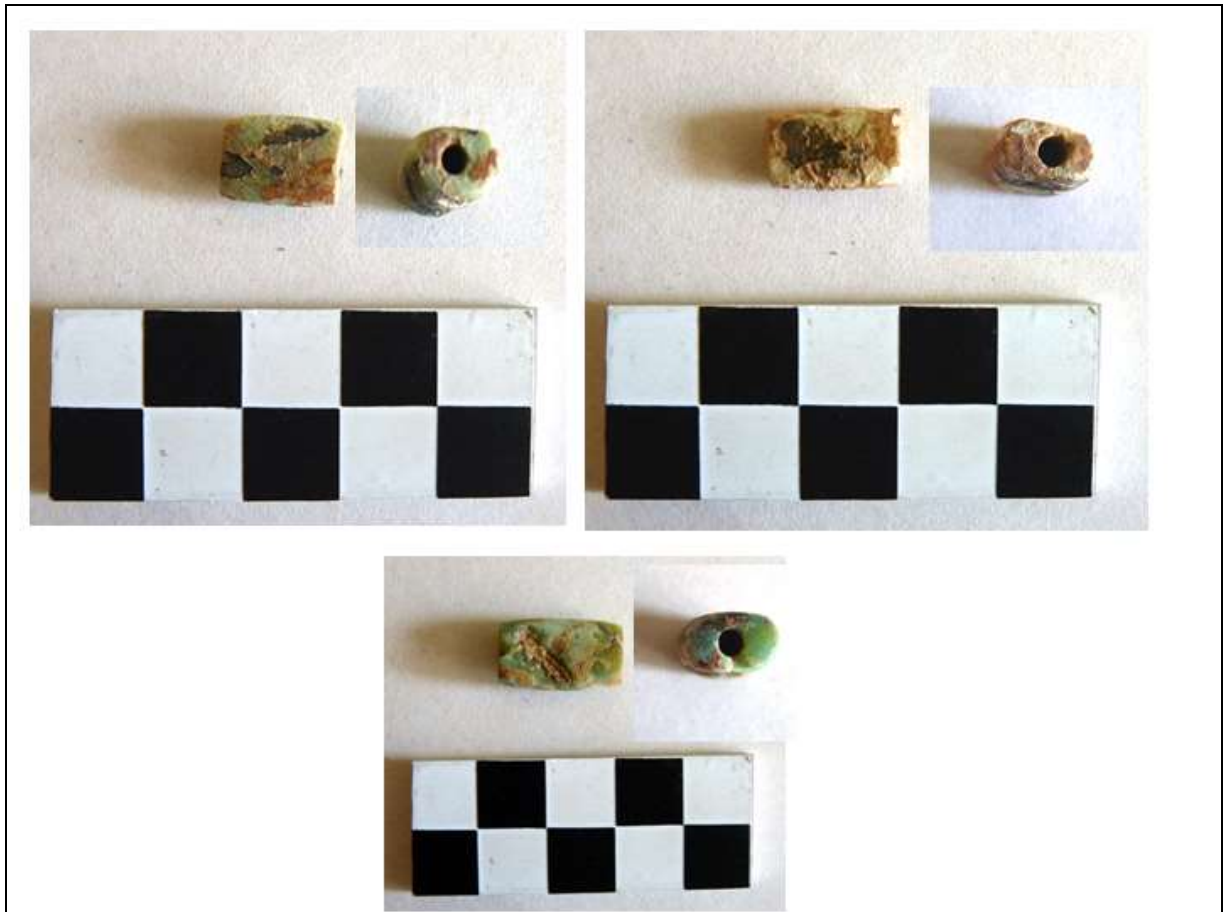


Figura 292. Fotografies d'algunes de les denes amb detall del pla d'abradió i perforació (denes 49,57 i 64)

A nivell de processos o cadena operativa de producció de les denes, s'efectua inicialment les dues perforacions dels extrems. Aquesta perforació és de tipus central bipolar rotativa consecutiva unidireccional que convergeix. S'han observat els solcs dins l'orifici deixats a conseqüència del gir rotatiu dins la peça del trepant lític.

A continuació es fa un poliment intens abradiu de tota la superfície a partir d'una pre-forma inicial (a partir d'un fragment informe) i dels contorns. S'observen línies en totes direccions en superfície longitudinals en moltes zones en una sola direcció tot i que en totes les peces es veuen franges amb traços multidireccionals. La superfície contra la que es produeix la abradió seria de gra fi i mitjà, excepte en dues peces que seria mitjà/gruixut donat que les superfícies es troben marcades per abradió agressiva.

Aquestes mateixes denes (089/10 UE3489 16 i 089/10 UE3489 57) també permeten observar traces multidireccionals i paral·leles en els plànols d'abradió dels orificis d'enfilament.

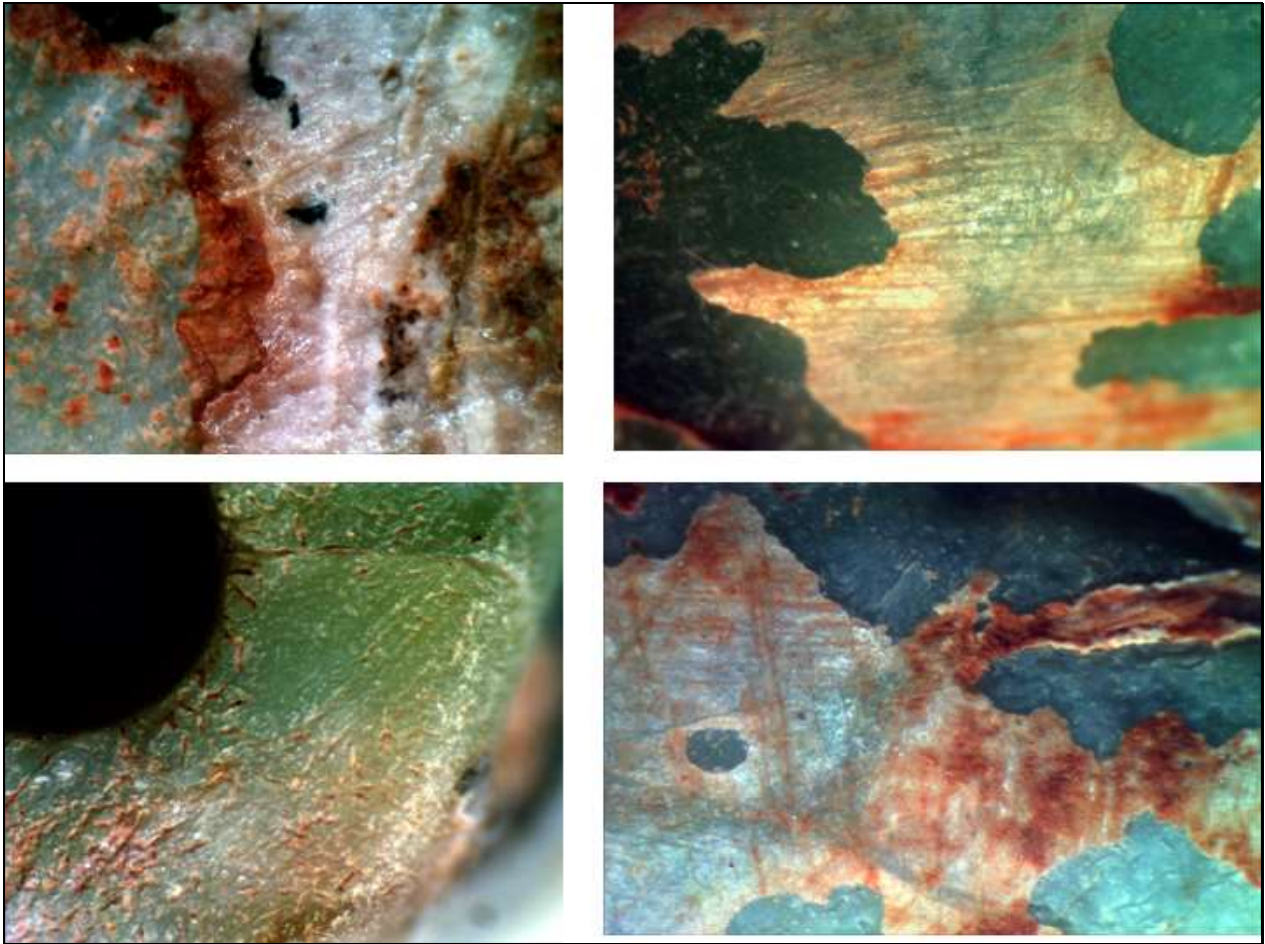


Figura 293. Detall de traces de poliment abrasiu paral·leles longitudinals i transversals en totes direccions de la superfície de les denes 16, 64 (a dalt i a baix dreta) i traces de poliment contra superfície de gra gruixut en plànol previ orifici de la dena dena 57 (a baix, esquerre). Realitzades a 40, 60x i 80x.

A nivell de traceologia de la funcionalitat/ús, en tots els casos hem determinat traces de fregament reiterat entorn els orificis d'enfilament i en els contorns de les peces.

També a nivell tafonòmic, es veuen alguns efectes de deteriorament per processos tafonòmics (pèrdua de la primera capa de la peça i començament de descalcificació o deshidratació de la peça) i assenyalem els efectes de la consolidació-restauració, en la que s'ha fet *saltar* les concrecions originals de la veta de cal·laïta com si es tractessin de concrecions tafonòmiques que ha comportat la pèrdua de l'aparença original de la superfície de la peça.

Aquestes denes allargades amb secció semi-rectangular o ovoide tenen algunes similituds amb les que es documentaren *Masia Nova* (Vilanova i la Geltrú) (Muñoz, 1965).

7.7.3. DENES TIPUS BARRILET (Minerals)

DESCRIPCIÓ, PRODUCCIÓ I FUNCIONALITAT

S'han determinat 7 denes de forma allargada tipus barrilet. Les denes presenten dos orificis, cadascun en un extrem situats enmig d'un plànol facetat o fet per poliment abrasiu que varia segons les dimensions de les peces (veure taula annexa, en aquestes peces correspon a Diam.). El cos presenta un engrandiment o bombament al punt central que els hi confereix la forma característica. La secció resultant és circular-ovoïdal.

Les denes estan molt ben polides, molt acabades i el seu color oscil·la entre color verd clar cap a tonalitat blanquinosa. Totes presenten concrecions terroses que formaven part del nucli o fragment original, impureses de la veta de cal·laïta. També presenten gairebé totes elles les impureses de color gris fosc o negre.

A nivell morfològic, les dimensions de la longitud oscil·len entre 24,5mm de màxim i 11,9mm la més curta, amb un gruix d'entre 11,9 mm màxim i 6,9 mm. El diàmetre màxim de la peça (a la zona d'engruiximent) va de 14mm i 8,5mm.

Els orificis dels dos extrems, realitzats en plànols d'abrasió, tenen uns diàmetres que oscil·len en entre un màxim de 4,3mm i mínim de 2mm.

Aquestes denes estaven disposades enfilades en una combinació seriada barrejades amb les denes de secció perllongada o allargada de tendència semi-rectangular. S'utilitzaren per un sistema de inserció directa per suspensió amb nus al canell de l'individu.

A nivell de processos o cadena operativa de producció de les denes, s'efectua inicialment les dues perforacions dels extrems. Aquesta perforació és de tipus central bipolar rotativa consecutiva unidireccional que convergeix. S'han observat els solcs dins l'orifici deixats a conseqüència del gir rotatiu dins la peça del trepant lític.

A continuació es fa un poliment intens abrasiu de tota la superfície a partir d'una pre-forma inicial (a partir del fragment) i dels contorns. S'observen línies en totes direccions en superfície longitudinals multidireccionals. La superfície contra la que es produeix la abrasió seria de gra mitjà/gruixut segons les traces deixades en superfície que l'han marcat ostensiblement.

A nivell de traceologia de la funcionalitat/ús, en tots els casos hem determinat traces de fregament reiterat entorn els orificis d'enfilament i en els contorns de les peces.



Figura 294. Denes tipus barrilet. Denes (a dalt) 50, 69 i (a baix) 65 i 54.

També a nivell tafonòmic, es veuen alguns efectes de deteriorament per processos tafonòmics (pèrdua de la primera capa de la peça i començament de descalcificació o deshidratació de la peça) i assenyalen els efectes de la consolidació-restauració, en la que s'ha fet *saltar* les concrecions originals de la veta de cal·laïta com si es tractessin de concrecions tafonòmiques que ha comportat la pèrdua de l'aparença original de la superfície de la peça. Concretament en les peces UE 3489 15 i en UE3489 42 es poden veure les traces de poliment de la peça fetes per la mà artesana a sobre d'unes d'aquestes concrecions.

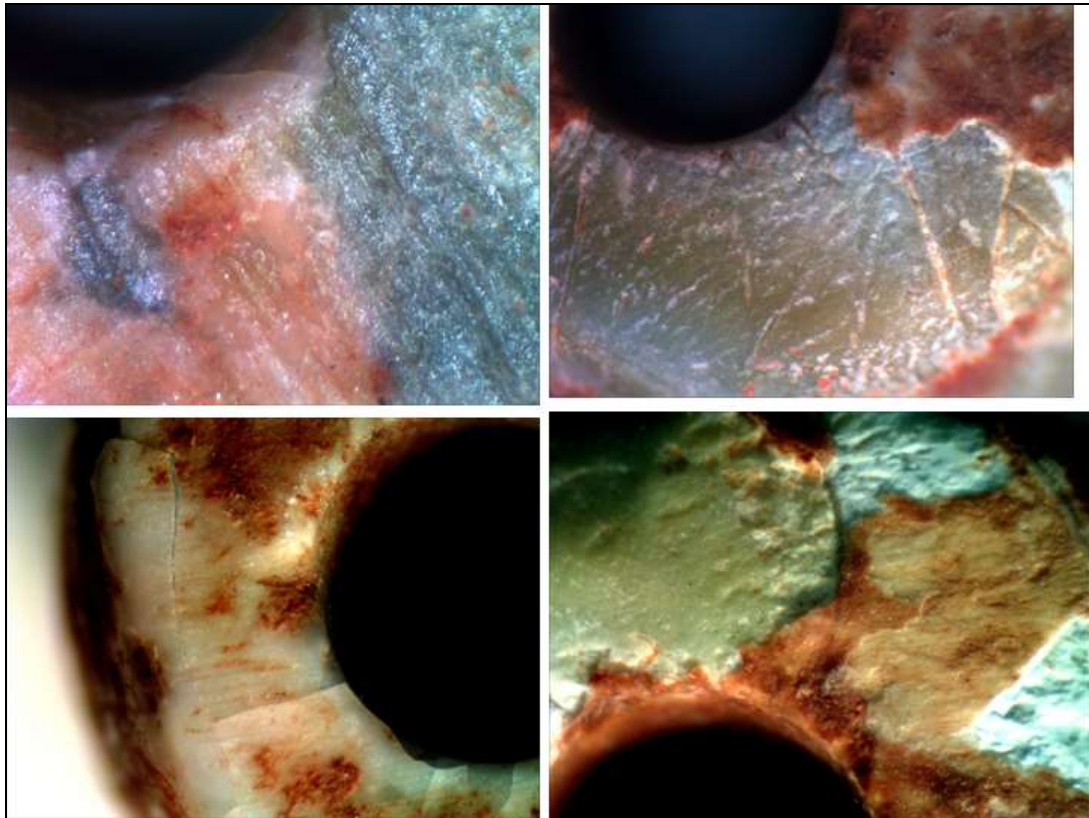


Figura 295. Detall dels plànols d'abradió on se situen els orificis d'enfilament de les denes 73 i 69 (a dalt) i de les denes 65 i 54 (a baix). Realitzades a 40x, 60x i 80x.

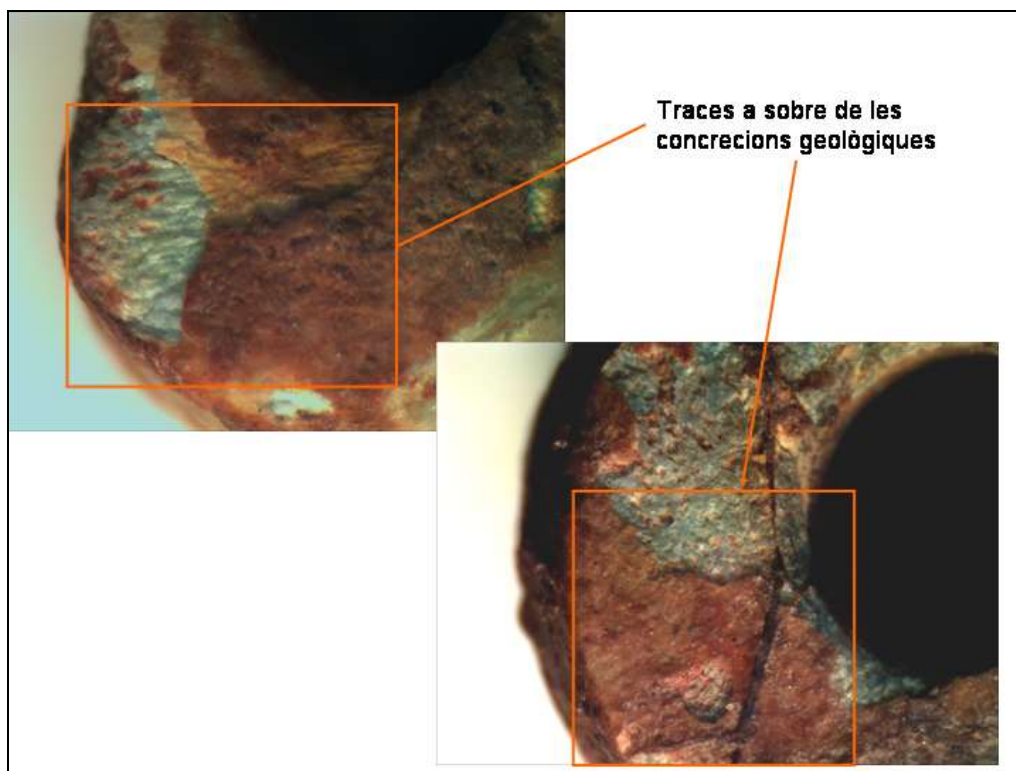


Figura 296. Detall de dues denes que presenten traces de poliment abrasiu de fabricació a sobre de les concrecions geològiques naturals de la veta de cal·laïta. Realitzades a 40x.



Figura 297. Conjunt de denes de secció perllongada de la polsera de cal·laïta de La Gardunya.

7.7.4. DENES CIRCULARS (Pedra)

Denes de serpentina¹¹

El conjunt ornamental d'un collar estava compost de 261 denes circulars. Aquestes denes han aparegut formant un conjunt *in situ* d'un collar que estaria disposat sobre el tòrax de l'individu i podria formar dues voltes. Estaria en contacte, just a sobre, del penjoll d'ullal. A l'espera que es pugui realitzar una anàlisi de determinació de matèria, segons les observacions fetes amb la lupa, ens decantem per un mineral o pedra.

DESCRIPCIÓ, PRODUCCIÓ I FUNCIONALITAT

A nivell d'anàlisi i de cara a la seva descripció, hem individualitzat cada ornament, cada dena. Les denes estan molt ben polides, molt acabades, ben conservades i el seu color oscil·la entre el gris fosc i negre. Destaca l'elevat grau de fragmentació en mitges meitats detectat en el moment de fer l'estudi.

A nivell morfològic, els diàmetres de les denes oscil·len entre 4,3mm de màxim i 2,9mm la més petita, amb un gruix d'entre 2,1 mm màxim i 0,3mm.

¹¹ Manca anàlisi de determinació. L'adscripció s'ha fet per la duresa, propietats del mineral macroscòpiques i per similituds amb d'altres exemplars.

Totes les denes presenten una perforació central amb un orifici que oscil·la en diàmetre entre un màxim de 1,6mm i mínim de 1mm.

Aquestes denes estaven disposades enfilades formant una tira llarga que segurament convergia en un nus. S'utilitzaren a nivell d'aixovar personal formant collar per un sistema de inserció directa per suspensió de cada dena amb nus al voltant del coll de l'individu, probablement formant un parell de voltes.

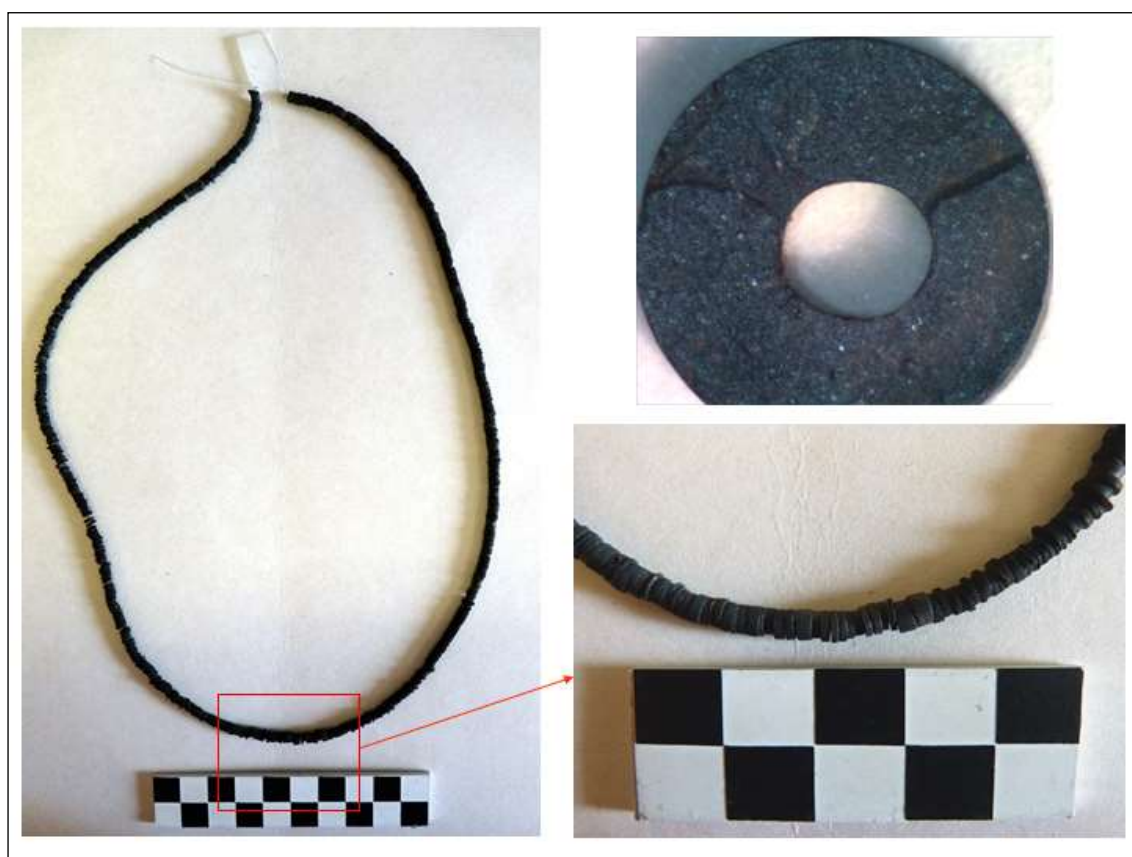


Figura 298. Collar totalment engarsat amb denes, detall d'una sèrie i detall d'una de les denes.

A nivell de processos o cadena operativa de producció de les denes, s'efectua inicialment una perforació central unipolar rotativa consecutiva unidireccional donades les evidències dels solcs dins l'orifici deixats a conseqüència del gir rotatiu dins la peça. La fragilitat de les peces impedia i tampoc necessitava una perforació des de els dos plànols de la peça amb un trepant o punta lítica.

A continuació es faria un poliment intens abradiu de tota la superfície a partir d'una pre-forma inicial (a partir d'un fragment informe) i dels contorns. Aquest poliment es devia dur a terme per enfilament de les peces en sèrie i un encaix en algun motlle de pedra de gra mitjà de secció cilíndrica o tubular seguint els models proposats per a denes d'aquestes dimensions que són uniformes (Ricou i Esnard, 2000). A partir de moviments oscil·lants d'un cantó a l'altre fent

passar les denes per la ranura del polidor s'aconseguiria certa homogeneïtat. S'observen les línies d'abrasió en totes direccions que ha deixat aquests moviments.

A nivell de traceologia de la funcionalitat/ús, hem determinat traces de fregament reiterat entorn els orificis d'enfilament en alguna de les peces.



Figura 299. Detall de l'orifici per perforació rotativa concèntrica de la dena 25(40X), detall de les irregularitats de la dena 27 fracturada (20X), detall de les traces deixades per abrasió a la dena 25 (40X) i detall de les traces d'abrasió sobre la superfície d'una dena que estava en contacte amb l'ullal (40X).

7.7.5. PENJOLL (Ullal de suïd)

En la intervenció de la Gardunya *Serra* s'ha recuperat un penjoll realitzat amb ullal de senglar defensa inferior, UE3488 (R9812) que es va transformar en objecte d'ornament. El penjoll realitzat en ullal de senglar estava disposat sobre el tòrax de l'individu, a sota del conjunt ornamental del collar de pedra situat en posició longitudinal, amb la zona apical biperforada per tal de portar-lo penjant. Les defenses (ullals) corresponen als incisius superiors (esmoladores) i als inferiors (navalles) molt més grans en dimensions. El penjoll consta de dos orificis en un dels extrems que interpretem com apical, el de suspensió o aplicació.



Figura 300. Penjoll biperforat de La Gardunya fet amb defensa de *Sus scrofa*.

DESCRIPCIÓ, PRODUCCIÓ I FUNCIONALITAT

La peça es conserva en un estat de molta fragilitat, la superfície està molt deteriorada en tota la peça per efectes tafonòmics i no es conserva la superfície original en gran part, cosa que ha dificultat l'anàlisi de traces.

La peça presenta molt polit a la zona basal, de la que conserva punta roma en bon estat. Cal incidir en la zona apical deteriorada una mica fracturada, amb restes del consolidant de restauració, que en algun punt ha tapat traces. A nivell morfològic, l'ullal conservat amida 170mm de longitud per 13mm d'amplada màxima i un gruix de 2,5 mm. Els orificis de fixació-suspensió amiden 3,8mm i 4,8mm de diàmetre respectivament.

Aquesta peça, segons les traces observades, aniria suspesa probablement pel primer orifici, el que està a la zona apical (l'extrem no es conserva). No descartem una unió entre els dos orificis ja que s'han evidenciat traces de fregament reiterat entre els dos, com si hagués anat una corda o fil de forma continuada a mode de suspensió amb lligam o com a aplic fixat a alguna peça de roba.

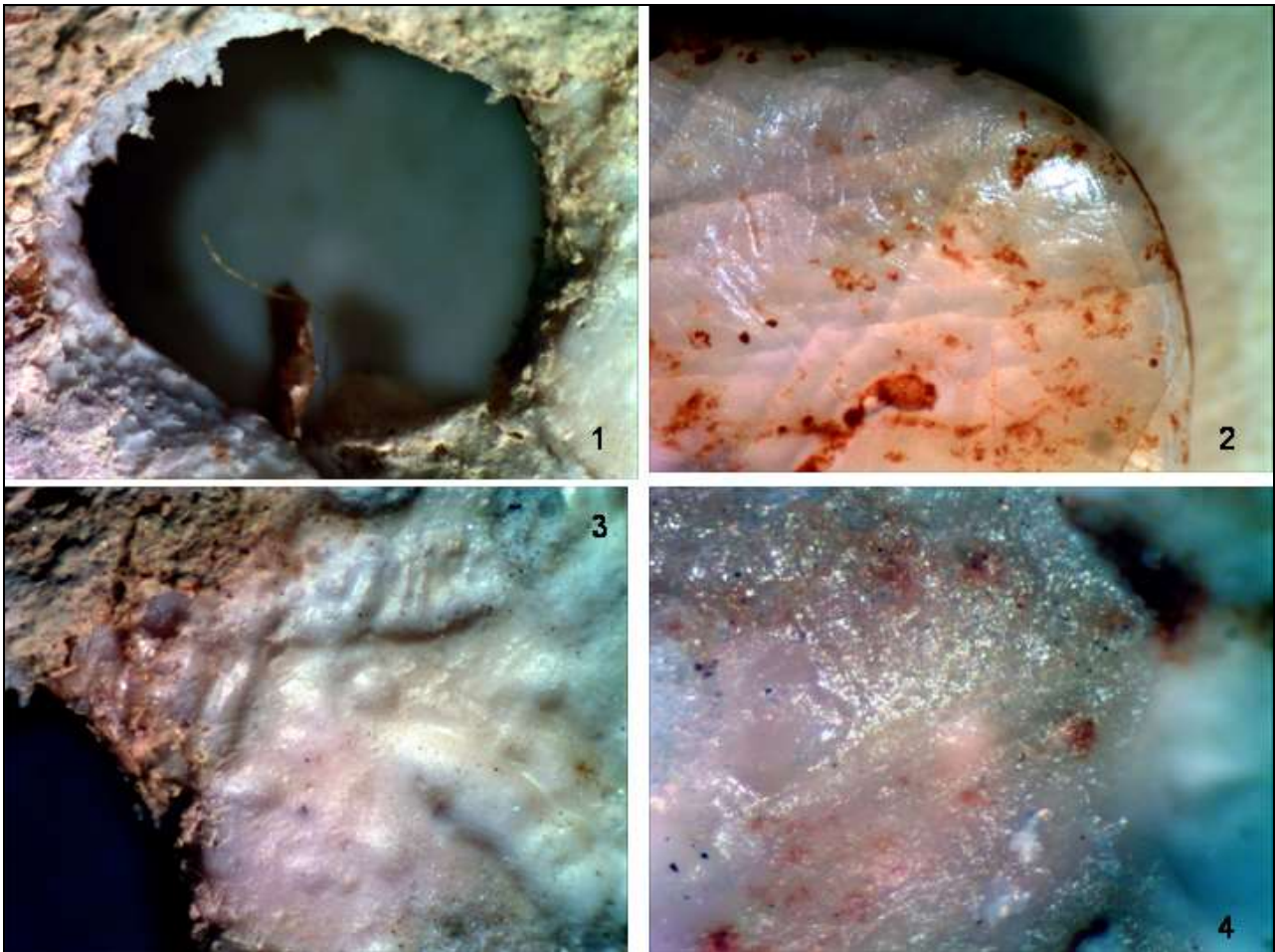


Figura 301. 1. Un dels orificis de suspensió fet per perforació unipolar (40X); 2. Detall de la zona basal acabada en punta roma i les traces tecnològiques i funcionals registrades (60X). 3. Detall de la pàtina d'ús al voltant del segon orifici (60X); 4. Detall de la pàtina de fregament reiterat en la zona entre els dos orificis (80x).

A nivell de processos o producció, l'ullal es va fragmentar en dos, deixant el canal de la dentina i nervi com a cara posterior o interna.

No podem establir la seqüència del procés, si es va polir abans i després es va realitzar les dues perforacions. Sí que s'ha detectat que les dues perforacions es van realitzar de forma unipolar rotativa unidireccional, des de la cara interior de l'ullal, ja que el gruix de la peça no necessitava de doble intent i seria fàcil realitzar-les de forma ràpida amb un trepant.

Del procés de poliment hem observat línies en totes direccions en la superfície interna i externa a la zona basal. En la zona de l'extrem o punta interior de cara de la dentina, es poden encara visualitzar amb la lupa línies de poliment abrasiu longitudinals en totes direccions.

A nivell de funció i ús, ja hem comentat que funcionaria com a penjoll suspès tot i que les traces observades evidencien lligam entre els dos orificis.

7.8. SÍNTESI DE LA MOSTRA DEL NEOLÍTIC MITJÀ

Els ornaments estudiats corresponents al neolític mitjà de la mostra permeten articular unes conclusions i valoracions segons els morfo-tipus més recurrents, les matèries primeres més emprades per a realitzar els ornaments i finalment, el nivell i context d'utilització dels mateixos.

En total es distingeixen 23 morfo-tipus ornamentals al neolític mitjà:

A nivell de quantitat d'ornaments per morfo-tipus el nombre total es reuneixen en les següents categories:

NEOLÍTIC MITJÀ		
MORFO-TIPUS	NOMBRE	JACIMENTS
Penjolls valves perforades (<i>Glycymeris glycymeris</i> , <i>Glycymeris sp</i> i un exemplar de <i>Chamelea gallina</i> i un exemplar d' <i>Acanthocardia tuberculata</i>)	24+41+2:67	Bòbila Madurell, Mas d'en Boixos, Serra del Mas Bonet
Penjoll de malacofauna marina (<i>Glycymeris sp</i>)	1	Bòbila Madurell
Denes circulars de serpentina	128+ 261:389	Bòbila Madurell+La Gardunya
Dena circular de pedra tova ND	16	Bòbila Madurell
Denes de <i>Dentalium</i>	18	Bòbila Madurell, Serra del Mas Bonet
Denes tipus barrilet de variscita/ cal·laïta	35+24+1+7:67	Bòbila Madurell+Feixa del Moro+Pla del riu Marcetes+La Gardunya
Denes bicòniques globulars de variscita/ cal·laïta	4+7:11	Bòbila Madurell+Feixa del Moro
Denes circulars de variscita/ cal·laïta	166+16+38+9+48:277	Bòbila Madurell+Can Roqueta II+Feixa del Moro+Mas d'en Boixos+La Gardunya
Denes tubulars de variscita/ cal·laïta	8	Bòbila Madurell
Denes de corall (tubular i circular)	7	Bòbila Madurell
Aplics-Plaquetes rectangulars de variscita/ cal·laïta	2	Bòbila Madurell
Gasteròpodes sense espira (<i>Thais</i>	2	Bòbila Madurell

<i>haemastoma</i>)		
Penjoll gasteròpode perforat (<i>Phalium saburon</i>)	1	Bòbila Madurell
Opercle	3	Bòbila Madurell
Denes irregulars variscita/ cal·laïta	1	Feixa del Moro
Denes circulars amfibolita	56	Mas d'en Boixos
Penjoll allargat variscita/cal·laïta	1	Pla del riu Marcetes
Dena barrilet antigorita	1	Pla del riu Marcetes
Penjoll ullal suïd	1	La Gardunya
Denes semi-rectangulars allargades de variscita/ cal·laïta	6	La Gardunya

Taula 33. Morfo-tipus segons el nombre d'ornaments, cronologia i jaciment de la mostra del neolític mitjà.

Els morfo-tipus més recurrents presents a diversos jaciments són les denes circulars de serpentina, les denes circulars de variscita/cal·laïta, els penjolls de valves perforades, denes de *Dentalium*, les denes tipus barrilet de variscita, les denes bicòniques globulars de variscita/cal·laïta. Sens dubte, el morfo-tipus més abundant són les denes.

El jaciment de *Bòbila Madurell* és el que presenta més nombre d'efectius i varietat. Per nombre d'ornaments documentats, destaquen les denes circulars de variscita/cal·laïta, les denes circulars de serpentina, les denes tipus barrilet de variscita/cal·laïta. La resta de categories de morfo-tipus són de quantitats més minses.

Cal destacar l'exclusivitat d'alguns ornaments, com els cargols *Phalium saburon*, les denes de corall, opercles i aplics-plaquetes de variscita/cal·laïta a *Bòbila Madurell*.

Entre els morfo-tipus menys registrats al neolític mitjà es troben els penjolls de malacofauna marina, els gasteròpodes perforats, els penjolls de variscita/cal·laïta i els realitzats en ullals de suïd.

A nivell de matèries primeres, el neolític mitjà reuneix les següents categories: malacofauna marina, pedra/mineral (variscita-cal·laïta, serpentina, amfibolita, antigorita, moscovita i tals genèrics), dent/ullal, i corall.

NEOLÍTIC MITJÀ		
MATÈRIA PRIMERA	NOMBRE	JACIMENT
Malacofauna marina	95	Bòbila Madurell, Mas d'en Boixos, Serra del Mas Bonet,
Dent/Ullal	1	La Gardunya
Mineral (talcs)	571	Bòbila Madurell
Mineral (variscita / cal·laïta)	375	Bòbila Madurell, Can Roqueta II+Feixa del Moro+Mas d'en Boixos+La Gardunya
Pedra (serpentina)	389	Bòbila Madurell, La Gardunya
Mineral (antigorita)	1	Pla riu Marcetes
Pedra (anfíbolita)	56	Mas d'en Boixos
Corall	7	Bòbila Madurell

Taula 34. Total de les matèries primeres dels ornaments segons cronologia i jaciment del neolític mitjà.

La matèria primera més representada és el mineral de talc¹² amb 571 denes.

La pedra, en concret la serpentina és la segona matèria primera més representada tot i que només està documentada a dos jaciments, *Bòbila Madurell* i *La Gardunya* en dos conjunts de collar de doble volta. També es documenta un conjunt a *Mas d'en Boixos*.

Els ornaments realitzats amb variscita/cal·laïta apareixen a gairebé tots els jaciments de la mostra a excepció de *Serra del Mas Bonet*, malgrat no ser la categoria de matèria primera més representada, sinó la tercera, dada que contrasta amb les quantitats generals a nivell geogràfic. La malacofauna marina, malgrat ser la quarta matèria primera està present a 4 jaciments en dos morfo-tipus diferenciats (penjolls de valves perforades i braçalets). Finalment, el corall apareix exclusivament a *Bòbila Madurell*.

El jaciment de *Bòbila Madurell* és el que mostra més diversificació de matèries primeres en els ornaments (malacofauna marina, minerals com talcs, pedra i corall).

¹² Incidim en el tema de la necessitat de realitzar analítiques de determinació dels minerals i pedres, doncs els morfo-tipus classificats segons aquestes estan produint una ampliació del registre possiblement fictici.

El domini dels minerals i la variscita

Els ornaments de neolític mitjà són més uniformes que els que es documenten al neolític antic. No només en la matèria primera, també en les formes i tipus. D'una banda, veiem una preeminència de les denes. Aquestes es conformen en collars, braçalets, turmelleres...

Les denes realitzades en el mineral de variscita/cal·laïta són les que caracteritzen la ornamentació del neolític mitjà i tenen diverses formes (circulars, cilíndriques, en forma de barrilet, globulars...). Aquests objectes d'ornament manufacturats a les mines de Gavà són dinamitzadors de xarxes d'intercanvis que comporten també d'altres intercanvis d'objectes i fins i tot d'altres tipus d'ornament com veiem a continuació i que ja s'ha apuntat anteriorment (Cardona et al, 1996; Weller i Fíguls, 2007; Castany, 2009).

Pel que fa als ornaments amb una funcionalitat de suspensió o enfilament, veiem que els **penjolls amb valves perforades** realitzats amb espècies com *Acanthocardia tuberculata*, *Cerastoderma galucum* i *Glycymeris* (varia) continuen apareixent en estructures relacionades amb l'emmagatzematge (*Serra del Mas Bonet*) però apareixen també en cistes del Solsonià com *Cal Pessezero II* (Castellfollit del Boix) o *La Plana del Torrent* (Ribera d'Ondara), els sepulcres de fossa (*Can Muset*, Castellolí) així com en sepulcres de les grans necròpolis (*Bòbila Madurell-Mas Duran* (Sant Quirze del Vallès), *Camí de Can Grau* (Granollers) i *Can Gambús* (Sabadell).

En el cas de *Camí de Can Grau*, la petxina perforada de *Glycymeris* conservava una pigmentació en la part interior d'ocre vermell i es disposava al coll de l'individu femení de l'estructura 30 (Pou i Martí, 1995).

A nivell geogràfic queden força restringits a les àrees de la depressió central, al Vallès bàsicament, i s'endinsen entorn a la riba del Llobregat arribant a algunes cistes de les comarques centrals (Anoia).

Els **penjolls i aplics amb gasteròpodes perforats** en aquesta cronologia ve molt marcat per l'aparició del cargol *Cassis Phalium saburon* com a ornament en els aixovars funeraris. Es localitzen en algun sepulcre de fossa (*Bòbila Madurell*, *Can Gambús I*), en cistes del Solsonià (*Estació Solar IV*, *Llord I*), de les comarques centrals, com *Pla del Riu de les Marcetes* (Manresa) i depressió central com *Can Vinyals*.

Destaquen alguns exemplars localitzats a les mines de Can Tintorer que no presentaven perforacions per a suspensió, dada que fa pensar en material preparat per a intercanvi i que es distribuïa amb la variscita. Pel que fa a d'altres exemples singulars mencionem el cargol (*lunatia alderi*) a l'àpex de la cista de *St. Miquel de l'Alzina* (Castany, 2009),

Apareixen de forma dispersa i en poca quantitat seguint el curs de la riba del Llobregat.

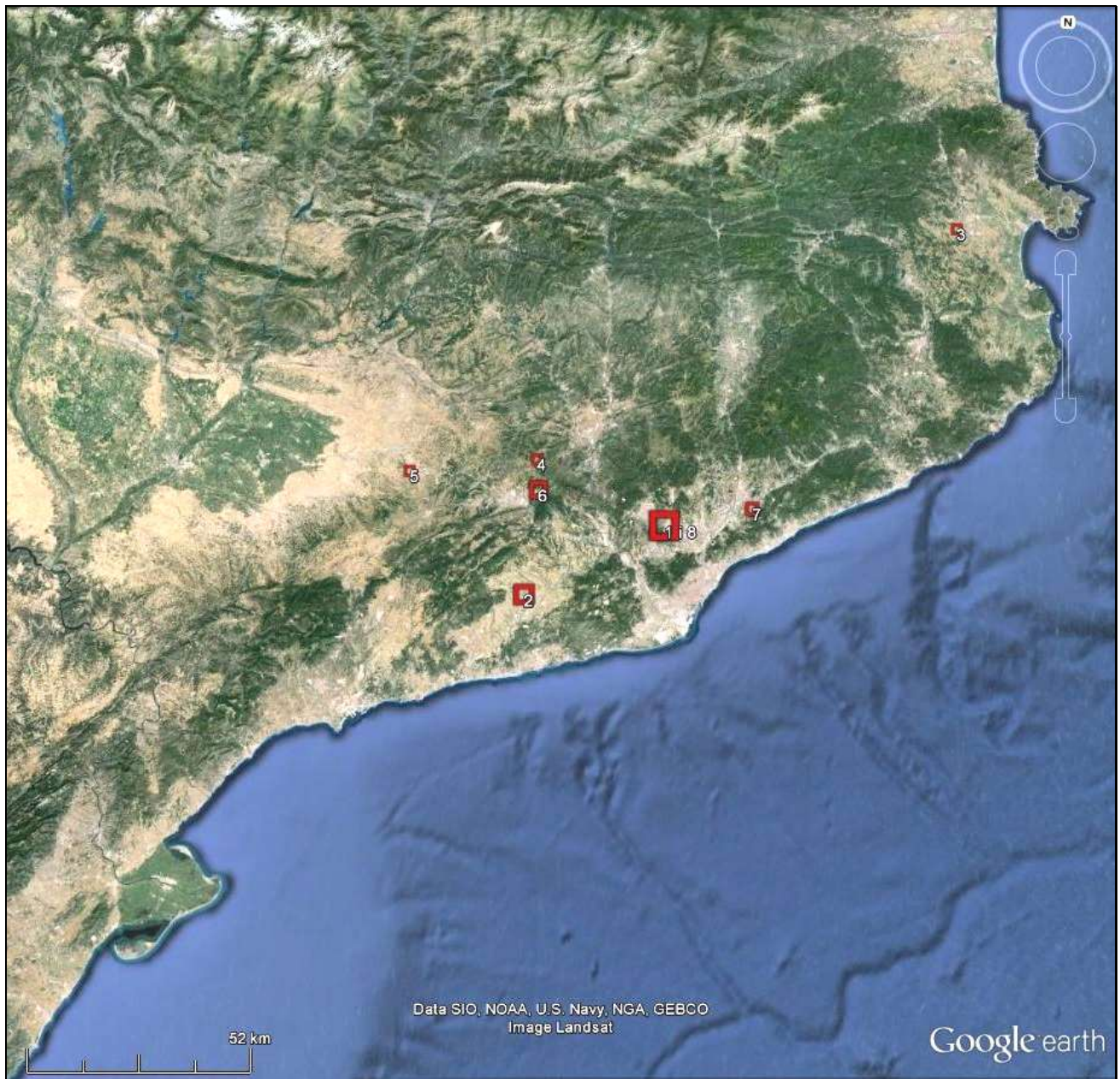


Figura 302. Mapa de distribució per densitats del penjolls de valves perforades al neolític mitjà.
 1. Bòbila Madurell, 2. Mas d'en Boixos, 3. Serra del Mas Bonet, 4. Cal Pessetero II, 5. La plana del Torrent,
 6. Can Muset, 7. Camí de Can Grau, 8. Can Gambús I



Figura 303. Mapa de distribució per densitats de penjolls de cargols marins al neolític mitjà.
 1. Cista Sant Miquel de l'Alzina (Seró), 2. Mas d'en Boixos, 3. Bóbila Madurell, 4. Can Gambús I, 5. Estació Solar IV, 6. Llord I, 7. Pla del riu de les Marçetes, 8. Can Vinyals

Les denes realitzades amb **dentalium** estan presents en la cista de *Arceda* (Llobera) amb 72 exemplars que formaven un collar que unia les dues cames de l'individu, i que haurien vingut associats a les denes de cal·laïta. També apareixen exemplars de possibles polseres o collar encara enfilats uns amb d'altres a sepulcres de *Bòbila Madurell-Mas Duran*. Finalment, es documenten als aixovars de Can Tintorer de la mina 85 i a una sitja a *Serra del Mas Bonet*.

Mencionem la possible **dena de fusta** (?) carbonitzada i que hi hauria a la cista de *Costa dels Garrics II* a l'alçada de les vèrtebres cervicals de l'individu segons Castany (2009).

Pel que fa als **penjolls amb ullals de suid**, aquests estan força representats a les cistes del Solsonès (*Vinya del Picó II, Costa dels Garrics I y II,...*) (Castany 2009). Es produeixen de forma molt sistemàtica en les comunitats del neolític mitjà central i formen un ítem en sí mateix característic dels aixovars en les cistes.

També es constaten en sepulcres de fossa aïllats com *Bòbila Vilatargas* (Sant Feliu de Guíxols, Girona) (Tarrús, 1989) i en necròpolis del Vallès com *Bòbila Madurell* (Sant Quirze del Vallès), *Camí de Can Grau* (La Roca del Vallès), en aquest cas associats a un individu i disposats a voltant de la pelvis (Pou et alii, 1997), i a zones litorals com en els enterraments de les mines 84 i 85 Gavà (Borrell i Estrada, 2009b).

Apareixen penjolls d'ullals de suid no perforats (i no fracturats) en cistes del Solsonès (*Estació Solar III, El Llor*) i en sepulcres de fossa del prelitoral (*sepulcre de Sant Joan Despí* i *Camí de Can Grau*) o fins i tot inhumacions en cova com a *Cova del Toll* (Moià). Per tant, pensem que es poden assimilar a produccions pròpies molt vinculades a ítem simbòlic i econòmic d'aquestes comunitats.

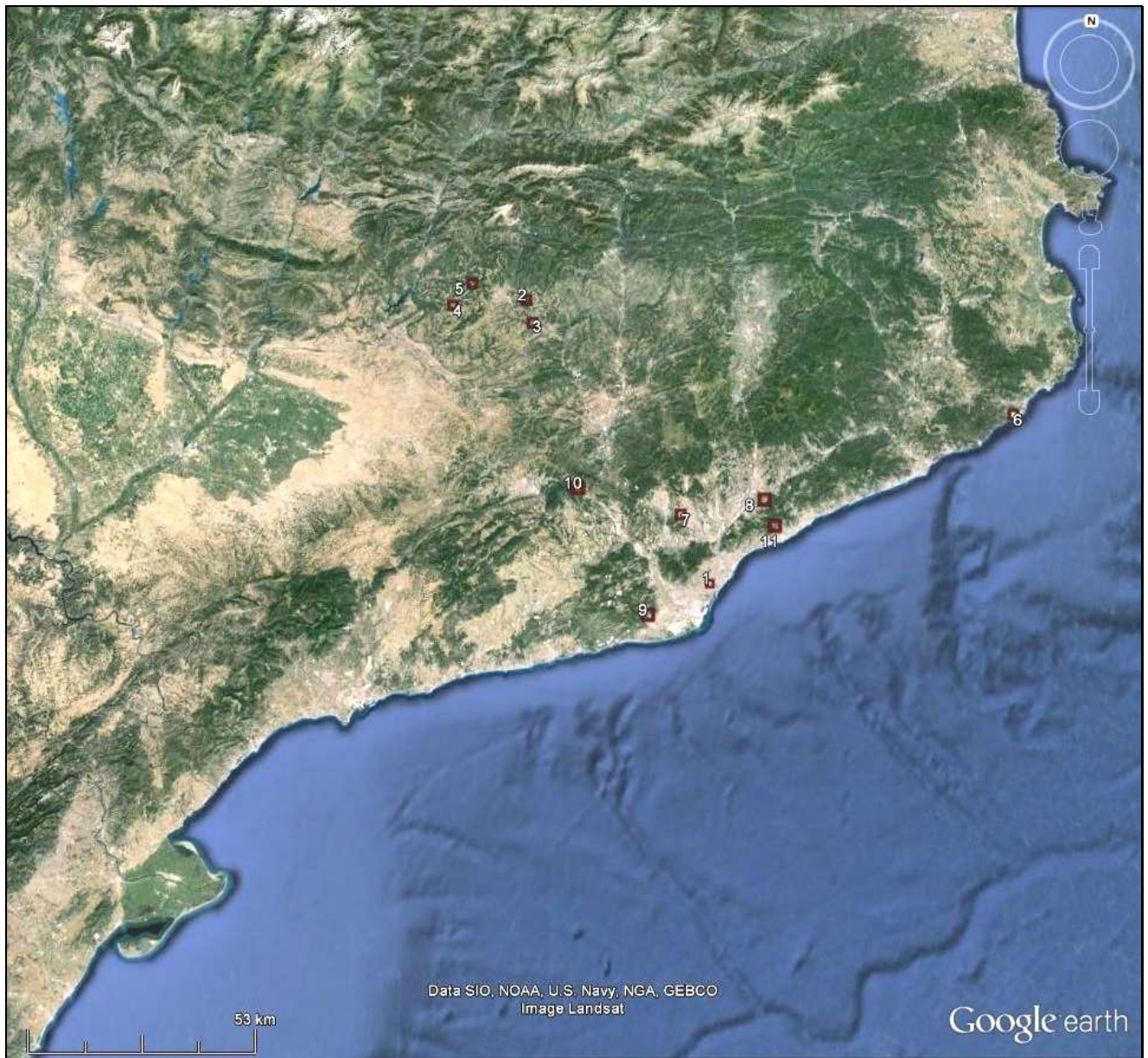


Figura 304. Mapa de distribució per densitat dels penjolls ullals de suïd al neolític mitjà.

1.La Gardunya, 2.Vinya del Picó II, 3.El Solar III, 4.Costa dels Garrics I i II, 5.El llord I, 6.Bòbila Vilatargas, 7.Bòbila Madurell, 8.Camí de Can Grau, 9.mines 84 i 85 Can Tintorer, 10.Can Vallés-El Bruc, 11.Can Maspons

Finalment, el món de les denes està dominat per la **variscita**. Aquest fosfat d'alumini hidratat de tonalitats verdoses o blavoses, s'extreia al neolític mitjà de forma sistemàtica orientada a l'obtenció de fragments i blocs de variscita per tal de devastar-los, polir els fragments i perforar-los fins arribar a aconseguir les denes de collar (Noain, 1995).

La distribució d'aquests ornaments provinents de les mines de Gavà va ser molt ampla geogràficament, està vinculada a cursos fluvials (Besós, Llobregat, Ter) amb una gran concentració a la zona del Vallès i a l'àrea del Solsonès, arribant-se a detectar ornaments de variscita arreu del nord-est peninsular i pirineus, confirmant la importància i rellevància estètica, econòmica, social i simbòlica d'aquesta pedra en aquestes comunitats del neolític ple. De fet, la variscita de Gavà participa en diversos programes de determinació mineralògica, i en analítiques realitzades amb els mètodes de Difracció de raigs X i PIXE per tal de determinar la seva distribució per la península i el sud de França (Querré et al. 2007).

El morfo-tipus de denes circular apareix al Vallès, en l'exemple de *Cova dels Lladres* (Barcelona), de cronologia epicardial segons datació i formes ceràmiques. Les denes de variscita presenten un morfo-tipus de denes-penjoll ovals, amb zona basal engruixida, que apareixen juntament amb denes circulars de petxina (*cardium sp*) (Ten, 1982, 140-141). Aquest morfo-tipus emula el que es coneix a *Cueva del Moro* (Olvena, Huesca) en cal·laïta i a *Cova de les Ànimes* (Matadepera) en petxina i que posteriorment trobem en algunes peces de *Sant Pau del camp* (Barcelona).

En contextos de Neolític Antic postcardial o evolucionat, les denes de variscita/cal·laïta són presents als aixovars de les terres de l'Ebre i es generalitzen al Neolític mitjà, sobretot en gran quantitat arreu de les planes centrals del Vallès a jaciments com *Can Roqueta II* (Sabadell) (Oliva, 2006; Oliva et al. 2008), *Bòbila Madurell-Mas Duran*, *Can Gambús I* (Sant Quirze del Vallès) i del Penedès-Garraf (*Cova de Can Sadurní*, *Cova de la Masia*) així com a les conques dels rius Llobregat i Besós, amb exemples al *Carrer de la Igualtat* a Manresa, o el sepulcre de *Montjuic d'Altès* (Castany, 2009). La densitat de denes de variscita a l'àrea del Vallès ve condicionada per la seva localització a les necròpolis de *Camí de Can Grau* (La Roca del Vallès) (Martí et. 1997), la *Bòbila Madurell* (Sant Quirze del Vallès o *Can Gambús-1* (Sant Quirze del Vallès).(Roig et al. 2008), així com en els enterraments de la *Bòbila Padró* (Ripollet), *Bòbila del Negrell* (Caldes de Montbui), *Bòbila Bellsolà* (Sta. Perpètua),etc... (Veure llistat annex).

Les denes tipus barrilet tenen gairebé totes les documentades una manufactura impecable i dimensions més grans que les denes circulars o globulars. Sobretot es registren en sepulcres a les zones del Bages, Osona (*Forat de les Tombes*, Sta. Maria de Corcó), Solsonès (*Arceda*, Llobera), Vallès Occidental (*Bòbila Madurell*, *Bòbila Padró*) i Baix Llobregat (Mines de Gavà) tot i que la presència es dona arreu de Catalunya arribant a Andorra (*Feixa del Moro*) (Edo, 1991, Castany, 2009). Molts dels conjunts de denes de variscita presenten morfo-tipus que es

combinen formant collars, polseres i turmelleres. Seria el cas de la polsera de La Gardunya per exemple, on es combinen tres tipus de denes. Aquest tipus d'enfilament combinat és habitual en conjunts ornamentals del Neolític Mitjà¹³. Alguns exemples de combinacions conegudes serien els collars i polseres de *Bòbila Negrell* (Caldes de Montbui), *Bòbila padró* (Ripollet), *Bòbila Madurell* (St. Quirze del Vallès) o *Santa Maria de Miralles* a la comarca de l'Anoia.

També es realitzen d'altres tipus d'objectes, les plaquetes rectangulars que funcionarien com aplics (adherits o cosits) amb contorns arrodonits i de petites dimensions, objectes que per altra banda només apareixen a sepulcres de *Bòbila Madurell* (Sant Quirze), *Masia Nova* (Vilanova i la Geltrú) i el possible taller-dipòsit a la mina 85 de Gavà, on es documenten 3 plaquetes perforades i 67 plaquetes no perforades (Borrell i Estrada, 2009a).



Figura 305. Plaqueta rectangular de cal·laïta amb dos orificis als extrems de Masia Nova.

D'altra banda, assenyalar que els fragments sense modificar o fins i tot ornaments fracturats de variscita tindrien un valor similar a l'objecte acabat (Borrell i Bosch 2009c), fet que explicaria casos de reutilitzacions després de reparacions com el penjoll estudiat de *Pla del riu de les Marçetes* (Manresa) o denes sense perforar a *Cova de l'Arbreda* (Serinyà).

¹³ No hi ha la certesa que algunes de les actuals combinacions que es presenten a nivell expositiu a Museus siguin les que realment presentaven als sepulcres i manc la informació del registre.

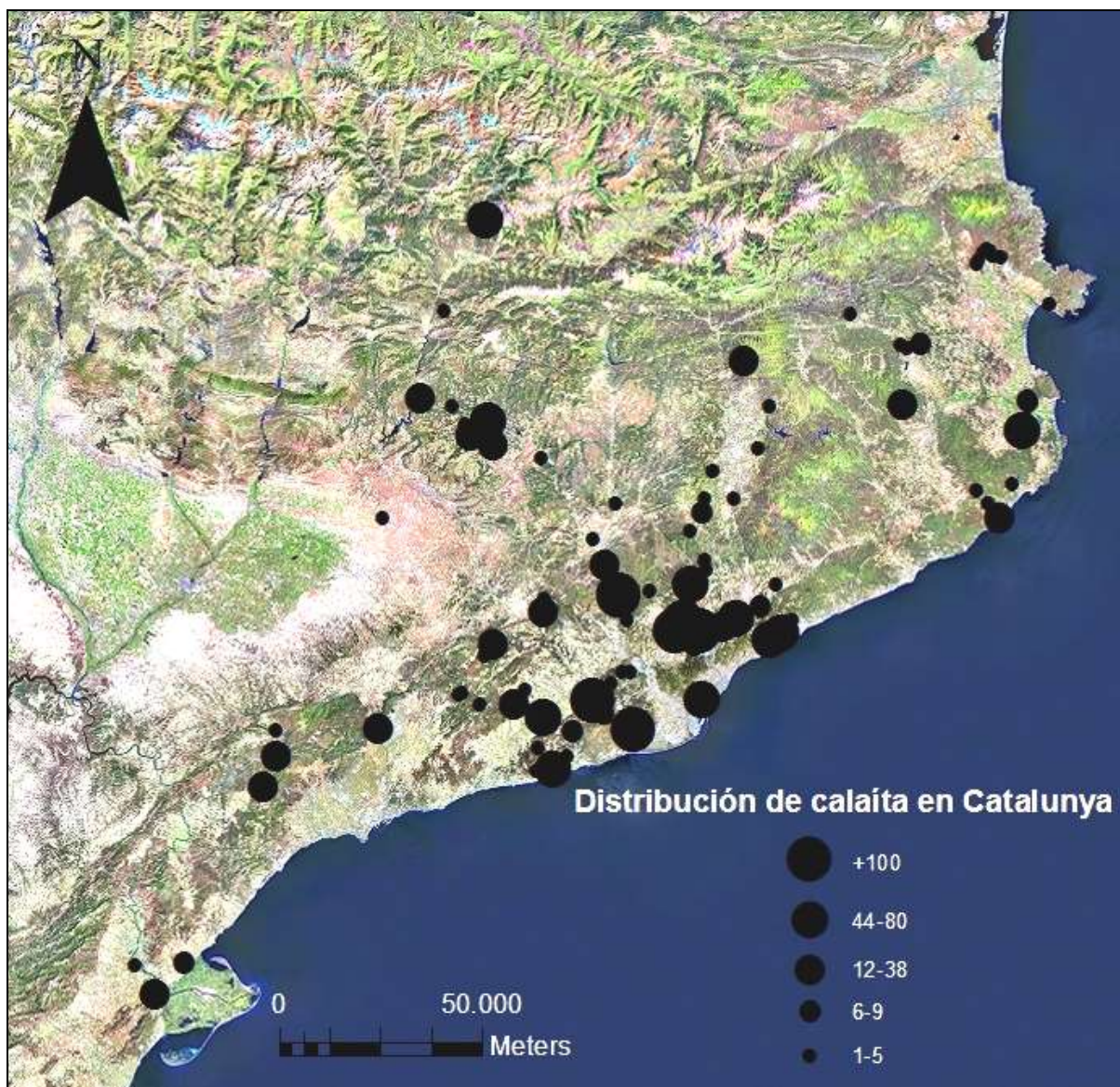


Figura 306. Mapa de distribució per densitats de les denes de variscita/ cal-laïta al neolític mitjà (Molist i Oliva, en premsa).

Es documenten d'altres tipus de **denes d'altres minerals**.

Les denes de talc i d'imitació de minerals verds tindria la seva irrupció als darrers moments del neolític mitjà, quan la cal-laïta o variscita passa el relleu a aquests minerals més tous (calcita, esteatita), minerals més fàcils de treballar que s'utilitzaran arreu de Catalunya (Martín, 1992). Aquest fet es relaciona igualment amb la fi de l'extracció de la variscita de Gavà i la presència generalitzada en contextos funeraris de les denes d'esteatita verda o blanca que possiblement busca una semblança intencional, donada la escassetat i la manca de circulació d'aquell mineral verd (Bosch i Estrada, 1994).

Per exemple, les denes d'esteatita (talcs) es troben en sepulcres en cista del Solsonès (*Cal Rajolí*) i del pre-pirineu com a *Ca l'Oliaire* (Berga) amb una datació de 4040-3680 cal BC (Martin et al.2005).

En els sepulcres de fossa del prelitoral es localitzen denes d'esteatita formant collars com hem vist a *Bòbila Madurell* i també apareixen a *Can Gambús I* i *Cova Font del Molinot* (Pontons). En aquestes darreries, hi ha algun exemple en forma de "llàgrima", com en el dolmen de *Can Gol I* (La Roca del Vallès).

Sempre hi ha dubtes d'adscripció, bé a talcs o bé a variscita, cas del Dolmen de *Palà de Coma* (Cardona, Bages) on es registra una dena de pedra blanca no determinada entre les cames de l'individu inhumat (Castany, 2009).

D'altres, com la malaquita estan adscrits per a les denes en sepulcres de *Santa Maria de Miralles* (Anoia) i *Bòbila Boatella* (Vilassar de Dalt) (Ripoll i Llongueras 1963) i probablement esquist o pissarra en sepulcres de *Puig d'en Roca* (Girona).

De lignit es coneixen denes a sepulcres de fossa de *Can Gambús I* (Sabadell, Barcelona) i a *Can Vinyals* (Santa Perpètua de Mogoda) (Miquel i Morral, 1980) que procedirien probablement d'afloraments situats al voltant de la depressió central (Mata 1990; Pascual 1998b) i de pissarra en la *Cova de la Carretera* (Olivella, Barcelona) i del sepulcre de *Can Maspons* (Bigues) amb àrees d'aprovisionament en el Baix Llobregat.

Pel que fa a les denes com la serpentina/amfibolita, aquestes es troben en inhumacions en fossa de *Mas d'en Boixos 2005* on es combina la serpentina amb cal·laïta (Oliva, 2012) i *Bòbila Madurell*.

També s'havia identificat un penjoll pla de calcària de forma arrodonida amb perforació a la cista de *Cementiri de Solsona* (Muñoz, 1965:205).

Veiem doncs, que la presència d'ornaments d'altres minerals a banda de la preeminent variscita segueix un esquema similar a la distribució d'aquesta a nivell geogràfic: el curs del Llobregat fins als pirineus, planes del Vallès i Penedès amb punts molt localitzats a terres gironines del prelitoral.

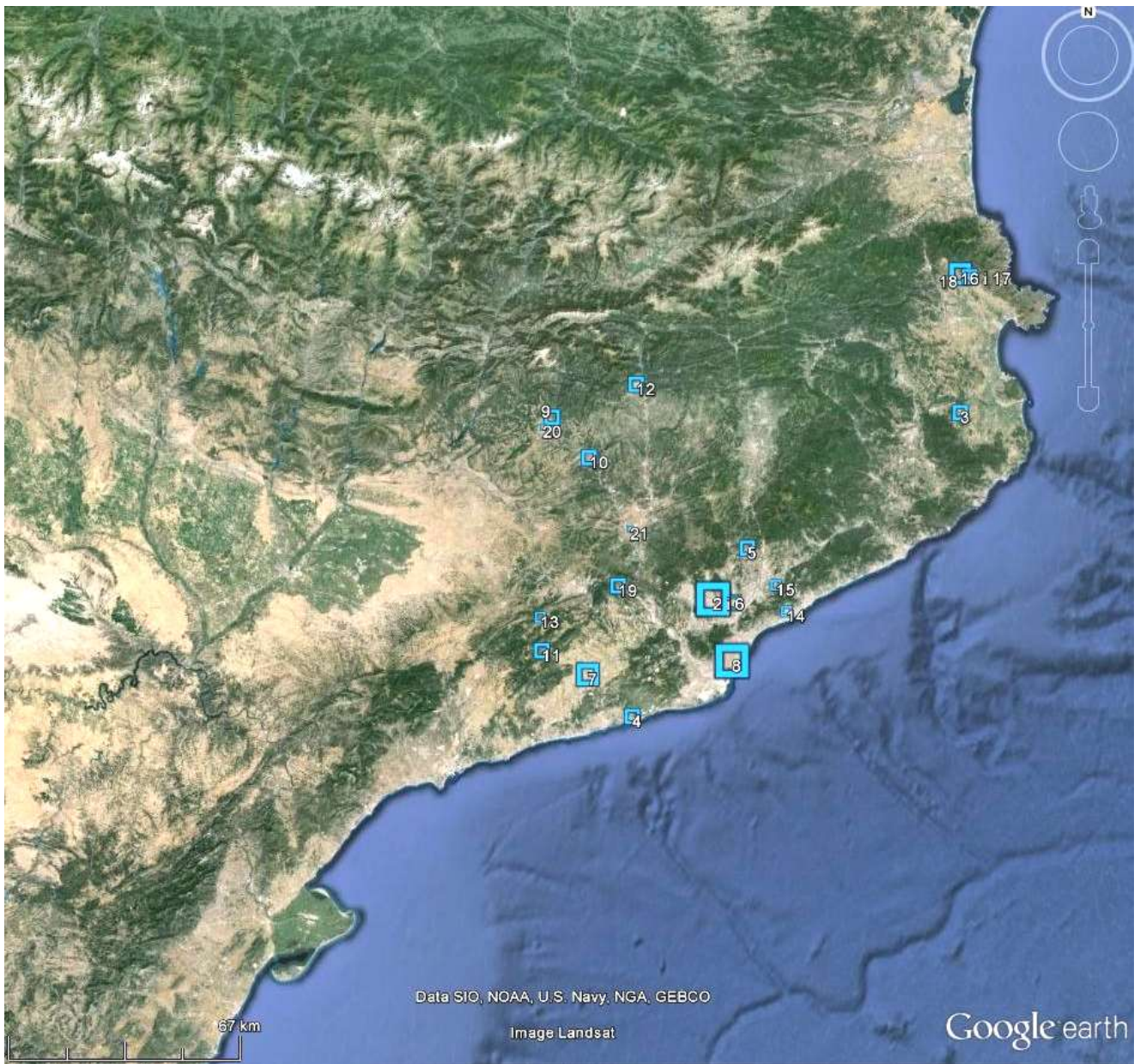


Figura 307. Distribució de denes i penjolls de pedra i minerals al neolític mitjà.

1. *Can Vinyals*, 2. *Can Gambús*, 3. *Puig d'en Roca*, 4. *Cova de la carretera*, 5. *Can Maspons*, 6. *Bòbila Madurell*, 7. *Mas d'en Boixos*, 8. *La Gardunya*, 10. *Cal Rajolí*, 11. *Cova Font del Molinot.*, 12. *Ca l'Oliaire*, 13. *Santa Maria de Miralles*, 14. *Bòbila Boatella*, 15. *Can Gol I*, 16. *Dolmen de Barranc d'Espolla*, 17. *Dolmen Cabana Arqueta*, 18. *Comes Llobes de Pils*, 19. *Can Vallès-El Bruc*, 20. *Cementiri de Solsona*

Finalment, un dels materials que també circularia amb la variscita serien les **denes de corall** ja que es documenten en aquest període a la cista de *Cal Rajolí* (Solsona, Lleida), a sepulcres de *Bòbila Madurell* com hem vist i en un sepulcre de fossa de *La Serreta* (Vilafranca del Penedès).

D'altres materials minoritaris per a la fabricació de denes al neolític mitjà serien les **denes d'os** (?) circulars/tubulars localitzades a *Camí de Can Grau* (Pou i Martí, 1995) i denes tubulars d'os de lepòrid a la cista de *Costa dels Garrics II* associades a la base del crani d'un infantil (Castany, 2009).

També es troben de forma residual **denes discoïdals de petxina** a la cista *Pla de Nuncarga* (Peramola).

Els ornaments que funcionarien per inserció anular queden reduïts a **braçalets de petxina**, elements que evidenciaran els contactes entre les valls interiors i el litoral. Arribarien com a producte manufacturat a les terres interiors del Bages, Osona, Berguedà, Solsonès, Alt Urgell... Són els exemplars recuperats a les cistes de *El Cerc* (Olius), *Puig Reig* (Solsona), *Astinyà* (Noves), *Tros de l'Aragonés* (Peramola) i *Montjuïc d'Altés* (Bassella) (Castany 2009). Aquesta via ja existia prèviament fins als pirineus, amb els exemplars del neolític antic postcardials de *Tomba del Segudet* en Andorra (Yáñez, 2003).

També es disseminen cap a zones més a l'oest, com els exemplars de *Morro-Vilanova de Remolins* (Torres de Segre, Lleida) i cap a l'est, en els fragments de *Cova de les Griuteres* (Vilanova de Sau). De fet es constata una perdurabilitat dels braçalets fins al III mil·lenni, amb exemplars a *Cova dels Ossos* (Collsuspina), *Cova del Frare* (Matadepera) i *Brics d'Ardèvol* (Pinell, Lleida).

Cal fer esment a uns elements ornamentals identificats al grup del Solsonià per Castany (2009) i que amplien el ventall ornamental del neolític mitjà: els **passadors de cabell o còfies d'os** (objecte d'os polit i endurit en combustió lenta acabats amb contorns arrodonits), agulles d'os (Feixa del Moro), **plaquetes d'os perforades** (cistes de *Povia*, *El Llord I* i *Feixa del Moro*).

Alguns d'ells, considerats indústria en os de forma habitual en els informes i inventaris, també es troben representats als sepulcres de fossa, cas de les plaquetes perforades a *Bòbila Madurell* i *Can Gambús I*.

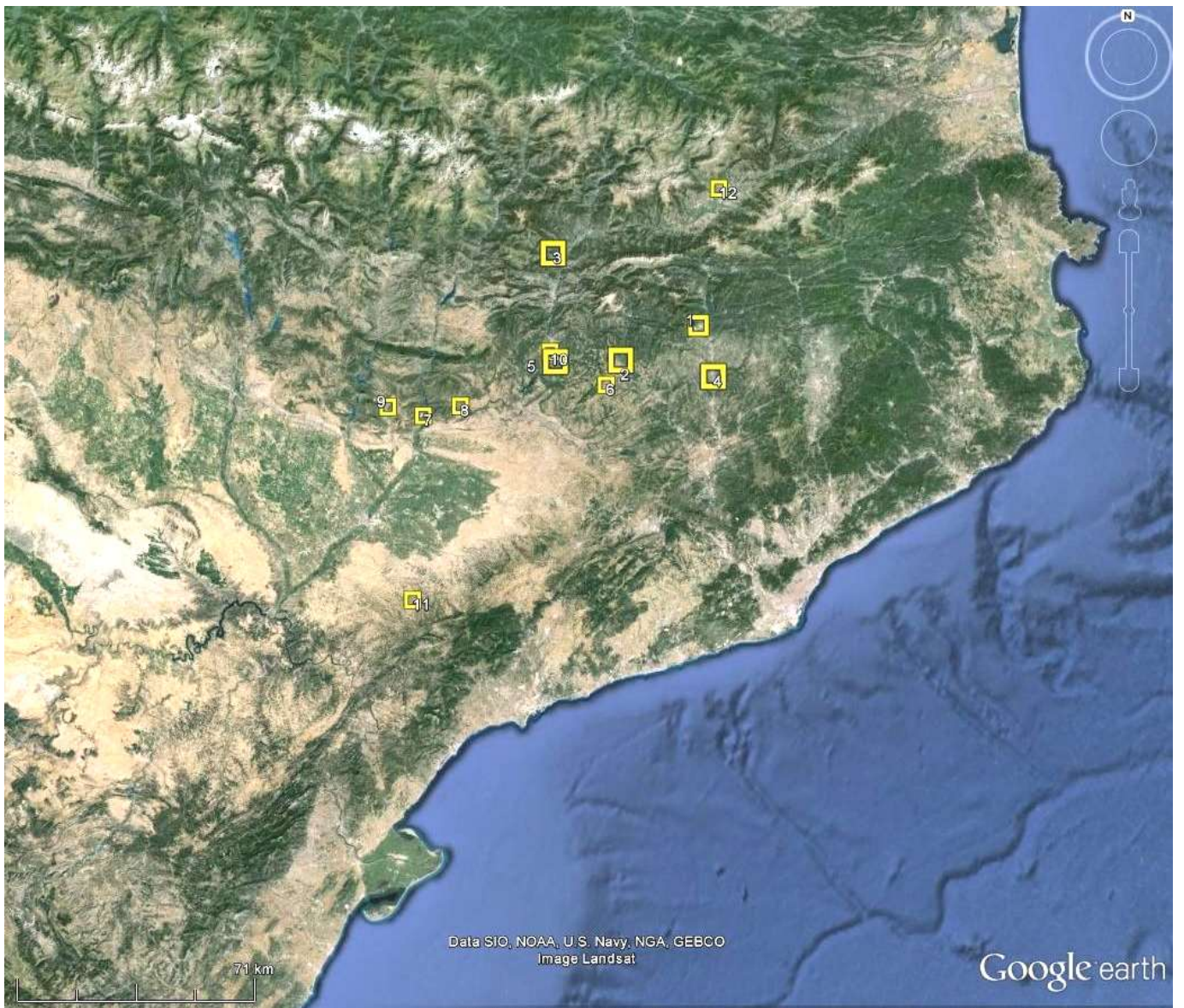
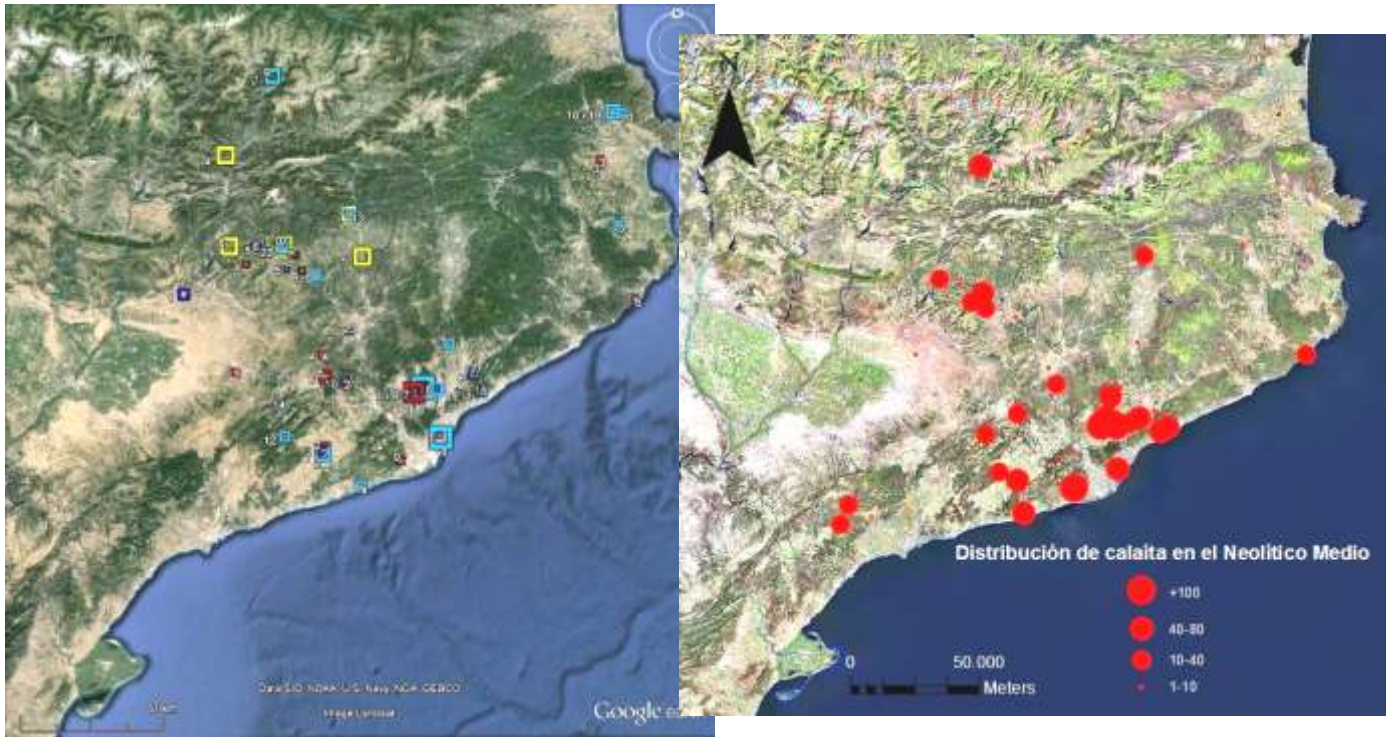


Figura 308. Distribució per densitats dels braçalets de malacofauna marina al neolític mitjà.

1. Ca l'Oliaire, 2. El Cerc, 3. Puig Reig, 4. cista d' Astinyà, 5. cista de Montjuïc d'Altés, 6. Estany de Lloberola (Solsona), 7. Cova del Tabaco (Camarasa), 8. Cova de l'Aigua (Alós de Balaguer), 9. Cova de l'Os (Tartareu), 10. Cova Negra (Tragó), 11. Sepulcre Borges Blanques (Les Garrigues), 12. Cova la Fou de Bor (Cerdanya)



Figures 309 i 310. Distribució per densitats dels ornaments al neolític mitjà: a la dreta els jaciments amb presència de variscita/cal·laïta, a l'esquerra, la resta distribució de la resta de categories d'ornament.

A nivell general, pel que fa als ornaments de neolític mitjà a nivell de distribució geogràfica veiem que:

- Les categories de morfo-tipus ornamentals es localitzen de forma profusa a l'àrea del litoral i prelitoral central, al voltant del centre productor de variscita de Can Tintorer. La seva presència fora d'aquesta àrea segueix una via principal de difusió/distribució que és la del Llobregat cap al Pirineu, el naixement del riu.
- La densitat de certs morfo-tipus està en relació també amb la densitat de presència de variscita, cas dels braçalets de petxina al Solsonès o de denes realitzades en d'altres minerals (Vallès).
- L'existència de buits geogràfics de jaciments amb ornamentació pot respondre a tres causes: una absència d'assentaments i llocs d'inhumació, una absència significativa de projectes de recerca i excavacions programades centrades en neolític (Terres de Tarragona i Ebre) i l'absència de moviments de terra intensius de certes àrees (Montseny i Plana de Lleida).

MORFO-TIPUS D'ORNAMENT AL NEOLÍTIC MITJÀ

MORFO-TIPUS ORNAMENT	JACIMENTS
Penjolls valves perforades (Glycymeris sp, Chamelea gallina, Acanthocardia tuberculata)	Bòbila Madurell, Mas d'en Boixos, Serra del Mas Bonet, Cal Pessetero II, La plana del Torrent, Can Muset, Camí de Can Grau, Can Gambús I
Penjolls gasteròpodes (Columbella rústica, Cypraea, lunatia alderi)	Cista Sant Miquel de l'Alzina (Seró), Mas d'en Boixos
Gasteròpode perforat (Thais haemastoma, Cassis Phalium saburon)	Bòbila Madurell, Can Gambús I, Estació Solar IV, Llord I, Pla del riu de les Marcetes, Can Vinyals
Braçalet malacofauna marina (Glycymeris sp, Spondylus sp)	Ca l'Oliaire, El Cerc, Puig Reig, cista d' Astinyà, cista de Montjuïc d'Altés, Estany de Lloberola (Solsona), Cova del Tabaco (Camarasa), Cova de l'Aigua (Alós de Balaguer), Cova de l'Os (Tartareu), Cova Negra (Tragó), Sepulcre Borges Blanques (Les Garrigues), Cova la Fou de Bor (Cerdanya)
Denes circulars malacofauna marina (cardium sp, Glycymeris sp)	Pla de Nuncarga
Denes circulars de lignit	Can Vinyals, Can Gambús
Denes circulars esquist-pissarra	Can Gambús I, Puig d'en Roca, Cova de la carretera, Can Maspons,
Denes circulars de serpentina-anfibolita	Bòbila Madurell, Mas d'en Boixos, La Gardunya
Denes circulars calcària, calcita, talcs-esteatita, moscovita, malaquita	Bòbila Madurell, Cal Rajolí, Palà de Coma, Cova Font del Molinot, Ca l'Oliaire, Santa Maria de Miralles, Bòbila Boatella, Can Gambús, Can Gol I, Dolmen de Barranc d'Espolla, Dolmen Cabana Arqueta, Comes Llobes de Pils, Can Vallès-El Bruc
Penjoll califa	Cementiri de Solsona
Denes tubulars de variscita*	Bòbila Madurell. (Veure llistat annexe)
Denes irregulars de variscita*	Feixa del Moro, (Veure llistat annexe)
Denes semi-rectangulars de variscita*	La Gardunya, (Veure llistat annexe)
Penjoll allargat de variscita*	Pla del Riu de les Marcetes, (Veure llistat annexe)
Denes de variscita *	(Veure llistat annexe)
Denes circulars i tubulars de corall	Bòbila Madurell, Cal Rajolí, La Serreta
Dena barrilet antigorita	Pla del riu de les Marcetes
Penjoll allargat de malacofauna marina (Glycymeris sp)	Bòbila Madurell

Denes <i>Dentalium</i>	<i>Bòbila Madurell, Serra del Mas Bonet, cista d'Arceda, Mines Can Tintorer (mina 85)</i>
Penjolls ullal de suïd	<i>La Gardunya, Vinya del Picó II, El Solar III, Costa dels Garrics I i II, El Llord I, Bòbila Vilatargas, Bòbila Madurell, Camí de Can Grau, mines 84 i 85 Can Tintorer, Can Vallés-El Bruc, Can Maspons</i>
Ornaments reparats o pre-formes	<i>Pla del riu de les Marçetes, Cova de l'Arbreda</i>
Opercles	<i>Bòbila Madurell</i>
Plaquetes d'os perforades	<i>Mines Can Tintorer, Can Gambús I, Bòbila Madurell</i>
Ornaments d'os (passadors, agulles, còfies)	<i>Povia, El Llord I, Feixa del Moro</i>

Taula 35. Morfo-tipus d'ornaments al neolític mitjà de Catalunya.

Pel que fa a la taula-resum dels morfo-tipus per jaciments, es pot observar algunes dades:

- Hi ha jaciments que tenen morfo-tipus arcaics que que deriven de tradicions epipaleolítiques i del neolític antic, com els penjolls de valves perforades, els penjolls de gasteròpodes marins, les denes de *dentalium* i els penjolls en ullals de suïd.
- Hi ha jaciments amb morfo-tipus únics, cas de les cistes del Solsonià i sepulcres de fossa del Vallès amb plaquetes d'os multiperforades, passadors, agulles..).
- Tenen presència de nou morfo-tipus que deriven del neolític antic postcardial, com les denes de corall i els penjolls dels cargols *Phalium saburon*.

A mode de conclusions, s'observa com al neolític mitjà es redueix considerablement els morfo-tipus d'ornament.

Es generalitzen en els aixovars de les necròpolis els ullals de suïd perforats a mode de penjoll, els braçalets de malacofauna marina i les denes de minerals i pedres diverses (talcs, calcites, serpentina) i sobretot hi ha presència de denes de variscita/cal·laïta arreu del territori. Aquesta presència, detectada a 153 jaciments al neolític mitjà

Els ornaments singulars o únics queden representats a *Pla del riu de les Marçetes*, amb una dena d'antigorita, els opercles a *Bòbila Madurell* i el penjoll de calça de *Cementiri de Solsona*.

Els ornaments amb una presència de forma ja residual serien les denes i penjolls de malacofauna marina.

JACIMENTS AMB VARISCITA

JACIMENT	POBLACIO	COMARCA	CRONOLOGIA
Avenc del Rabassó	Pradell	Priorat	NEOLÍTIC MITJÀ
Arceda	Llobera	Solsones	NEOLÍTIC MITJÀ
Balenyà	Balenyà	Osona	NEOLÍTIC MITJÀ
Bòbila Anell	Sant Feliu de Guixols	Baix Empordà	NEOLÍTIC MITJÀ
Bòbila Boatella (sep 1)	Vilassar de dalt	Maresme	NEOLÍTIC MITJÀ
Bòbila Boatella (sep destruits)	Vilassar de dalt	Maresme	NEOLÍTIC MITJÀ
Bòbila de Bellsolà Sepultura 7	St. Perpetua de la Mogoda	Valles Occidental	NEOLÍTIC MITJÀ
Bòbila de Can Torrens (sep 1)	Montornes del Vallès	Vallès oriental	NEOLÍTIC MITJÀ
Bòbila de Can Torrens (sep 2)	Montornes del Vallès	Vallès oriental	NEOLÍTIC MITJÀ
Bòbila de Can Torrens (sep 3)	Montornes del Vallès	Vallès oriental	NEOLÍTIC MITJÀ
Bòbila del Negrell	Caldes de Montbui	Valles Occidental	NEOLÍTIC MITJÀ
Bòbila d'en Busquets	Caldes de Montbui	Valles Occidental	NEOLÍTIC MITJÀ
Bòbila d'en Joca	Montornes del Vallès	Valles Oriental	NEOLÍTIC MITJÀ
Bòbila d'en Sallent (sep 1)	Cerdanyola	Valles Occidental	NEOLÍTIC MITJÀ
Bòbila Fusteret	Cerdanyola	Valles Occidental	NEOLÍTIC MITJÀ
Bòbila Madurell	Sant Quirze del Vallès	Valles Occidental	NEOLÍTIC MITJÀ
Bòbila Padró (sep 1)	Ripollet	Vallès Occidental	NEOLÍTIC MITJÀ
Bòbila Padró (sep 2)	Ripollet	Vallès Occidental	NEOLÍTIC MITJÀ
Bòbila Roca	Vilanova i la Geltru	Garraf	NEOLÍTIC MITJÀ
Bòbila Vilatargas	Sant Feliu de Guixols	Baix Empordà	NEOLÍTIC MITJÀ
Cami de Can Grau sep 5	La Roca del Vallès	Vallès oriental	NEOLITIC MITJÀ
Cami de Can Grau sep 6	La Roca del Vallès	Vallès oriental	NEOLITIC MITJÀ
Cami de Can Grau sep 29	La Roca del Vallès	Vallès oriental	NEOLITIC MITJÀ
Cal Pessetero (sep 2)	Castellfollit del Boix	Bages	NEOLÍTIC MITJÀ
Cal Rajolí	Llobera	Solsones	NEOLÍTIC MITJÀ
Cami de Casals (Fossa del)	Pinell	Solsones	NEOLÍTIC MITJÀ
Camp Cinzano (sep 3)	Vilafranca del Penedes	Alt Penedès	NEOLÍTIC MITJÀ
Can Gambús 1	Sabadell	Vallès Occidental	NEOLÍTIC MITJÀ
Can Marchal	Mataro	Maresme	NEOLÍTIC MITJÀ
Can Maspons	Bigues	Vallès oriental	NEOLÍTIC MITJÀ
Can Musset	Castelloli	Anoia	NEOLÍTIC MITJÀ
Can Pou	Bigues	Vàlles Occidental	NEOLÍTIC MITJÀ
Can Rafel del Forn	La Roca del Vallès	Vallès oriental	NEOLÍTIC MITJÀ
Can Roqueta II	Sabadell	Vallès Occidental	NEOLÍTIC MITJÀ
Cova de Can Sadurní	Begues	Garraf	NEOLÍTIC POSTCARDIAL/NEOLÍTIC MITJÀ
Can Soldevila (sep IV)	Santa Perpètua de la Mogoda	Vallès Occidental	NEOLÍTIC MITJÀ
Can Vallès (sep 1)	El Bruc	Anoia	NEOLÍTIC MITJÀ

JACIMENT	POBLACIO	COMARCA	CRONOLOGIA
Can Vallès (sep 2)	El Bruc	Anoia	NEOLÍTIC MITJÀ
Can Vallès	El Bruc	Anoia	NEOLÍTIC MITJÀ
Carrer de l'Igualtat	Sant Vicenç de Castellet	Bages	NEOLÍTIC MITJÀ
Cementiri (solar del)	Solsona	Solsones	NEOLÍTIC MITJÀ
Corbera, Sepulcre de	Corbera	Baix Llobregat	NEOLÍTIC MITJÀ
Cova de l'Arbreda (sector Gamma)	Serinyà	Pla de l'Estany	NEOLÍTIC MITJÀ
Dolmen de Cabana Arqueta	Espolla	Alt Empordà	NEOLÍTIC MITJÀ
Dolmen de Comes Llobes de Pils	Rabòs d'Empordà	Alt Empordà	NEOLÍTIC MITJÀ
Dolmen de Font del Roure	Espolla	Alt Empordà	NEOLÍTIC MITJÀ
Dolmen de Gutina	Sant Climent Sescebes	Alt Empordà	NEOLÍTIC MITJÀ
Dolmen de Tires Llargues	Sant Climent Sescebes	Alt Empordà	NEOLÍTIC MITJÀ
Dolmen del Barranc	Espolla	Alt Empordà	NEOLÍTIC MITJÀ
Dolmen del Llit del General	Roses	Alt Empordà	NEOLÍTIC MITJÀ
El Llord (sep 1)	Castellar de Ribera	Solsones	NEOLÍTIC MITJÀ
Els Valls (sep 1)	Riudecols	Baix Camp	NEOLÍTIC MITJÀ
Els Valls (sep 2)	Riudecols	Baix Camp	NEOLÍTIC MITJÀ
Feixa del Moro (sep 1)	Juberri	Andorra	NEOLÍTIC MITJÀ
Feixa del Moro (sep 2)	Juberri	Andorra	NEOLÍTIC MITJÀ
Feixa del Moro (sep 3)	Juberri	Andorra	NEOLÍTIC MITJÀ
Font de la Padruella	Sant Antoni i Vilanova	La Segarra	NEOLÍTIC MITJÀ
Forat de les Tombes	Santa Maria de Besora	Ripolles	Neo mitjà calcolític
La Gardunya	Barcelona	Barcelonès	NEOLÍTIC MITJÀ
La Serreta	Vilafranca del Penedès	Alt Penedès	NEOLÍTIC MITJÀ
La Llacuna-Mas Berengueres	La Llacuna	Anoia	NEOLÍTIC MITJÀ
Mas d'en Boixos (E313)	Pacs del Penedès	Alt Penedès	NEOLÍTIC MITJÀ
Mas de l'Abella	Cornudella de Prades		NEOLÍTIC MITJÀ
Mas d'en Boixos	Pacs del Penedès	Alt Penedès	NEOLÍTIC MITJÀ
Bòbila Madurell-Mas Duran	Sant Quirze del Vallès	Vallès Occidental	NEOLÍTIC MITJÀ
Masia Nova Sep 1863	Vilanova i la Geltru	Garraf	NEOLÍTIC MITJÀ
Masia Nova (1940)	Vilanova i la Geltru	Garraf	NEOLÍTIC MITJÀ
Masia Nova (bovila)	Vilanova i la Geltru	Garraf	NEOLÍTIC MITJÀ
Mines 83 de Gava	Gava, Baix Llobregat	Baix Llobregat	NEOLÍTIC MITJÀ
Mines 85 de Gava	Gava, Baix Llobregat	Baix Llobregat	NEOLÍTIC MITJÀ
Mines Gavà Can Tintorer Mina 11	Gavà	Baix Llobregat	NEOLÍTIC MITJÀ
Mines Gavà Can Tintorer Mina 21	Gavà	Baix Llobregat	NEOLÍTIC MITJÀ
Mines Gavà Can Tintorer Mina 41	Gavà	Baix Llobregat	NEOLÍTIC MITJÀ
Mines Gavà Can Tintorer Mina 50	Gavà	Baix Llobregat	NEOLÍTIC MITJÀ
Mines Gavà Can Tintorer Mina 65	Gavà	Baix Llobregat	NEOLÍTIC MITJÀ
Mines Gavà Can Tintorer Mina 7	Gavà	Baix Llobregat	NEOLÍTIC MITJÀ
Mines Gavà Can Tintorer Mina 8	Gavà	Baix Llobregat	NEOLÍTIC MITJÀ
Montjuich d'Altès	Basellà	Solsones	NEOLÍTIC MITJÀ

LLISTAT DE FIGURES

1. INTRODUCCIÓ, OBJECTIUS I MÈTODE

- Figura 1. Figures antropomorfes de les pintures rupestre d'El Ciervo (València), Abric de Mas dels Ous i Coves de la Saltadora (Castelló) amb ornamentació (Galiana, 1985).....8
- Figura 2. Alguns dels ornaments en inhumacions del paleolític i neolític. A dalt a l'esquerra, dos infants de Grotte de Grimaldi (Paleolític Superior, epigravetià final) amb penjolls de cargols de *Cyclote neritea* que anirien cosits a vestit o teixit (Muriel i Playà, 2008).....9
- Figura 3. A dalt a la dreta, Inhumat amb penjolls-aplics de cargols marins i terrestres en el cabells, penjolls al coll i valves de *Spondylus*, perforades a la cintura del Linear Pottery Culture (equivalent al Neolític antic a centre-Europa). (Lenneis, 2007).....9

1.5. JACIMENTS DE LA MOSTRA.

- Figura 4. Mapa amb els jaciments estudiats del neolític antic.....44
- Figura 5. Sitja CF-1. (N. Terrats).....46
- Figura 6. Vora ceràmica amb apèndix i decoració de CF-1. (Fotos: N. Terrats).....46
- Figura 7. Inhumació CRII-651 i detall dels ornaments (Foto camp: A. Palomo i A. Rodríguez; Foto ornaments: M. Oliva).....48
- Figura 8. Estructura CRII-329, amb individu inhumat (Foto: A. Palomo i A. Rodríguez).....49
- Figura 9. Detall general de l'estructura CRCRV255 amb individu 3 enmig del canal (Fotografies: N. Terrats i M. Oliva, Arqueolític Terra-sub S.L).....51
- Figura 10. Detall de l'individu 2 recolzat a la paret oest (Fotografies: N. Terrats i M. Oliva, Arqueolític Terra-sub S.L).....51
- Figura 11. Fotografia de treballs de camp a La Draga 2010, amb detall del nivell de l'enllosat del sector D i les cabanes del parc arqueològic. (Foto: I. Bogdanovic).....56
- Figura 12. Fotografia detall de l'individu 1 a E355. (Foto: A. Vidal/ Tríade s.c.p).....58
- Figura 13. Planimetria general del jaciment. (dibuix: R. Farré, 1990-1991 / digitalització: O. Vicente, 2007). SAPPO-UAB.....60
- Figura 14. Vista de la balma del Roc del Migdia (Foto: R. Yll).....67
- Figura 15. Àrea F, quadre L14 sector NW. Vista de la secció amb la successió de nivells grisos i vermells superiors (Foto: R. Yll).....69
- Figura 16. Planimetria del Roc del Migdia, el material procedeix dels quadres H, I, J (10 i 11), sense trames (R. Yll).....69
- Figura 17. Detall de l'entrada a la Cova de les Ànimes.....70
- Figura 18. Detall de l'entrada a la Cova del Frare.....71
- Figura 19. Mapa dels jaciments estudiats del neolític mitjà.....73
- Figura 20. Planimetria de la inhumació en sepulcre de fossa (E4) (cedida per A. Velasco).....86
- Figura 21. Dibuix dels materials recuperats a les fosses 1, 2 i 3. (Guitart, 1986).....87
- Figura 22. Detall de l'individu 6 amb l'aixovar situat a la banda esquerra assenyalat per punts vermells. (Foto extreta de Guitart, 1986).....88

2. ANÀLISI DELS ORNAMENTS DEL MESOLÍTIC/NEOLÍTIC ANTIC

Figura 23. Fotografia de <i>dentalium</i> i <i>Columbella rustica</i> adscrits al nivell del Neolític antic de Roc del Migdia.....	89
Figura 24. Detall d'extrem apical abrasió del <i>Dentalium</i> RM07-130-I13 a 40x.....	91
Figura 25. Detall de denes del <i>Dentalium</i> RM07-100-H10-6 engarsades.....	91
Figura 26. Detall de denes engarsades del <i>Dentalium</i> RM07-100-I10 NC.....	91
Figura 27. <i>Dentalium</i> engarsades, detall de les traces per fregament reiterat i detall dels extrems abrasió i un de fractura (a baix).....	92
Figura 28. RM07-110-H11-32. Traces d'abrasió de la superfície del cos.....	93
Figura 29. RM07-120-J11, sense espira i termoalterada.....	93
Figura 30. Conjunt de diferents tipus de perforació en el cos del gasteròpode: per pressió i fractura controlada i per combinació d'abrasió i pressió controlada.....	93
Figura 31. Perforacions amb regularitzacions i escaires, atípiques i abrasió de l'àpex.....	94
Figura 32. Detall de la pàtina de fregament reiterat de l'exemplar de <i>Conus mediterraneus</i> RM07-100-H10-25. Detall de les línies de fregament paral·leles i en totes direccions (60x).....	94
Figura 33. Detall de traces de fregament reiterat contra alguna superfície tova.....	95
Figura 34. Exemplars RM07-100-H10-23 i RM07-120-62 penjolls de valves perforades de <i>Glycymeris</i>	96
Figura 35. Detall de perforació rotativa amb un estri lític a umbo previament abrasió.....	97
Figura 36. Detall de pla abrasió a umbo.....	97
Figura 37. Detall de dos exemplars de penjolls de <i>Glycymeris</i> de La Draga amb orifici de suspensió.....	100
Figura 38. Valves perforades a la zona del cos (a dalt, D10-473, D11-1837; a baix, D02 R4 i D91 K298 W82).....	101
Figura 39. (a dalt, esquerre): Valva D03-JF89-95 amb perforació abrasió 40X. (a dalt, dreta): D03-JF87-15 d' <i>Acanthocardia tuberculata</i> amb pla d'abrasió, tot i que també s'observen punts impacte per percussió amb estri (cercle en vermell). A baix: altres exemples de perforació per abrasió: D12-JA78-7 i D12-JE78-7. Exemple a la dreta, de rotació directa rotativa en D11-IJ40-5-1837.....	101
Figura 40. D03 JF-89-95 estries verticals i obliqües.....	102
Figura 41. Valva D03-JE89-15 amb perforació abrasió en detall en 20X i 40X.....	102
Figura 42. Valva D11-JC78-4-1818 amb perforació directa per rotació, en detall 20X.....	103
Figura 43. D03-JE89-15 i D11-V-1837. Fregament intern de la vora paleal i de la zona de la xarnel·la interna a 40x.....	104
Figura 44. Conjunt de La Draga de <i>Columbellas rustica</i> perforades.....	105
Figura 45. <i>Nassarius mutabilis</i>	105

Figura 46. Exemple de contaminació per siglatge de l'àrea a estudiar. Malgrat tot, es pot veure la línia de fregament reiterat en el mateix plànol de l'orifici, comú en exemplars que poden haver anat cosits.....	105
Figura 47. Diferents tipus de perforacions als exemplars de <i>Columbella</i> de La Draga.....	106
Figura 48. Detall zones amb fregament reiterat de l'exemplar de <i>Nassarius mutabilis</i> (40x).....	107
Figura 49. Detall de la perforació i zones de fregament i erosió en l'exemplar de <i>Cerithium</i>	107
Figura 50. Detall de la trajectòria de les línies de fregament reiterat en el plànol de l'orifici observada en exemplar D03 R3.....	108
Figura 51. Detall de la trajectòria de les línies de fregament reiterat en el plànol de l'orifici observada en exemplar D02 R2.....	108
Figura 52. (esquerre). Detall de l'espira abrasiada de D04 R6.....	108
Figura 53. Dena-penjoll de <i>cardium sp</i> recuperades a La Draga.....	109
Fig.54. Detall de la perforació excèntrica i de les restes de concreció per resina de la peça D92-B-19.....	110
Fig.55. Detall del plànol dorsal amb siglatge i ventral amb el plànol transversal esbiaixat de la peça D92-A16-3.....	110
Figura 56. Detall del plànol transversal amb perforació central i de la concavitat del plànol dorsal de D92-OX19-7.....	111
Figura 57. Detall de la peça, amb senyalització de les línies paral·leles de poliment abrasiu i detall de l'orifici amb traces del trepant giratori.....	112
Figura 58. Detall de la peça, cares anterior i posterior i traces observades.....	113
Figura 59. Detall de la dena i dels solcs del trepant dins de l'orifici de suspensió.....	114
Figura 60. Dena-penjoll D11-JE81-7-2485 i detall de les línies de poliment observables.....	115
Figura 61. Detall de les línies de poliment abrasiu en les superfícies de les denes de <i>Spondylus</i> (1835) i de <i>Glycymeris sp</i> (4312).....	115
Figura 62. Conjunt de denes circulars de La Draga engarsades per exposició amb exemplars de <i>Dentalium</i>	116
Figura 63. Diagrama de variabilitat dels diàmetres de les denes circulars de La Draga.....	117
Figura 64. Dena circular realitzades en <i>Cardium sp</i> i <i>Glycymeris sp</i>	118
Figura 65. Detall de traces funcionals (pàtina fregament reiterat) i tecnològiques (rotació concèntrica rotativa).....	119
Figura 66. Dues denes de <i>dentalium vulgare</i> de La Draga inserides amb denes circulars en conjunt per exposició al Museu Comarcal de Banyoles.....	120
Figura 67. <i>Dentalium</i> D02R1 i detall d'un dels extrems amb indicis de fregament abrasiu.....	120
Figura 68. Exemplar D11-KA79-7-1830, detall de l'extrem apical fracturat intencionalment.....	121
Figura 69. A dalt, denes MACB-850-031 i MACB-850-032; a baix, conjunt de denes D13-JA40-6676.....	122
Figura 70. Difractograma de la dena D91-II23-NE-17, i en color verd la calcita destaca com a únic component.....	123
Figura 71. Exemples de denes de <i>Prunus avium</i> de la campanya del 2012.....	126
Figura 72. Detall de traces visibles en la superfície al voltant de l'orifici de les denes de <i>Prunus</i>	127
Figura 73. Anells de banya, sencers i llisos sense decorar de La Draga.....	128

Figura 74. Fragments d'anells en os i banya de La Draga.....	129
Figura 75. Anell D03-JG-87-3, amb irregularitats de serratge i poliment en línies paral·leles i en totes direccions.....	129
Figura 76. Anell D04-JH-92-1.....	130
Figura 77. Detall d'estries d'abrasió en la superfície en totes direccions de D04-JH-92-1	130
Figura 78. Detall d'estries d'abrasió en la superfície en totes direccions de D04-JH-92-1.....	130
Figura 79. Anell D05 KE 86 15 i detall de la superfície i contorn amb traces d'abrasió i poliment intens.....	131
Figura 80. Anell D11-JA81-2434 i detall del fregament per ús.....	132
Figura 81. Detall de fragments d'anell i un anell sencer decorats amb dues protuberàncies.....	132
Figura 82. Anell D03-JE-88-9 i detall d'una de les protuberàncies.....	133
Figura 83. Anell D-F18-29 decorat amb dues protuberàncies.....	134
Figura 84. Detall angles, superfície desgastada i orificis dels vasos sanguinis de l'os transformat en anell D-F18-29.....	134
Figura 85. Anell amb decoració de protuberància central.....	134
Figura 86. Detall de línies d'abrasió en les superfícies de l'anell D12-IJ80-6a-4851.....	135
Figura 87. Anell D03-R25 i detall de les incisions laterals.....	136
Figura 88. Fragments d'anells amb traces (D11KA78-6-1850, D12-IJ81-6a-4305, D11JB81-6-2431).....	137
Figura 89. Fragments d'anells de La Draga realitzats en banya de diferents ungulats.....	137
Figura 90. Fragment d'anell D92-A17-20 garbell (esquerre) i del fragment D95 E21/32.....	138
Figura 91. Detall de la peça D92 OW16 45.....	139
Figura 92. Anella D10-VII-837 i detall de traces observades.....	140
Figura 93. Detall dels dos plànols de la peça D95-0Z-21-9.....	141
Figura 94. Detall sense escala, de la secció biapuntada de la peça.....	141
Figura 95. Anella decorada D10-II-E240-431 i detall de les ranures per rebaix incís.....	142
Figura 96. Fragments d'anelles-penjoll en os de La Draga.....	142
Figura 97. Dena d'os de forma ovoïdal, D14-JC41-9004,.....	143
Figura 98. Fragment del braçalet D10-8-915, detall dels plànols extern i intern i traces de poliment.....	144
Figura 99. Fotografia dels 3 fragments de braçalets de La Draga exposats a vitrina del Museu Comarcal de Banyoles. (Arxiu fotogràfic del Museu Comarcal de Banyoles, J. Tarrús).....	145
Figura 100. Fragment de dena de marbre fracturada (D14-JG40-8303.....	146
Figura 101. Penjoll de marbre blanc (D14-JG43-8523) fracturat, al que li manca l'àrea apical de suspensió.....	147
Figura 102. Dispersió per densitats dels ornaments coordinats als sectors intervinguts al jaciment de La Draga entre els anys 1991 i 2014, a excepció del sector subaquàtic.....	149
Figura 103. Densitat, d'ornaments i pre-formes en curs de fabricació coordinats i no coordinats al sector A.....	150
Figura 104. Possibles eines lítiques per elaborar decoracions o plànols de perforació en ornaments de La Darga, localitzades a la campanya del 2014.....	151

Figura 105. Valves senceres i fragments de <i>Glycymeris</i> , <i>Spondylus</i> i <i>Cardium</i> , amb un possible fragment de braçalet (D14-8291).....	152
Figura 106. Detall de la dispersió, per densitats, de valves i fragments de malacologia marina coordinats als sectors de La Draga.....	153
Figura 107. Pre-formes de denes-penjoll de <i>Glycymeris</i> i <i>Spondylus</i>	154
Figura 108. Denes-penjoll en procés de fabricació, amb les diferents posicions del plànol transversal preparatori a la perforació.....	155
Figura 109. Denes-penjoll acabades, algunes amb plànol transversal lateralitzat i d'altres sense plànol.....	156
Figura 110. Detall de dena-penjoll D13-8292 amb plànol transversal irregular concrecionat, i detall de les traces de poliment abrasiu de superfície, contorns i plànol transversal de la dena-penjoll D13-6940.....	157
Figura 111. Detall de dena-penjoll D13-6254 amb extrem apical biapuntat i plànol transversal i detall d'extrem apical arrodonit de D13-6677, amb plànol lateralitzat i perforació unipolar.....	157
Figura 112. Dena-penjoll D13-5696 amb perforació dins plànol lateralitzat i dena-penjoll D13-6936 amb plànol transversal i perforació concèntrica central.....	158
Figura 113. Detall de les traces d'abrasió en la realització dels plànols transversals de les denes-penjoll.....	158
Figura 114. Detall dels orificis d'algunes de les denes-penjoll, realitzats per rotació concèntrica.....	159
Figura 115. Detall de les superfícies de denes-penjoll amb traces de poliments abrasius en totes direccions i paral·lels, amb diferents plànols abrasius en les peces D13-587 i D13-6937.....	160
Figura 116. Detall de les traces dels diferents poliments a la zona apical de la dena-penjoll D13-6938.....	161
Figura 117. Denes-penjoll trencades durant el procés d'elaboració.....	161
Figura 118. Exemplars de denes-penjoll cremades.....	162
Figura 119. Distribució de denes circulars i denes-penjoll coordinades en els sectors del jaciment de La Draga.....	163
Figura 120. Pre-formes de denes circulars.....	165
Figura 121. Comparativa de Pre-forma de fragment de dena retallat i dena inacabada trencada.....	166
Figura 122. Fragment de possible penjoll en curs de fabricació. Detall de les traces de poliment de la superfície.....	167
Figura 123. Anella-penjoll CRII-775, detall i peça amb regleta.....	168
Figura 124. <i>Glycymeris</i> sp CF1-2-93 amb umbo abrasiat i detall estries verticals. 60X.....	171
Figura 125. <i>Glycymeris</i> sp CF1-1-88 perforat a l'umbo. Detall a 60X traces d'abrasió i fixació....	171
Figura 126. <i>Columbella rustica</i> CF1-1-80 perforada al labro. Detall de traces funcionals a 60x i 80X (fregament reiterat).....	173
Figura 127. Exemplar de <i>Dentalium</i> CF1-1-83, detall d'extrem abrasiat i detall del fregament de la superfície.....	174
Figura 128. Dena de <i>Cardium</i> sp. CF-S21-talla 21-a (C6).....	175
Figura 129. Detall de l'orifici central, amb poliment del plànol anterior de la peça, i pàtina de fregament reiterat per ús al voltant del mateix.(60x).....	176
Figura 130. A baix, detall del contorn de la dena amb les línies uniformes de poliment (60x).....	176

Figura 131. Fragment d'anell CF-S21-talla 21-b (C6).....	177
Figura 132. Detalls de la part interna i externa de l'anell i traces del poliment.....	178
Figura 133. Detalls de la vora de l'anell i les traces del poliment (60x, 80x).....	178
Figura 134. Valva perforada a l'umbo MB-337-1-8, exemplar d' <i>Acanthocardia tuberculata</i>	179
Figura. 135. Valva MB-299-4-11a. Detall de traces deixades per estri en l'orifici de suspensió en el procés rotatiu.....	180
Figura 136. Valva MB-337-1-8, detall de la perforació.....	180
Figura 137.(a baix). Ampliació de detall dels solcs deixats per l'estri lític durant la rotació en valva MB-337-1-8.....	180
Figura 138. MB-303-1-7 (al costat). Detall del fregament de la vora paleal interna.....	181
Figura 139. MB-303-1-7. Detall de fregament reiterat sobre costelles o cos.....	181
Figura 140. MB-337-1-8, detall fregament al voltant orifici i zona propera a dents. Àrea on se situaria el sistema de suspensió.....	181
Figura 141. Detall del conjunt 2671 de Cova de les Ànimes.....	183
Figura 142. Detall del conjunt 2670 de Cova de les Ànimes.....	183
Figura 143. Dena CA-2671-1	184
Figura 144. Dena amb possible pigment CA-2671-226.....	184
Figura 145. (esquerra). Dena CA-2671-228, amb marques del trepant al voltant de l'orifici.....	185
Figura 146. (dreta). Dena CA-2671-23, amb marques de trepant giratori a l'interior de l'orifici.	185
Figura 147. Detall de la dena CA-2671-4, plànol anterior i detall del plànol posterior o amb perforació unipolar.....	185
Figura 148. Dena-penjoll CA-2671-10. Detall poliment i perforació.....	186
Figura 149. CA-2671-229. Detall perfil pla abrasiu i detall del pla i de la perforació concèntrica	187
Figura 150. Detall de la zona basal de la dena amb fregament reiterat CA-2671-230.....	188
Figura 151. Dena-penjoll CA-2671-237 i perfil.....	188
Figura 152. detall de l'àrea de fregament al voltant de l'orifici.....	188
Figura 153. Detall de la dena-penjoll CA-2671-11 i perfil.....	189
Figura 154. Detall de zona abrasiu i perforació.....	189
Figura 155. Detall i perfil de la dena-penjoll CA-2671-12.....	190
Figura 156. (dreta). Detall de les concrecions de pigment en la superfície.....	190
Figura 157. Dena-penjoll CA-2671-231 amb detall de la zona apical amb el pigment.....	190
Figura 158. Detall del perfil de la dena-penjoll, àrea abrasiu i (dreta) detall a 60x de les traces.....	191
Figura 159. Dena-penjoll, detall de la superfície amb pigment, (dreta), detall del poliment de la valva a la zona apical.....	191
Figura 160. Detall del perfil amb traces abrasives de la dena-penjoll CA-2671-233. (esquerra) perfil apical i (dreta) perfil basal.....	192
Figura 161. Detall de les traces d'abrasiu observables en la superfície, al voltant de l'orifici.....	192
Figura 162. Detall abrasiu àrea apical de la dena-penjoll CA-2671-234.....	193
Figura 163. (dreta). Detall de les concrecions i pigment vermellós.....	193
Figura 164. Dena-penjoll CA-2671-235. Detall del plànol abrasiu per la perforació central.....	194
Figura 165. Detall de l'orifici i estries concèntriques, detall de les línies d'abrasiu del plànol.....	194

Figura 166. Dena-penjoll CA-2671-236. Vista frontal i de perfil.....	195
Figura 167. (A baix esquerra). Detall pigment i línies abrasió àrea apical.....	195
Figura 168. (a baix dreta). Detall pigmentació a zona basal.....	195
Figura 169. (a dalt, esquerra). Dena-penjoll CA-2671-238.....	196
Figura 170. (a dalt, dreta). Detall zona apical amb concrecions-pigmentacions.....	196
Figura 171. Detall del perfil, amb àrees amb fregament.....	196
Figura 172. Conjunt de denes-penjoll de collar CA-2670.....	197
Figura 173. Dena-penjoll CA-2670 b.....	197
Figura 174. Detall de la dena-penjoll de corall amb perforació apical i dues laterals.....	198
Figura 175. Dena CF-S21-talla 16, detall de les traces tecnològiques dins orifici i d'ús.....	201
Figura 176. <i>Columbella rustica</i> perforada amb traces d'ús en l'eix longitudinal i al voltant de la perforació.....	202
Figura 177. Braçalet de marbre i detall de les traces de poliment tecnològiques i pàtina d'ús en la vora del contorn.....	204
Figura 178. Fragment del braçalet SMB117-1-32, cara anterior.....	205
Figura 179. Contorn braçalet on s'aprecia el plànol de superfície obliqua inclinada i el plànol recte 20X i detall de la superfície inferior amb línies d'abrasió longitudinals a vora del contorn 40x...	206
Figura 180. Fragment del braçalet SMB22-6-154, cara anterior. Talls d'eina en el contorn intern, durant el procés d'acabat de l'ornament 40X. Línies de poliment abrasiu en totes direccions de la superfície 80X. Zona lluent en el contorn intern, fregament per repetició d'ús. 20X.....	206
Figura 181. Penjoll SMB-22-4-17.....	208
Figura 182. Detall de l'orifici realitzat per perforació concèntrica rotativa, amb estries circulars, i les línies en totes direccions del poliment abrasiu de la superfície al voltant. (60x).....	209
Figura 183. Estries de poliment de la superfície. (80x).....	209
Figura 184. Fragment del penjoll SMB22-6-153, cara anterior i posterior. Detall de la perforació concèntrica amb la irregularitat. (60x). Detall de les línies de poliment de la superfície de l'ullal. (80x).....	210
Figura 185. Exemples de les perforacions de les valves de CRII651: perforació per abrasió amb estries paral·leles en vertical i perforació per abrasió amb estries en totes direccions.	
Figura 186. Disposició de la peça CRCRV255-2-1038 en relació a l'individu i detall de la perforació i traces.....	216
Figura 187. Valva i detall de traces d'abrasió i de fractura amb rotació.....	217
Figura 188: Valva MB-355-2-21 i detall de traces abrasives i de rotació amb estri.....	218
Figura 189. Detall de les traces de percussió i rotació controlades en la peça MB-355-1-83.....	218
Figura 190. Valva perforada i detall de l'orifici fet per rotació amb estri.....	219
Figura 191. Gasteròpode i detall de les traces de l'àpex abrasiat.....	219
Figura 192. Corn amb detall de l'espira abrasiada i de la perforació per abrasió i fractura controlada.....	220
Figura 193. MB-355-2-163. Detall de la peça i detall de la perforació de suspensió.....	221
Figura 194. Fragment del braçalet MB-333-1-C.....	222
Figura 195. Detall de les traces de poliment de la superfície i contorn.....	222
Figura 196. Braçalet de Cova del Frare del neolític antic postcardial.....	223

Figures 197. Detall de diverses traces dels poliments en totes direccions i unipolars.....	224
Figura 198. Detall de diversos plànols de facetat de la peça.....	224
Figura 199. Conjunt MHCB-20474, possible polsera, on es combinen denes de petxina i lignit...	228
Figura 200. Conjunt MHCB-20472, que formaria originàriament part de MHCB-20474, enterrament XXIV.....	229
Figura 201. Conjunt MHCB-28006 amb la dena 28794, enterrament XI. Detall de les denes irregulars de <i>Spondylus</i> i detall de les denes de lignit.....	231
Figura 202. Difracció de de la dena de calcita gairebé translúcida del conjunt MHCB-28796.....	233
Figura 203. Conjunts MHCB-28795, MHCB-28796. Detall de la dena de calcita al centre i la dena-penjoll de l'enterrament XI.....	233
Figura 204. Detall dels conjunts MHCB-28802, MHCB-28003 (detall d'una dena de <i>Spondylus</i>) i MHCB-28805 de l'enterrament XI.....	236
Figura 205. Conjunts de denes i fragments de l'enterrament XI.....	238
Figura 206. Difractograma de la dena MHCB-28804-17.....	240
Figura 207. Conjunts de l'enterrament I (MHCB-28837) i enterrament XVII. Detall de les denes de petxina i de la dena MHCB-28804-17.....	240
Figura 208. Conjunt de l'enterrament XV i detall de les denes i la dena-penjoll en petxina.....	241
Figura 209. Conjunt MHCB-28837 i detalls de diferents plànols de la dena-penjoll.....	243
Figura 210. Dena-penjoll de variscita. Detall de la perforació, de sigla a sobre de la peça (en vermell) i de l'aprimament de la zona apical i engruiximent de la zona basal.....	245
Figura 211. Difractograma de la dena de variscita MHCB-28971, amb el component en verd.....	245
Figura 212. Dena-penjoll MHCB-28808-1. Detall de l'orifici central amb les traces del trepant i detall de la secció uniforme.....	246
Figura 213. Denes circulars de petxina. Detall del tipus de perforació i de traces de poliment de superfície.....	248
Figura 214. Detall de les denes de corall amb les superfícies rodades i en procés de descalcificació. Detall amb senyals de les traces circulars deixades pel suport del trepant al voltant d'una de les perforacions.....	249
Figura 215. Penjoll, detall dels dos plànols. Detall de l'orifici amb les traces del trepant. Detall de les línies paral·leles verticals del poliment del contorn.....	250
Figura 216. Braçalet 1 de <i>Glycymeris glycymeris</i> . Detall del rebaix de l'umbo que deixa al descobert les dents i del plànol facetat a la vora paleal.....	252
Figura 217. Braçalet 2 (S.2). Detall dels dos plànols, i de la vora paleal interior facetada amb restes de costelles.....	253
Figura 218. Detall dels dos plànol del braçalet i les dues vores paleals, una amb restes de costelles i l'altre facetada i fracturada.....	254
Figura 219. Denes grises, conjunts i detall de les traces observables (Foto dreta: J.F. Gibaja)...	255
Figura 220. Comparativa de dimensions de les denes segons els gruixos.....	255
Figura 221. Comparativa de dimensions dels diàmetres de les peces.....	256
Figura 222. Comparativa de dimensions dels diàmetres dels orificis de les peces.....	256

Figura 223. Conjunt de denes de talc verd de Tomba de Segudet (Fotografia: J.F.Gibaja).....	257
Figura 224. Mapa de distribució per densitats de denes de petxina al neolític antic cardial, epicardial i postcardial	266
Figura 225. Mapa de distribució per densitats de denes de <i>Dentalium</i> al neolític antic cardial i postcardial.....	267
Figura 226. Mapa de distribució per densitats de penjolls valves perforades al neolític antic cardial i postcardial.....	269
Figura 227. Mapa de distribució per densitats de penjolls gasteròpodes marins al neolític anticardial, epicardial i postcardial.....	271
Figura 228. Mapa de distribució per densitats de denes-penjoll en malacofauna marina al neolític antic cardial epicardial i postcardial.....	274
Figura 229. Mapa de distribució per densitats de les denes de minerals (calcita, calcària, talcs) al Neolític antic cardial, epicardial i postcardial.....	276
Figura 230. Mapa de distribució per densitats dels ornaments de variscita al neolític antic epicardial i postcardial.....	277
Figura 231. Mapa de distribució per densitats dels braçalets de pedra neolític antic cardial epicardial i postcardial.....	279
Figura 232. Mapa de distribució per densitats dels anells d'os i banya al neolític antic cardial i postcardial.....	281
Figura 233. Mapa de distribució per densitats de les anelles-disc en petxina, os i pedra al neolític cardial.....	282
Figura 234. Mapa de distribució per densitats dels braçalets de petxina neolític antic epicardial i postcardial.....	284
Figura 235. Mapa de distribució per densitats de les denes de corall al neolític antic.....	285
Figura 236. Mapa de distribució per densitats de jaciments amb esbossos, pre-formes i peces no acabades ornamentals al neolític antic cardial,epicardial i postcardial.....	287
Figura 237. Mapa amb la ubicació total dels ornaments al neolític antic cardial, epicardial i postcardial.....	296

7. ORNAMENTS DEL NEOLÍTIC MITJÀ

Figura 238. Conjunt de valves perforades de la sitja BM-36.....	300
Figura 239. Detall dels tipus d'orifici: per poliment i rotació directa amb estri (BM-36-2249a) i per abrasió (BM36-2784b, 2249b i 2784a).....	301
Figura 240. Detall de les dues valves de la sitja MS7, una amb perforació directa rotativa (BM-MS7-1-226 12253) i una altra amb abrasió de l'umbo (BM-MS7-12251).....	301
Figura 241. Selecció d'algunes valves perforades localitzades a inhumacions individuals. Detall de perforacions per percussió, per abrasió i detall de poliment de la vora paleal.....	302
Figura 242. Conjunt de MS17 i detall de la perforació en l'umbo de la valva 12540.....	303

Figura 243. Detall de les valves perforades, perforacions i traces d'ús al voltant de l'orifici de suspensió i a la vora paleal per fregament reiterat.....	304
Figura 244. Tipus de perforació en valves de l'estructura BM78.....	306
Figura 245. Exemplar de <i>Phalium saburon</i> de l'estructura MS28. Detall de les dues perforacions de suspensió realitzades per rotació concèntrica.....	307
Figura 246. Detall de denes engarsades, detall del poliment abrasiu dels extrems i de les superfícies, detall de dues denes enganxades, una amb perforació de litòfag.....	308
Figura 247. Detall de l'orifici de suspensió per plànol anterior i posterior del penjoll, zona basal i detall de traces de fregament al contorn.....	309
Figura 248. Denes de corall BM-M15M45 i BM-M15-53. Detalls contorns i orificis inserció.....	310
Figura 249. Denes de corall engarsades corresponents a l'estructura MS-61.....	311
Figura 250. Denes de serpentina, amb detall de perforacions i gruixos amb poliments.....	312
Figura 251. Detall del conjunt de denes engarsades per a exposició en vitrina a MHS.....	313
Figura 252. Algunes denes del conjunt G9 i detall de les superfícies i traces de la perforació (marques del trepant giratori, a sota a l'esquerra) i de poliment abrasiu intens (a sota a la dreta).....	314
Figura 253. Difractograma RDX de la dena BM-G9-79 amb el marcador de la moscovita com a element principal i pics de presència de quars.....	315
Figura 254. Difractograma RDX de la dena BM-G9-4 amb el marcador de la moscovita com a element principal i pics de presència de quars i clinoclor.....	316
Figura 255. Algunes variants dels tipus de perforacions de les denes estudiades.....	317
Figura 256. Traces d'abrasió i poliment de la superfície observades en el conjunt de denes.....	318
Figura 257. Detall de traces de poliment abrasiu dels contorns de les denes.....	318
Figura 258. Algunes agrupacions de denes corresponents a l'estructura MS61.....	320
Figura 259. Dena tipus barrilet i traces de producció en superfície i extrems amb plànols de perforació.....	322
Figura 260. Denes globular i tubular de BM H10 i traces dels plànols de perforació.....	322
Figura 261. Conjunt de les tres denes circulars i detall de traces en els plànols de perforació.....	324
Figura 262. Detall de les denes circulars i de les traces de poliment en superfícies i contorns.....	325
Figura 263. Traces de perforació, poliment i reutilització de les denes de BM-M9.....	327
Figura 264. Peces tipus plaquetes rectangulars i traces de poliment de les superfícies.....	328
Figura 265. Tipus de denes del conjunt BM-M15.....	329
Figura 266. Traces de poliment i perforacions de denes del conjunt M15.....	330
Figura 267. Denes BM-M11-38, amb errors de perforació, i dena BM-M5-208 amb irregularitats..	331
Figura 268. Conjunt de denes de variscita de CRII-329.....	332
Figura 269. Detall de les traces de poliment abrasiu unidireccionals paral·leles i obliqües en les	

superfícies i contorns de les denes CRII329-80 i CRII329-81.....	333
Figura 270. Difractograma de la dena CRII-329-75, amb un únic component, la variscita.....	334
Figura 271. Collar de la cista 2 de Feixa del Moro, i detall de denes circulars i denes barrilet. (Fotos. M. Oliva i J.F. Gibaja).....	337
Figura 272. Detall de traces de fregament per ús i de poliment tecnològic. (Foto: J.F.Gibaja).....	337
Figura 273. Valva perforada MB-319, amb les àrees de tecnològiques i funcionals.....	341
Figura 274. Conjunt de valves de MB-88 (al centre) i detall d'algunes de les perforacions fetes per abrasió, amb els plànols de perforació i traces resultants.....	342
Figura 275. Diferents tipus de traces detectades en exemplars perforats.....	343
Figura 276. Detall del collar i les peces de variscita i serpentina/anfibolita que el componen.....	344
Figura 277. Conjunt de les denes de variscita del collar i detall d'algunes d'elles i les perforacions excèntriques.....	345
Figura 278. Detall dels dos plànols i secció de la dena MB-313-6.....	345
Figura 279. Detall del plànol anterior i secció de tendència bicònica de la dena MB-313-4.....	345
Figura 280. Conjunt de denes de serpentina del collar. Detall de les perforacions i plànols d'abrasió de les superfícies i seccions.....	346
Figura 281. Detall de traces abrasives en les superfícies dels plànols de les denes.....	347
Figura 282. Penjoll PRM-86-614, detall de traces de poliment, marques de trepant en la doble perforació i fregament per ús.....	349
Figura 283. Dena barrilet d'antigorita i detall de traces de poliment.....	350
Figura 284. Exemplar d'A. <i>Tuberculata</i> perforat SMB67-5-58a i detall del punt de l'orifici amb traces al voltant de la perforació 30X.....	352
Figura 285. Exemplar d'A. <i>Tuberculata</i> SMB67-5-58d i traces de fregament al llarg de les costelles, a la zona de l'umbo.....	352
Figura 286. <i>Dentalium</i> recuperades a SMB-134 i detall a 40X de l'extrem polit.....	353
Figura 287. Detall de l'atac de litòfag sobre el cos de l'exemplar i pàtina lluent per fregament.....	353
Figura 288. Detall de la disposició dels ornaments en l'individu. Fotografia cedida per la direcció de La Gardunya (Albert Velasco).....	354
Figura 289. Denes amb diferents graus de conservació.....	356
Figura 290. Detall de les perforacions de les denes 23, 56, 59 i 70 realitzades a 40x.....	356
Figura 291. Traces tecnològiques i funcionals de la dena 23, realitzades a 40x i a 60x.....	357
Figura 292. Fotografies d'algunes de les denes del pla d'abrasió i perforació.....	359
Figura 293. Detall de traces de poliment abrasiu paral·leles longitudinals i transversals en totes direccions de la superfície de les denes 16, 64 (a dalt i a baix dreta) i traces de poliment contra	

superfície de gra gruixut en plànol previ orifici de la dena dena 57 (a baix, esquerre). Realitzades a 40, 60x i 80x. A nivell de traceologia de la funcionalitat/ús, en tots els casos hem determinat traces de fregament reiterat entorn els orificis d'engarsament i en els contorns de les peces.	360
Figura 294. Denes tipus barrilet. Denes (a dalt) 50, 69 i (a baix) 65 i 54.....	362
Figura 295. Detall dels plànols d'abradió on se situen els orificis d'engarsament de les denes 73 i 69 (a dalt) i de les denes 65 i 54 (a baix). Realitzades a 40x, 60x i 80x.....	363
Figura 296. Detall de dues denes que presenten traces de poliment abrasiu de fabricació a sobre de les concrecions geològiques naturals de la veta de variscita. Realitzades a 40x.....	363
Figura 297. Conjunt de denes de secció perllongada de la polsera de variscita de La Gardunya.....	364
Figura 298. Collar totalment engarsat amb denes, detall d'una sèrie i detall d'una de les denes..	365
Figura 299. Detall de l'orifici per perforació rotativa concèntrica de la dena 25(40X), detall de les irregularitats de la dena 27 fracturada (20X), traces deixades per abrasió a la dena 25 (40X) i traces d'abradió sobre la superfície d'una dena que estava en contacte amb l'ullal(40X).....	366
Figura 300. Penjoll biperforat de La Gardunya fet amb defensa de <i>Sus scrofa</i>	367
Figura 301. 1. Un dels orificis de suspensió fet per perforació unipolar (40X): 2. Detall de la zona basal acabada en punta roma i les traces tecnològiques i funcionals registrades (60X). 3. Detall de la pàtina d'ús al voltant del segon orifici (60X); 4. Detall de la pàtina de fregament reiterat en la zona entre els dos orificis (80x).....	368
Figura 302. Mapa distribució per densitats penjolls de valves perforades al neolític mitjà.....	373
Figura 303. Mapa distribució per densitats de penjolls de cargols marins al neolític mitjà.....	374
Figura 304. Mapa de distribució per densitat dels penjolls ullals de suid al neolític mitjà.....	376
Figura 305. Plaqueta rectangular de cal·laïta amb dos orificis als extrems de Masia Nova.....	378
Figura 306. Mapas de distribució per densitats de les denes de variscita al neolític mitjà (Molist i Oliva, en premsa).....	379
Figura 307. Distribució de denes i penjolls de pedra i minerals al neolític mitjà.....	381
Figura 308. Distribució per densitats dels braçalets de malacofauna marina al neolític mitjà.....	383
Figura 309. Distribució per densitats dels ornaments al neolític mitjà: a la dreta els jaciments amb presència de variscita.....	384
Figura 310. A l'esquerra, la resta distribució de la resta de categories d'ornament.....	384

8. TECNOLOGIA I PROCESSOS DETERMINATS A LA MOSTRA

- Figura 311. Exemplars de *Cassis Phalium saburon* al neolític mitjà i detall d'on se situen les perforacions (orificis de suspensió).....394
- Figura 312. Proposta experimental segons Ricou i Esnard (2000).....397
- Figura 313. Proposta d'utilització de les broques o trepants de sílex per taladre de disc i d'arc (Bosch i Estrada, 2002).....400
- Figura 314. Reconstrucció de la cadena operativa proposada per Micheli (2010) per a braçalet de *Spondylus* a Cala Tramontana (Illa San Domino, Itàlia).....409

9. LA FUNCIO I ÚS DELS ORNAMENTS

- Figura 315. Esquema d'anàlisi proposat segons M Sohn (2008).....424
- Figura 316. Dispersió de les valves perforades de CRII651al voltant de l'individu i detall de la fotografia del conjunt (Fotografies camp: A. Palomo i A. Rodriguez/Arqueolític; Fotografia valves: M. Oliva).....425
- Figura 317. Recreació de la inhumació CRII-651, amb la disposició segons planímetres de les valves perforades (Dibuix: N. Terrats).....426
- Figura 318. Detall de la recreació amb les valves perforades suspeses a mode de fixació per corda o fil ornamentant un cobriment del cos. (Dibuix: N. Terrats).....426
- Figura 319. Recreació de l'enterrament de Sungir amb la disposició dels ornaments al cap, als braços i cosits a les vestimentes.....427
- Figura 320. Planimetria de l'estructura CRCRV255, detall en cercles verds de les valves perforades localitzades *in situ* associats al individu. Fotos camp: N. Terrats i M. Oliva /Arqueolític. Planimetria: X.Carlús i N. Terrats/Arqueolític.....428
- Figura 321. Ubicació dels ornaments en els individus de CRCRV255.....429
- Figura 322. Planimetria de E93 d'El Boredellet, amb detall dels individus inhumats i la ubicació del dipòsit ornamental, amb foto de detall. (Planimetria cedida per F. Florensa, empresa Atics).....430
- Figures 323. Detall de com es fa servir el corns de cargols marins (www.embavenezhanoi.org)....431
- Figura 324. Aeròfon amb orificis per penjar, del Museo Angel Orensanz y Tradiciones populares del Serrablo (Vergara, 2003).....431
- Figura 325. Detall del cargol-reclam sencer en associació als individus 2 i 3 de la inhumació MB-355, valves perforades i cargol modificat (Fotografies de camp cedides per A. Vidal).....431
- Figura 326. Recreació de les disposicions del cargols marins com a ornaments i instruments sonors (www.soundcenter.it)432
- Figura 327. Tomba de Segudet, planimetria i selecció de la zona on va aparèixer l'ornamentació. Patrimoni cultural d'Andorra.....433

Figura 328. Disposició dels ornaments en l'individu de Tomba del Segudet.....	433
Figura 329. Planimetria i detall de la disposició dels ornaments en l'individu in situ a camp. (Material gràfic de camp cedit per SAPPO-UAB).....	435
Figura 330. Fotografia i detall de la disposició dels ornaments en l'individu a camp. (Material gràfic de camp cedit per SAPPO-UAB).....	436
Figura 331. Planimetria i detall de la disposició dels ornaments en l'individu in situ a camp. (Material gràfic de camp cedit per SAPPO-UAB).....	437
Figura 332. Fotografies i detall de la disposició dels ornaments en l'individu in situ a camp. (Material gràfic de camp cedit per SAPPO-UAB).....	438
Figura 333. Disposicions dels ornaments a la mostra del neolític antic.....	441
Figura 334. Planimetria i disposició de les denes de variscita a CRII329 i en l'individu (Planimetria: Palomo i Rodriguez-Arqueolític; digitalització planimetria: X. Carlús).....	446
Figura 335. Individu de l'estructura CRII329, amb la peça de sílex (en blau) i 8 de les denes de variscita associades (Fotos: A. Palomo i A. Rodriguez).....	447
Figura 336. Detall de la cambra amb la bòveda i amb l'inhumat i l'aixovar <i>in situ</i> . (MUHBA). Detall de la polsera-braçalet al voltant del cúbit i radi de l'individu (esquerra). Fotos de camp cedides per la direcció de l'excavació.....	448
Figura 337. Detall de la disposició de la polsera (en color blau) i posició de la resta d'ornaments. Planimetria facilitada per la direcció de l'excavació (Albert Velasco).....	448
Figura 338. Detall inhumació doble i representativitat dels ornaments associats a l'individu 1.....	449
Figura 339. Fotografia de l'estructura MB-313, amb clausura del nínxol. (Foto: M. Oliva).....	450
Figura 340. Fotografia dels conjunt localitzat a l'estructura MB-313.....	450
Figura 341. Detall de la inhumació doble i representativitat dels ornaments associats al'individu A. (Planimetries i fotografia de camp extretes de la memòria arqueològica).....	451
Figura 342. Detall de la inhumació i representativitat dels ornaments associats a l'individu. (Planimetries i fotografia de camp extretes de la memòria arqueològica).....	451
Figura 343. Planimetria del jaciment de feixa del Moro, amb les cistes d'inhumació assenyalades..	452
Figura 344. Cista 3 de Feixa del Moro, materials d'ornament i disposició respecte a l'individu. Fotografies: Patrimoni Cultural d'Andorra.....	453
Figura 345. Estructura d'inhumació BM-MS28 i representativitat d'ornamentació.....	454
Figura 346. Disposició de l'ornament en l'individu de BM-MS79.....	455
Figura 347. Planimetria de la inhumació BM-MS78 i representativitat d'ornamentació. (Planimetria extreta de Pou i Martí (1995).....	456
Figura 348. Planimetria de la inhumació i representativitat de l'ornamentació. (Planimetria cedida	

per CEPAP-UAB).....	457
Figura 349. Planimetria de la inhumació BM-M7 i ornamentació representada. (Planimetria extreta de Pou i Martí, 1995).....	458
Figura 350. Planimetria de la inhumació BM-M9, fotografia de detall i ornamentació representada. (Planimetria extreta de Pou i Martí (1995).....	459
Figura 351. Planimetria de la inhumació BM-M11, fotografia de detall de camp i ornamentació representada. (Planimetria extreta de Pou i Martí, 1995).....	460
Figura 352. Planimetria de la inhumació BM-M15, fotografia de detall de camp i ornamentació representada. (Planimetria extreta de Pou i Martí, 1995).....	461
Figura 353. Inhumació G9 amb dispersió dels ornaments. Planimetria i fotografia de camp: CEPAP-UAB.....	462
Figura 354. Inhumació G10 amb dispersió dels ornaments. Planimetria i fotografia de camp: CEPAP-UAB.....	463
Figura 355. Inhumació G12 amb dispersió dels ornaments. Planimetria i fotografia de camp: CEPAP-UAB.....	464
Figura 356. Inhumació H10 amb dispersió dels ornaments. Planimetria i fotografia de camp: CEPAP-UAB.....	465
Figura 357. Disposicions dels ornaments del neolític mitjà de la mostra.....	469

10. CONCLUSIONS

Figura 358. Mapa de presència, difusió i influències dels braçalets de malacofauna marina (<i>Glycymeris glycymeris</i>) al neolític antic cardial, epicardial i postcardial.....	493
Figura 359. Mapa de presència dels braçalets de malacofauna marina (<i>Glycymeris glycymeris</i>) al neolític mitjà.....	494
Figura 360. Presència de braçalets de pedra durant el VIé mil·lenni, neolític cardial francès, i la proximitat a la zona geogràfica del nord-est peninsular (Extret de Jeunesse, 1995, basat en Courtin i Guthertz, 1976).....	495
Figura 361. Mapa de presència dels braçalets de pedra (marbre, calça) al neolític antic.....	497
Figura 362. Mapa de presència de anelles-disc (malacofauna marina, os i pedra) al neolític antic...498	498
Figura 363. Ornaments en corall al neolític antic cardial i neolític mitjà a Europa (segons Borrello et al. 2012). No queden representats els jaciments de Cova Bonica, Cova de les Ànimes, El Bordellet ni Bòbila Madurell.....	500
Figura 364. Plànol proposat per Fíguls et al. (2013) sobre les xarxes d'intercanvis i distribució de bens al neolític mitjà en relació a la circulació de la sal i la variscita.....	503
Figura 365. Plànol de distribució d'ornaments en variscita i principals fonts i mines determinades (extret de Querré et al. 2014).....	504
Figura 366. (esquerra) Conjunt museístic amb ornaments procedents del jaciment de L'Esquerda Roques Pany (Torrelles de Foix) (Foto: Vinseum).....	509

Figura 367. (dreta) Conjunt museístic amb ornaments procedents de Cova de la Carretera (Cubelles).....	509
Figura 368. Conjunt de Barranc de Fabra II, on aparentment el conjunt és homogeni, però combina denes de <i>cardium sp</i> , <i>Glycymeris sp</i> i calcària.....	510
Figura 369. Detall de la dena de corall enmig de la resta de denes del conjunt de Cal Rajolí.....	511

ANNEX1. PROGRAMA EXPERIMENTAL

Figura 370. (a dalt, esquerra): <i>Acanthocardia tuberculata</i> amb perforació sobre cos. Plànol de perforació previ abrasió contra microconglomerat 10x. Perforació resultant per perforació directa. (a dalt, dreta): <i>Cerastoderma glaucum</i> . Perforació sobre cos de la valva. Abrasió del plànol poliment sobre calcària 10x. Perforació resultant per abrasió directa. (a baix).....	549
Figura 371. Detall de procés d'erosió de la superfície de la valva per afavorir la fractura central controlada. Fracturació i intent de donar forma arciforme per percussió de la vora paleal. Poliment per abrasió dels contorns i superfície de la vora paleal i preparació per perforar els extrems.....	550
Figura 372. Meitats de braçalets articulats del jaciment de Barranc de Fabra.....	551
Figura 373. (a dalt) <i>Columbella</i> experimental contra molí calcària a 10X i a 15X; (a baix) <i>Columbella</i> experimental contra molí microconglomerat a 20X i a 30X.....	552
Figura 374. Detall procés comparatiu de traces amb un exemplar.....	553
Figura 375. Fragment experimental a mig polir per donar forma de dena-penjoll i detall de les traces deixades en superfície i contorns així com els diferents plànols facetats.....	554
Figura 376. Contorns polits en denes-penjoll d'exemplars de La Draga D13-6254) i un d'experimental.....	555
Figura 377. Plànols d'abrasió en denes-penjoll d'exemplars de La Draga D13-6936) i un d'experimental.....	555
Figura 378. Detall dels pinyols, exposició al foc de la mostra ² , perforació per abrasió dels pinyols no termoalterats i comparació dels pinyols exposats a foc i dels arqueològics.....	556
Figura 379. A l'esquerra, grana experimental, traces en plànol abrasiu i perforació; a la dreta, traces en granes de La Draga (D05-19 i D05-20).....	557
Figura 380. Peces polimentades per abrasió i perforació central rotativa concèntrica.....	558
Figura 381. Superfícies i perforació en dena d'atzabeja (a dalt); traces de la perforació rotativa concèntrica en una de les peces trencades de lignit.....	559
Figura 382. Dena experimental de talc, perforació rotativa concèntrica amb traces del trepant i les deixades en forma paral·lela pel poliment contra superfície de microconglomerat.....	560
Figura 383. Denes arqueològiques de La Gardunya i Bòbila Madurell BM-2-81, amb traces paral·leles per abrasió i orifici amb traces del trepant en la vora del contorn de l'orifici.....	561
Figura 384. (a dalt), Valva de <i>Glycymeris sp</i> , amb perforació al cos de litòfag i perforació per abrasió de l'umbo; (a baix esquerra), valva perforada de Cova del Frare CF-X21-2-115; (a baix dreta, valva perforada de Can Filuà CF1-1-88.....	562
Figura 385. Exemplar experimental amb fractura en l'extrem envoltat de <i>dentalium</i> de La Draga (D11-VII-1830), Bòbila Madurell (BM-SH3-18, BM-SH3-34) i Roc del Migdia (RM91-K17-260)...	563

Figura 386. Dentalium experimental amb extrem abrasionat i al seu voltant exemplars de: a dalt, Can Filuà CF-X22-1-2, a la dreta en columna, exemplars de Bòbila Madurell BM-SH3-20 i BM-SH3-38.	564
Figura 387. Valva experimental de <i>Glycymeris glycymeris</i> amb perforació realitzada per abrasió i rotació manual directa amb perforador.....	565
Figura 388. Exemplars dels jaciments de Bòbila Madurell (BM-MS7-1-226 12253) i Mas d'en Boixos (MB-326-1).....	566
Figura 389. Penjoll experimental de <i>Glycymeris violascens</i> , detall de la perforació bipolar.....	568
Figura 390. Denes-penjoll de La Draga amb traces de poliment (D11-JJ81-8-1832 D12-JE81-7-4312, D11-JE81-7-2485) i orifici del penjoll d'El Bordellet (E93a, a dalt a la dreta).....	568
Figura 391. <i>Glycymeris violascens</i> polida i en procés de regularització, amb perforació central per engrandir i inicis dels ranurats a la vora paleal.....	570
Figura 392. Dena en procés de poliment final de les superfícies i perforació central per rotació concèntrica.....	571
Figura 393. Denes amb les traces de poliment i concèntriques de la perforació de Bordellet E93 c, La Draga (D10-III-128) i Cova de les Ànimes (CA-2671-1 i CA-2671-5).....	572

LLISTAT DE TAULES

Taula 1. Taula-resum dels ornaments estudiats del nivell de transició al neolític antic de Roc del Migdia.....	90
Taula 2. Taula-resum dels ornaments estudiats del neolític antic cardial de La Draga.....	98
Taula 3. Taula-resum ornaments estudiats del neolític antic cardial de Can Roqueta II.....	168
Taula 4. Taula-resum dels ornaments del nivell del neolític antic de Can Filuà.....	170
Taula 5. Taula-resum dels ornaments del nivell del neolític antic cardial de Cova del Frare.....	175
Taula 6. Taula-resum dels ornaments del nivell neolític antic cardial de Mas d'en Boixos.....	179
Taula 7. Taula-resum dels ornaments del nivell del neolític antic epicardial de Cova de les Ànimes.....	182
Taula 8. Taula-resum dels ornaments del nivell neolític antic epicardial de Cova del Frare.....	200
Taula 9. Taula-resum dels ornaments del neolític antic epicardial de Pujolet de Moja.....	203
Taula 10. Taula-resum dels ornaments del nivell del neolític antic epicardial de Serra del Mas Bonet.....	205
Taula 11. Taula-resum dels ornaments del nivell del neolític antic postcardial de Can Roqueta II.....	212
Taula 12. Taula-resum dels ornaments del nivell del neolític antic postcardial de Can Roqueta/Can Revella.....	214
Taula 13. Taula-resum dels ornaments del nivell del neolític antic postcardial de Mas d'en Boixos.....	217
Taula 14. Taula-resum dels ornaments del nivell neolític antic postcardial de Cova del Frare.....	223
Taula 15. Taula-resum dels ornaments del nivell del neolític antic postcardial de Sant Pau del Camp.....	226
Taula 16. Taula-resum dels ornaments del nivell neolític antic postcardial d'El Bordellet.....	247
Taula 17. Taula-resum dels ornaments del nivell del neolític antic postcardial de Tomba del Segudet.....	251
Taula 18. Els diversos morfo-tipus segons el nombre d'ornaments, cronologia i jaciment al neolític antic cardial.....	259
Taula 19. Els diversos morfo-tipus segons el nombre d'ornaments, cronologia i jaciment al neolític antic Epicardial.....	260
Taula 20. Els diversos morfo-tipus segons el nombre d'ornaments, cronologia i jaciment al neolític antic Postcardial.....	261
Taula 21. Total de les matèries primeres dels ornaments segons cronologia jaciment.....	263
Taula 22. Morfo-tipus d'ornaments a jaciments Epipaleolítics i mesolítics.....	289
Taula 23. Morfo-tipus d'ornaments a jaciments del neolític antic cardial.....	291
Taula 24. Morfo-tipus d'ornaments a jaciments del neolític antic epicardial.....	292
Taula 25. Morfo-tipus d'ornaments a jaciments del neolític antic postcardial.....	293
Taula 26. Total d'ornaments, morfo-tipus i context arqueològic dels materials de la mostra de Bòbila Madurell.....	298
Taula 27. Total d'ornaments, morfo-tipus i context arqueològic dels materials de la mostra de Can Roqueta II.....	332
Taula 28. Total de denes de la mostra estudiada per morfo-tipus i context arqueològic de Feixa del Moro.....	335
Taula 29. Total d'ornaments estudiats a la mostra segons context arqueològic a Mas d'en Boixos.....	340

Taula 30. Total d'ornaments de la mostra estudiada segons context arqueològic de Pla del riu de les Marçetes.....	348
Taula 31. Total d'ornaments per context arqueològic de Serra del Mas Bonet.....	351
Taula 32. Total d'ornaments de la sepultura i morfo-tipus de La Gardunya.....	354
Taula 33. Morfo-tipus segons el nombre d'ornaments, cronologia i jaciment de la mostra del neolític mitjà.....	370
Taula 34. Total de les matèries primeres dels ornaments segons cronologia i jaciment del neolític mitjà.....	371
Taula 35. Morfo-tipus d'ornaments al neolític mitjà de Catalunya.....	386
Taula 36. Taula-resum de la mostra del neolític antic amb les tècniques emprades en els penjolls de valves perforades, segons espècies malacològiques.....	391
Taula 37. Taula-resum de la mostra del neolític mitjà amb les tècniques emprades en els penjolls de valves perforades, segons espècies malacològiques.....	391
Taula 38. Taula-resum de la mostra del neolític antic amb les tècniques emprades en els penjolls de gasteròpodes perforats, segons espècies malacològiques.....	393
Taula 39. Taula de les tècniques de producció de les denes de <i>dentalium</i> a la mostra del neolític antic.....	395
Taula 40. Taula de les tècniques de producció de les denes de <i>dentalium</i> a la mostra del neolític mitjà.....	395
Taula 41. Taula de les tècniques de producció de les denes circulars de petxina a la mostra del neolític antic.....	396
Taula 42. Taula de la tècnica de producció de les denes circulars de mineral/pedra a la mostra del neolític antic.....	398
Taula 43. Taula de la tècnica de producció de les denes circulars de mineral/pedra a la mostra del neolític mitjà.....	399
Taula 44. Taula de les tècniques de producció de les denes tipus barrilet, bicòniques i globulars de la mostra del neolític mitjà.....	400
Taula 45. Taula amb la tècnica de producció de les denes allargades semi-rectangulars de la mostra del neolític mitjà.....	401
Taula 46. Taula de la tecnologia de producció de les plaquetes rectangulars de la mostra del neolític mitjà.....	401
Taula 47. Taula del procés de producció de les denes-penjoll de malacofauna marina a la mostra del neolític antic.....	402
Taula 48. Taula tècnica de producció de les denes tubulars de la mostra del neolític mitjà.....	403
Taula 49. Taula dels penjolls de malacofauna de la mostra del neolític antic i tècnica.....	404
Taula 50. Taula de les tècniques de producció dels penjolls de pedra de la mostra del neolític mitjà.....	404
Taula 51. Taula dels penjolls de malacofauna de la mostra del neolític antic (Sant Pau del camp i La Draga) i tècnica.....	404
Taula 52. Taula de les tècniques de producció dels penjolls de pedra de la mostra del neolític mitjà.....	404
Taula 53. Taula-resum de les tècniques de producció de les anelles-disc d'os de la mostra del neolític antic.....	405

Taula 54. Taula les tècniques de producció de les anelles-disc de malacofauna marina a la mostra del neolític antic.....	406
Taula 55. Taula de les tècniques de producció dels anells d'os i banya a la mostra del neolític antic.....	407
Taula 56. Taula de la tècnica de producció dels braçalets de malacofauna marina a la mostra del neolític antic.....	408
Taula 57. Taula de la tècnica de producció dels braçalets de malacofauna marina de la mostra del neolític mitjà.....	408
Taula 58. Taula de les tècniques de producció dels braçalets de pedra de la mostra del neolític antic.....	410
Taula 59. Taula de la tècnica de producció de les denes ovals de la mostra del neolític antic.....	411
Taula 60. Taula de les tècniques de producció dels penjolls amb ullals de suïd de la mostra del neolític antic.....	412
Taula 61. Taula de les tècniques de producció dels penjolls amb ullals de suïd de la mostra del neolític mitjà.....	412
Taula 62. Tècniques diverses de perforació documentades en penjoll de valva al neolític antic i neolític mitjà.....	414
Taula 63. Taula-resum de les tècniques de fabricació dels morfo-tipus d'ornament de la mostra, segons períodes del neolític antic.....	418
Taula 64. Taula-resum de les tècniques de fabricació dels morfo-tipus d'ornament de la mostra del neolític mitjà.....	420
Taula 65. Processos tecnològics per fases (fase 1 i fase 2) detectats en els ornaments del Neolític antic.....	421
Taula 66. Processos tecnològics per fases (fase 1 i fase 2) detectats en els ornaments del Neolític mitjà.....	421
Taula 67. Taula resum de les inhumacions de la mostra, per edats dels individus i si tenen o no adscripció a morfo-tipus d'ornament.....	439
Taula 68. Quadre de sinopsi dels ornaments i disposició en el registre funerari de la mostra del neolític antic.....	440
Taula 69. Dades dels individus i ornaments de sepulcres del grup d'Amposta.....	443
Taula 70. Taula resum de les inhumacions de la mostra, per edats dels individus i si tenen o no adscripció a morfo-tipus d'ornament.....	466
Taula 71. Quadre de sinopsi dels ornaments i disposició en el registre funerari de la mostra del neolític mitjà.....	468
Taula 72. Mofo-tipus i jaciments de la mostra al neolític antic cardial.....	488
Taula 73. Mofo-tipus i jaciments de la mostra al neolític antic epicardial.....	488
Taula 74. Mofo-tipus i jaciments de la mostra al neolític antic postcardial.....	489
Taula 75. Mofo-tipus i jaciments de la mostra al neolític mitjà.....	490
Taula 76. Quadre-resum de morfo-tipus, tècniques i traces resultants experimentals.....	573

Sigla	Jaciment	Matèria	Objecte	Espècie	Amp	Long	Gruix	Diam	Dim. Perf.	CRONOLOGIA
CF07-1-1-80	Can Filuà 2007	M.M.	Gasteròpode perforat amb espira	<i>Columbella rustica</i>	10	16.5			6.5x4	N.A.Cardial
CF07-1-2-93	Can Filuà 2007	M.M.	Valva perforada	<i>Glycymeris</i> sp			1,5	17	1	N.A.Cardial
CF07-1-1-88	Can Filuà 2007	M.M.	Valva perforada	<i>Glycymeris</i> sp	16	14	1,5	16	1	N.A.Cardial
CF07-1-1-87	Can Filuà 2007	M.M.	Valva perforada	<i>Glycymeris</i> sp	16	14	1,5	16	1	N.A.Cardial
CF07-1-1-81	Can Filuà 2007	M.M.	Valva perforada	<i>Glycymeris</i> sp	18	15	1,5	18	2.5X2	N.A.Cardial
CF07-1-1-79	Can Filuà 2007	M.M.	Valva	<i>Glycymeris</i> sp			4	33		N.A.Cardial
CF07-1-1-86	Can Filuà 2007	M.M.	Valva	<i>Glycymeris</i> sp						N.A.Cardial
CF07-1-1-85	Can Filuà 2007	M.M.	Valva	<i>Glycymeris</i> sp	21	17	2			N.A.Cardial
CF07-1-1-89	Can Filuà 2007	M.M.	Valva	<i>Glycymeris</i> sp						N.A.Cardial
CF07-1-1-83	Can Filuà 2007	M.M.	Dena	<i>Dentalium vulgare</i>		6		2		N.A.Cardial
CF07-1-1-84	Can Filuà 2007	M.M.	Valva	<i>Glycymeris</i> sp						N.A.Cardial
CF07-1-1-82	Can Filuà 2007	M.M.	Valva	<i>Glycymeris</i> sp			1,5	17		N.A.Cardial
D95 C21/106	La Draga	Os	Anell	A DET						N.A.Cardial
D95 B22/125 garbell	La Draga	M.M.	Dena	<i>Dentalium vulgare</i>			1	11		N.A.Cardial
D01 remenat 4	La Draga	M.M.	Gasteròpode perforat sense espira	<i>Columbella rustica</i>	9	15			3,5x2,5	N.A.Cardial
D04 sub EJ/73-1	La Draga	M.M.	Dena	<i>Dentalium vulgare</i>		12,5			3	N.A.Cardial
D03 JG/90 64	La Draga	M.M.	Valva perforada	<i>Glycymeris bimaculata</i>	42	39			3	N.A.Cardial
D04 R4 garbell	La Draga	M.M.	Gasteròpode perforat amb espira	<i>Columbella rustica</i>	9	15			4x3	N.A.Cardial
D04 R5 garbell	La Draga	M.M.	Gasteròpode perforat amb espira	<i>Columbella rustica</i>	9	13,9			3	N.A.Cardial
D04 R6 garbell	La Draga	M.M.	Gasteròpode perforat sense espira	<i>Columbella rustica</i>	10	14			4	N.A.Cardial
D02 R4	La Draga	M.M.	Valva perforada	<i>Cerastoderma glaucum</i>	20	17	2		8	N.A.Cardial
D02 R5	La Draga	M.M.	Gasteròpode perforat sense espira	<i>Nassarius mutabilis?</i>	20	18			8	N.A.Cardial
D97 JC/85 1	La Draga	Os	Anell	A DET						N.A.Cardial
D91H30SE1, J25SE26, J25SW36	La Draga	Os	Anell	A DET						N.A.Cardial
D03 R 1	La Draga	M.M.	Gasteròpode perforat amb espira	<i>Columbella rustica</i>	10	16			5x3	N.A.Cardial
D03 R 2	La Draga	M.M.	Gasteròpode perforat amb espira	<i>Columbella rustica</i>	10	15,5			4x5	N.A.Cardial
D03 R 3	La Draga	M.M.	Gasteròpode perforat amb espira	<i>Columbella rustica</i>	10	14,5			4,5x2,5	N.A.Cardial
D03 R 4	La Draga	M.M.	Gasteròpode perforat amb espira	<i>Columbella rustica</i>	10	15			5x2,5	N.A.Cardial
D03 R 5	La Draga	M.M.	Gasteròpode perforat sense espira	<i>Columbella rustica</i>	9	13			4	N.A.Cardial
D03 R 6	La Draga	M.M.	Gasteròpode perforat amb espira	<i>Columbella rustica</i>	9	14			5x4	N.A.Cardial
D03 R 7	La Draga	M.M.	Gasteròpode perforat sense espira	<i>Columbella rustica</i>	9	13			3x4	N.A.Cardial
D03 R 8	La Draga	M.M.	Gasteròpode perforat amb espira	<i>Columbella rustica</i>	9	14			2x3	N.A.Cardial
D03 R 9	La Draga	M.M.	Gasteròpode perforat amb espira	<i>Columbella rustica</i>	8	14			2x3	N.A.Cardial
D91 Est 52 29 (E3,42)	La Draga	Os	Anell	A DET						N.A.Cardial
D03 R 25	La Draga	Os	Anell decorat incisions	tibia Ovicaprí	13	19	2			N.A.Cardial
D92 Est 16 , 22	La Draga	M.M.	Dena-penjoll	<i>Glycymeris</i> sp						N.A.Cardial
D91 N30 SE 9	La Draga	Os/Banya	Fragment d'anell	A DET						N.A.Cardial
D92 OW16 45	La Draga	Os/Banya	Anell amb cobertura blanca trav.	A DET						N.A.Cardial
D92 OY16 19	La Draga	Os/Banya	Anell amb protuberància	A DET						N.A.Cardial
D03 JE88 9	La Draga	Os	Anell amb dues protuberàncies	tibia Ovicaprí	23	25	5	22	17	N.A.Cardial
D95 E21/32	La Draga	Os/Banya	Anell amb cobertura blanca trav.	A DET						N.A.Cardial
D04 JH 92 1	La Draga	Os	Anell	tibia Ovicaprí	20	20	3,5	27	21	N.A.Cardial
D98 JG85 35	La Draga	Os/Banya	Anell amb protuberància	A DET						N.A.Cardial
D92 A17/20 garbell	La Draga	Os/Banya	Anell amb cobertura blanca trav.	A DET						N.A.Cardial

Sigla	Jaciment	Matèria	Objecte	Espècie	Amp	Long	Gruix	Diam	Dim. Perf.	CRONOLOGIA
D03 JG87 3	La Draga	Banya	Anell	ungulat (cèrvid)	18/16		3	15/13		N.A.Cardial
D92 GY18 12	La Draga	Os/Banya	Anell	A DET						N.A.Cardial
D05 KE 86 15	La Draga	Os	Anell	tibia Ovicaprí	11	25/27	3	23	19	N.A.Cardial
D92 OW 16 7	La Draga	M.M.	Dena circular	ND						N.A.Cardial
D02 R2	La Draga	M.M.	Gasteròpode perforat amb espira	<i>Columbella rustica</i>	10	17			5	N.A.Cardial
D02 R3	La Draga	M.M.	Gasteròpode perforat amb espira	<i>Columbella rustica</i>	9	15			7x4	N.A.Cardial
D02 R1	La Draga	M.M.	Dena	<i>Dentalium vulgare</i>		24			5x3	N.A.Cardial
D03 JE89 15	La Draga	M.M.	Valva perforada	<i>Glycymeris insubrica?</i>	35	33	3		4x3	N.A.Cardial
D03 JF 89 95	La Draga	M.M.	Valva perforada	<i>Acanthocardia tuberculata</i>	22	23	3		5x4	N.A.Cardial
D05 Sub FB73 4	La Draga	M.M.	Dena-penjoll	<i>Glycymeris sp</i>	9	14	3,5		4x7/3	N.A.Cardial
D92 C19 4	La Draga	M.M.	Dena-penjoll	<i>Glycymeris sp</i>						N.A.Cardial
D03 JF 87 15	La Draga	M.M.	Valva perforada	<i>Acanthocardia tuberculata</i>	28	25			5,5	N.A.Cardial
D00 KA86 10	La Draga	M.M.	Dena circular	<i>ND (Cardium?)</i>			1	5,5	2	N.A.Cardial
D92-A18-2	La Draga	M.M.	Dena circular	<i>Cardium sp</i>			2	8	3	N.A.Cardial
D91-16-1	La Draga	M.M.	Dena circular	<i>cardium sp</i>			1,5	6	3	N.A.Cardial
D92-B-19	La Draga	M.M.	Dena-penjoll	<i>cardium sp</i>	8,5	15,5	3,25		2	N.A.Cardial
D92-OZ-16	La Draga	M.M.	Dena-penjoll	<i>Cardium sp</i>	9	14	3,5		4X2	N.A.Cardial
D92-A-16-3	La Draga	M.M.	Dena-penjoll	<i>Glycymeris sp/Spondylus?</i>	7	13,5	2,5		3	N.A.Cardial
D92-OX-19-7	La Draga	M.M.	Dena-penjoll	<i>Glycymeris sp/Spondylus?</i>	11	19	4		3,5	N.A.Cardial
D92-A18-10	La Draga	M.M.	Dena-penjoll	<i>Cardium sp</i>	22	22	4		5	N.A.Cardial
D92-K-16	La Draga	M.M.	Dena circular	<i>Cardium sp</i>			2	5,5	3	N.A.Cardial
D91-K-27-29	La Draga	M.M.	Dena circular	<i>Cardium sp</i>			1,5	5	2	N.A.Cardial
D91-G-17-127	La Draga	M.M.	Dena circular	<i>Cardium sp</i>			1	5	2	N.A.Cardial
D91-M-28	La Draga	M.M.	Dena circular	<i>cardium sp</i>			1,5	5	3	N.A.Cardial
D91-E88-2	La Draga	M.M.	Dena	<i>Dentalium vulgare</i>	13			3		N.A.Cardial
D91-S-28-14	La Draga	M.M.	Dena circular	<i>Cardium sp</i>				12	3	N.A.Cardial
D91-J-27-NW-1	La Draga	M.M.	Dena	<i>Antalis sp</i>	22			4		N.A.Cardial
D91-J-29-18	La Draga	M.M.	Dena circular	<i>Cardium sp</i>			2	7	2	N.A.Cardial
D91-I-29	La Draga	M.M.	Dena circular	<i>Cardium sp</i>			2	6	2,5	N.A.Cardial
D91-M-27	La Draga	M.M.	Dena circular	<i>Cardium sp</i>			1	5	2	N.A.Cardial
D95-OZ-21-9	La Draga	Os	Anella-disc	?			9	43	17	N.A.Cardial
D-F-18-29	La Draga	Os	Anell amb dues protuberàncies	?			4,5	32	19	N.A.Cardial
D-I-23 NE	La Draga	Banya	Anell amb protuberància	Banya			3		17	N.A.Cardial
D10-431-E240	La Draga	Os	Anella-disc	Cap de fèmur	35	22	11,7	35	18	N.A.Cardial
D10-1852-E241	La Draga	Os	Anella-disc	Cap de fèmur	11	11	11,8			N.A.Cardial
D10-3-449	La Draga	M.M.	Dena circular	<i>Cardium sp</i>			1,8	6	3	N.A.Cardial
D10-2-E240	La Draga	Os	Anella-disc	Cap de fèmur	15,2	11,7	8			N.A.Cardial
D10-VI-remenat	La Draga	M.M.	Dena	<i>Antalis sp</i>		25			6	N.A.Cardial
D10-3-128	La Draga	M.M.	Dena circular	<i>Glycymeris sp</i>			1,4	6	2,5	N.A.Cardial
D10-3-473	La Draga	M.M.	Valva perforada	<i>Cerastoderma glaucum</i>		31,4	3,9		3,2x3,5	N.A.Cardial
D10-8-917	La Draga	M.M.	Gasteròpode sense espira	<i>Conus mediterraneus</i>		11,6			4	N.A.Cardial
D10-8-915	La Draga	Pedra	Braçalet	Marbre		45,3	8,5			N.A.Cardial
D10-7-837	La Draga	M.M.	Anella-disc	<i>Spondylus gaederopus</i>			16,2	40,3	19,6x29,3	N.A.Cardial
D11-IJ40-5-1837	La Draga	M.M.	Valva perforada	<i>Cerastoderma glaucum</i>		28,2	3		6,8x5,2	N.A.Cardial
D11-JC78-4-1818	La Draga	M.M.	Valva perforada	<i>Glycymeris sp</i>		27,8	1,7		4,8	N.A.Cardial
D11-JJ81-8-1831-A	La Draga	M.M.	Dena	<i>Dentalium vulgare</i>		8,4			2,5x1,8	N.A.Cardial

Sigla	Jaciment	Matèria	Objecte	Espècie	Amp	Long	Gruix	Diam	Dim. Perf.	CRONOLOGIA
D11-JJ78-6-1829	La Draga	M.M.	Dena	Dentalium (Antalis?)		12			3,7X2,9	N.A.Cardial
D11-KA78-7-1827	La Draga	M.M.	Dena	Dentalium (Antalis?)		7,5			2,6X1,8	N.A.Cardial
D11-KA79-7-1830	La Draga	M.M.	Dena	Dentalium (Antalis?)		14,3			2,2X3,2	N.A.Cardial
D11-JJ81-8-1831-B	La Draga	M.M.	Dena	Dentalium vulgare		7			3X2,6	N.A.Cardial
D11-JC81-5-1833	La Draga	M.M.	Dena circular	Glycymeris sp			1,4	5,9	3	N.A.Cardial
D11-JH80-3-1824	La Draga	M.M.	Dena circular	Spondylus gaederopus			1,4	5,5	2	N.A.Cardial
D11-KC81-2-1826	La Draga	M.M.	Dena circular	Spondylus gaederopus			0,9	4,6	2	N.A.Cardial
D11-KD81-2-1825-B	La Draga	M.M.	Dena circular	Cardium sp			0,8	4,5	2	N.A.Cardial
D11-MS17-E241-1823	La Draga	M.M.	Dena circular	Cardium sp			2,2	6	3X3,5	N.A.Cardial
D11-E241-1-1820	La Draga	M.M.	Dena circular	Cardium sp						N.A.Cardial
D11-KA78-7-1828	La Draga	M.M.	Dena circular	Cardium sp			1,5	5	2	N.A.Cardial
D11-KA79-2-1822	La Draga	M.M.	Dena circular	Cardium sp			1,5	4,6	2	N.A.Cardial
D11-KD81-2-1825-A	La Draga	M.M.	Dena circular	Cardium sp			1,5	4,4	2,6	N.A.Cardial
D11-JF81-2-1819	La Draga	M.M.	Dena circular	Glycymeris sp?			1,6	5,6	2,5	N.A.Cardial
D11-JC81-5-1835	La Draga	M.M.	Dena-penjoll	Spondylus gaederopus	13,5	7,2	2,8	0	3	N.A.Cardial
D11-KB81-6-1821	La Draga	M.M.	Dena-penjoll	Spondylus gaederopus	15,4	7,7	3,4		3	N.A.Cardial
D11-JJ81-8-1832	La Draga	M.M.	Dena-penjoll	Glycymeris sp	19,5	11,1	3,6		3	N.A.Cardial
D11-JE81-7-2485 2544	La Draga	M.M.	Dena-penjoll	Glycymeris sp	15,2	8,5	3,6		3	N.A.Cardial
D11-JD78-5-1834	La Draga	M.M.	Dena-penjoll	Glycymeris sp	12,9	7,4	2,5		3	N.A.Cardial
D11-JI78-3-1836	La Draga	M.M.	Dena-penjoll	Cardium sp	11,8	8,2	2,3		5	N.A.Cardial
D11-KB80-6-1854	La Draga	Banya	Fragments anell d'os	ungulat (cèrvid)						N.A.Cardial
D11-KD81-3-1856	La Draga	Os	Fragment d'anella	?	21	12,2	8,5			N.A.Cardial
D11-JD81-6a-2417	La Draga	Os	Fragment d'anell o anella	?	12	11,2	7			N.A.Cardial
D11-JA81 JB81-6-432-2434	La Draga	Banya	Anell	ungulat (cèrvid)	16,7	14	6,8		13	N.A.Cardial
D11-KB81-6-1855	La Draga	Banya	Fragment d'anell	ungulat (cèrvid)	15	5	3,4			N.A.Cardial
D11-JB81-6-2431	La Draga	Banya	Fragment d'anell	ungulat (cèrvid)	13,6	7,7	2,8			N.A.Cardial
D11-KA78-6-1850	La Draga	Os	Fragment d'anell	?	12,8	8,2	1,6			N.A.Cardial
D11-JH78-2-GAR	La Draga	Os	Fragment de penjoll?	?	22,6	6,5	4,2		2	N.A.Cardial
D12-JE78-7-3019	La Draga	M.M.	Fragment retallat	Glycymeris sp?	15,3	14,4	1,9			N.A.Cardial
D12-JE81-7-4312	La Draga	M.M.	Dena-penjoll	Glycymeris sp	15	8,3	2,8		2,3	N.A.Cardial
D12-JE79-7-4313	La Draga	M.M.	Dena circular	Cardium sp			1,5	5	2	N.A.Cardial
D12-JE91-7-4307	La Draga	M.M.	Dena circular	Cardium sp			1,7	5,4	3	N.A.Cardial
D12-KB79-?-4311	La Draga	M.M.	Fragment de dena	Glycymeris sp			1,7	10	2	N.A.Cardial
D12-JB80-6a-4066	La Draga	M.M.	Fragment de valva	Glycymeris sp						N.A.Cardial
D12-JA80-6a-3459	La Draga	Pedra	Fragment de penjoll? Braçalet?	Calcària	25,5	11	6,3		3,5	N.A.Cardial
D12-JH80-7-4308	La Draga	M.M.	Gasteròpode sense espira	Conus mediterraneus	8,8	9				N.A.Cardial
D12-IJ81-6a-4305	La Draga	Banya	Fragment d'anell	ungulat (cèrvid)	22,8	5,6	3,3			N.A.Cardial
D12-JE78-7-4436	La Draga	M.M.	Valva perforada	Acanthocardia tuberculata	26,4	24,6	6		3,7x3,5	N.A.Cardial
D12-IJ80-6a-4851	La Draga	Banya	Anell amb dues protuberàncies	?	5,9-6,5	6,4-6,4	3,6		11,6	N.A.Cardial
D12-JA78-4786	La Draga	M.M.	Valva perforada	Cerastoderma glaucum	28,2	26,7	4,3		2,7x2,9	N.A.Cardial
D12-JD80-7-4834	La Draga	M.M.	Gasteròpode perforat amb espira	Cerithium vulgatum	10,2	26,2		9,8	3,4x2,7	N.A.Cardial
D12-JH80-7-4316a	La Draga	Carpologia	Dena oval	Prunus avium	6,1	5,5	4		3,8x2,6-3,4x2,7	N.A.Cardial
D12-JH80-7-4316b	La Draga	Carpologia	Dena oval	Prunus avium	5,7	5,6	3,3		3,5x3,3-3,5x2,7	N.A.Cardial

Sigla	Jaciment	Matèria	Objecte	Espècie	Amp	Long	Gruix	Diam	Dim. Perf.	CRONOLOGIA
D12-JH81-7-4315	La Draga	Carpologia	Dena oval	Prunus avium	6,4	5,8	3,8		4,3x4	N.A.Cardial
D12-JF81-7-4314	La Draga	Carpologia	Dena oval	Prunus avium	6,4	5,6	4,3		3,6X3,2	N.A.Cardial
D12-JH80-7-4306	La Draga	Carpologia	Dena oval	Prunus avium	5,8	5,4	3,1		3,9X3,2-3,6	N.A.Cardial
D12-JH81-7-4309a	La Draga	Carpologia	Dena oval	Prunus avium	6	5,3	3,2		3,9-4,3x3,2	N.A.Cardial
D12-JH81-7-4309b	La Draga	Carpologia	Dena oval	Prunus avium	6,6	5,3	4,3		5,6x3,9-3,3x2,2	N.A.Cardial
D12-JG80-7-4310	La Draga	Carpologia	Dena oval	Prunus avium	6	5,6	3		4,2-4,4X4,7	N.A.Cardial
D02 Flotació grana Prunus 20	La Draga	Carpologia	Dena oval	Prunus avium	5,5	5	4			N.A.Cardial
D02 Flotació grana Prunus 46a	La Draga	Carpologia	Dena oval	Prunus avium	5	4	5			N.A.Cardial
D02 Flotació grana Prunus 46b	La Draga	Carpologia	Dena oval	Prunus avium	6	5,5	4,5			N.A.Cardial
D02 Flotació grana Prunus 46c	La Draga	Carpologia	Dena oval	Prunus avium	4,5	5	4			N.A.Cardial
D02 Flotació grana Prunus 46d	La Draga	Carpologia	Dena oval	Prunus avium	5	4	4			N.A.Cardial
D05-19 Flotació grana Prunus	La Draga	Carpologia	Dena oval	Prunus avium	5,5	6	5,5			N.A.Cardial
D05-14a grana Prunus	La Draga	Carpologia	Dena oval	Prunus avium	5	5	5			N.A.Cardial
D95 B22-125	La Draga	M.M.	Dena	Dentalium vulgare						N.A.Cardial
D00 E-238 5	La Draga	M.M.	Valva perforada	Glycymeris sp					6,8x4,3	N.A.Cardial
D91N309, C21106, DH30, DJ25 2	La Draga	Banya	Fragments anell d'os							N.A.Cardial
D92 0416 19	La Draga	Banya	Anell amb protuberància	A DET						N.A.Cardial
D91 260	La Draga	M.M	Valva perforada	Glycymeris glycymeris	60				8	N.A.Cardial
D91 K298 W82	La Draga	M.M	Valva perforada	Cerastoderma glaucum	40				13	N.A.Cardial
D97 JD 84 7	La Draga	M.M	Valva perforada	Glycymeris glycymeris	75				14	N.A.Cardial
D13-JE46-5826	La Draga	Pedra	Fragment Braçalet	Calcària	40,9	26,6	8,5			N.A.Cardial
D14-JG43-8523	La Draga	Pedra	Penjoll?	Marbre	22,3	18,8	8,3			N.A.Cardial
D13-II45-6675	La Draga	M.M	Dena circular	Glycymeris sp			0,9	7,4	3	N.A.Cardial
D13-JE43-6946	La Draga	M.M	Dena circular	Cardium sp			1,5	5,7	3	N.A.Cardial
D13-JB46-6672	La Draga	M.M	Dena circular	Cardium sp			3,4	10,8	4	N.A.Cardial
D13-II41-6640	La Draga	M.M	Fragment	Cardium sp	12,3	11,4	4			N.A.Cardial
D13-JH45-6666	La Draga	M.M	Fragment	Cardium sp	13,6	11,4	2,3			N.A.Cardial
D13-JH44-6633	La Draga	M.M	Fragment	Glycymeris sp	12,8	10	3,3			N.A.Cardial
D13-sup-6942	La Draga	M.M	Fragment	Glycymeris sp	11,3	11,4	1,5			N.A.Cardial
D13-JA43-6677	La Draga	M.M	Dena-penjoll	Glycymeris sp	11	7,5	2,3		3	N.A.Cardial
D13-JA43-6939	La Draga	M.M	Dena-penjoll	Spondylus gaederopus	18	10,6	4			N.A.Cardial
D13-JH45-6648	La Draga	M.M	Dena-penjoll	Spondylus gaederopus	15,8	10,8	4,2			N.A.Cardial
D13-JE45-6999	La Draga	M.M	Dena-penjoll	Glycymeris sp	20,7	9,9	4			N.A.Cardial
D13-JA42-6936	La Draga	M.M	Dena-penjoll	Spondylus gaederopus	19,2	11,6	4		3	N.A.Cardial
D13-JB44-6254	La Draga	M.M	Dena-penjoll	Spondylus gaederopus	17,3	9,4	3,8			N.A.Cardial
D13-JA43-6937	La Draga	M.M	Dena-penjoll	Spondylus gaederopus	19	11,5	4			N.A.Cardial
D13-JA43-6938	La Draga	M.M	Dena-penjoll	Spondylus gaederopus	23,5	12	4,5			N.A.Cardial
D13-JH45-6665	La Draga	M.M	Dena-penjoll	Spondylus gaederopus	17,6	10,3	3,7			N.A.Cardial

Sigla	Jaciment	Matèria	Objecte	Espècie	Amp	Long	Gruix	Diam	Dim. Perf.	CRONOLOGIA
D14-JA43-9077	La Draga	M.M	Fragment valva	Spondylus gaederopus	50,9	56	20,7			N.A.Cardial
D14-JE45-8294	La Draga	M.M	Dena-penjoll	Spondylus gaederopus	19,8	11	5			N.A.Cardial
D14-no coord-8292	La Draga	M.M	Dena-penjoll	ND	17,4	10	4,3			N.A.Cardial
D14-JC42-7799	La Draga	M.M	Dena-penjoll	Spondylus gaederopus	22	11,5	4,2			N.A.Cardial
D13-JB43-6669	La Draga	M.M	Dena-penjoll	Spondylus gaederopus	19,2	10,2	4,7			N.A.Cardial
D13-JA43-6940	La Draga	M.M	Dena-penjoll	Spondylus gaederopus	18,9	9,1	4,5			N.A.Cardial
D13-JF46-5696	La Draga	M.M	Dena-penjoll	Spondylus gaederopus	14,7	9,3	3,2			N.A.Cardial
D13-JE45-6709	La Draga	M.M	Dena-penjoll	Cardium sp fòssil?	16,5	9,6	3,8			N.A.Cardial
D13-JA42-6934	La Draga	M.M	Dena-penjoll	Glycymeris sp	15	8,3	3,9			N.A.Cardial
D13-JE45-5807	La Draga	M.M	Dena-penjoll	Spondylus gaederopus	21	13,2	5,6			N.A.Cardial
D13-JA42-6935	La Draga	M.M	Fragment valva	Glycymeris ?	23,6	15,9	3,4			N.A.Cardial
CRRCRV2005-255-2-1038	Can R/Can Revella	M.M	Valva perforada	Glycymeris sp	48	51	4			N.A.Postcardial
CRRCRV2005-255-2-650	Can R/Can Revella	M.M	Valva perforada	Glycymeris sp	22	21	2			N.A.Postcardial
CRRCRV2005-255-2-26	Can R/Can Revella	M.M	Valva perforada	Glycymeris sp	26	19	2			N.A.Postcardial
SMB-22-5-59	Serra mas Bonet	M.M	Valva	Mytilus sp						N.A.Epicardial
SMB-22-4-27-B	Serra mas Bonet	M.M	Valva	Pecten jacobaeus?						N.A.Epicardial
SMB-22-4-27	Serra mas Bonet	M.M	Valva	Mytilus sp						N.A.Epicardial
SMB-22-6-155	Serra mas Bonet	M.M	Valva	Mytilus sp						N.A.Epicardial
SMB-22-6-154	Serra mas Bonet	M.M	Braçalet	(Glycymeris glycymeris)			5	67	54	N.A.Epicardial
SMB-78-1-9 B	Serra mas Bonet	M.M	Valva	Donacilla cornea						N.A.Epicardial
SMB-78-1-9	Serra mas Bonet	M.M	Valva	Mytilus galloprovincialis	54	43	3			N.A.Epicardial
SMB-117-1-37	Serra mas Bonet	M.M	Valva	Mytilus sp						N.A.Epicardial
SMB-117-1-32	Serra mas Bonet	M.M	Braçalet	(Glycymeris glycymeris)			5	63	52	N.A.Epicardial
SMB-186-1-13	Serra mas Bonet	M.M	Valva	Glycymeris sp						N.A.Epicardial
SMB-186-1-14	Serra mas Bonet	M.T	ND	cargol terrestre						N.A.Epicardial
SMB-186-3-21	Serra mas Bonet	M.M	Valva	ND						N.A.Epicardial
SMB-22-4-17	Serra mas Bonet	M.M	Penjoll	Ullal suïd	14	49	11		6	N.A.Epicardial
SMB-22-6-153	Serra mas Bonet	M.M	Penjoll	Ullal suïd	13	31	7		4	N.A.Epicardial
MB-303-1-7	Mas d'en Boixos	M.M	Valva perforada	Acanthocardia tuberculata	38	37	5		6,6x4	N.A.Cardial
MB-299-4-11a	Mas d'en Boixos	M.M	Valva perforada	Cardium sp	19	16			10,4x4	N.A.Cardial
MB-299-4-11b	Mas d'en Boixos	M.M	Valva	Cardium sp						N.A.Cardial
MB-337-1-8	Mas d'en Boixos	M.M	Valva perforada	Acanthocardia tuberculata	50	52	4,5		4,5x5,5	N.A.Cardial
MB-326-1-1	Mas d'en Boixos	M.M	Valva perforada	Glycymeris violascens	54	49	2		12,5x8,5	N.A.Postcardial
MB-332-1-3	Mas d'en Boixos	M.M	Gasteròpode perforat sense espira	Bolinus/Charonia?	77	138			6x4	N.A.Postcardial
MB-336-1-21	Mas d'en Boixos	M.M	Valva	Mytilus galloprovincialis						N.A.Postcardial
MB-355-2-163	Mas d'en Boixos	M.M	Cargol	Bolinus? Phalium?	103	101	11		4,6x3,6	N.A.Postcardial
MB-355-1-21	Mas d'en Boixos	M.M	Valva perforada	Glycymeris sp	44	24	3,3		11x8	N.A.Postcardial
MB-355-2-164	Mas d'en Boixos	M.M	Gasteròpode	Nassarius mutabilis?	36	36				N.A.Postcardial
MB-355-2-165	Mas d'en Boixos	M.M	Valva	Cerastoderma glaucum	32	32	2			N.A.Postcardial
MB-355-1-3	Mas d'en Boixos	M.M	ND	ND						N.A.Postcardial
MB-355-2-151	Mas d'en Boixos	M.M	Cargol	Phalium? Bolinus?						N.A.Postcardial
MB-355-1-83	Mas d'en Boixos	M.M	Valva perforada	Glycymeris sp	42	30			6x6'6	N.A.Postcardial
MB-355-1-19	Mas d'en Boixos	M.M	Valva	Mytilus sp						N.A.Postcardial

Sigla	Jaciment	Matèria	Objecte	Espècie	Amp	Long	Gruix	Diam	Dim. Perf.	CRONOLOGIA
MB-355-2-153	Mas d'en Boixos	M.M	Valva perforada	Glycymeris violascens	55	54	4,5		4,5x3,6	N.A.Postcardial
MB-351-3-42	Mas d'en Boixos	M.M	ND	ND						N.A.Postcardial
MB-351-5-55	Mas d'en Boixos	M.M	Cargol	Bolinus???	54	120				N.A.Postcardial
MB-333-1-A	Mas d'en Boixos	M.M	Valva	Cerastoderma glaucum	34	33	5			N.A.Postcardial
MB-333-1-B	Mas d'en Boixos	M.M	Cargol	Bolinus? Phalum?						N.A.Postcardial
MB-333-1-C	Mas d'en Boixos	M.M	Fragment Braçalet	Glycymeris sp	61	9	5	48-58		N.A.Postcardial
CA-2670 a	Cova Ànimes	M.M	Dena-penjoll	Glycymeris sp	7,5	3,5-5	5		3	N.A.Cardial
CA-2670 b	Cova Ànimes	M.M	Dena-penjoll	Glycymeris sp	8	3,5-5	3,75		3	N.A.Cardial
CA-2670 c	Cova Ànimes	M.M	Dena-penjoll	Spondylus	7,5	6x6x6x6	4,75		3-2,5-2,5	N.A.Cardial
CA 72.3	Cova Ànimes	M.M	Dena-penjoll	Spondylus?/Corall?	7	5x4,5x4,5x5	4,75		4; 3;3	N.A.Cardial
CA-2670-1	Cova Ànimes	M.M	Dena-penjoll	Corall	6,5	7x6,5x6,5x7	4,75		4,25;4; 4	N.A.Cardial
CA-2672-2	Cova Ànimes	M.M	Dena circular	Cardium sp fòssil			2	5	2,5	N.A.Cardial
CA-2672-3	Cova Ànimes	M.M	Dena circular	Cardium sp fòssil			2	5	2,5	N.A.Cardial
CA-2672-4	Cova Ànimes	M.M	Dena circular	Cardium sp fòssil			2	5	2,5	N.A.Cardial
CA-2672-5	Cova Ànimes	M.M	Dena circular	Cardium sp fòssil			2	4	2,5	N.A.Cardial
CA-2672-6	Cova Ànimes	M.M	Dena circular	Cardium sp fòssil			2	4	2,5	N.A.Cardial
CA-2672-7	Cova Ànimes	M.M	Dena circular	Cardium sp fòssil			2	4,25	2,5	N.A.Cardial
CA-2672-8	Cova Ànimes	M.M	Dena circular	Cardium sp fòssil			2	5	2,5	N.A.Cardial
CA-2672-9	Cova Ànimes	M.M	Dena circular	Cardium sp fòssil			2	5	2,5	N.A.Cardial
CA-2672-10	Cova Ànimes	M.M	Dena circular	Cardium sp fòssil			2	4,75	2,5	N.A.Cardial
CA-2672-11	Cova Ànimes	M.M	Dena circular	Cardium sp fòssil			2	4,75	2,5	N.A.Cardial
CA-2672-12	Cova Ànimes	M.M	Dena circular	Cardium sp fòssil			2	5	2,5	N.A.Cardial
CA-2672-13	Cova Ànimes	M.M	Dena circular	Cardium sp fòssil			2	4,25	2,75	N.A.Cardial
CA-2672-14	Cova Ànimes	M.M	Dena circular	Cardium sp fòssil			2	4,5	2,75	N.A.Cardial
CA-2672-15	Cova Ànimes	M.M	Dena circular	Cardium sp fòssil			2	4,5	2,75	N.A.Cardial
CA-2672-16	Cova Ànimes	M.M	Dena circular	Cardium sp fòssil			2	4,5	2,75	N.A.Cardial
CA-2672-17	Cova Ànimes	M.M	Dena circular	Cardium sp fòssil			2	4,5	2,75	N.A.Cardial
CA-2672-18	Cova Ànimes	M.M	Dena circular	Cardium sp fòssil			2	4,5	2,75	N.A.Cardial
CA-2672-19	Cova Ànimes	M.M	Dena circular	Cardium sp fòssil			2	4,5	2,75	N.A.Cardial
CA-2672-20	Cova Ànimes	M.M	Dena circular	Cardium sp fòssil			2	4	2,75	N.A.Cardial
CA-2672-21	Cova Ànimes	M.M	Dena circular	Cardium sp fòssil			2	5	2,75	N.A.Cardial
CA-2672-22	Cova Ànimes	M.M	Dena circular	Cardium sp fòssil			2	5	3	N.A.Cardial
CA-2672-23	Cova Ànimes	M.M	Dena circular	Cardium sp			2	5	3	N.A.Cardial
CA-2672-24	Cova Ànimes	M.M	Dena circular	Cardium sp			2	5	3	N.A.Cardial
CA-2672-25	Cova Ànimes	M.M	Dena circular	Cardium sp			2	5	3	N.A.Cardial
CA-2672-26	Cova Ànimes	M.M	Dena circular	Cardium sp			2	5	3	N.A.Cardial
CA-2672-27	Cova Ànimes	M.M	Dena circular	Cardium sp			2	5	3	N.A.Cardial
CA-2672-28	Cova Ànimes	M.M	Dena circular	Cardium sp			2	5	3	N.A.Cardial
CA-2672-29	Cova Ànimes	M.M	Dena circular	Cardium sp			2	5	3	N.A.Cardial
CA-2672-30	Cova Ànimes	M.M	Dena circular	Cardium sp			2	5	3	N.A.Cardial
CA-2672-31	Cova Ànimes	M.M	Dena circular	Cardium sp			2	4,25	3	N.A.Cardial
CA-2672-32	Cova Ànimes	M.M	Dena circular	Cardium sp			2	4,25	3	N.A.Cardial
CA-2672-33	Cova Ànimes	M.M	Dena circular	Cardium sp			2	4,25	3	N.A.Cardial
CA-2672-34	Cova Ànimes	M.M	Dena circular	Cardium sp			2	4,25	3,5	N.A.Cardial
CA-2672-35	Cova Ànimes	M.M	Dena circular	Cardium sp			2	4,75	3,5	N.A.Cardial
CA-2672-36	Cova Ànimes	M.M	Dena circular	Cardium sp			2	4,5	3,5	N.A.Cardial

Sigla	Jaciment	Matèria	Objecte	Espècie	Amp	Long	Gruix	Diam	Dim. Perf.	CRONOLOGIA
CA-2672-37	Cova Ànimes	M.M	Dena circular	Cardium sp			2	4,5	3,5	N.A.Cardial
CA-2672-38	Cova Ànimes	M.M	Dena circular	Cardium sp			2	4,5	3,5	N.A.Cardial
CA-2672-39	Cova Ànimes	M.M	Dena circular	Cardium sp			2	4,5	3,5	N.A.Cardial
CA-2672-40	Cova Ànimes	M.M	Dena circular	Cardium sp			2	4,75	3,5	N.A.Cardial
CA-2672-41	Cova Ànimes	M.M	Dena circular	Cardium sp			2	4,75	3,5	N.A.Cardial
CA-2672-42	Cova Ànimes	M.M	Dena circular	Cardium sp			2	4,75	3,5	N.A.Cardial
CA-2672-43	Cova Ànimes	M.M	Dena circular	Cardium sp			2	5	3,5	N.A.Cardial
CA-2672-44	Cova Ànimes	M.M	Dena circular	Cardium sp			2	5	3,5	N.A.Cardial
CA-2672-45	Cova Ànimes	M.M	Dena circular	Cardium sp			2	5	3,75	N.A.Cardial
CA-2672-46	Cova Ànimes	M.M	Dena circular	Cardium sp			2	5	3,75	N.A.Cardial
CA-2672-47	Cova Ànimes	M.M	Dena circular	Cardium sp			2	5	3,75	N.A.Cardial
CA-2672-48	Cova Ànimes	M.M	Dena circular	Cardium sp			2	5	3,75	N.A.Cardial
CA-2672-49	Cova Ànimes	M.M	Dena circular	Cardium sp			2	5	3,75	N.A.Cardial
CA-2672-50	Cova Ànimes	M.M	Dena circular	Cardium sp			2	5	3,75	N.A.Cardial
CA-2672-51	Cova Ànimes	M.M	Dena circular	Cardium sp			2	5	3,75	N.A.Cardial
CA-2672-52	Cova Ànimes	M.M	Dena circular	Cardium sp			2	5	3,75	N.A.Cardial
CA-2672-53	Cova Ànimes	M.M	Dena circular	Cardium sp			2	5	3,75	N.A.Cardial
CA-2672-54	Cova Ànimes	M.M	Dena circular	Cardium sp			2	5	3,75	N.A.Cardial
CA-2672-55	Cova Ànimes	M.M	Dena circular	Cardium sp			2	5	3,75	N.A.Cardial
CA-2672-56	Cova Ànimes	M.M	Dena circular	Cardium sp			2	5	3,75	N.A.Cardial
CA-2672-57	Cova Ànimes	M.M	Dena circular	Cardium sp			2	5	3,75	N.A.Cardial
CA-2672-58	Cova Ànimes	M.M	Dena circular	Cardium sp			2	5	3,75	N.A.Cardial
CA-2672-59	Cova Ànimes	M.M	Dena circular	Cardium sp			2	5	3,75	N.A.Cardial
CA-2672-60	Cova Ànimes	M.M	Dena circular	Cardium sp			2	5	3,75	N.A.Cardial
CA-2672-61	Cova Ànimes	M.M	Dena circular	Cardium sp			2	5	3,75	N.A.Cardial
CA-2672-62	Cova Ànimes	M.M	Dena circular	Cardium sp			2	5	3,75	N.A.Cardial
CA-2672-63	Cova Ànimes	M.M	Dena circular	Cardium sp			2	5	3,75	N.A.Cardial
CA-2672-64	Cova Ànimes	M.M	Dena circular	Cardium sp			2	5	3,75	N.A.Cardial
CA-2672-65	Cova Ànimes	M.M	Dena circular	Cardium sp			2	4,5	3,75	N.A.Cardial
CA-2672-66	Cova Ànimes	M.M	Dena circular	Cardium sp			2	5	3,75	N.A.Cardial
CA-2672-67	Cova Ànimes	M.M	Dena circular	Cardium sp			2	5	4	N.A.Cardial
CA-2672-68	Cova Ànimes	M.M	Dena circular	Cardium sp			2	5	4	N.A.Cardial
CA-2672-69	Cova Ànimes	M.M	Dena circular	Cardium sp			2	4,5	4	N.A.Cardial
CA-2672-70	Cova Ànimes	M.M	Dena circular	Cardium sp			1,5	4,25	4	N.A.Cardial
CA-2672-71	Cova Ànimes	M.M	Dena circular	Cardium sp			1,5	4,25	4	N.A.Cardial
CA-2672-72	Cova Ànimes	M.M	Dena circular	Cardium sp			1,5	4,5	4	N.A.Cardial
CA-2672-73	Cova Ànimes	M.M	Dena circular	Cardium sp			1,5	4,5	4	N.A.Cardial
CA-2672-74	Cova Ànimes	M.M	Dena circular	Cardium sp			1,5	4,5	4	N.A.Cardial
CA-2672-75	Cova Ànimes	M.M	Dena circular	Cardium sp			1,5	3	4	N.A.Cardial
CA-2672-76	Cova Ànimes	M.M	Dena circular	Cardium sp			1,5	3	4	N.A.Cardial
CA-2672-77	Cova Ànimes	M.M	Dena circular	Cardium sp			1,5	3	4	N.A.Cardial
CA-2672-78	Cova Ànimes	M.M	Dena circular	Cardium sp			1,5	4,5	4	N.A.Cardial
CA-2672-79	Cova Ànimes	M.M	Dena circular	Cardium sp			1,5	4,25	4	N.A.Cardial
CA-2672-80	Cova Ànimes	M.M	Dena circular	Cardium sp			1,5	4,25	4	N.A.Cardial
CA-2672-81	Cova Ànimes	M.M	Dena circular	Cardium sp			2	4,5	4	N.A.Cardial
CA-2672-82	Cova Ànimes	M.M	Dena circular	Cardium sp			2	4,5	4	N.A.Cardial

Sigla	Jaciment	Matèria	Objecte	Espècie	Amp	Long	Gruix	Diam	Dim. Perf.	CRONOLOGIA
CA-2672-83	Cova Ànimes	M.M	Dena circular	Cardium sp			2	4,5	4	N.A.Cardial
CA-2672-84	Cova Ànimes	M.M	Dena circular	Cardium sp			2	5	4	N.A.Cardial
CA-2672-85	Cova Ànimes	M.M	Dena circular	Cardium sp			2	5	4	N.A.Cardial
CA-2672-86	Cova Ànimes	M.M	Dena circular	Cardium sp			2	5	4	N.A.Cardial
CA-2672-87	Cova Ànimes	M.M	Dena circular	Cardium sp			2	5	4	N.A.Cardial
CA-2672-88	Cova Ànimes	M.M	Dena circular	Cardium sp			2	5	4	N.A.Cardial
CA-2672-89	Cova Ànimes	M.M	Dena circular	Cardium sp			2	4,75	4	N.A.Cardial
CA-2672-90	Cova Ànimes	M.M	Dena circular	Cardium sp			2	4,75	4	N.A.Cardial
CA-2672-91	Cova Ànimes	M.M	Dena circular	Cardium sp			2	4,75	4	N.A.Cardial
CA-2672-92	Cova Ànimes	M.M	Dena circular	Cardium sp			2	5	4	N.A.Cardial
CA-2672-93	Cova Ànimes	M.M	Dena circular	Cardium sp			2	5	4	N.A.Cardial
CA-2672-94	Cova Ànimes	M.M	Dena circular	Cardium sp			2	5	4	N.A.Cardial
CA-2672-95	Cova Ànimes	M.M	Dena circular	Cardium sp			1,5	3,75	4	N.A.Cardial
CA-2672-96	Cova Ànimes	M.M	Dena circular	Cardium sp			1,5	3,75	4	N.A.Cardial
CA-2672-97	Cova Ànimes	M.M	Dena circular	Cardium sp			1,5	3,5	4	N.A.Cardial
CA-2672-98	Cova Ànimes	M.M	Dena circular	Cardium sp			1,5	3,5	4	N.A.Cardial
CA-2672-99	Cova Ànimes	M.M	Dena circular	Cardium sp			2	4,25	3,75	N.A.Cardial
CA-2672-100	Cova Ànimes	M.M	Dena circular	Cardium sp			2	4,25	3,75	N.A.Cardial
CA-2672-102	Cova Ànimes	M.M	Dena circular	Cardium sp			2	4,25	25	N.A.Cardial
CA-2672-103	Cova Ànimes	M.M	Dena circular	Cardium sp			1,5	3	2,5	N.A.Cardial
CA-2672-104	Cova Ànimes	M.M	Dena circular	Cardium sp			1,5	3	2,5	N.A.Cardial
CA-2672-105	Cova Ànimes	M.M	Dena circular	Cardium sp			1,5	3	2,5	N.A.Cardial
CA-2672-106	Cova Ànimes	M.M	Dena circular	Cardium sp			1,5	3,25	3,75	N.A.Cardial
CA-2672-107	Cova Ànimes	M.M	Dena circular	Cardium sp			1,5	3,25	3,75	N.A.Cardial
CA-2672-108	Cova Ànimes	M.M	Dena circular	Cardium sp			1,5	3,25	3,75	N.A.Cardial
CA-2672-109	Cova Ànimes	M.M	Dena circular	Cardium sp			1,5	3,25	3,75	N.A.Cardial
CA-2672-110	Cova Ànimes	M.M	Dena circular	Cardium sp			1,5	3,75	3,75	N.A.Cardial
CA-2672-111	Cova Ànimes	M.M	Dena circular	Cardium sp			1,5	3,75	3,75	N.A.Cardial
CA-2672-112	Cova Ànimes	M.M	Dena circular	Cardium sp			1,5	3,75	3,75	N.A.Cardial
CA-2672-113	Cova Ànimes	M.M	Dena circular	Cardium sp			1,5	3,75	3,75	N.A.Cardial
CA-2672-114	Cova Ànimes	M.M	Dena circular	Cardium sp			2,5	5	3,75	N.A.Cardial
CA-2672-115	Cova Ànimes	M.M	Dena circular	Cardium sp			2,5	5	3,75	N.A.Cardial
CA-2672-116	Cova Ànimes	M.M	Dena circular	Cardium sp			2,5	5	3,75	N.A.Cardial
CA-2672-117	Cova Ànimes	M.M	Dena circular	Cardium sp			2,5	5	3,75	N.A.Cardial
CA-2672-118	Cova Ànimes	M.M	Dena circular	Cardium sp			2	4,5	3,75	N.A.Cardial
CA-2672-119	Cova Ànimes	M.M	Dena circular	Cardium sp			2	4,75	3,75	N.A.Cardial
CA-2672-120	Cova Ànimes	M.M	Dena circular	Cardium sp			2	4,75	3,25	N.A.Cardial
CA-2672-121	Cova Ànimes	M.M	Dena circular	Cardium sp			2	4,75	3,25	N.A.Cardial
CA-2672-122	Cova Ànimes	M.M	Dena circular	Cardium sp			2	4,75	3,25	N.A.Cardial
CA-2672-123	Cova Ànimes	M.M	Dena circular	Cardium sp			2	4,75	3,25	N.A.Cardial
CA-2672-124	Cova Ànimes	M.M	Dena circular	Cardium sp			2	4,75	3,25	N.A.Cardial
CA-2672-125	Cova Ànimes	M.M	Dena circular	Cardium sp			2	4,75	3,25	N.A.Cardial
CA-2672-126	Cova Ànimes	M.M	Dena circular	Cardium sp			2	4,75	3,25	N.A.Cardial
CA-2672-127	Cova Ànimes	M.M	Dena circular	Cardium sp			2	4,75	3,25	N.A.Cardial
CA-2672-128	Cova Ànimes	M.M	Dena circular	Cardium sp			2	4,25	3	N.A.Cardial
CA-2672-129	Cova Ànimes	M.M	Dena circular	Cardium sp			2	4,25	3	N.A.Cardial

Sigla	Jaciment	Matèria	Objecte	Espècie	Amp	Long	Gruix	Diam	Dim. Perf.	CRONOLOGIA
CA-2672-176	Cova Ànimes	M.M	Dena circular	Cardium sp			2	4,75	3	N.A.Cardial
CA-2672-177	Cova Ànimes	M.M	Dena circular	Cardium sp			2	4,75	3	N.A.Cardial
CA-2672-178	Cova Ànimes	M.M	Dena circular	Cardium sp			2	4,75	3	N.A.Cardial
CA-2672-179	Cova Ànimes	M.M	Dena circular	Cardium sp			2	4,75	3	N.A.Cardial
CA-2672-180	Cova Ànimes	M.M	Dena circular	Cardium sp			2	4,75	3	N.A.Cardial
CA-2672-181	Cova Ànimes	M.M	Dena circular	Cardium sp			2	4,75	3	N.A.Cardial
CA-2672-182	Cova Ànimes	M.M	Dena circular	Cardium sp			1,5	3	2,5	N.A.Cardial
CA-2672-183	Cova Ànimes	M.M	Dena circular	Cardium sp			1,75	4,5	3	N.A.Cardial
CA-2672-184	Cova Ànimes	M.M	Dena circular	Cardium sp			1,75	4,5	3	N.A.Cardial
CA-2672-185	Cova Ànimes	M.M	Dena circular	Cardium sp			1,75	4,5	3	N.A.Cardial
CA-2672-186	Cova Ànimes	M.M	Dena circular	Cardium sp			1,75	3	3	N.A.Cardial
CA-2672-187	Cova Ànimes	M.M	Dena circular	Cardium sp			1,75	4,5	3	N.A.Cardial
CA-2672-188	Cova Ànimes	M.M	Dena circular	Cardium sp			1,75	4,5	3	N.A.Cardial
CA-2672-189	Cova Ànimes	M.M	Dena circular	Cardium sp			1,75	4,5	3	N.A.Cardial
CA-2672-190	Cova Ànimes	M.M	Dena circular	Cardium sp			1,75	4,5	3	N.A.Cardial
CA-2672-191	Cova Ànimes	M.M	Dena circular	Cardium sp			1,75	4,5	3	N.A.Cardial
CA-2672-192	Cova Ànimes	M.M	Dena circular	Cardium sp			1,75	4,5	3	N.A.Cardial
CA-2672-193	Cova Ànimes	M.M	Dena circular	Cardium sp			1,75	4,5	3	N.A.Cardial
CA-2672-194	Cova Ànimes	M.M	Dena circular	Cardium sp			1,75	3,75	3	N.A.Cardial
CA-2672-195	Cova Ànimes	M.M	Dena circular	Cardium sp			1,75	4,5	3	N.A.Cardial
CA-2672-196	Cova Ànimes	M.M	Dena circular	Cardium sp			1,75	4,5	3	N.A.Cardial
CA-2672-197	Cova Ànimes	M.M	Dena circular	Cardium sp			1,75	5	3,75	N.A.Cardial
CA-2671-1	Cova Ànimes	M.M	Dena circular	Cardium sp fòssil			2	9	3	N.A.Cardial
CA-2671-2	Cova Ànimes	M.M	Dena circular	Cardium sp fòssil			1,5	8	2,5	N.A.Cardial
CA-2671-3	Cova Ànimes	M.M	Dena circular	Cardium sp fòssil			2,5	8	2	N.A.Cardial
CA-2671-4	Cova Ànimes	M.M	Dena circular	Cardium sp fòssil			1,5	7,5	4	N.A.Cardial
CA-2671-5	Cova Ànimes	M.M	Dena circular	Cardium sp fòssil			2,5	9	2	N.A.Cardial
CA-2671-6	Cova Ànimes	M.M	Dena circular	Cardium sp fòssil			1,5	8	3	N.A.Cardial
CA-2671-7	Cova Ànimes	M.M	Dena circular	Cardium sp fòssil			2	9	4	N.A.Cardial
CA-2671-8	Cova Ànimes	M.M	Dena circular	Cardium sp fòssil			2	9	2,5	N.A.Cardial
CA-2671-9	Cova Ànimes	M.M	Dena circular	Cardium sp fòssil			3	8	2,5	N.A.Cardial
CA-2671-10	Cova Ànimes	M.M	Dena-penjoll	Glycymeris sp	16	10	4	8	3,5	N.A.Cardial
CA-2671-11	Cova Ànimes	M.M	Dena-penjoll	Spondylus sp	15	12	8	8	5	N.A.Cardial
CA-2671-12	Cova Ànimes	M.M	Dena-penjoll	Spondylus sp	13	9,5	4	8	4	N.A.Cardial
CA-2671-13	Cova Ànimes	M.M	Dena circular	Cardium sp			1,5	8,5	3	N.A.Cardial
CA-2671-14	Cova Ànimes	M.M	Dena circular	Cardium sp			3	9	3,5	N.A.Cardial
CA-2671-15	Cova Ànimes	M.M	Dena circular	Cardium sp			2	9	3,5	N.A.Cardial
CA-2671-16	Cova Ànimes	M.M	Dena circular	Cardium sp			2,75	9	3	N.A.Cardial
CA-2671-17	Cova Ànimes	M.M	Dena circular	Cardium sp			2	9,5	3,5	N.A.Cardial
CA-2671-18	Cova Ànimes	M.M	Dena circular	Cardium sp			2	9	3	N.A.Cardial
CA-2671-19	Cova Ànimes	M.M	Dena circular	Cardium sp			3	9,5	5	N.A.Cardial
CA-2671-20	Cova Ànimes	M.M	Dena circular	Cardium sp			3	8	3	N.A.Cardial
CA-2671-21	Cova Ànimes	M.M	Dena circular	Cardium sp			2	8	3	N.A.Cardial
CA-2671-22	Cova Ànimes	M.M	Dena circular	Cardium sp			2	8	4	N.A.Cardial
CA-2671-23	Cova Ànimes	M.M	Dena circular	Cardium sp			4,5	9	5	N.A.Cardial
CA-2671-24	Cova Ànimes	M.M	Dena circular	Cardium sp			2	8	3	N.A.Cardial

Sigla	Jaciment	Matèria	Objecte	Espècie	Amp	Long	Gruix	Diam	Dim. Perf.	CRONOLOGIA
CA-2671-25	Cova Ànimes	M.M	Dena circular	Cardium sp			2,5	8,5	3	N.A.Cardial
CA-2671-26	Cova Ànimes	M.M	Dena circular	Cardium sp			1,5	8	2,5	N.A.Cardial
CA-2671-27	Cova Ànimes	M.M	Dena circular	Cardium sp			2	9	2,5	N.A.Cardial
CA-2671-28	Cova Ànimes	M.M	Dena circular	Cardium sp			2	9	3	N.A.Cardial
CA-2671-29	Cova Ànimes	M.M	Dena circular	Cardium sp			3	9	3,5	N.A.Cardial
CA-2671-30	Cova Ànimes	M.M	Dena circular	Cardium sp			2	9	3	N.A.Cardial
CA-2671-31	Cova Ànimes	M.M	Dena circular	Cardium sp			1,5	7	2	N.A.Cardial
CA-2671-32	Cova Ànimes	M.M	Dena circular	Cardium sp			2,5	8,5	4	N.A.Cardial
CA-2671-33	Cova Ànimes	M.M	Dena circular	Cardium sp			2	8	3	N.A.Cardial
CA-2671-34	Cova Ànimes	M.M	Dena circular	Cardium sp			2	9	2	N.A.Cardial
CA-2671-35	Cova Ànimes	M.M	Dena circular	Cardium sp			2	8,5	2,5	N.A.Cardial
CA-2671-36	Cova Ànimes	M.M	Dena circular	Cardium sp			1,5	7	2	N.A.Cardial
CA-2671-37	Cova Ànimes	M.M	Dena circular	Cardium sp			2	9	4,5	N.A.Cardial
CA-2671-38	Cova Ànimes	M.M	Dena circular	Cardium sp			2,5	8	3	N.A.Cardial
CA-2671-39	Cova Ànimes	M.M	Dena circular	Cardium sp			2	8	2	N.A.Cardial
CA-2671-40	Cova Ànimes	M.M	Dena circular	Cardium sp			2	8	2	N.A.Cardial
CA-2671-41	Cova Ànimes	M.M	Dena circular	Cardium sp			2	9	3	N.A.Cardial
CA-2671-42	Cova Ànimes	M.M	Dena circular	Cardium sp			1,5	9	3	N.A.Cardial
CA-2671-43	Cova Ànimes	M.M	Dena circular	Cardium sp			2,5	9	3	N.A.Cardial
CA-2671-44	Cova Ànimes	M.M	Dena circular	Cardium sp			2	8	3,5	N.A.Cardial
CA-2671-45	Cova Ànimes	M.M	Dena circular	Cardium sp			2	9	3,5	N.A.Cardial
CA-2671-46	Cova Ànimes	M.M	Dena circular	Cardium sp			2	7,5	2	N.A.Cardial
CA-2671-47	Cova Ànimes	M.M	Dena circular	Cardium sp			2,5	8	4	N.A.Cardial
CA-2671-48	Cova Ànimes	M.M	Dena circular	Cardium sp			2,5	8	2	N.A.Cardial
CA-2671-49	Cova Ànimes	M.M	Dena circular	Cardium sp			2,5	8	2	N.A.Cardial
CA-2671-50	Cova Ànimes	M.M	Dena circular	Cardium sp			2,5	7,5	3	N.A.Cardial
CA-2671-51	Cova Ànimes	M.M	Dena circular	Cardium sp			4,5	8,5	2,5	N.A.Cardial
CA-2671-52	Cova Ànimes	M.M	Dena circular	Cardium sp			2,5	8,5	3,5	N.A.Cardial
CA-2671-53	Cova Ànimes	M.M	Dena circular	Cardium sp			2	8,5	2,5	N.A.Cardial
CA-2671-54	Cova Ànimes	M.M	Dena circular	Cardium sp			2	8	3	N.A.Cardial
CA-2671-55	Cova Ànimes	M.M	Dena circular	Cardium sp			1,5	7	2	N.A.Cardial
CA-2671-56	Cova Ànimes	M.M	Dena circular	Cardium sp			1,5	7	4	N.A.Cardial
CA-2671-57	Cova Ànimes	M.M	Dena circular	Cardium sp			2,5	8,5	3	N.A.Cardial
CA-2671-58	Cova Ànimes	M.M	Dena circular	Cardium sp			2,5	8,5	3	N.A.Cardial
CA-2671-59	Cova Ànimes	M.M	Dena circular	Cardium sp			1,5	7	2	N.A.Cardial
CA-2671-60	Cova Ànimes	M.M	Dena circular	Cardium sp			3	8	4	N.A.Cardial
CA-2671-61	Cova Ànimes	M.M	Dena circular	Cardium sp			2	8	4	N.A.Cardial
CA-2671-62	Cova Ànimes	M.M	Dena circular	Cardium sp			4,5	9	3,5	N.A.Cardial
CA-2671-63	Cova Ànimes	M.M	Dena circular	Cardium sp			2	7	2	N.A.Cardial
CA-2671-64	Cova Ànimes	M.M	Dena circular	Cardium sp			2,5	7,5	2	N.A.Cardial
CA-2671-65	Cova Ànimes	M.M	Dena circular	Cardium sp			2,5	7,5	2	N.A.Cardial
CA-2671-66	Cova Ànimes	M.M	Dena circular	Cardium sp			2,5	7,5	2,5	N.A.Cardial
CA-2671-67	Cova Ànimes	M.M	Dena circular	Cardium sp			4,5	9	4,5	N.A.Cardial
CA-2671-68	Cova Ànimes	M.M	Dena circular	Cardium sp			2	8	2	N.A.Cardial
CA-2671-69	Cova Ànimes	M.M	Dena circular	Cardium sp			2	8	3	N.A.Cardial
CA-2671-70	Cova Ànimes	M.M	Dena circular	Cardium sp			3	8	3,5	N.A.Cardial

Sigla	Jaciment	Matèria	Objecte	Espècie	Amp	Long	Gruix	Diam	Dim. Perf.	CRONOLOGIA
CA-2671-71	Cova Ànimes	M.M	Dena circular	Cardium sp			1,5	7	2	N.A.Cardial
CA-2671-72	Cova Ànimes	M.M	Dena circular	Cardium sp			1,5	7	2	N.A.Cardial
CA-2671-73	Cova Ànimes	M.M	Dena circular	Cardium sp			2	7,5	2	N.A.Cardial
CA-2671-74	Cova Ànimes	M.M	Dena circular	Cardium sp			2	8	2,5	N.A.Cardial
CA-2671-75	Cova Ànimes	M.M	Dena circular	Cardium sp			2,5	8	5	N.A.Cardial
CA-2671-76	Cova Ànimes	M.M	Dena circular	Cardium sp			2	8	4	N.A.Cardial
CA-2671-77	Cova Ànimes	M.M	Dena circular	Cardium sp			2	8	2	N.A.Cardial
CA-2671-78	Cova Ànimes	M.M	Dena circular	Cardium sp			4,5	8,5	3	N.A.Cardial
CA-2671-79	Cova Ànimes	M.M	Dena circular	Cardium sp			4,5	8,5	3	N.A.Cardial
CA-2671-80	Cova Ànimes	M.M	Dena circular	Cardium sp			2	7,5	3	N.A.Cardial
CA-2671-81	Cova Ànimes	M.M	Dena circular	Cardium sp			2	7,5	2	N.A.Cardial
CA-2671-82	Cova Ànimes	M.M	Dena circular	Cardium sp			2,5	7	2	N.A.Cardial
CA-2671-83	Cova Ànimes	M.M	Dena circular	Cardium sp			1,5	7	2	N.A.Cardial
CA-2671-84	Cova Ànimes	M.M	Dena circular	Cardium sp			2	8	2,5	N.A.Cardial
CA-2671-85	Cova Ànimes	M.M	Dena circular	Cardium sp			2,5	8	2	N.A.Cardial
CA-2671-86	Cova Ànimes	M.M	Dena circular	Cardium sp			2	8	3,5	N.A.Cardial
CA-2671-87	Cova Ànimes	M.M	Dena circular	Cardium sp			2	8	4	N.A.Cardial
CA-2671-88	Cova Ànimes	M.M	Dena circular	Cardium sp			2,5	8,5	4	N.A.Cardial
CA-2671-89	Cova Ànimes	M.M	Dena circular	Cardium sp			2	7,5	2	N.A.Cardial
CA-2671-90	Cova Ànimes	M.M	Dena circular	Cardium sp			2	7,5	4,5	N.A.Cardial
CA-2671-91	Cova Ànimes	M.M	Dena circular	Cardium sp			2	8	2	N.A.Cardial
CA-2671-92	Cova Ànimes	M.M	Dena circular	Cardium sp			2,5	7,5	3	N.A.Cardial
CA-2671-93	Cova Ànimes	M.M	Dena circular	Cardium sp			2	7	3	N.A.Cardial
CA-2671-94	Cova Ànimes	M.M	Dena circular	Cardium sp			2	7,5	3,5	N.A.Cardial
CA-2671-95	Cova Ànimes	M.M	Dena circular	Cardium sp			2	8	2,5	N.A.Cardial
CA-2671-96	Cova Ànimes	M.M	Dena circular	Cardium sp			3	8	5	N.A.Cardial
CA-2671-97	Cova Ànimes	M.M	Dena circular	Cardium sp			2	8	2	N.A.Cardial
CA-2671-98	Cova Ànimes	M.M	Dena circular	Cardium sp			2	8	2	N.A.Cardial
CA-2671-99	Cova Ànimes	M.M	Dena circular	Cardium sp			2,5	8,5	4	N.A.Cardial
CA-2671-100	Cova Ànimes	M.M	Dena circular	Cardium sp			2,5	8,5	4	N.A.Cardial
CA-2671-101	Cova Ànimes	M.M	Dena circular	Cardium sp			1,5	7	2	N.A.Cardial
CA-2671-102	Cova Ànimes	M.M	Dena circular	Cardium sp			2	7	3	N.A.Cardial
CA-2671-103	Cova Ànimes	M.M	Dena circular	Cardium sp			1,5	7	2,5	N.A.Cardial
CA-2671-104	Cova Ànimes	M.M	Dena circular	Cardium sp			2	8	2	N.A.Cardial
CA-2671-105	Cova Ànimes	M.M	Dena circular	Cardium sp			2,5	7,5	2	N.A.Cardial
CA-2671-106	Cova Ànimes	M.M	Dena circular	Cardium sp			2,5	7,5	3	N.A.Cardial
CA-2671-107	Cova Ànimes	M.M	Dena circular	Cardium sp			2	7	3,5	N.A.Cardial
CA-2671-108	Cova Ànimes	M.M	Dena circular	Cardium sp			2	8	2	N.A.Cardial
CA-2671-109	Cova Ànimes	M.M	Dena circular	Cardium sp			2,5	8,5	3	N.A.Cardial
CA-2671-110	Cova Ànimes	M.M	Dena circular	Cardium sp			4,5	9	3	N.A.Cardial
CA-2671-111	Cova Ànimes	M.M	Dena circular	Cardium sp			2	8	2	N.A.Cardial
CA-2671-112	Cova Ànimes	M.M	Dena circular	Cardium sp			2	8	2	N.A.Cardial
CA-2671-113	Cova Ànimes	M.M	Dena circular	Cardium sp			2	7,5	3	N.A.Cardial
CA-2671-114	Cova Ànimes	M.M	Dena circular	Cardium sp			2	8	4,5	N.A.Cardial
CA-2671-115	Cova Ànimes	M.M	Dena circular	Cardium sp			2	7	2	N.A.Cardial
CA-2671-116	Cova Ànimes	M.M	Dena circular	Cardium sp			3	9	5	N.A.Cardial

Sigla	Jaciment	Matèria	Objecte	Espècie	Amp	Long	Gruix	Diam	Dim. Perf.	CRONOLOGIA
CA-2671-117	Cova Ànimes	M.M	Dena circular	Cardium sp			2,5	8	2,5	N.A.Cardial
CA-2671-118	Cova Ànimes	M.M	Dena circular	Cardium sp			2,5	7,5	2	N.A.Cardial
CA-2671-119	Cova Ànimes	M.M	Dena circular	Cardium sp			1,5	7	2	N.A.Cardial
CA-2671-120	Cova Ànimes	M.M	Dena circular	Cardium sp			2	8	2	N.A.Cardial
CA-2671-121	Cova Ànimes	M.M	Dena circular	Cardium sp			2	8	2	N.A.Cardial
CA-2671-122	Cova Ànimes	M.M	Dena circular	Cardium sp			2	7	3	N.A.Cardial
CA-2671-123	Cova Ànimes	M.M	Dena circular	Cardium sp			2	7	3,5	N.A.Cardial
CA-2671-124	Cova Ànimes	M.M	Dena circular	Cardium sp			1,5	7	2	N.A.Cardial
CA-2671-125	Cova Ànimes	M.M	Dena circular	Cardium sp			4	9	4	N.A.Cardial
CA-2671-126	Cova Ànimes	M.M	Dena circular	Cardium sp			2	7,5	2	N.A.Cardial
CA-2671-127	Cova Ànimes	M.M	Dena circular	Cardium sp			2	8	2	N.A.Cardial
CA-2671-128	Cova Ànimes	M.M	Dena circular	Cardium sp			4,5	8,5	2,5	N.A.Cardial
CA-2671-129	Cova Ànimes	M.M	Dena circular	Cardium sp				8	2	N.A.Cardial
CA-2671-130	Cova Ànimes	M.M	Dena circular	Cardium sp			2,5	7,5	4,5	N.A.Cardial
CA-2671-131	Cova Ànimes	M.M	Dena circular	Cardium sp			2	9	3	N.A.Cardial
CA-2671-132	Cova Ànimes	M.M	Dena circular	Cardium sp			2	8	3	N.A.Cardial
CA-2671-133	Cova Ànimes	M.M	Dena circular	Cardium sp			2	8	2	N.A.Cardial
CA-2671-134	Cova Ànimes	M.M	Dena circular	Cardium sp			2	8	5	N.A.Cardial
CA-2671-135	Cova Ànimes	M.M	Dena circular	Cardium sp			2	7	3	N.A.Cardial
CA-2671-136	Cova Ànimes	M.M	Dena circular	Cardium sp			2	7	2	N.A.Cardial
CA-2671-137	Cova Ànimes	M.M	Dena circular	Cardium sp			2	7	2	N.A.Cardial
CA-2671-138	Cova Ànimes	M.M	Dena circular	Cardium sp			2,5	7,5	2	N.A.Cardial
CA-2671-139	Cova Ànimes	M.M	Dena circular	Cardium sp			1,5	7	2,5	N.A.Cardial
CA-2671-140	Cova Ànimes	M.M	Dena circular	Cardium sp			2	7	3,5	N.A.Cardial
CA-2671-141	Cova Ànimes	M.M	Dena circular	Cardium sp			2	7	2	N.A.Cardial
CA-2671-142	Cova Ànimes	M.M	Dena circular	Cardium sp			2	7,5	4	N.A.Cardial
CA-2671-143	Cova Ànimes	M.M	Dena circular	Cardium sp			4,5	9	3,5	N.A.Cardial
CA-2671-144	Cova Ànimes	M.M	Dena circular	Cardium sp			4,5	8	3	N.A.Cardial
CA-2671-145	Cova Ànimes	M.M	Dena circular	Cardium sp				7,5	2,5	N.A.Cardial
CA-2671-146	Cova Ànimes	M.M	Dena circular	Cardium sp			1,5	7	2	N.A.Cardial
CA-2671-147	Cova Ànimes	M.M	Dena circular	Cardium sp			2	7	2	N.A.Cardial
CA-2671-148	Cova Ànimes	M.M	Dena circular	Cardium sp			2	7	2	N.A.Cardial
CA-2671-149	Cova Ànimes	M.M	Dena circular	Cardium sp			2	7	3	N.A.Cardial
CA-2671-150	Cova Ànimes	M.M	Dena circular	Cardium sp			2	7	3	N.A.Cardial
CA-2671-151	Cova Ànimes	M.M	Dena circular	Cardium sp			2	7	2	N.A.Cardial
CA-2671-152	Cova Ànimes	M.M	Dena circular	Cardium sp			2,5	7,5	3	N.A.Cardial
CA-2671-153	Cova Ànimes	M.M	Dena circular	Cardium sp			2	8	4	N.A.Cardial
CA-2671-154	Cova Ànimes	M.M	Dena circular	Cardium sp			3	9	3,5	N.A.Cardial
CA-2671-155	Cova Ànimes	M.M	Dena circular	Cardium sp			2,5	8	2	N.A.Cardial
CA-2671-156	Cova Ànimes	M.M	Dena circular	Cardium sp			2	7,5	3,5	N.A.Cardial
CA-2671-157	Cova Ànimes	M.M	Dena circular	Cardium sp			4,5	9	5	N.A.Cardial
CA-2671-158	Cova Ànimes	M.M	Dena circular	Cardium sp			1,5	7	2,5	N.A.Cardial
CA-2671-159	Cova Ànimes	M.M	Dena circular	Cardium sp			2	7,5	2	N.A.Cardial
CA-2671-160	Cova Ànimes	M.M	Dena circular	Cardium sp			2	7	2	N.A.Cardial
CA-2671-161	Cova Ànimes	M.M	Dena circular	Cardium sp			2	7	2	N.A.Cardial
CA-2671-162	Cova Ànimes	M.M	Dena circular	Cardium sp			2,5	8	2	N.A.Cardial

Sigla	Jaciment	Matèria	Objecte	Espècie	Amp	Long	Gruix	Diam	Dim. Perf.	CRONOLOGIA
CA-2671-163	Cova Ànimes	M.M	Dena circular	Cardium sp			2	7	2	N.A.Cardial
CA-2671-164	Cova Ànimes	M.M	Dena circular	Cardium sp			2,5	8,5	3	N.A.Cardial
CA-2671-165	Cova Ànimes	M.M	Dena circular	Cardium sp			2	7	2	N.A.Cardial
CA-2671-166	Cova Ànimes	M.M	Dena circular	Cardium sp			2	8	2	N.A.Cardial
CA-2671-167	Cova Ànimes	M.M	Dena circular	Cardium sp			3	9	4,5	N.A.Cardial
CA-2671-168	Cova Ànimes	M.M	Dena circular	Cardium sp			2	7,5	2	N.A.Cardial
CA-2671-169	Cova Ànimes	M.M	Dena circular	Cardium sp			4,5	8	3	N.A.Cardial
CA-2671-170	Cova Ànimes	M.M	Dena circular	Cardium sp			4,5	8	3	N.A.Cardial
CA-2671-171	Cova Ànimes	M.M	Dena circular	Cardium sp			1,5	7	2	N.A.Cardial
CA-2671-172	Cova Ànimes	M.M	Dena circular	Cardium sp			2	7	3	N.A.Cardial
CA-2671-173	Cova Ànimes	M.M	Dena circular	Cardium sp			2,5	8,5	4	N.A.Cardial
CA-2671-174	Cova Ànimes	M.M	Dena circular	Cardium sp			2	7	3	N.A.Cardial
CA-2671-175	Cova Ànimes	M.M	Dena circular	Cardium sp			2	7,5	3,5	N.A.Cardial
CA-2671-176	Cova Ànimes	M.M	Dena circular	Cardium sp			2	7,5	2	N.A.Cardial
CA-2671-177	Cova Ànimes	M.M	Dena circular	Cardium sp			2	7	2	N.A.Cardial
CA-2671-178	Cova Ànimes	M.M	Dena circular	Cardium sp			4,5	8	2,5	N.A.Cardial
CA-2671-179	Cova Ànimes	M.M	Dena circular	Cardium sp			2,5	8	2	N.A.Cardial
CA-2671-180	Cova Ànimes	M.M	Dena circular	Cardium sp			2,5	8	2	N.A.Cardial
CA-2671-181	Cova Ànimes	M.M	Dena circular	Cardium sp			2	7,5	2	N.A.Cardial
CA-2671-182	Cova Ànimes	M.M	Dena circular	Cardium sp			2,5	8,5	4,5	N.A.Cardial
CA-2671-183	Cova Ànimes	M.M	Dena circular	Cardium sp			2	7	3	N.A.Cardial
CA-2671-184	Cova Ànimes	M.M	Dena circular	Cardium sp			1,5	7	3	N.A.Cardial
CA-2671-185	Cova Ànimes	M.M	Dena circular	Cardium sp			2	7	3	N.A.Cardial
CA-2671-186	Cova Ànimes	M.M	Dena circular	Cardium sp			2	7	3,5	N.A.Cardial
CA-2671-187	Cova Ànimes	M.M	Dena circular	Cardium sp			2	7	2	N.A.Cardial
CA-2671-188	Cova Ànimes	M.M	Dena circular	Cardium sp			2	7	2	N.A.Cardial
CA-2671-189	Cova Ànimes	M.M	Dena circular	Cardium sp			2	7	5	N.A.Cardial
CA-2671-190	Cova Ànimes	M.M	Dena circular	Cardium sp			2	8	2	N.A.Cardial
CA-2671-191	Cova Ànimes	M.M	Dena circular	Cardium sp			3	8	2	N.A.Cardial
CA-2671-192	Cova Ànimes	M.M	Dena circular	Cardium sp			2,5	8	4	N.A.Cardial
CA-2671-193	Cova Ànimes	M.M	Dena circular	Cardium sp			2	7,5	2	N.A.Cardial
CA-2671-194	Cova Ànimes	M.M	Dena circular	Cardium sp			4,5	8,5	3,5	N.A.Cardial
CA-2671-195	Cova Ànimes	M.M	Dena circular	Cardium sp			2	8	3	N.A.Cardial
CA-2671-196	Cova Ànimes	M.M	Dena circular	Cardium sp			2	7,5	2	N.A.Cardial
CA-2671-197	Cova Ànimes	M.M	Dena circular	Cardium sp			2	7	2,5	N.A.Cardial
CA-2671-198	Cova Ànimes	M.M	Dena circular	Cardium sp			2	7	2	N.A.Cardial
CA-2671-199	Cova Ànimes	M.M	Dena circular	Cardium sp			2	7	2	N.A.Cardial
CA-2671-200	Cova Ànimes	M.M	Dena circular	Cardium sp			2,5	8	2	N.A.Cardial
CA-2671-201	Cova Ànimes	M.M	Dena circular	Cardium sp			2	7,5	2	N.A.Cardial
CA-2671-202	Cova Ànimes	M.M	Dena circular	Cardium sp			2	7	2	N.A.Cardial
CA-2671-203	Cova Ànimes	M.M	Dena circular	Cardium sp			2	8	2	N.A.Cardial
CA-2671-204	Cova Ànimes	M.M	Dena circular	Cardium sp			2	8	2	N.A.Cardial
CA-2671-205	Cova Ànimes	M.M	Dena circular	Cardium sp			2	8	4,5	N.A.Cardial
CA-2671-206	Cova Ànimes	M.M	Dena circular	Cardium sp			1,5	7,5		N.A.Cardial
CA-2671-207	Cova Ànimes	M.M	Dena circular	Cardium sp				8	2,5	N.A.Cardial
CA-2671-208	Cova Ànimes	M.M	Dena circular	Cardium sp			4,5	9	5	N.A.Cardial

Sigla	Jaciment	Matèria	Objecte	Espècie	Amp	Long	Gruix	Diam	Dim. Perf.	CRONOLOGIA
CA-2671-209	Cova Ànimes	M.M	Dena circular	Cardium sp			2	8	2	N.A.Cardial
CA-2671-210	Cova Ànimes	M.M	Dena circular	Cardium sp			2	7	2	N.A.Cardial
CA-2671-211	Cova Ànimes	M.M	Dena circular	Cardium sp			2,5	8,5	3,5	N.A.Cardial
CA-2671-212	Cova Ànimes	M.M	Dena circular	Cardium sp			2,5	8,5	3	N.A.Cardial
CA-2671-213	Cova Ànimes	M.M	Dena circular	Cardium sp			3	8,5	3,5	N.A.Cardial
CA-2671-214	Cova Ànimes	M.M	Dena circular	Cardium sp			2	7	2	N.A.Cardial
CA-2671-215	Cova Ànimes	M.M	Dena circular	Cardium sp			2	7	2	N.A.Cardial
CA-2671-216	Cova Ànimes	M.M	Dena circular	Cardium sp			2	7	2	N.A.Cardial
CA-2671-217	Cova Ànimes	M.M	Dena circular	Cardium sp			2	7	2	N.A.Cardial
CA-2671-218	Cova Ànimes	M.M	Dena circular	Cardium sp			2,5	8	4	N.A.Cardial
CA-2671-219	Cova Ànimes	M.M	Dena circular	Cardium sp			3	8	2	N.A.Cardial
CA-2671-220	Cova Ànimes	M.M	Dena circular	Cardium sp			2	8	2	N.A.Cardial
CA-2671-221	Cova Ànimes	M.M	Dena circular	Cardium sp			2,5	7,5	3	N.A.Cardial
CA-2671-222	Cova Ànimes	M.M	Dena circular	Cardium sp			2	7,5	2	N.A.Cardial
CA-2671-223	Cova Ànimes	M.M	Dena circular	Cardium sp			2	7	2	N.A.Cardial
CA-2671-224	Cova Ànimes	M.M	Dena circular	Cardium sp			1,5	7,5	2,5	N.A.Cardial
CA-2671-225	Cova Ànimes	M.M	Dena circular	Cardium sp			2	9	3	N.A.Cardial
CA-2671-226	Cova Ànimes	M.M	Dena circular	Cardium sp			1,5	8	3	N.A.Cardial
CA-2671-227	Cova Ànimes	M.M	Dena circular	Cardium sp			2,5	8,5	3	N.A.Cardial
CA-2671-228	Cova Ànimes	M.M	Dena circular	Cardium sp			2	9	3	N.A.Cardial
CA-2671-229	Cova Ànimes	M.M	Dena-penjoll	Glycymeris sp	18,5	10	4,5		4	N.A.Cardial
CA-2671-230	Cova Ànimes	M.M	Dena-penjoll	Glycymeris sp	16	10	4		4	N.A.Cardial
CA-2671-231 4.20	Cova Ànimes	M.M	Dena-penjoll	Spondylus	16,5	9,75	6,5-2		3,5	N.A.Cardial
CA-2671-232	Cova Ànimes	M.M	Dena-penjoll	Spondylus	13,5	9,5	4		4	N.A.Cardial
CA-2671-233	Cova Ànimes	M.M	Dena-penjoll	Spondylus	14,5	12	8		5	N.A.Cardial
CA-2671-234	Cova Ànimes	M.M	Dena-penjoll	Spondylus	13	12	8		4,5	N.A.Cardial
CA-2671-235	Cova Ànimes	M.M	Dena-penjoll	Spondylus	18	10	4,5		3,5	N.A.Cardial
CA-2671-236	Cova Ànimes	M.M	Dena-penjoll	Spondylus	17	10	6		4,5	N.A.Cardial
CA-2671-237	Cova Ànimes	M.M	Dena-penjoll	Glycymeris sp?	13	13	7,5		5	N.A.Cardial
CA-2671-238	Cova Ànimes	M.M	Dena-penjoll	Spondylus	14	8	4		4,5	N.A.Cardial
CF-S21-talla 21-a (C6)	Cova del Frare	M.M	Dena circular	Cardium sp			2,5	9	3	N.A.Cardial
CF-S21-talla 21-b (C6)	Cova del Frare	Banya	fragment d'anell	Banya unguat	4,6	9,3	1,6			N.A.Cardial
CF-S21-talla 16 (C5b)	Cova del Frare	M.M	dena discoidal	Cardium sp			1	7,5	3	N.A.Epicardial
CF-X25-C5b-319	Cova del Frare	M.M	Gasteròpode perforat amb espira	Columbella rustica	15,7	9,8			4,8x3	N.A.Epicardial
CF-S23-49 (C5a)	Cova del Frare	M.M	fragment de petxina rodada	Glycymeris sp	35,5	9,25	4			N.A.Postcardial
CF-V24-C5a-85	Cova del Frare	M.M	fragment Braçalet	Glycymeris violascens	69	8,2	5,5	69	53,8	N.A.Postcardial
MHCB-20474-1	Sant Pau Camp	M.M	Dena circular	Cardium sp			1	5	4	N.A.Postcardial
MHCB-20474-2	Sant Pau Camp	M.M	Dena circular	Cardium sp			1	7	3	N.A.Postcardial
MHCB-20474-3	Sant Pau Camp	M.M	Dena circular	Cardium sp			5	8	4	N.A.Postcardial
MHCB-20474-4	Sant Pau Camp	M.M	Dena circular	Cardium sp			2	9	4	N.A.Postcardial
MHCB-20474-5	Sant Pau Camp	M.M	Dena circular	Cardium sp			2	8,5	3	N.A.Postcardial
MHCB-20474-6	Sant Pau Camp	M.M	Dena circular	Cardium sp			5	8	3	N.A.Postcardial
MHCB-20474-7	Sant Pau Camp	M.M	Dena circular	Cardium sp			2	8	3	N.A.Postcardial
MHCB-20474-8	Sant Pau Camp	M.M	Dena circular	Cardium sp			2	9	4	N.A.Postcardial
MHCB-20474-9	Sant Pau Camp	M.M	Dena circular	Cardium sp			1,5	8	3	N.A.Postcardial
MHCB-20474-10	Sant Pau Camp	M.M	Dena circular	Cardium sp			2	8	3	N.A.Postcardial

Sigla	Jaciment	Matèria	Objecte	Espècie	Amp	Long	Gruix	Diam	Dim. Perf.	CRONOLOGIA
MHCB-20474-11	Sant Pau Camp	M.M	Dena circular	Cardium sp			1,5	8	3	N.A.Postcardial
MHCB-20474-12	Sant Pau Camp	M.M	Dena circular	Cardium sp			2	9	4	N.A.Postcardial
MHCB-20474-13	Sant Pau Camp	M.M	Dena circular	Cardium sp			2	10	4	N.A.Postcardial
MHCB-20474-14	Sant Pau Camp	M.M	Dena circular	Cardium sp			3	9	3	N.A.Postcardial
MHCB-20474-15	Sant Pau Camp	M.M	Dena circular	Cardium sp			2	9	4	N.A.Postcardial
MHCB-20474-16	Sant Pau Camp	M.M	Dena circular	Cardium sp			1,5	10	4	N.A.Postcardial
MHCB-20474-17	Sant Pau Camp	M.M	Dena circular	Cardium sp			2	10	4	N.A.Postcardial
MHCB-20474-18	Sant Pau Camp	M.M	Dena circular	Cardium sp			3	12,5	4	N.A.Postcardial
MHCB-20474-19	Sant Pau Camp	M.M	Dena circular	Cardium sp			3	10	4	N.A.Postcardial
MHCB-20474-20	Sant Pau Camp	M.M	Dena circular	Cardium sp			4	13	6	N.A.Postcardial
MHCB-20474-21	Sant Pau Camp	M.M	Dena circular	Cardium sp			3	11	5	N.A.Postcardial
MHCB-20474-22	Sant Pau Camp	M.M	Dena circular	Cardium sp			5	11	4	N.A.Postcardial
MHCB-20474-23	Sant Pau Camp	M.M	Dena circular	Cardium sp			4	12	4	N.A.Postcardial
MHCB-20474-24	Sant Pau Camp	M.M	Dena circular	Cardium sp			3	14	4	N.A.Postcardial
MHCB-20474-25	Sant Pau Camp	M.M	Dena circular	Cardium sp			2	14	5	N.A.Postcardial
MHCB-20474-26	Sant Pau Camp	M.M	Dena circular	Cardium sp			4	12	3	N.A.Postcardial
MHCB-20474-27	Sant Pau Camp	M.M	Dena circular	Cardium sp			5	10	6	N.A.Postcardial
MHCB-20474-28	Sant Pau Camp	M.M	Dena circular	Cardium sp			2,5	14	5	N.A.Postcardial
MHCB-20474-29	Sant Pau Camp	M.M	Dena circular	Cardium sp			3	12	5	N.A.Postcardial
MHCB-20474-30	Sant Pau Camp	M.M	Dena circular	Cardium sp			4	11,5	6	N.A.Postcardial
MHCB-20474-31	Sant Pau Camp	M.M	Dena circular	Cardium sp			4	11,5	4	N.A.Postcardial
MHCB-20474-32	Sant Pau Camp	M.M	Dena circular	Cardium sp			4	10	3	N.A.Postcardial
MHCB-20474-33	Sant Pau Camp	M.M	Dena circular	Cardium sp			5	12	3	N.A.Postcardial
MHCB-20474-34	Sant Pau Camp	M.M	Dena circular	Cardium sp			3	9	4	N.A.Postcardial
MHCB-20474-35	Sant Pau Camp	M.M	Dena circular	Cardium sp			2	9,5	3	N.A.Postcardial
MHCB-20474-36	Sant Pau Camp	M.M	Dena circular	Cardium sp			2	9	3	N.A.Postcardial
MHCB-20474-37	Sant Pau Camp	M.M	Dena circular	Cardium sp			2	9	2	N.A.Postcardial
MHCB-20474-38	Sant Pau Camp	M.M	Dena circular	Cardium sp			2	10	3,5	N.A.Postcardial
MHCB-20474-39	Sant Pau Camp	M.M	Dena circular	Cardium sp			2	7	2	N.A.Postcardial
MHCB-20474-40	Sant Pau Camp	M.M	Dena circular	Cardium sp			1,5	9	2	N.A.Postcardial
MHCB-20474-41	Sant Pau Camp	M.M	Dena circular	Cardium sp			2	7	4	N.A.Postcardial
MHCB-20474-42	Sant Pau Camp	M.M	Dena circular	Cardium sp			2	7	4	N.A.Postcardial
MHCB-20474-43	Sant Pau Camp	M.M	Dena circular	Cardium sp			1,5	7	2	N.A.Postcardial
MHCB-20474-44	Sant Pau Camp	M.M	Dena circular	Cardium sp			1,5	7	4	N.A.Postcardial
MHCB-20474-45	Sant Pau Camp	M.M	Dena circular	Cardium sp			1,5	7	4	N.A.Postcardial
MHCB-20474-46	Sant Pau Camp	M.M	Dena circular	Cardium sp			1,5	7	4	N.A.Postcardial
MHCB-20474-47	Sant Pau Camp	M.M	Dena circular	Glycymeris sp			1,5	7	3	N.A.Postcardial
MHCB-20474-48	Sant Pau Camp	M.M	Dena circular	Glycymeris sp			1	6,5	4	N.A.Postcardial
MHCB-20474-49	Sant Pau Camp	M.M	Dena circular	Spondylus sp			1	5	2	N.A.Postcardial
MHCB-20474-50	Sant Pau Camp	M.M	Dena circular	Spondylus sp			1	5	2	N.A.Postcardial
MHCB-20474-51	Sant Pau Camp	Mineral	Dena circular	Lignit			1,5	6	3	N.A.Postcardial
MHCB-20474-52	Sant Pau Camp	Mineral	Dena circular	Lignit			1,5	5,5	3	N.A.Postcardial
MHCB-20474-53	Sant Pau Camp	Mineral	Dena circular	Lignit			1,5	5,5	3	N.A.Postcardial
MHCB-20474-54	Sant Pau Camp	Mineral	Dena circular	Lignit			1,5	5	3	N.A.Postcardial
MHCB-20474-55	Sant Pau Camp	Mineral	Dena circular	Lignit			2	6	3	N.A.Postcardial
MHCB-20474-56	Sant Pau Camp	Mineral	Dena circular	Lignit			2,5	6	3	N.A.Postcardial

Sigla	Jaciment	Matèria	Objecte	Espècie	Amp	Long	Gruix	Diam	Dim. Perf.	CRONOLOGIA
MHCB-20474-57	Sant Pau Camp	Mineral	Dena circular	Lignit			1,5	5	3	N.A.Postcardial
MHCB-20474-58	Sant Pau Camp	Mineral	Dena circular	Lignit			1,5	5,5	3	N.A.Postcardial
MHCB-20474-59	Sant Pau Camp	Mineral	Dena circular	Lignit			2	6	3	N.A.Postcardial
MHCB-20474-60	Sant Pau Camp	Mineral	Dena circular	Lignit			1,5	6	3	N.A.Postcardial
MHCB-20474-61	Sant Pau Camp	Mineral	Dena circular	Lignit			2,5	6	3	N.A.Postcardial
MHCB-20474-62	Sant Pau Camp	Mineral	Dena circular	Lignit			1,5	5,5	3	N.A.Postcardial
MHCB-20474-63	Sant Pau Camp	Mineral	Dena circular	Lignit			2	6	3	N.A.Postcardial
MHCB-20474-64	Sant Pau Camp	Mineral	Dena circular	Lignit			1,5	5	3	N.A.Postcardial
MHCB-20474-65	Sant Pau Camp	Mineral	Dena circular	Lignit			1,5	5	3	N.A.Postcardial
MHCB-20474-66	Sant Pau Camp	Mineral	Dena circular	Lignit			1,5	5,5	3	N.A.Postcardial
MHCB-20474-67	Sant Pau Camp	Mineral	Dena circular	Lignit			2	6	3	N.A.Postcardial
MHCB-20474-68	Sant Pau Camp	Mineral	Dena circular	Lignit			2,5	6	3	N.A.Postcardial
MHCB-20474-69	Sant Pau Camp	Mineral	Dena circular	Lignit			2	6	3	N.A.Postcardial
MHCB-20472-1	Sant Pau Camp	Mineral	Dena circular	Lignit			1,5	5	3	N.A.Postcardial
MHCB-20472-2	Sant Pau Camp	Mineral	Dena circular	Lignit			2	6,5	3	N.A.Postcardial
MHCB-20472-3	Sant Pau Camp	Mineral	Dena circular	Lignit			2	6,5	3	N.A.Postcardial
MHCB-20472-4	Sant Pau Camp	Mineral	Dena circular	Lignit			2	6,5	3	N.A.Postcardial
MHCB-20472-5	Sant Pau Camp	Mineral	Dena circular	Lignit			2	6,5	3	N.A.Postcardial
MHCB-20472-6	Sant Pau Camp	Mineral	Dena circular	Lignit			2,5	6,5	3	N.A.Postcardial
MHCB-20472-7	Sant Pau Camp	Mineral	Dena circular	Lignit			1,5	5	3	N.A.Postcardial
MHCB-20472-8	Sant Pau Camp	Mineral	Dena circular	Lignit			2,5	6,5	3	N.A.Postcardial
MHCB-20472-9	Sant Pau Camp	Mineral	Dena circular	Lignit			2	6	3	N.A.Postcardial
MHCB-20472-10	Sant Pau Camp	Mineral	Dena circular	Lignit			2	5	3	N.A.Postcardial
MHCB-20472-11	Sant Pau Camp	Mineral	Dena circular	Lignit			2	6,5	3	N.A.Postcardial
MHCB-20472-12	Sant Pau Camp	Mineral	Dena circular	Lignit			2	6,5	3	N.A.Postcardial
MHCB-20472-13	Sant Pau Camp	Mineral	Dena circular	Lignit			2	5	3	N.A.Postcardial
MHCB-20472-14	Sant Pau Camp	Mineral	Dena circular	Lignit			2	5	3	N.A.Postcardial
MHCB-20472-15	Sant Pau Camp	Mineral	Dena circular	Lignit			2,5	6,5	3	N.A.Postcardial
MHCB-20472-16	Sant Pau Camp	Mineral	Dena circular	Lignit			2,5	6,5	3	N.A.Postcardial
MHCB-20472-17	Sant Pau Camp	Mineral	Dena circular	Lignit			1,5	5	3	N.A.Postcardial
MHCB-20472-18	Sant Pau Camp	Mineral	Dena circular	Lignit			1,5	5	3	N.A.Postcardial
MHCB-20472-19	Sant Pau Camp	Mineral	Dena circular	Lignit			2,5	6	3	N.A.Postcardial
MHCB-20472-20	Sant Pau Camp	Mineral	Dena circular	Lignit			2,5	6	3	N.A.Postcardial
MHCB-20472-21	Sant Pau Camp	Mineral	Dena circular	Lignit			2,5	6	3	N.A.Postcardial
MHCB-20472-22	Sant Pau Camp	Mineral	Dena circular	Lignit			1,5	6	3	N.A.Postcardial
MHCB-20472-23	Sant Pau Camp	Mineral	Dena circular	Lignit			2,5	6,5	3	N.A.Postcardial
MHCB-20472-24	Sant Pau Camp	Mineral	Dena circular	Lignit			2,5	6,5	3	N.A.Postcardial
MHCB-20472-25	Sant Pau Camp	Mineral	Dena circular	Lignit			1,5	5	3	N.A.Postcardial
MHCB-20472-26	Sant Pau Camp	Mineral	Dena circular	Lignit			1,5	5	3	N.A.Postcardial
MHCB-20472-27	Sant Pau Camp	Mineral	Dena circular	Lignit			2	6	3	N.A.Postcardial
MHCB-20472-28	Sant Pau Camp	Mineral	Dena circular	Lignit			2	6	3	N.A.Postcardial
MHCB-20472-29	Sant Pau Camp	Mineral	Dena circular	Lignit			2	6	3	N.A.Postcardial
MHCB-20472-30	Sant Pau Camp	Mineral	Dena circular	Lignit			2	6	3	N.A.Postcardial
MHCB-20472-31	Sant Pau Camp	Mineral	Dena circular	Lignit			2	6	3	N.A.Postcardial
MHCB-20472-32	Sant Pau Camp	Mineral	Dena circular	Lignit			2	6	3	N.A.Postcardial
MHCB-20472-33	Sant Pau Camp	Mineral	Dena circular	Lignit			2	6	3	N.A.Postcardial

Sigla	Jaciment	Matèria	Objecte	Espècie	Amp	Long	Gruix	Diam	Dim. Perf.	CRONOLOGIA
MHCB-20472-34	Sant Pau Camp	Mineral	Dena circular	Lignit			2,5	6	3	N.A.Postcardial
MHCB-20472-35	Sant Pau Camp	Mineral	Dena circular	Lignit			2,5	6	3	N.A.Postcardial
MHCB-20472-36	Sant Pau Camp	Mineral	Dena circular	Lignit			2,5	6,5	3	N.A.Postcardial
MHCB-20472-37	Sant Pau Camp	Mineral	Dena circular	Lignit			1,5	6	3	N.A.Postcardial
MHCB-20472-38	Sant Pau Camp	Mineral	Dena circular	Lignit			1,5	6	3	N.A.Postcardial
MHCB-20472-39	Sant Pau Camp	Mineral	Dena circular	Lignit			1,5	6	3	N.A.Postcardial
MHCB-20472-40	Sant Pau Camp	Mineral	Dena circular	Lignit			1,5	6	3	N.A.Postcardial
MHCB-20472-41	Sant Pau Camp	Mineral	Dena circular	Lignit			1,5	6	3	N.A.Postcardial
MHCB-20472-42	Sant Pau Camp	Mineral	Dena circular	Lignit			1,5	6	3	N.A.Postcardial
MHCB-20472-43	Sant Pau Camp	Mineral	Dena circular	Lignit			2,5	6	3	N.A.Postcardial
MHCB-20472-44	Sant Pau Camp	Mineral	Dena circular	Lignit			2,5	6,5	3	N.A.Postcardial
MHCB-20472-45	Sant Pau Camp	Mineral	Dena circular	Lignit			2,5	6,5	3	N.A.Postcardial
MHCB-20472-46	Sant Pau Camp	Mineral	Dena circular	Lignit			2,5	6,5	3	N.A.Postcardial
MHCB-20472-47	Sant Pau Camp	Mineral	Dena circular	Lignit			2,5	6,5	3	N.A.Postcardial
MHCB-20472-48	Sant Pau Camp	Mineral	Dena circular	Lignit			1,5	6	3	N.A.Postcardial
MHCB-20472-49	Sant Pau Camp	Mineral	Dena circular	Lignit			1,5	6	3	N.A.Postcardial
MHCB-20472-50	Sant Pau Camp	Mineral	Dena circular	Lignit			1,5	6	3	N.A.Postcardial
MHCB-20472-51	Sant Pau Camp	Mineral	Dena circular	Lignit			1,5	6	3	N.A.Postcardial
MHCB-20472-52	Sant Pau Camp	Mineral	Dena circular	Lignit			2	6	3	N.A.Postcardial
MHCB-20472-53	Sant Pau Camp	Mineral	Dena circular	Lignit			2	6	3	N.A.Postcardial
MHCB-20472-54	Sant Pau Camp	Mineral	Dena circular	Lignit			2	6	3	N.A.Postcardial
MHCB-20472-55	Sant Pau Camp	Mineral	Dena circular	Lignit			2	6	3	N.A.Postcardial
MHCB-20472-56	Sant Pau Camp	Mineral	Dena circular	Lignit			2	6	3	N.A.Postcardial
MHCB-20472-57	Sant Pau Camp	Mineral	Dena circular	Lignit			2	6	3	N.A.Postcardial
MHCB-20472-58	Sant Pau Camp	Mineral	Dena circular	Lignit			2	6	3	N.A.Postcardial
MHCB-20472-59	Sant Pau Camp	Mineral	Dena circular	Lignit			2	6	3	N.A.Postcardial
MHCB-20472-60	Sant Pau Camp	M.M	Dena circular	Cardium sp			2	6	3	N.A.Postcardial
MHCB-20472-61	Sant Pau Camp	M.M	Dena circular	Cardium sp			2	6	3	N.A.Postcardial
MHCB-20472-62	Sant Pau Camp	M.M	Dena circular	Cardium sp			2	6	3	N.A.Postcardial
MHCB-20472-63	Sant Pau Camp	M.M	Dena circular	Cardium sp			2	6	3	N.A.Postcardial
MHCB-28794-1	Sant Pau Camp	M.M	Dena circular	Glycymeris sp	11	10	4,5		5	N.A.Postcardial
MHCB-28791-1	Sant Pau Camp	Pedra	Penjoll	Variscita	13	21	9		3	N.A.Postcardial
MHCB-28006-1	Sant Pau Camp	M.M	Dena circular	nd			4	10	3	N.A.Postcardial
MHCB-28006-2	Sant Pau Camp	M.M	Dena circular	cardium sp			2	6,5	3	N.A.Postcardial
MHCB-28006-3	Sant Pau Camp	M.M	Dena circular	cardium sp			2	6,5	3	N.A.Postcardial
MHCB-28006-4	Sant Pau Camp	M.M	Dena circular	cardium sp			2	7	3	N.A.Postcardial
MHCB-28006-5	Sant Pau Camp	M.M	Dena circular	cardium sp			2	9	3	N.A.Postcardial
MHCB-28006-6	Sant Pau Camp	M.M	Dena circular	cardium sp			2	9	3	N.A.Postcardial
MHCB-28006-7	Sant Pau Camp	M.M	Dena circular	Glycymeris sp			3,5	9,5	3	N.A.Postcardial
MHCB-28006-8	Sant Pau Camp	M.M	Dena circular	Glycymeris sp			3	10	3	N.A.Postcardial
MHCB-28006-9	Sant Pau Camp	M.M	Dena circular	Glycymeris sp			3,5	11	3	N.A.Postcardial
MHCB-28006-10	Sant Pau Camp	M.M	Dena circular	Glycymeris sp			3,5	11	3	N.A.Postcardial
MHCB-28006-11	Sant Pau Camp	M.M	Dena circular	Glycymeris sp			3,5	12	3	N.A.Postcardial
MHCB-28006-12	Sant Pau Camp	M.M	Dena circular	Spondylus sp			5	3	3	N.A.Postcardial
MHCB-28006-13	Sant Pau Camp	M.M	Dena circular	Glycymeris sp			4	13	3	N.A.Postcardial
MHCB-28006-14	Sant Pau Camp	M.M	Dena circular	Spondylus sp			5,5	15	3	N.A.Postcardial

Sigla	Jaciment	Matèria	Objecte	Espècie	Amp	Long	Gruix	Diam	Dim. Perf.	CRONOLOGIA
MHCB-28006-15	Sant Pau Camp	M.M	Dena circular	Glycymeris sp			4	13	3	N.A.Postcardial
MHCB-28006-16	Sant Pau Camp	M.M	Dena circular	Glycymeris sp			4	11	3	N.A.Postcardial
MHCB-28006-17	Sant Pau Camp	M.M	Dena circular	Glycymeris sp			4	13,5	3	N.A.Postcardial
MHCB-28006-18	Sant Pau Camp	M.M	Dena circular	Glycymeris sp			3	12	3	N.A.Postcardial
MHCB-28006-19	Sant Pau Camp	M.M	Dena circular	Glycymeris sp			3	11	3	N.A.Postcardial
MHCB-28006-20	Sant Pau Camp	M.M	Dena circular	cardium sp			3	10	3	N.A.Postcardial
MHCB-28006-21	Sant Pau Camp	M.M	Dena circular	cardium sp			2	9	3	N.A.Postcardial
MHCB-28006-22	Sant Pau Camp	M.M	Dena circular	cardium sp			3	10	3	N.A.Postcardial
MHCB-28006-23	Sant Pau Camp	M.M	Dena circular	cardium sp			2	8	3	N.A.Postcardial
MHCB-28006-24	Sant Pau Camp	M.M	Dena circular	cardium sp			2	8	3	N.A.Postcardial
MHCB-28006-25	Sant Pau Camp	M.M	Dena circular	cardium sp			2	9	3	N.A.Postcardial
MHCB-28006-26	Sant Pau Camp	M.M	Dena circular	cardium sp			2	9	3	N.A.Postcardial
MHCB-28006-27	Sant Pau Camp	M.M	Dena circular	cardium sp			2	9	3	N.A.Postcardial
MHCB-28006-28	Sant Pau Camp	M.M	Dena circular	cardium sp			2	9	3	N.A.Postcardial
MHCB-28006-29	Sant Pau Camp	M.M	Dena circular	cardium sp			2	8	3	N.A.Postcardial
MHCB-28006-30	Sant Pau Camp	M.M	Dena circular	cardium sp			1,5	8	3	N.A.Postcardial
MHCB-28006-31	Sant Pau Camp	M.M	Dena circular	cardium sp			2	8	3	N.A.Postcardial
MHCB-28006-32	Sant Pau Camp	M.M	Dena circular	ND			2	10	3	N.A.Postcardial
MHCB-28006-33	Sant Pau Camp	Mineral	Dena circular	Lignit			2	6	3	N.A.Postcardial
MHCB-28006-34	Sant Pau Camp	Mineral	Dena circular	Lignit			2	6	3	N.A.Postcardial
MHCB-28006-35	Sant Pau Camp	Mineral	Dena circular	Lignit			1,5	6	3	N.A.Postcardial
MHCB-28006-36	Sant Pau Camp	Mineral	Dena circular	Lignit			1,5	6	3	N.A.Postcardial
MHCB-28006-37	Sant Pau Camp	Mineral	Dena circular	Lignit			1,5	6	3	N.A.Postcardial
MHCB-28006-38	Sant Pau Camp	Mineral	Dena circular	Lignit			1,5	6	3	N.A.Postcardial
MHCB-28006-39	Sant Pau Camp	Mineral	Dena circular	Lignit			2	6	3	N.A.Postcardial
MHCB-28006-40	Sant Pau Camp	Mineral	Dena circular	Lignit			2	6	3	N.A.Postcardial
MHCB-28006-41	Sant Pau Camp	Mineral	Dena circular	Lignit			2	6	3	N.A.Postcardial
MHCB-28006-42	Sant Pau Camp	Mineral	Dena circular	Lignit			2	6	3	N.A.Postcardial
MHCB-28006-43	Sant Pau Camp	Mineral	Dena circular	Lignit			1,5	6	3	N.A.Postcardial
MHCB-28006-44	Sant Pau Camp	Mineral	Dena circular	Lignit			1,5	6	3	N.A.Postcardial
MHCB-28006-45	Sant Pau Camp	Mineral	Dena circular	Lignit			2	6	3	N.A.Postcardial
MHCB-28006-46	Sant Pau Camp	Mineral	Dena circular	Lignit			2	6	3	N.A.Postcardial
MHCB-28006-47	Sant Pau Camp	Mineral	Dena circular	Lignit			2	6	3	N.A.Postcardial
MHCB-28006-48	Sant Pau Camp	Mineral	Dena circular	Lignit			2	6	3	N.A.Postcardial
MHCB-28006-49	Sant Pau Camp	Mineral	Dena circular	Lignit			2	6	3	N.A.Postcardial
MHCB-28006-50	Sant Pau Camp	Mineral	Dena circular	Lignit			2	6	3	N.A.Postcardial
MHCB-28837-1	Sant Pau Camp	M.M	Dena-penjoll	Glycymeris sp	9	20	5		4	N.A.Postcardial
MHCB-28837-2	Sant Pau Camp	M.M	Dena circular	cardium sp			2	6	3	N.A.Postcardial
MHCB-28837-3	Sant Pau Camp	M.M	Dena circular	cardium sp			2	6	3	N.A.Postcardial
MHCB-28837-4	Sant Pau Camp	M.M	Dena circular	cardium sp			2	6	3	N.A.Postcardial
MHCB-28837-5	Sant Pau Camp	M.M	Dena circular	cardium sp			2	5	3	N.A.Postcardial
MHCB-28837-6	Sant Pau Camp	M.M	Dena circular	cardium sp			2	5	3	N.A.Postcardial
MHCB-28837-7	Sant Pau Camp	M.M	Dena circular	cardium sp			2	5	3	N.A.Postcardial
MHCB-28837-8	Sant Pau Camp	M.M	Dena circular	cardium sp			2	5	3	N.A.Postcardial
MHCB-28837-9	Sant Pau Camp	M.M	Dena circular	cardium sp			2	5	3	N.A.Postcardial
MHCB-28837-10	Sant Pau Camp	M.M	Dena circular	cardium sp			2	5	3	N.A.Postcardial

Sigla	Jaciment	Matèria	Objecte	Espècie	Amp	Long	Gruix	Diam	Dim. Perf.	CRONOLOGIA
MHCB-28837-11	Sant Pau Camp	M.M	Dena circular	cardium sp			2	5	3	N.A.Postcardial
MHCB-28837-12	Sant Pau Camp	M.M	Dena circular	cardium sp			2	5	3	N.A.Postcardial
MHCB-28792-1	Sant Pau Camp	M.M	Dena circular	Cardium sp			2,5	12,2	4	N.A.Postcardial
MHCB-28792-2	Sant Pau Camp	M.M	Dena circular	Cardium sp			3	12	4	N.A.Postcardial
MHCB-28792-3	Sant Pau Camp	M.M	Dena circular	Cardium sp			3	12	4	N.A.Postcardial
MHCB-28792-4	Sant Pau Camp	M.M	Dena circular	Cardium sp			3	12	4	N.A.Postcardial
MHCB-28792-5	Sant Pau Camp	M.M	Dena circular	Cardium sp			3	12	4	N.A.Postcardial
MHCB-28792-6	Sant Pau Camp	M.M	Dena circular	Cardium sp			3,5	12,5	4	N.A.Postcardial
MHCB-28792-7	Sant Pau Camp	M.M	Dena circular	Cardium sp			3,5	12,5	4	N.A.Postcardial
MHCB-28792-8	Sant Pau Camp	M.M	Dena circular	Cardium sp			3,5	12,5	4	N.A.Postcardial
MHCB-28792-9	Sant Pau Camp	M.M	Dena circular	Cardium sp			3,5	12,5	4	N.A.Postcardial
MHCB-28792-10	Sant Pau Camp	M.M	Dena circular	Cardium sp			3	12	4	N.A.Postcardial
MHCB-28792-11	Sant Pau Camp	M.M	Dena circular	Glycymeris sp			4	12,2	4	N.A.Postcardial
MHCB-28792-12	Sant Pau Camp	M.M	Dena circular	Spondylus sp			4,5	12,3	4	N.A.Postcardial
MHCB-28792-13	Sant Pau Camp	M.M	Dena circular	Cardium sp			3,5	12	4	N.A.Postcardial
MHCB-28792-14	Sant Pau Camp	M.M	Dena circular	Spondylus sp			4,5	12,2	4	N.A.Postcardial
MHCB-28792-15	Sant Pau Camp	M.M	Dena circular	Glycymeris sp			4	12	4	N.A.Postcardial
MHCB-28792-16	Sant Pau Camp	M.M	Dena circular	Spondylus sp			4,5	12,5	4	N.A.Postcardial
MHCB-28792-17	Sant Pau Camp	M.M	Dena circular	Glycymeris sp			4	12	4	N.A.Postcardial
MHCB-28792-18	Sant Pau Camp	M.M	Dena circular	Cardium sp			3,5	12,2	4	N.A.Postcardial
MHCB-28792-19	Sant Pau Camp	M.M	Dena circular	Cardium sp			3,5	12	4	N.A.Postcardial
MHCB-28792-20	Sant Pau Camp	M.M	Dena circular	Spondylus sp			4,5	12,3	4	N.A.Postcardial
MHCB-28792-21	Sant Pau Camp	M.M	Dena circular	Cardium sp			3	12	4	N.A.Postcardial
MHCB-28792-22	Sant Pau Camp	M.M	Dena circular	Glycymeris sp			4	12,5	4	N.A.Postcardial
MHCB-28792-23	Sant Pau Camp	M.M	Dena circular	Cardium sp			3	12	4	N.A.Postcardial
MHCB-28792-24	Sant Pau Camp	M.M	Dena circular	Cardium sp			2,5	12	4	N.A.Postcardial
MHCB-28792-25	Sant Pau Camp	M.M	Dena circular	Cardium sp			2,5	12	4	N.A.Postcardial
MHCB-28793-1	Sant Pau Camp	M.M	Dena circular	Cardium sp			2,5	12	4	N.A.Postcardial
MHCB-28793-2	Sant Pau Camp	M.M	Dena circular	Cardium sp	10	7	6		4	N.A.Postcardial
MHCB-28793-3	Sant Pau Camp	M.M	Dena circular	Spondylus sp			5	12	5	N.A.Postcardial
MHCB-28793-4	Sant Pau Camp	M.M	Dena circular	Cardium sp			5	12	5	N.A.Postcardial
MHCB-28793-5	Sant Pau Camp	M.M	Dena circular	Cardium sp			3	11	3	N.A.Postcardial
MHCB-28793-6	Sant Pau Camp	M.M	Dena circular	Cardium sp			5	12	5	N.A.Postcardial
MHCB-28795-1	Sant Pau Camp	M.M	Dena circular	Cardium sp			3	8	4	N.A.Postcardial
MHCB-28795-2	Sant Pau Camp	M.M	Dena circular	Cardium sp			3	8	4	N.A.Postcardial
MHCB-28795-3	Sant Pau Camp	M.M	Dena circular	Cardium sp			3	8	4,5	N.A.Postcardial
MHCB-28795-4	Sant Pau Camp	M.M	Dena circular	Cardium sp			3	9	4,5	N.A.Postcardial
MHCB-28795-5	Sant Pau Camp	M.M	Dena circular	Glycymeris sp			4	11	4,5	N.A.Postcardial
MHCB-28795-6	Sant Pau Camp	M.M	Dena circular	Glycymeris sp			4,5	12	4,5	N.A.Postcardial
MHCB-28796-1	Sant Pau Camp	Pedra	Dena circular	Calcita			6	13,5	5,5	N.A.Postcardial
MHCB-28796-2	Sant Pau Camp	M.M	Dena-penjoll	Cardium sp	13	16	3,5		5	N.A.Postcardial
MHCB-28796-3	Sant Pau Camp	Mineral	Dena circular	serpentina			1,5	7,5	3,5	N.A.Postcardial
MHCB-28796-4	Sant Pau Camp	M.M	Dena circular	Cardium sp			1	6	2,5	N.A.Postcardial
MHCB-28796-5	Sant Pau Camp	M.M	Fragments denes	ND						N.A.Postcardial
MHCB-28796-6	Sant Pau Camp	Mineral	Fragments denes	Lignit						N.A.Postcardial
MHCB-28800-1	Sant Pau Camp	M.M	Dena circular	Glycymeris sp			2	8	3	N.A.Postcardial

Sigla	Jaciment	Matèria	Objecte	Espècie	Amp	Long	Gruix	Diam	Dim. Perf.	CRONOLOGIA
MHCB-28802-1	Sant Pau Camp	M.M	Dena circular	Cardium sp			2	10	3	N.A.Postcardial
MHCB-28802-2	Sant Pau Camp	M.M	Dena circular	Cardium sp			2	10	3	N.A.Postcardial
MHCB-28802-3	Sant Pau Camp	M.M	Dena circular	Spondylus sp			4	12,5	4	N.A.Postcardial
MHCB-28802-4	Sant Pau Camp	M.M	Dena circular	Cardium sp			1	9	4	N.A.Postcardial
MHCB-28802-5	Sant Pau Camp	M.M	Dena circular	Cardium sp			2	10	4	N.A.Postcardial
MHCB-28802-6	Sant Pau Camp	M.M	Dena circular	Cardium sp			2	9	4	N.A.Postcardial
MHCB-28802-7	Sant Pau Camp	M.M	Dena circular	Cardium sp			2	9	4	N.A.Postcardial
MHCB-28802-8	Sant Pau Camp	M.M	Dena circular	Cardium sp			2	10	4	N.A.Postcardial
MHCB-28802-9	Sant Pau Camp	M.M	Dena circular	Cardium sp			2	9	3	N.A.Postcardial
MHCB-28802-10	Sant Pau Camp	M.M	Dena circular	Cardium sp			1	9	3	N.A.Postcardial
MHCB-28802-11	Sant Pau Camp	Mineral	Dena circular	Lignit			2	6	3	N.A.Postcardial
MHCB-28802-12	Sant Pau Camp	Mineral	Dena circular	Lignit			2	6	3	N.A.Postcardial
MHCB-28802-13	Sant Pau Camp	Mineral	Dena circular	Lignit			2	6	3	N.A.Postcardial
MHCB-28802-14	Sant Pau Camp	Mineral	Dena circular	Lignit			1,5	6	3	N.A.Postcardial
MHCB-28802-15	Sant Pau Camp	Mineral	Dena circular	Lignit			2	6	3	N.A.Postcardial
MHCB-28802-16	Sant Pau Camp	Mineral	Dena circular	Lignit			2	6	3	N.A.Postcardial
MHCB-28802-17	Sant Pau Camp	Mineral	Dena circular	Lignit			1,5	6	3	N.A.Postcardial
MHCB-28802-18	Sant Pau Camp	Mineral	Dena circular	Lignit			2	6	3	N.A.Postcardial
MHCB-28802-19	Sant Pau Camp	Mineral	Dena circular	Lignit			2	6	3	N.A.Postcardial
MHCB-28802-20	Sant Pau Camp	Mineral	Dena circular	Lignit			2	6	3	N.A.Postcardial
MHCB-28802-21	Sant Pau Camp	Mineral	Dena circular	Lignit			2	6	3	N.A.Postcardial
MHCB-28802-22	Sant Pau Camp	Mineral	Dena circular	Lignit			2	6	3	N.A.Postcardial
MHCB-28802-23	Sant Pau Camp	Mineral	Dena circular	Lignit			2	6	3	N.A.Postcardial
MHCB-28802-24	Sant Pau Camp	Mineral	Dena circular	Lignit			1,5	6	3	N.A.Postcardial
MHCB-28802-25	Sant Pau Camp	Mineral	Dena circular	Lignit			1,5	6	3	N.A.Postcardial
MHCB-28802-26	Sant Pau Camp	Mineral	Dena circular	Lignit			1,5	6	3	N.A.Postcardial
MHCB-28802-27	Sant Pau Camp	Mineral	Dena circular	Lignit			1,5	6	3	N.A.Postcardial
MHCB-28802-28	Sant Pau Camp	Mineral	Dena circular	Lignit			1,5	6	3	N.A.Postcardial
MHCB-28802-29	Sant Pau Camp	Mineral	Dena circular	Lignit			2	6	3	N.A.Postcardial
MHCB-28802-30	Sant Pau Camp	Mineral	Dena circular	Lignit			2	6	3	N.A.Postcardial
MHCB-28802-31	Sant Pau Camp	Mineral	Dena circular	Lignit			2	6	3	N.A.Postcardial
MHCB-28802-32	Sant Pau Camp	Mineral	Dena circular	Lignit			2	6	3	N.A.Postcardial
MHCB-28802-33	Sant Pau Camp	Mineral	Dena circular	Lignit			2	6	3	N.A.Postcardial
MHCB-28802-34	Sant Pau Camp	Mineral	Dena circular	Lignit			1,5	6	3	N.A.Postcardial
MHCB-28802-35	Sant Pau Camp	Mineral	Dena circular	Lignit			2	6	3	N.A.Postcardial
MHCB-28802-36	Sant Pau Camp	Mineral	Dena circular	Lignit			1,5	6	3	N.A.Postcardial
MHCB-28802-37	Sant Pau Camp	Mineral	Dena circular	Lignit			1,5	6	3	N.A.Postcardial
MHCB-28802-38	Sant Pau Camp	Mineral	Dena circular	Lignit			2	6	3	N.A.Postcardial
MHCB-28802-39	Sant Pau Camp	Mineral	Dena circular	Lignit			2	6	3	N.A.Postcardial
MHCB-28802-40	Sant Pau Camp	Mineral	Dena circular	Lignit			1,5	6	3	N.A.Postcardial
MHCB-28802-41	Sant Pau Camp	Mineral	Dena circular	Lignit			2	6	3	N.A.Postcardial
MHCB-28802-42	Sant Pau Camp	Mineral	Dena circular	Lignit			2	6	3	N.A.Postcardial
MHCB-28802-43	Sant Pau Camp	Mineral	Dena circular	Lignit			1,5	6	3	N.A.Postcardial
MHCB-28802-44	Sant Pau Camp	Mineral	Dena circular	Lignit			2	6	3	N.A.Postcardial
MHCB-28802-45	Sant Pau Camp	Mineral	Dena circular	Lignit			2	6	3	N.A.Postcardial
MHCB-28802-46	Sant Pau Camp	Mineral	Dena circular	Lignit			2	6	3	N.A.Postcardial

Sigla	Jaciment	Matèria	Objecte	Espècie	Amp	Long	Gruix	Diam	Dim. Perf.	CRONOLOGIA
MHCB-28802-47	Sant Pau Camp	Mineral	Dena circular	Lignit			2	6	3	N.A.Postcardial
MHCB-28802-48	Sant Pau Camp	Mineral	Dena circular	Lignit			2	6	3	N.A.Postcardial
MHCB-28803-1	Sant Pau Camp	M.M	Dena circular	Glycymeris sp			1,5	8	3	N.A.Postcardial
MHCB-28803-2	Sant Pau Camp	M.M	Dena circular	Cardium sp			3,5	12	3,5	N.A.Postcardial
MHCB-28803-3	Sant Pau Camp	M.M	Dena circular	Glycymeris sp			3	13	4	N.A.Postcardial
MHCB-28803-4	Sant Pau Camp	M.M	Dena circular	Glycymeris sp			3,5	12	3,5	N.A.Postcardial
MHCB-28803-5	Sant Pau Camp	M.M	Dena circular	Glycymeris sp			3,5	12	3,5	N.A.Postcardial
MHCB-28803-6	Sant Pau Camp	M.M	Dena circular	Glycymeris sp			3,5	12	3,5	N.A.Postcardial
MHCB-28803-7	Sant Pau Camp	M.M	Dena circular	Glycymeris sp			3,5	12	3,5	N.A.Postcardial
MHCB-28803-8	Sant Pau Camp	M.M	Dena circular	Spondylus sp			4	12	4	N.A.Postcardial
MHCB-28803-9	Sant Pau Camp	M.M	Dena circular	Glycymeris sp			3	12	4	N.A.Postcardial
MHCB-28803-10	Sant Pau Camp	M.M	Dena circular	Glycymeris sp			4	12	4	N.A.Postcardial
MHCB-28803-11	Sant Pau Camp	M.M	Dena circular	Glycymeris sp			4	12	4	N.A.Postcardial
MHCB-28803-12	Sant Pau Camp	Mineral	Dena circular	Lignit			2	6	3	N.A.Postcardial
MHCB-28803-13	Sant Pau Camp	Mineral	Dena circular	Lignit			2	6	3	N.A.Postcardial
MHCB-28803-14	Sant Pau Camp	Mineral	Dena circular	Lignit			2	6	3	N.A.Postcardial
MHCB-28803-15	Sant Pau Camp	Mineral	Dena circular	Lignit			2	6	3	N.A.Postcardial
MHCB-28803-16	Sant Pau Camp	Mineral	Dena circular	Lignit			2	6	3	N.A.Postcardial
MHCB-28804-1	Sant Pau Camp	M.M	Dena circular	Cardium sp			1,5	8	3	N.A.Postcardial
MHCB-28804-2	Sant Pau Camp	M.M	Dena circular	Cardium sp			1,5	8	3	N.A.Postcardial
MHCB-28804-3	Sant Pau Camp	M.M	Dena circular	Cardium sp			1,5	8	3	N.A.Postcardial
MHCB-28804-4	Sant Pau Camp	M.M	Dena circular	Cardium sp			1,5	8	3	N.A.Postcardial
MHCB-28804-5	Sant Pau Camp	M.M	Dena circular	Cardium sp			1,5	8	3	N.A.Postcardial
MHCB-28804-6	Sant Pau Camp	M.M	Dena circular	Cardium sp			1,5	8	3	N.A.Postcardial
MHCB-28804-7	Sant Pau Camp	M.M	Dena circular	Cardium sp			1,5	8	3	N.A.Postcardial
MHCB-28804-8	Sant Pau Camp	M.M	Dena circular	Cardium sp			1,5	8	3	N.A.Postcardial
MHCB-28804-9	Sant Pau Camp	M.M	Dena circular	Cardium sp			1,5	8	3	N.A.Postcardial
MHCB-28804-10	Sant Pau Camp	M.M	Dena circular	Cardium sp			1,5	8	3	N.A.Postcardial
MHCB-28804-11	Sant Pau Camp	M.M	Dena circular	Cardium sp			3	10	4	N.A.Postcardial
MHCB-28804-12	Sant Pau Camp	M.M	Dena circular	Cardium sp			3	10	4	N.A.Postcardial
MHCB-28804-13	Sant Pau Camp	M.M	Dena circular	Cardium sp			3	10	4	N.A.Postcardial
MHCB-28804-14	Sant Pau Camp	M.M	Dena circular	Cardium sp			3	10	4	N.A.Postcardial
MHCB-28804-15	Sant Pau Camp	M.M	Dena circular	Cardium sp			3	10	4	N.A.Postcardial
MHCB-28804-16	Sant Pau Camp	M.M	Dena circular	Cardium sp			3	10	4	N.A.Postcardial
MHCB-28804-17	Sant Pau Camp	Pedra	Dena circular	Silicat			3	9	2,5	N.A.Postcardial
MHCB-28805-1	Sant Pau Camp	M.M	Dena circular	Spondylus sp			4	13	4	N.A.Postcardial
MHCB-28805-2	Sant Pau Camp	M.M	Dena circular	Spondylus sp			3	13	3	N.A.Postcardial
MHCB-28805-3	Sant Pau Camp	M.M	Dena circular	Spondylus sp			4	12	2,5	N.A.Postcardial
MHCB-28805-4	Sant Pau Camp	M.M	Dena circular	Spondylus sp			3,5	12	3	N.A.Postcardial
MHCB-28805-5	Sant Pau Camp	M.M	Dena circular	Spondylus sp			3	12	3,5	N.A.Postcardial
MHCB-28805-6	Sant Pau Camp	M.M	Dena circular	Spondylus sp			4	13	3	N.A.Postcardial
MHCB-28805-7	Sant Pau Camp	M.M	Dena circular	Cardium sp			1,5	8	2,5	N.A.Postcardial
MHCB-28805-8	Sant Pau Camp	M.M	Dena circular	Cardium sp			1,5	8	3	N.A.Postcardial
MHCB-28805-9	Sant Pau Camp	M.M	Dena circular	Glycymeris sp			3	10	1,5	N.A.Postcardial
MHCB-28805-10	Sant Pau Camp	M.M	Dena circular	Glycymeris sp			3	10	1,5	N.A.Postcardial
MHCB-28805-11	Sant Pau Camp	M.M	Dena circular	Glycymeris sp			3	14	3	N.A.Postcardial

Sigla	Jaciment	Matèria	Objecte	Espècie	Amp	Long	Gruix	Diam	Dim. Perf.	CRONOLOGIA
MHCB-28805-12	Sant Pau Camp	Mineral	Dena circular	Lignit			2	6	3	N.A.Postcardial
MHCB-28805-13	Sant Pau Camp	Mineral	Dena circular	Lignit			1,5	6	3	N.A.Postcardial
MHCB-28805-14	Sant Pau Camp	Mineral	Dena circular	Lignit			1,5	6	3	N.A.Postcardial
MHCB-28805-15	Sant Pau Camp	Mineral	Dena circular	Lignit			1,5	6	3	N.A.Postcardial
MHCB-28805-16	Sant Pau Camp	Mineral	Dena circular	Lignit			2	6	3	N.A.Postcardial
MHCB-28805-17	Sant Pau Camp	Mineral	Dena circular	Lignit			2	6	3	N.A.Postcardial
MHCB-28805-18	Sant Pau Camp	Mineral	Dena circular	Lignit			2	6	3	N.A.Postcardial
MHCB-28805-19	Sant Pau Camp	Mineral	Dena circular	Lignit			2	6	3	N.A.Postcardial
MHCB-28805-20	Sant Pau Camp	Mineral	Dena circular	Lignit			2	5	3	N.A.Postcardial
MHCB-28807-1	Sant Pau Camp	M.M	Dena circular	Cardium sp			3	8	4	N.A.Postcardial
MHCB-28808-1	Sant Pau Camp	M.M	Dena-penjoll	Glycymeris sp	10	17,5	4		3	N.A.Postcardial
MHCB-28797-1	Sant Pau Camp	M.M	Dena circular	Spondylus sp						N.A.Postcardial
MHCB-28797-2	Sant Pau Camp	M.M	Dena circular	Cardium sp			2	8	3	N.A.Postcardial
MHCB-28797-3	Sant Pau Camp	Mineral	Dena circular	Lignit			2	6	4	N.A.Postcardial
MHCB-28797-4	Sant Pau Camp	Mineral	Fragments denes	Lignit						N.A.Postcardial
MHCB-28798-1	Sant Pau Camp	Mineral	Dena circular	Lignit			2	6	3	N.A.Postcardial
MHCB-28798-2	Sant Pau Camp	Mineral	Dena circular	Lignit			2	6	3	N.A.Postcardial
MHCB-28798-3	Sant Pau Camp	Mineral	Dena circular	Lignit			2	6	3	N.A.Postcardial
MHCB-28798-4	Sant Pau Camp	Mineral	Dena circular	Lignit			2	6	3	N.A.Postcardial
MHCB-28798-5	Sant Pau Camp	Mineral	Dena circular	Lignit			2	7	4	N.A.Postcardial
MHCB-28798-6	Sant Pau Camp	Mineral	Dena circular	Lignit			2	7	4	N.A.Postcardial
MHCB-28798-7	Sant Pau Camp	Mineral	Fragments denes	Lignit						N.A.Postcardial
MHCB-28799-1	Sant Pau Camp	Mineral	Dena circular	Lignit			1,5	5	3	N.A.Postcardial
MHCB-28799-2	Sant Pau Camp	Mineral	Dena circular	Lignit			2	5	3	N.A.Postcardial
MHCB-28799-3	Sant Pau Camp	Mineral	Dena circular	Lignit			2	5	3	N.A.Postcardial
MHCB-28799-4	Sant Pau Camp	Mineral	Dena circular	Lignit			1,5	6	3	N.A.Postcardial
MHCB-28799-5	Sant Pau Camp	Mineral	Dena circular	Lignit			2	6	3	N.A.Postcardial
MHCB-28799-6	Sant Pau Camp	Mineral	Dena circular	Lignit			2	6	3	N.A.Postcardial
MHCB-28799-7	Sant Pau Camp	Mineral	Dena circular	Lignit			2	6	3	N.A.Postcardial
MHCB-28799-8	Sant Pau Camp	Mineral	Dena circular	Lignit			1,5	6	3	N.A.Postcardial
MHCB-28799-9	Sant Pau Camp	Mineral	Dena circular	Lignit			1,5	6	3	N.A.Postcardial
MHCB-28799-10	Sant Pau Camp	Mineral	Dena circular	Lignit			1,5	6	3	N.A.Postcardial
MHCB-28799-11	Sant Pau Camp	Mineral	Dena circular	Lignit			1,5	6	3	N.A.Postcardial
MHCB-28799-12	Sant Pau Camp	Mineral	Dena circular	Lignit			1,5	7	4	N.A.Postcardial
MHCB-28799-13	Sant Pau Camp	Mineral	Dena circular	Lignit			1,5	7	4	N.A.Postcardial
MHCB-28799-14	Sant Pau Camp	Mineral	Dena circular	Lignit			2	7	4	N.A.Postcardial
MHCB-28799-15	Sant Pau Camp	Mineral	Dena circular	Lignit			2	7	4	N.A.Postcardial
MHCB-28799-16	Sant Pau Camp	Mineral	Dena circular	Lignit			2	7	4	N.A.Postcardial
MHCB-28799-17	Sant Pau Camp	Mineral	Fragments denes	Lignit						N.A.Postcardial
MHCB-28801-1	Sant Pau Camp	Mineral	Dena circular	Lignit			2	5	3	N.A.Postcardial
MHCB-28801-2	Sant Pau Camp	Mineral	Dena circular	Lignit			2	5	3	N.A.Postcardial
MHCB-28801-3	Sant Pau Camp	Mineral	Dena circular	Lignit			2	5	3	N.A.Postcardial
MHCB-28801-4	Sant Pau Camp	Mineral	Dena circular	Lignit			2	5	3	N.A.Postcardial
MHCB-28801-5	Sant Pau Camp	Mineral	Fragments denes	Lignit						N.A.Postcardial
MHCB-28809-1	Sant Pau Camp	Mineral	Dena circular	Lignit			2	6	3	N.A.Postcardial
MCHB-28811-1	Sant Pau Camp	M.M	Dena circular	ND			3	11	4	N.A.Postcardial

Sigla	Jaciment	Matèria	Objecte	Espècie	Amp	Long	Gruix	Diam	Dim. Perf.	CRONOLOGIA
MCHB-28811-2	Sant Pau Camp	M.M	Dena circular	ND			3	9	4	N.A.Postcardial
MCHB-28811-3	Sant Pau Camp	M.M	Fragments denes	ND						N.A.Postcardial
MCHB-28811-4	Sant Pau Camp	Mineral	Dena circular	Lignit			2	6	3	N.A.Postcardial
MCHB-28811-5	Sant Pau Camp	Mineral	Fragments denes	Lignit						N.A.Postcardial
MCHB-28812-1	Sant Pau Camp	Mineral	Fragments denes	Lignit						N.A.Postcardial
MCHB-28806-1	Sant Pau Camp	M.M	Dena circular	Spondylus sp			3	15	4	N.A.Postcardial
MCHB-28806-2	Sant Pau Camp	M.M	Dena circular	Spondylus sp			3	15	4	N.A.Postcardial
MCHB-28806-3	Sant Pau Camp	M.M	Dena circular	Spondylus sp			4	14	3	N.A.Postcardial
MCHB-28806-4	Sant Pau Camp	M.M	Dena circular	Spondylus sp			3	14	3	N.A.Postcardial
MCHB-28806-5	Sant Pau Camp	M.M	Dena circular	Spondylus sp			3	14	3	N.A.Postcardial
MCHB-28806-6	Sant Pau Camp	M.M	Dena circular	Spondylus sp			2,5	12	3	N.A.Postcardial
MCHB-28806-7	Sant Pau Camp	M.M	Dena circular	Spondylus sp			3	13	3	N.A.Postcardial
MCHB-28806-8	Sant Pau Camp	M.M	Dena circular	Spondylus sp			3	13	3	N.A.Postcardial
MCHB-28806-9	Sant Pau Camp	M.M	Dena circular	Spondylus sp			2	14	3	N.A.Postcardial
MCHB-28806-10	Sant Pau Camp	M.M	Dena circular	Spondylus sp			3	12	3	N.A.Postcardial
MCHB-28806-11	Sant Pau Camp	M.M	Dena circular	Glycymeris sp			3	10	4	N.A.Postcardial
MCHB-28806-12	Sant Pau Camp	M.M	Dena circular	Glycymeris sp			2	9	3	N.A.Postcardial
MCHB-28806-13	Sant Pau Camp	M.M	Dena circular	Glycymeris sp			2	9	3	N.A.Postcardial
MCHB-28806-14	Sant Pau Camp	M.M	Dena circular	Glycymeris sp			2	9	3	N.A.Postcardial
MCHB-28806-15	Sant Pau Camp	M.M	Dena circular	Glycymeris sp			2	9	3	N.A.Postcardial
MCHB-28806-16	Sant Pau Camp	M.M	Dena circular	Glycymeris sp			2	9	3	N.A.Postcardial
MCHB-28806-17	Sant Pau Camp	M.M	Dena circular	Glycymeris sp			2	10	3	N.A.Postcardial
MCHB-28806-18	Sant Pau Camp	M.M	Dena circular	Glycymeris sp			2	10	3	N.A.Postcardial
MCHB-28806-19	Sant Pau Camp	M.M	Dena circular	Glycymeris sp			2	9,5	3	N.A.Postcardial
MCHB-28806-20	Sant Pau Camp	M.M	Dena circular	Glycymeris sp			2	10	3	N.A.Postcardial
MCHB-28806-21	Sant Pau Camp	M.M	Dena circular	Glycymeris sp			2	9	3	N.A.Postcardial
MCHB-28806-22	Sant Pau Camp	M.M	Dena circular	Glycymeris sp			2	9	3	N.A.Postcardial
MCHB-28806-23	Sant Pau Camp	M.M	Dena circular	Glycymeris sp			2	9	3	N.A.Postcardial
MCHB-28806-24	Sant Pau Camp	M.M	Dena circular	Glycymeris sp			2	8	3	N.A.Postcardial
MCHB-28806-25	Sant Pau Camp	M.M	Dena circular	Cardium sp			2	7	3	N.A.Postcardial
MCHB-28806-26	Sant Pau Camp	M.M	Dena circular	Cardium sp			2	6	3	N.A.Postcardial
MCHB-28806-27	Sant Pau Camp	M.M	Dena circular	Cardium sp			2	6	3	N.A.Postcardial
MCHB-28806-28	Sant Pau Camp	M.M	Dena circular	Cardium sp			2	6	3	N.A.Postcardial
MCHB-28806-29	Sant Pau Camp	M.M	Dena circular	Cardium sp			2	6	3	N.A.Postcardial
MCHB-28806-30	Sant Pau Camp	M.M	Dena circular	Cardium sp			2	6	3	N.A.Postcardial
MCHB-28806-31	Sant Pau Camp	M.M	Dena circular	Cardium sp			2	7	3	N.A.Postcardial
MCHB-28806-32	Sant Pau Camp	Mineral	Dena circular	Lignit			2	6	3	N.A.Postcardial
MCHB-28806-33	Sant Pau Camp	Mineral	Dena circular	Lignit			2	6	3	N.A.Postcardial
MCHB-28806-34	Sant Pau Camp	Mineral	Dena circular	Lignit			2	5	3	N.A.Postcardial
MCHB-28806-35	Sant Pau Camp	Mineral	Dena circular	Lignit			2	5	3	N.A.Postcardial
MCHB-28806-36	Sant Pau Camp	Mineral	Dena circular	Lignit			2	5	3	N.A.Postcardial
MCHB-28806-37	Sant Pau Camp	Mineral	Dena circular	Lignit			2	5	3	N.A.Postcardial
MCHB-28806-38	Sant Pau Camp	Mineral	Dena circular	Lignit			2	5	3	N.A.Postcardial
MCHB-28806-39	Sant Pau Camp	Mineral	Dena circular	Lignit			2	5	3	N.A.Postcardial
MCHB-28806-40	Sant Pau Camp	Mineral	Dena circular	Lignit			2	5	3	N.A.Postcardial
MCHB-28806-41	Sant Pau Camp	Mineral	Dena circular	Lignit			2	5	3	N.A.Postcardial

Sigla	Jaciment	Matèria	Objecte	Espècie	Amp	Long	Gruix	Diam	Dim. Perf.	CRONOLOGIA
SMB-134-3-104	Serra mas Bonet	Malacofauna marina	Gasteròpode	Nassarius mutabilis	25	19				Neolític Mitjà
SMB-134-3-114	Serra mas Bonet	Malacofauna marina	Dena	Dentalium vulgare		13 i 12			3,5/2; 3/2	Neolític Mitjà
SMB-134-3-106	Serra mas Bonet	Malacofauna marina	Valva	Tellina fabula/ Glycymeris sp						Neolític Mitjà
SMB-134-3-96	Serra mas Bonet	Malacofauna marina	Valva	Cardium sp						Neolític Mitjà
SMB-134-3-99	Serra mas Bonet	Malacofauna marina	Valva	Mytilus galloprovincialis						Neolític Mitjà
SMB-134-2-31	Serra mas Bonet	Malacofauna marina	Valva	Mytilus galloprovincialis						Neolític Mitjà
SMB-134-2-32	Serra mas Bonet	Malacofauna marina	Valva	Cardium sp/Cerastoderma glaucum		23	22			Neolític Mitjà
SMB-134-2-32b	Serra mas Bonet	Malacofauna marina	Valva	Mytilus galloprovincialis						Neolític Mitjà
SMB-134-2-32c	Serra mas Bonet	Malacofauna marina	Valva	Cerastoderma glaucum	26	26	2			Neolític Mitjà
SMB-134-1-158	Serra mas Bonet	Malacofauna marina	Valva	Mytilus galloprovincialis						Neolític Mitjà
SMB-60-2-30	Serra mas Bonet	Malacofauna marina	Valva	Mytilus galloprovincialis						Neolític Mitjà
SMB-60-1-19	Serra mas Bonet	Malacofauna marina	Valva	Cardium sp/Glycymeris sp/Mytilus sp						Neolític Mitjà
SMB-67-5-59	Serra mas Bonet	Malacofauna marina	Valva	Mytilus galloprovincialis/Glycymeris sp						Neolític Mitjà
SMB-67-2-113	Serra mas Bonet	Malacofauna marina	Valva	Mytilus galloprovincialis						Neolític Mitjà
SMB-67-3-135	Serra mas Bonet	Malacofauna marina	Valva	Mytilus sp						Neolític Mitjà
SMB-67-4-174	Serra mas Bonet	Malacofauna marina	Valva	Mytilus sp						Neolític Mitjà
SMB-67-5-58a	Serra mas Bonet	Malacofauna marina	Valva perforada	Acanthocardia tuberculata	28	24	2			Neolític Mitjà
SMB-67-5-58b	Serra mas Bonet	Malacofauna marina	Valva	Cerastoderma glaucum	26	25	2			Neolític Mitjà
SMB-67-5-58c	Serra mas Bonet	Malacofauna marina	Valva	Cardium sp						Neolític Mitjà
SMB-67-5-58d	Serra mas Bonet	Malacofauna marina	Valva perforada	Acanthocardia tuberculata	25	28	2			Neolític Mitjà
SMB-67-1-106	Serra mas Bonet	Malacofauna marina	Valva	Mytilus galloprovincialis						Neolític Mitjà
SMB-67-4-172	Serra mas Bonet	Malacofauna marina	Valva	Cerastoderma glaucum	26	26	3			Neolític Mitjà
SMB-67-4-173	Serra mas Bonet	Malacofauna marina	Valva	Mytilus galloprovincialis						Neolític Mitjà
SMB-67-6-103	Serra mas Bonet	Malacofauna marina	Valva	Glycymeris sp						Neolític Mitjà
SMB-190-1-26	Serra mas Bonet	Malacofauna marina	Valva	Mytilus sp + Ostrea sp						Neolític Mitjà
MB-311-2-41	Mas d'en Boixos	Malacofauna marina	Valva	Glycymeris sp						Neolític Mitjà
MB-319-1-54	Mas d'en Boixos	Malacofauna marina	Valva	Cerastoderma glaucum	33	26	2			Neolític Mitjà
MB-319-1-Garbell	Mas d'en Boixos	Malacofauna marina	Valva	Glycymeris sp	12	12	1			Neolític Mitjà
MB-319-1-53	Mas d'en Boixos	Malacofauna marina	Valva perforada	Glycymeris sp	40	32	4		5	Neolític Mitjà
MB-323-1-Garbell a	Mas d'en Boixos	Malacofauna marina	Valva	Cardium sp						Neolític Mitjà
MB-323-2-Garbell b	Mas d'en Boixos	Malacofauna marina	Valva	A. tuberculata/ C. glaucum						Neolític Mitjà
MB-323-1-1	Mas d'en Boixos	Malacofauna marina	Valva	Cerastoderma glaucum	28	24	4			Neolític Mitjà
MB-323-1-2	Mas d'en Boixos	Malacofauna marina	Valva	Cerastoderma glaucum	34	31	5			Neolític Mitjà
MB-323-2-3	Mas d'en Boixos	Malacofauna marina	Valva	Acanthocardia tuberculata						Neolític Mitjà
MB-323-2-4	Mas d'en Boixos	Malacofauna marina	Valva	Cerastoderma glaucum	34	33	5			Neolític Mitjà
MB1-88-1-17-1	Mas d'en Boixos	Malacofauna marina	Valva perforada	Glycymeris sp	13	13,3	0,8		1,5x1	Neolític Mitjà
MB1-88-1-17-2	Mas d'en Boixos	Malacofauna marina	Valva perforada	ND	10	11,4	0,8		2,3	Neolític Mitjà
MB1-88-1-17-3	Mas d'en Boixos	Malacofauna marina	Valva perforada	Glycymeris sp	14,3	13,3	1,2		1,1	Neolític Mitjà
MB1-88-1-17-4	Mas d'en Boixos	Malacofauna marina	Valva perforada	Glycymeris sp	12	11	0,9		2,3x1,1	Neolític Mitjà
MB1-88-1-17-5	Mas d'en Boixos	Malacofauna marina	Valva perforada	Glycymeris sp	13	11,4	0,9		2,3x1,2	Neolític Mitjà
MB1-88-1-17-6	Mas d'en Boixos	Malacofauna marina	Valva perforada	Glycymeris sp	12,3	11	8		2x1,3	Neolític Mitjà
MB1-88-1-17-7	Mas d'en Boixos	Malacofauna marina	Valva perforada	Glycymeris sp	13	12,4	0,9		2,3x1,4	Neolític Mitjà
MB1-88-1-17-8	Mas d'en Boixos	Malacofauna marina	Valva perforada	Glycymeris sp	14	12	0,9		2,2x1,4	Neolític Mitjà
MB1-88-1-17-9	Mas d'en Boixos	Malacofauna marina	Valva perforada	Glycymeris sp	13	11,8	0,9		2x1,5	Neolític Mitjà
MB1-88-1-17-10	Mas d'en Boixos	Malacofauna marina	Valva perforada	Glycymeris sp	12,5	12	0,8		2,3x1,3	Neolític Mitjà
MB1-88-1-17-11	Mas d'en Boixos	Malacofauna marina	Valva perforada	Glycymeris sp	12,6	11	0,9		2,4x1,4	Neolític Mitjà

Sigla	Jaciment	Matèria	Objecte	Espècie	Amp	Long	Gruix	Diam	Dim. Perf.	CRONOLOGIA
MB1-88-1-17-12	Mas d'en Boixos	Malacofauna marina	Valva perforada	Glycymeris sp	11,8	10,5	0,8		2,3x1,2	Neolític Mitjà
MB1-88-1-17-13	Mas d'en Boixos	Malacofauna marina	Valva perforada	Glycymeris sp	12	11	0,8		2,1x1,1	Neolític Mitjà
MB1-88-1-17-14	Mas d'en Boixos	Malacofauna marina	Valva perforada	Glycymeris sp	13	11,4	0,9		2,3x1,1	Neolític Mitjà
MB1-88-1-17-15	Mas d'en Boixos	Malacofauna marina	Valva perforada	Glycymeris sp	13	11	0,9		2,3x1,2	Neolític Mitjà
MB1-88-1-17-16	Mas d'en Boixos	Malacofauna marina	Valva perforada	Glycymeris sp	17	17	1,5		1,7	Neolític Mitjà
MB1-88-1-17-17	Mas d'en Boixos	Malacofauna marina	Valva perforada	Glycymeris sp	10,6	10,7	0,7		1,3	Neolític Mitjà
MB1-88-1-17-18	Mas d'en Boixos	Malacofauna marina	Valva perforada	Glycymeris sp	8,5	8,8	1,4		1,2	Neolític Mitjà
MB1-88-1-17-19	Mas d'en Boixos	Malacofauna marina	Valva perforada	Glycymeris sp	11,5	11,8	0,9			Neolític Mitjà
MB1-88-1-17-20	Mas d'en Boixos	Malacofauna marina	Valva perforada	Glycymeris sp	11,5	11,8	0,9			Neolític Mitjà
MB1-88-1-17-21	Mas d'en Boixos	Malacofauna marina	Valva perforada	Glycymeris sp	11,5	11,8	0,9			Neolític Mitjà
MB1-88-1-17-22	Mas d'en Boixos	Malacofauna marina	Valva perforada	Glycymeris sp	12,9	14,5	1,9			Neolític Mitjà
MB1-88-1-17-23	Mas d'en Boixos	Malacofauna marina	Valva perforada	Glycymeris sp	17,5	17,9	1,3			Neolític Mitjà
MB1-88-1-17-24	Mas d'en Boixos	Malacofauna marina	Valva perforada	Glycymeris sp	24,6	24	2		1,8	Neolític Mitjà
MB1-88-1-17-25	Mas d'en Boixos	Malacofauna marina	Valva perforada	Glycymeris sp	22,7	21,7	2,2		1,5	Neolític Mitjà
MB1-88-1-17-26	Mas d'en Boixos	Malacofauna marina	Valva perforada	Glycymeris sp	20	19,7	1,8		1,5	Neolític Mitjà
MB1-88-1-17-27	Mas d'en Boixos	Malacofauna marina	Valva perforada	Glycymeris sp	24,5	23,9	2,3		2,3	Neolític Mitjà
MB1-88-1-17-28	Mas d'en Boixos	Malacofauna marina	Valva perforada	Glycymeris sp	20,7	20,1	1,9		1,6	Neolític Mitjà
MB1-88-1-17-29	Mas d'en Boixos	Malacofauna marina	Valva perforada	Glycymeris sp	20	18,9	1,9		1,4	Neolític Mitjà
MB1-88-1-17-30	Mas d'en Boixos	Malacofauna marina	Valva perforada	Glycymeris sp	19,2	16,4	1,2		1,4	Neolític Mitjà
MB1-88-1-17-31	Mas d'en Boixos	Malacofauna marina	Valva perforada	Glycymeris sp	14,1	12,7	1,1		1,2	Neolític Mitjà
MB1-88-1-17-32	Mas d'en Boixos	Malacofauna marina	Valva perforada	Glycymeris sp	24,4	23,2	2,2		2,6	Neolític Mitjà
MB1-88-1-17-33	Mas d'en Boixos	Malacofauna marina	Valva perforada	Glycymeris sp	23,1	20,3	1,9		1,5	Neolític Mitjà
MB1-88-1-17-34	Mas d'en Boixos	Malacofauna marina	Valva perforada	Glycymeris sp	20,7	22,1	1,7		1,5	Neolític Mitjà
MB1-88-1-17-35	Mas d'en Boixos	Malacofauna marina	Valva perforada	Glycymeris sp	23,2	21,7	2,4		2,3	Neolític Mitjà
MB1-88-1-17-36	Mas d'en Boixos	Malacofauna marina	Valva perforada	Glycymeris sp	27,2	26,3	2,5		1,7	Neolític Mitjà
MB1-88-1-17-37	Mas d'en Boixos	Malacofauna marina	Valva perforada	Glycymeris sp	27,2	26,3	2,5		1,7	Neolític Mitjà
MB1-88-1-17-38	Mas d'en Boixos	Malacofauna marina	Valva perforada	Glycymeris sp	22,5	22,4	1,8		1,1	Neolític Mitjà
MB1-88-1-17-39	Mas d'en Boixos	Malacofauna marina	Valva perforada	Glycymeris sp	18	16,4	1,8		1,6	Neolític Mitjà
MB1-88-1-17-40	Mas d'en Boixos	Malacofauna marina	Valva perforada	Glycymeris sp	19,5	16,9	1,8		1,1	Neolític Mitjà
MB1-88-1-17-41	Mas d'en Boixos	Malacofauna marina	Valva	Glycymeris sp						Neolític Mitjà
MB1-88-1-17-42	Mas d'en Boixos	Malacofauna marina	Valva	Glycymeris sp						Neolític Mitjà
MB1-88-1-17-43	Mas d'en Boixos	Malacofauna marina	Valva	Glycymeris sp						Neolític Mitjà
MB1-88-1-17-44	Mas d'en Boixos	Malacofauna marina	Valva	Glycymeris sp						Neolític Mitjà
MB1-88-1-17-45	Mas d'en Boixos	Malacofauna marina	Valva	Glycymeris sp						Neolític Mitjà
MB1-88-1-17-46	Mas d'en Boixos	Malacofauna marina	Valva	Glycymeris sp						Neolític Mitjà
MB-313-1	Mas d'en Boixos	Mineral	Dena circular	Cal-laita			3,5	7,5	2	Neolític Mitjà
MB-313-2	Mas d'en Boixos	Mineral	Dena circular	Cal-laita			2	7	1,5	Neolític Mitjà
MB-313-3	Mas d'en Boixos	Mineral	Dena circular	Cal-laita			4	7,5	2	Neolític Mitjà
MB-313-4	Mas d'en Boixos	Mineral	Dena circular	Cal-laita			4	6,5	1,75	Neolític Mitjà
MB-313-5	Mas d'en Boixos	Mineral	Dena circular	Cal-laita			3,5	7	2	Neolític Mitjà
MB-313-6	Mas d'en Boixos	Mineral	Dena circular	Cal-laita			4	7	2,5	Neolític Mitjà
MB-313-7	Mas d'en Boixos	Mineral	Dena circular	Cal-laita			2	7	2	Neolític Mitjà
MB-313-8	Mas d'en Boixos	Mineral	Dena circular	Cal-laita			2,5	7,5	2	Neolític Mitjà
MB-313-9	Mas d'en Boixos	Mineral	Dena circular	Cal-laita			2	8	2	Neolític Mitjà
MB-313-10	Mas d'en Boixos	Pedra	Dena circular	serpentina/amfibolita			1,5	5	1,5	Neolític Mitjà
MB-313-11	Mas d'en Boixos	Pedra	Dena circular	serpentina/amfibolita			1	5	1,5	Neolític Mitjà

Sigla	Jaciment	Matèria	Objecte	Espècie	Amp	Long	Gruix	Diam	Dim. Perf.	CRONOLOGIA
MB-313-58	Mas d'en Boixos	Pedra	Dena circular	serpentina/amfibolita			2	4,5	1,5	Neolític Mitjà
MB-313-59	Mas d'en Boixos	Pedra	Dena circular	serpentina/amfibolita			2	5	1,5	Neolític Mitjà
MB-313-60	Mas d'en Boixos	Pedra	Dena circular	serpentina/amfibolita			2	4	1,5	Neolític Mitjà
MB-313-61	Mas d'en Boixos	Pedra	Dena circular	serpentina/amfibolita			2	4	1,5	Neolític Mitjà
MB-313-62	Mas d'en Boixos	Pedra	Dena circular	serpentina/amfibolita			2	4	1,5	Neolític Mitjà
MB-313-63	Mas d'en Boixos	Pedra	Dena circular	serpentina/amfibolita			2	4	1,5	Neolític Mitjà
MB-313-64	Mas d'en Boixos	Pedra	Dena circular	serpentina/amfibolita			2	4	1,5	Neolític Mitjà
MB-313-65	Mas d'en Boixos	Pedra	Dena circular	serpentina/amfibolita			2	4	1,5	Neolític Mitjà
BM-5-1-I	Bòbila Madurell	Mineral negra	denes circulars 63	Serpentina/Esteatita?			1.5-0.5	3-3,5	0,7	Neolític Mitjà
BM-1-1-10a 12229	Bòbila Madurell	Malacofauna marina	Valva perforada	Glycymeris sp	24	22	2		2-1.5	Neolític Mitjà
BM-1-1-10b 12230	Bòbila Madurell	Malacofauna marina	Valva perforada	Glycymeris sp	11	13,5	1		1-0-5	Neolític Mitjà
BM-78-2-397 12546	Bòbila Madurell	Malacofauna marina	Valva perforada	Glycymeris glycymeris	41	38	3		1.5	Neolític Mitjà
BM-78-2-398 12547	Bòbila Madurell	Malacofauna marina	Valva perforada	Glycymeris sp	18	17	1.5		0.7-1	Neolític Mitjà
BM-78-2-985 12558	Bòbila Madurell	Malacofauna marina	Valva perforada	Glycymeris sp	35.5	33	3			Neolític Mitjà
BM-78-2-544 12544	Bòbila Madurell	Malacofauna marina	Valva perforada	Glycymeris sp	20	20	2.5		1.25	Neolític Mitjà
BM-78-2548 12545	Bòbila Madurell	Malacofauna marina	Valva perforada	Glycymeris sp	15.5	13.5	1		1.25	Neolític Mitjà
BM-78-2-399 12542	Bòbila Madurell	Malacofauna marina	Valva perforada	Acanthocardia tuberculata	13.5	11	1.5		1.5	Neolític Mitjà
BM-78-2-543 12543	Bòbila Madurell	Malacofauna marina	Valva perforada	Glycymeris sp	17	15	1.5		1-0.5	Neolític Mitjà
BM-78-1-982 12569	Bòbila Madurell	Malacofauna marina	Valva perforada	Glycymeris glycymeris	60	56	5.5		9	Neolític Mitjà
BM-MS74-12570	Bòbila Madurell	Malacofauna marina	Gasteròpode sense espira	Thais haemastoma	31	21	16			Neolític Mitjà
BM-MS69-1-2-12535	Bòbila Madurell	Malacofauna marina	Valva perforada	Glycymeris sp	19	18	2,5		3x2	Neolític Mitjà
BM-MS28-2-154 12549	Bòbila Madurell	Malacofauna marina	Opercle	ND						Neolític Mitjà
BM-MS79-1-26 12534	Bòbila Madurell	Malacofauna marina	Valva perforada	Glycymeris sp	20	20	2		2x1.5	Neolític Mitjà
BM-MS65-1-2 12536	Bòbila Madurell	Malacofauna marina	Valva perforada	Glycymeris sp	26	24	2,5		2x1.5	Neolític Mitjà
BM-MF18-1-7-12548	Bòbila Madurell	Malacofauna marina	Opercle	ND						Neolític Mitjà
BM-MS44-1-15 12539	Bòbila Madurell	Malacofauna marina	Valva perforada	Glycymeris glycymeris	52	45	5		5x4	Neolític Mitjà
BM-MS43-1-7 12537	Bòbila Madurell	Malacofauna marina	Valva perforada	Glycymeris glycymeris	56	49	4		7x5	Neolític Mitjà
BM-MS7-1-226 12253	Bòbila Madurell	Malacofauna marina	Valva perforada	Glycymeris sp	16	15	1,5	2		Neolític Mitjà
BM-MS7-12251	Bòbila Madurell	Malacofauna marina	Valva perforada	Glycymeris sp	29	26	3		2x1.5	Neolític Mitjà
BM-MS7-1-7 12250	Bòbila Madurell	Malacofauna marina	Valva perforada	Glycymeris sp	22	20	2		1.5x1	Neolític Mitjà
BM-MS7-1-217	Bòbila Madurell	Malacofauna marina	Valva perforada	Glycymeris sp	26,5	26	3		2x1.5	Neolític Mitjà
BM-MS7-1-218 12254	Bòbila Madurell	Malacofauna marina	Valva	Glycymeris sp	11	11	1			Neolític Mitjà
BM-MS17-12550	Bòbila Madurell	Malacofauna marina	Opercle	ND						Neolític Mitjà
BM-MS17-1-1-1929	Bòbila Madurell	Malacofauna marina	Valva	Glycymeris glycymeris	58	51	4			Neolític Mitjà
BM-MS17-1-1937 12551	Bòbila Madurell	Malacofauna marina	Gasteròpode sense espira	Thais haemastoma	35,5	28	21			Neolític Mitjà
BM-MS17-12541	Bòbila Madurell	Malacofauna marina	Valva perforada	Glycymeris sp	22	20	2		2x1.5	Neolític Mitjà
BM-MS17-12540	Bòbila Madurell	Malacofauna marina	Valva perforada	Chamelea gallina	15	11	1		1	Neolític Mitjà
BM-36-2784	Bòbila Madurell	Malacofauna marina	Valva perforada	Glycymeris sp	22	20	1,5	1.5		Neolític Mitjà
BM-36-2784b	Bòbila Madurell	Malacofauna marina	Valva perforada	Glycymeris sp	18,5	17	1,5		1x2	Neolític Mitjà
BM-36-2784c	Bòbila Madurell	Malacofauna marina	Valva perforada	Glycymeris sp	24	22	3		2x1	Neolític Mitjà
BM-36-2249a	Bòbila Madurell	Malacofauna marina	Valva perforada	Glycymeris sp	53,5	54,5	5	6		Neolític Mitjà
BM-36-2249b	Bòbila Madurell	Malacofauna marina	Valva perforada	Glycymeris sp	46	42	4		6x5	Neolític Mitjà
BM-2-216 11786	Bòbila Madurell	Malacofauna marina	Penjoll	Glycymeris sp	12	6	4		1.5	Neolític Mitjà

Sigla	Jaciment	Matèria	Objecte	Espècie	Amp	Long	Gruix	Diam	Dim. Perf.	CRONOLOGIA
BM-2-11787 47	Bòbila Madurell	Pedra	Dena circular	Serpentina/amfinolita?			2	3	1.2	Neolític Mitjà
BM-2-11787 48	Bòbila Madurell	Pedra	Dena circular	Serpentina/amfinolita?			2	3	1.2	Neolític Mitjà
BM-2-11787 49	Bòbila Madurell	Pedra	Dena circular	Serpentina/amfinolita?			2	3	1.2	Neolític Mitjà
BM-2-11787 50	Bòbila Madurell	Pedra	Dena circular	Serpentina/amfinolita?			2	3	1.2	Neolític Mitjà
BM-2-11787 51	Bòbila Madurell	Pedra	Dena circular	Serpentina/amfinolita?			2	3	1.2	Neolític Mitjà
BM-2-11787 52	Bòbila Madurell	Pedra	Dena circular	Serpentina/amfinolita?			2	3	1.2	Neolític Mitjà
BM-2-11787 53	Bòbila Madurell	Pedra	Dena circular	Serpentina/amfinolita?			2	3	1.2	Neolític Mitjà
BM-2-11787 54	Bòbila Madurell	Pedra	Dena circular	Serpentina/amfinolita?			2	3	1.2	Neolític Mitjà
BM-2-11787 55	Bòbila Madurell	Pedra	Dena circular	Serpentina/amfinolita?			2	3	1.2	Neolític Mitjà
BM-2-11787 56	Bòbila Madurell	Pedra	Dena circular	Serpentina/amfinolita?			2	3	1.2	Neolític Mitjà
BM-2-11787 57	Bòbila Madurell	Pedra	Dena circular	Serpentina/amfinolita?			2	3	1.2	Neolític Mitjà
BM-2-11787 58	Bòbila Madurell	Pedra	Dena circular	Serpentina/amfinolita?			2	3	1.2	Neolític Mitjà
BM-2-11787 59	Bòbila Madurell	Pedra	Dena circular	Serpentina/amfinolita?			2	3	1.2	Neolític Mitjà
BM-2-11787 60	Bòbila Madurell	Pedra	Dena circular	Serpentina/amfinolita?			2	3	1.2	Neolític Mitjà
BM-2-11787 61	Bòbila Madurell	Pedra	Dena circular	Serpentina/amfinolita?			2	3	1.2	Neolític Mitjà
BM-2-11787 62	Bòbila Madurell	Pedra	Dena circular	Serpentina/amfinolita?			2	3	1.2	Neolític Mitjà
BM-2-11787 63	Bòbila Madurell	Pedra	Dena circular	Serpentina/amfinolita?			1,5	3	ND	Neolític Mitjà
BM-2-11787 64	Bòbila Madurell	Pedra	Dena circular	Serpentina/amfinolita?			1,5	3	ND	Neolític Mitjà
BM-2-11787 65	Bòbila Madurell	Pedra	Dena circular	Serpentina/amfinolita?			0,5	3	ND	Neolític Mitjà
BM-2-69 B3	Bòbila Madurell	Mineral	Dena circular	Mineral tou-talc?			2;3	7	2.75	Neolític Mitjà
BM-2-70 B3	Bòbila Madurell	Mineral	Dena circular	Mineral tou-talc?			2,5-2	7	2.50	Neolític Mitjà
BM-2-81 B3	Bòbila Madurell	Mineral	Dena circular	Mineral tou-talc?			2;3	8	2.50	Neolític Mitjà
BM-2-82 B3	Bòbila Madurell	Mineral	Dena circular	Mineral tou-talc?			2,75; 3	8	2.50	Neolític Mitjà
BM-2-39 B4	Bòbila Madurell	Mineral	Dena circular	Mineral tou-talc?			3	7	2	Neolític Mitjà
BM-2-40 B4	Bòbila Madurell	Mineral	Dena circular	Mineral tou-talc?			3	7	2	Neolític Mitjà
BM-2-41 B4	Bòbila Madurell	Mineral	Dena circular	Mineral tou-talc?			3	6	2	Neolític Mitjà
BM-2-5 3C	Bòbila Madurell	Mineral	Dena circular	Mineral tou-talc?			3	7	3.5	Neolític Mitjà
BM-2-211 A2-A4	Bòbila Madurell	Mineral	Dena circular	Mineral tou-talc?			2;3	7	2.75	Neolític Mitjà
BM-2-212 A2-A4	Bòbila Madurell	Mineral	Dena circular	Mineral tou-talc?			1,5;3	7	2.5	Neolític Mitjà
BM-2-213 A2-A4	Bòbila Madurell	Mineral	Dena circular	Mineral tou-talc?			3	8	3	Neolític Mitjà
BM-2-214 A2-A4	Bòbila Madurell	Mineral	Dena circular	Mineral tou-talc?			4	7	4 i 5	Neolític Mitjà
BM-2-215 A2-A4	Bòbila Madurell	Mineral	Dena circular	Mineral tou-talc?			4	7	2.5	Neolític Mitjà
BM-2-44	Bòbila Madurell	Mineral	Dena circular	Mineral tou-talc?			5.75	7	2.5	Neolític Mitjà
BM-2-45	Bòbila Madurell	Mineral	Dena circular	Mineral tou-talc?			4	8	2.5	Neolític Mitjà
BM-2-46	Bòbila Madurell	Mineral	Dena circular	Mineral tou-talc?			4	6.75	4	Neolític Mitjà
BM-MS28-2-20 12538	Bòbila Madurell	Malacofauna marina	Gasteròpode perforat	Phalium saburon	70	40	35		3; 3	Neolític Mitjà
BM-SH3-16	Bòbila Madurell	Malacofauna marina	Dena	Dentalium sp	11,8			3,7		Neolític Mitjà
BM-SH3-17	Bòbila Madurell	Malacofauna marina	Dena	Dentalium sp	12			2,9		Neolític Mitjà
BM-SH3-18	Bòbila Madurell	Malacofauna marina	Dena	Dentalium sp	12,4			2,8	2,6	Neolític Mitjà
BM-SH3-19	Bòbila Madurell	Malacofauna marina	Dena	Antalis dentalium	19			2	1,5	Neolític Mitjà
BM-SH3-20	Bòbila Madurell	Malacofauna marina	Dena	Antalis dentalium	14			2,5	1,8	Neolític Mitjà
BM-SH3-21	Bòbila Madurell	Malacofauna marina	Dena	Dentalium sp	6,3			2,5	1,9	Neolític Mitjà
BM-SH3-22	Bòbila Madurell	Malacofauna marina	Dena	Dentalium sp	12			3,4	2,7	Neolític Mitjà
BM-SH3-23	Bòbila Madurell	Malacofauna marina	Dena	Antalis dentalium	15			3,5		Neolític Mitjà
BM-SH3-24	Bòbila Madurell	Malacofauna marina	Dena	Dentalium sp	13,4			3,5	2,1	Neolític Mitjà
BM-SH3-34	Bòbila Madurell	Malacofauna marina	Dena	Dentalium sp	11			3	2,2	Neolític Mitjà

Sigla	Jaciment	Matèria	Objecte	Espècie	Amp	Long	Gruix	Diam	Dim. Perf.	CRONOLOGIA
BM-SH3-35	Bòbila Madurell	Malacofauna marina	Dena	Dentalium sp	9			3,8		Neolític Mitjà
BM-SH3-36	Bòbila Madurell	Malacofauna marina	Dena	Dentalium sp	13,7			3,5		Neolític Mitjà
BM-SH3-37	Bòbila Madurell	Malacofauna marina	Dena	Dentalium sp	16,5			3,5	2,8	Neolític Mitjà
BM-SH3-38	Bòbila Madurell	Malacofauna marina	Dena	Dentalium sp	9			2	2	Neolític Mitjà
BM-SH3-39	Bòbila Madurell	Malacofauna marina	Dena	Dentalium sp	8,7			2,7		Neolític Mitjà
BM-SH3-40	Bòbila Madurell	Malacofauna marina	Dena	Dentalium sp	8,4			3,2		Neolític Mitjà
BM-SH3-57	Bòbila Madurell	Malacofauna marina	Dena	Dentalium sp	7,6-6,7			2,9-1,8		Neolític Mitjà
BM-SH3-57b	Bòbila Madurell	Malacofauna marina	Dena	Dentalium sp						Neolític Mitjà
BM-M5-208	Bòbila Madurell	Mineral	Dena circular	Calaita			2	6,5	1,5	Neolític Mitjà
BM-M11-38	Bòbila Madurell	Mineral	Dena circular	Calaita			5	10	2	Neolític Mitjà
BM-M7-452	Bòbila Madurell	Mineral	Dena barrilet	Calaita	26,5	11		10	3	Neolític Mitjà
BM-H10-80	Bòbila Madurell	Mineral	Dena tubular	Calaita	7,2	6		6,2-5-5	2,5	Neolític Mitjà
BM-H10-43	Bòbila Madurell	Mineral	Dena bicònica globular	Calaita	9	8,8		7	2,5	Neolític Mitjà
BM-H10-41	Bòbila Madurell	Mineral	Dena barrilet	Calaita	11,8	7,3		6	3,5	Neolític Mitjà
BM-H10-42	Bòbila Madurell	Mineral	Dena barrilet	Calaita	14	8,5		6,5	3	Neolític Mitjà
BM-G12-45	Bòbila Madurell	Mineral	Dena circular	Calaita			1,5	6	1,8	Neolític Mitjà
BM-G12-145	Bòbila Madurell	Mineral	Dena circular	Calaita			3	5,7	2	Neolític Mitjà
BM-G12-22	Bòbila Madurell	Mineral	Dena circular	Calaita			3	6,4	1,7	Neolític Mitjà
BM-G9-12	Bòbila Madurell	Mineral	Dena circular	Calaita			1,6	6,9	1,5	Neolític Mitjà
BM-G9-78	Bòbila Madurell	Mineral	Dena circular	Calaita			3,8	7,7	2	Neolític Mitjà
BM-G9-69	Bòbila Madurell	Mineral	Dena circular	Calaita			3	6,7	1,5	Neolític Mitjà
BM-G9-1	Bòbila Madurell	Mineral	Dena circular	Silicat-moscovita			0,5-1	4	2	Neolític Mitjà
BM-G9-2	Bòbila Madurell	Mineral	Dena circular	Silicat-moscovita			0,5-1	5	2,5	Neolític Mitjà
BM-G9-3	Bòbila Madurell	Mineral	Dena circular	Silicat-moscovita			0,5-1	5	2	Neolític Mitjà
BM-G9-4	Bòbila Madurell	Mineral	Dena circular	Silicat-moscovita			0,5-1	5	2	Neolític Mitjà
BM-G9-5	Bòbila Madurell	Mineral	Dena circular	Silicat-moscovita			0,5-1	5	1,5	Neolític Mitjà
BM-G9-6	Bòbila Madurell	Mineral	Dena circular	Silicat-moscovita			1	4	2	Neolític Mitjà
BM-G9-7	Bòbila Madurell	Mineral	Dena circular	Silicat-moscovita			1	4	2	Neolític Mitjà
BM-G9-8	Bòbila Madurell	Mineral	Dena circular	Silicat-moscovita			0,5-1	4	2	Neolític Mitjà
BM-G9-9	Bòbila Madurell	Mineral	Dena circular	Silicat-moscovita			1	4	2	Neolític Mitjà
BM-G9-10	Bòbila Madurell	Mineral	Dena circular	Silicat-moscovita			1,3	4	2	Neolític Mitjà
BM-G9-11	Bòbila Madurell	Mineral	Dena circular	Silicat-moscovita			1	4	2,5	Neolític Mitjà
BM-G9-40	Bòbila Madurell	Mineral	Dena circular	Silicat-moscovita			0,5-1	4	2	Neolític Mitjà
BM-G9-73	Bòbila Madurell	Mineral	Dena circular	Silicat-moscovita			1	4	2	Neolític Mitjà
BM-G9-74	Bòbila Madurell	Mineral	Dena circular	Silicat-moscovita			1,2	4,1	2	Neolític Mitjà
BM-G9-75	Bòbila Madurell	Mineral	Dena circular	Silicat-moscovita			1,1	4	2	Neolític Mitjà
BM-G9-76	Bòbila Madurell	Mineral	Dena circular	Silicat-moscovita			1,2	4,2	1,7	Neolític Mitjà
BM-G9-77	Bòbila Madurell	Mineral	Dena circular	Silicat-moscovita			1	4,1	2	Neolític Mitjà
BM-G9-80	Bòbila Madurell	Mineral	Dena circular	Silicat-moscovita			1	3,8	1,7	Neolític Mitjà
BM-G9-81	Bòbila Madurell	Mineral	Dena circular	Silicat-moscovita			1	4	2	Neolític Mitjà
BM-G9-82	Bòbila Madurell	Mineral	Dena circular	Silicat-moscovita			0,6	4,1	1,5	Neolític Mitjà
BM-G9-83	Bòbila Madurell	Mineral	Dena circular	Silicat-moscovita			1,2	3,6	1,5	Neolític Mitjà
BM-G9-79	Bòbila Madurell	Mineral	Dena circular	Silicat-moscovita			1,2	4,1	2	Neolític Mitjà
BM-M14-3	Bòbila Madurell	Malacofauna marina	Valva perforada	Glycymeris sp	30	26	2,2		6,7x4	Neolític Mitjà
BM-H10-44	Bòbila Madurell	Malacofauna marina	Valva perforada	Glycymeris sp	23	22	2		4X2	Neolític Mitjà
BM-H10-82	Bòbila Madurell	Malacofauna marina	Valva perforada	Glycymeris sp	24	24	2,5		3,6X2,5	Neolític Mitjà

Sigla	Jaciment	Matèria	Objecte	Espècie	Amp	Long	Gruix	Diam	Dim. Perf.	CRONOLOGIA
BM-M5-53	Bòbila Madurell	Malacofauna marina	Valva perforada	Glycymeris sp					3,5	Neolític Mitjà
BM-11.3-127	Bòbila Madurell	Malacofauna marina	Valva perforada	Glycymeris sp	25,7	24,8	3		2,5X2	Neolític Mitjà
BM-11.3-128	Bòbila Madurell	Malacofauna marina	Valva perforada	Glycymeris sp					2X1	Neolític Mitjà
BM-I9-333	Bòbila Madurell	Malacofauna marina	Valva perforada	Glycymeris sp	34	33	2,7		3X2	Neolític Mitjà
BM-10.4-625	Bòbila Madurell	Malacofauna marina	Valva perforada	Glycymeris sp	26	23	2,5		2X1,5	Neolític Mitjà
BM-10.2-135	Bòbila Madurell	Malacofauna marina	Valva perforada	Glycymeris sp			2,5	25	4	Neolític Mitjà
BM-M9-6	Bòbila Madurell	Mineral	Dena tubular	Calaíta	8,5	8,5	2,8	7	2	Neolític Mitjà
BM-M9-89	Bòbila Madurell	Mineral	Dena circular	Calaíta			3	5,5	2,5	Neolític Mitjà
BM-M9-96	Bòbila Madurell	Mineral	Dena circular	Calaíta			4,3	8	2	Neolític Mitjà
BM-M9-84-83	Bòbila Madurell	Mineral	Dena barrilet	Calaíta	10		2,4	8,7	3	Neolític Mitjà
BM-M9-7	Bòbila Madurell	Mineral	Plaqueta rectangular	Calaíta	7,7	4,4	1,6			Neolític Mitjà
BM-M9-88	Bòbila Madurell	Mineral	Plaqueta rectangular	Calaíta	6,2	3,7	1,3			Neolític Mitjà
BM-M15-71	Bòbila Madurell	Mineral	Dena tubular	Calaíta		9,1		7	2,5	Neolític Mitjà
BM-M15-69	Bòbila Madurell	Mineral	Dena circular	Calaíta			2,5	5,5	2	Neolític Mitjà
BM-M15-96	Bòbila Madurell	Mineral	Dena circular	Calaíta			2,5	6,6	2	Neolític Mitjà
BM-M15-22	Bòbila Madurell	Mineral	Dena barrilet	Calaíta	22,5	12		9	3,6	Neolític Mitjà
BM-M15-74	Bòbila Madurell	Mineral	Dena circular	Calaíta			3	6,2	2	Neolític Mitjà
BM-M15-78	Bòbila Madurell	Mineral	Dena circular	Calaíta			4,3	8,6	2,3	Neolític Mitjà
BM-M15-94	Bòbila Madurell	Mineral	Dena barrilet	Calaíta	22,6	11,2		8,2	4,2	Neolític Mitjà
BM-M15-91	Bòbila Madurell	Mineral	Dena circular	Calaíta			3	6,3	2	Neolític Mitjà
BM-M15-73	Bòbila Madurell	Mineral	Dena circular	Calaíta			3	5,9	2	Neolític Mitjà
BM-M15-72	Bòbila Madurell	Mineral	Dena circular	Calaíta			3	6,6	2	Neolític Mitjà
BM-M15-12	Bòbila Madurell	Mineral	Dena barrilet	Calaíta	18,9	15		10x11	4,2-3,7	Neolític Mitjà
BM-M15-13	Bòbila Madurell	Mineral	Dena barrilet	Calaíta	26	12,3		7,3	3,6	Neolític Mitjà
BM-M15-97	Bòbila Madurell	Mineral	Dena circular	Calaíta			2,8	6,2	2	Neolític Mitjà
BM-M15-80	Bòbila Madurell	Mineral	Dena circular	Calaíta			2,5	6	2	Neolític Mitjà
BM-M15-90	Bòbila Madurell	Mineral	Dena circular	Calaíta			2,7	6	2	Neolític Mitjà
BM-M15-93	Bòbila Madurell	Mineral	Dena barrilet	Calaíta	20,5	11,8	11,2		3,2	Neolític Mitjà
BM-M15-88	Bòbila Madurell	Mineral	Dena barrilet	Calaíta	6,4	5,3			2	Neolític Mitjà
BM-M15-68	Bòbila Madurell	Mineral	Dena circular	Calaíta			3	6,9	2	Neolític Mitjà
BM-M15-85	Bòbila Madurell	Mineral	Dena circular	Calaíta			4,1	7	2,2	Neolític Mitjà
BM-M15-52	Bòbila Madurell	Mineral	Dena circular	Calaíta			2,8	7		Neolític Mitjà
BM-M15-67	Bòbila Madurell	Mineral	Dena circular	Calaíta			3,8	7	2,4	Neolític Mitjà
BM-M15-79	Bòbila Madurell	Mineral	Dena circular	Calaíta				7	2	Neolític Mitjà
BM-M15-54	Bòbila Madurell	Mineral	Dena circular	Calaíta				9	3	Neolític Mitjà
BM-M15-24	Bòbila Madurell	Mineral	Dena circular	Calaíta				6,5	2	Neolític Mitjà
BM-M15-46	Bòbila Madurell	Mineral	Dena circular	Calaíta				7,3	3,2	Neolític Mitjà
BM-M15-154	Bòbila Madurell	Mineral	Dena circular	Calaíta				5,7	2	Neolític Mitjà
BM-M15-87	Bòbila Madurell	Mineral	Dena circular	Calaíta				7	2,1	Neolític Mitjà
BM-M15-92	Bòbila Madurell	Mineral	Dena circular	Calaíta				7	2	Neolític Mitjà
BM-M15-103	Bòbila Madurell	Mineral	Dena circular	Calaíta				7,4	2	Neolític Mitjà
BM-M15-102	Bòbila Madurell	Mineral	Dena circular	Calaíta				8,1	3	Neolític Mitjà
BM-M15-14	Bòbila Madurell	Mineral	Dena circular	Calaíta				5,5	2	Neolític Mitjà
BM-M15-155	Bòbila Madurell	Mineral	Dena circular	Calaíta				7	2	Neolític Mitjà
BM-M15-100	Bòbila Madurell	Mineral	Dena circular	Calaíta				5,6	2,1	Neolític Mitjà
BM-M15-16	Bòbila Madurell	Mineral	Dena circular	Calaíta				7	2,3	Neolític Mitjà

Sigla	Jaciment	Matèria	Objecte	Espècie	Amp	Long	Gruix	Diam	Dim. Perf.	CRONOLOGIA
BM-M15-89	Bòbila Madurell	Mineral	Dena circular	Calaita				7,7	2,5	Neolític Mitjà
BM-M15-99	Bòbila Madurell	Mineral	Dena circular	Calaita				6,8	2,2	Neolític Mitjà
BM-M15-44	Bòbila Madurell	Mineral	Dena circular	Calaita				7,6	2,3	Neolític Mitjà
BM-M15-23	Bòbila Madurell	Mineral	Dena circular	Calaita				8,5	3,1	Neolític Mitjà
BM-M15-77	Bòbila Madurell	Mineral	Dena circular	Calaita				5,3	2	Neolític Mitjà
BM-M15-15	Bòbila Madurell	Mineral	Dena circular	Calaita				7,5	2	Neolític Mitjà
BM-M15-51	Bòbila Madurell	Mineral	Dena circular	Calaita				9	3	Neolític Mitjà
BM-M15-49	Bòbila Madurell	Mineral	Dena circular	Calaita				7,4	2,1	Neolític Mitjà
BM-M15-76	Bòbila Madurell	Mineral	Dena circular	Calaita				6,5	2	Neolític Mitjà
BM-M15-47	Bòbila Madurell	Mineral	Dena circular	Calaita				5,4	2,1	Neolític Mitjà
BM-M15-84	Bòbila Madurell	Mineral	Dena circular	Calaita				5,7	2,3	Neolític Mitjà
BM-M15-81	Bòbila Madurell	Mineral	Dena circular	Calaita				6,1	2,3	Neolític Mitjà
BM-M15-75	Bòbila Madurell	Mineral	Dena circular	Calaita				6,3	2	Neolític Mitjà
BM-M15-70	Bòbila Madurell	Mineral	Dena circular	Calaita				7,5	2,5	Neolític Mitjà
BM-M15-57	Bòbila Madurell	Mineral	Dena circular	Calaita				8,6	2,5	Neolític Mitjà
BM-M15-98	Bòbila Madurell	Mineral	Dena circular	Calaita				7,3	2	Neolític Mitjà
BM-M15-50	Bòbila Madurell	Mineral	Dena barrilet	Calaita	11,5			8	3,3	Neolític Mitjà
BM-M15-101	Bòbila Madurell	Mineral	Dena barrilet	Calaita	15,8	10,5	8,8		3	Neolític Mitjà
BM-M15-59	Bòbila Madurell	Mineral	Dena barrilet	Calaita	10,1	8,6	7,4		2,7	Neolític Mitjà
BM-M15-45	Bòbila Madurell	Corall	Dena tubular	Corall rosat	4,9			4,3	2	Neolític Mitjà
BM-M15-53	Bòbila Madurell	Corall	Dena tubular	Corall rosat	4,6			5,6	2	Neolític Mitjà
BM-M15-55	Bòbila Madurell	Mineral	Dena barrilet	Calaita	11,6	8,1	6,3		3	Neolític Mitjà
BM-M15-17	Bòbila Madurell	Mineral	Dena bicònica globular	Calaita	6,1			5,6	3,2	Neolític Mitjà
BM-M15-48	Bòbila Madurell	Mineral	Dena barrilet	Calaita	7,8	7,2	6,2		2	Neolític Mitjà
BM-M15-19	Bòbila Madurell	Mineral	Dena barrilet	Calaita	10,6	7,8	8		3	Neolític Mitjà
BM-M15-43	Bòbila Madurell	Mineral	Dena barrilet	Calaita	8,2			7,3	2,3	Neolític Mitjà
BM-M15-86	Bòbila Madurell	Mineral	Dena barrilet	Calaita	13	9,4	7,2		3	Neolític Mitjà
BM-M15-56	Bòbila Madurell	Mineral	Dena barrilet	Calaita	12	9,7	6,8		3	Neolític Mitjà
BM-M15-18	Bòbila Madurell	Mineral	Dena globular	Calaita	7,5	6,4	4		2,2	Neolític Mitjà
BM-M15-153	Bòbila Madurell	Mineral	Dena barrilet	Calaita	13,8			7,3	3,5	Neolític Mitjà
BM-G10-188	Bòbila Madurell	Mineral	Dena globular	Calaita	9,3	7,4	4,4		2	Neolític Mitjà
BM-G10-191	Bòbila Madurell	Mineral	ND	Calaita	9,3	7,4	4,5		2	Neolític Mitjà
BM-G10-192	Bòbila Madurell	Mineral	Dena circular	Calaita	9	7,4	4,5		2	Neolític Mitjà
BM-G10-22	Bòbila Madurell	Mineral	ND	Calaita	9	7,4	4,4		2	Neolític Mitjà
BM-G10-69	Bòbila Madurell	Mineral	Dena circular	Calaita			5,1	11,6	2,5	Neolític Mitjà
BM-G10-68	Bòbila Madurell	Mineral	ND	Calaita						Neolític Mitjà
BM-G10-52	Bòbila Madurell	Mineral	Dena circular	Calaita			4,6	11,5	2,1	Neolític Mitjà
BM-G10-51	Bòbila Madurell	Mineral	Dena circular	Calaita			4	7,9	2	Neolític Mitjà
BM-G10-30	Bòbila Madurell	Mineral	Dena tubular	Calaita		6		7,3	2,5	Neolític Mitjà
BM-G10-186	Bòbila Madurell	Mineral	Dena tubular	Calaita		5,7		8,5	2,5	Neolític Mitjà
BM-G10-26	Bòbila Madurell	Mineral	Dena tubular	Calaita		4,3		7,1	2,5	Neolític Mitjà
BM-G10-185	Bòbila Madurell	Mineral	Dena circular	Calaita			4,4	8,6	2,5	Neolític Mitjà
BM-G10-25	Bòbila Madurell	Mineral	Dena barrilet	Calaita	22		13	10x11	3,5	Neolític Mitjà
BM-G10-187	Bòbila Madurell	Mineral	Dena circular	Calaita	6,2x4,5			7,9	3	Neolític Mitjà
BM-G10-193	Bòbila Madurell	Mineral	Dena circular	Calaita			2,8	7,6	2,5	Neolític Mitjà
BM-G10-183	Bòbila Madurell	Mineral	Dena tubular	Calaita			5	7,5	2,5	Neolític Mitjà

Sigla	Jaciment	Matèria	Objecte	Espècie	Amp	Long	Gruix	Diam	Dim. Perf.	CRONOLOGIA
BM-G10-11	Bòbila Madurell	Mineral	Dena barrilet	Calaíta	23		11	10	3	Neolític Mitjà
BM-G10-181	Bòbila Madurell	Mineral	Dena circular	Calaíta			4	7,6	2	Neolític Mitjà
BM-G10-182	Bòbila Madurell	Mineral	Dena circular	Calaíta			4,7	7	2	Neolític Mitjà
BM-G10-190	Bòbila Madurell	Mineral	Dena circular	Calaíta			4,2	8	2	Neolític Mitjà
BM-G10-184	Bòbila Madurell	Mineral	Dena circular	Calaíta			4,5	10,5	2,5	Neolític Mitjà
BM-G10-189	Bòbila Madurell	Mineral	Dena circular	Calaíta			4,8	7,6	2	Neolític Mitjà
BM-G10-20	Bòbila Madurell	Mineral	Dena circular	Calaíta				11,2		Neolític Mitjà
BM-MS61-13-1	Bòbila Madurell	Mineral	Dena circular	Calaíta			3	7	2	Neolític Mitjà
BM-MS61-13-2	Bòbila Madurell	Mineral	Dena circular	Calaíta			3	7	2	Neolític Mitjà
BM-MS61-13-3	Bòbila Madurell	Mineral	Dena circular	Calaíta			3	6	2	Neolític Mitjà
BM-MS61-13-4	Bòbila Madurell	Mineral	Dena circular	Calaíta			3	6	2	Neolític Mitjà
BM-MS61-13-5	Bòbila Madurell	Mineral	Dena circular	Calaíta			3	5	2	Neolític Mitjà
BM-MS61-13-6	Bòbila Madurell	Mineral	Dena circular	Calaíta			3	5	2	Neolític Mitjà
BM-MS61-13-7	Bòbila Madurell	Mineral	Dena circular	Calaíta			3	7	2	Neolític Mitjà
BM-MS61-13-8	Bòbila Madurell	Mineral	Dena circular	Calaíta			3	6	2	Neolític Mitjà
BM-MS61-13-9	Bòbila Madurell	Mineral	Dena circular	Calaíta			3	7	2	Neolític Mitjà
BM-MS61-13-10	Bòbila Madurell	Mineral	Dena circular	Calaíta			3	6	2	Neolític Mitjà
BM-MS61-13-11	Bòbila Madurell	Mineral	Dena circular	Calaíta			3	6	2	Neolític Mitjà
BM-MS61-13-12	Bòbila Madurell	Mineral	Dena circular	Calaíta			3	6	2	Neolític Mitjà
BM-MS61-13-13	Bòbila Madurell	Mineral	Dena circular	Calaíta			3	7	2	Neolític Mitjà
BM-MS61-13-14	Bòbila Madurell	Mineral	Dena circular	Calaíta			3	7	2	Neolític Mitjà
BM-MS61-13-15	Bòbila Madurell	Mineral	Dena circular	Calaíta			3	7	2	Neolític Mitjà
BM-MS61-13-16	Bòbila Madurell	Mineral	Dena circular	Calaíta			3	7	2	Neolític Mitjà
BM-MS61-13-17	Bòbila Madurell	Mineral	Dena circular	Calaíta			3	7	2	Neolític Mitjà
BM-MS61-13-18	Bòbila Madurell	Mineral	Dena circular	Calaíta			3	7	2	Neolític Mitjà
BM-MS61-13-19	Bòbila Madurell	Mineral	Dena circular	Calaíta			3	6	2	Neolític Mitjà
BM-MS61-13-20	Bòbila Madurell	Mineral	Dena circular	Calaíta			3	6	2	Neolític Mitjà
BM-MS61-13-21	Bòbila Madurell	Mineral	Dena circular	Calaíta			3	6	2	Neolític Mitjà
BM-MS61-13-22	Bòbila Madurell	Mineral	Dena circular	Calaíta			3	6	2	Neolític Mitjà
BM-MS61-13-23	Bòbila Madurell	Mineral	Dena circular	Calaíta			3	7	2	Neolític Mitjà
BM-MS61-13-24	Bòbila Madurell	Mineral	Dena circular	Calaíta			3	5	2	Neolític Mitjà
BM-MS61-13-25	Bòbila Madurell	Mineral	Dena circular	Calaíta			3	5	2	Neolític Mitjà
BM-MS61-13-26	Bòbila Madurell	Mineral	Dena circular	Calaíta			3	5	2	Neolític Mitjà
BM-MS61-13-27	Bòbila Madurell	Mineral	Dena circular	Calaíta			3	6	2	Neolític Mitjà
BM-MS61-13-28	Bòbila Madurell	Mineral	Dena circular	Calaíta			3	6	2	Neolític Mitjà
BM-MS61-13-29	Bòbila Madurell	Mineral	Dena circular	Calaíta			3	6	2	Neolític Mitjà
BM-MS61-13-30	Bòbila Madurell	Mineral	Dena circular	Calaíta			3	6	2	Neolític Mitjà
BM-MS61-13-31	Bòbila Madurell	Mineral	Dena circular	Calaíta			3	6	2	Neolític Mitjà
BM-MS61-13-32	Bòbila Madurell	Mineral	Dena circular	Calaíta			3	6	2	Neolític Mitjà
BM-MS61-13-33	Bòbila Madurell	Mineral	Dena circular	Calaíta			3	7	2	Neolític Mitjà
BM-MS61-13-34	Bòbila Madurell	Mineral	Dena circular	Calaíta			3	7	2	Neolític Mitjà
BM-MS61-13-35	Bòbila Madurell	Mineral	Dena circular	Calaíta			3	6	2	Neolític Mitjà
BM-MS61-13-36	Bòbila Madurell	Mineral	Dena circular	Calaíta			3	6	2	Neolític Mitjà
BM-MS61-13-37	Bòbila Madurell	Mineral	Dena circular	Calaíta			3	6	2	Neolític Mitjà
BM-MS61-13-38	Bòbila Madurell	Mineral	Dena circular	Calaíta			3	7	2	Neolític Mitjà
BM-MS61-28-1	Bòbila Madurell	Mineral	Dena circular	Calaíta			3	8	2	Neolític Mitjà

Sigla	Jaciment	Matèria	Objecte	Espècie	Amp	Long	Gruix	Diam	Dim. Perf.	CRONOLOGIA
BM-MS61-28-2	Bòbila Madurell	Mineral	Dena circular	Calaita			3	8	2	Neolític Mitjà
BM-MS61-28-3	Bòbila Madurell	Mineral	Dena circular	Calaita			3	7	2	Neolític Mitjà
BM-MS61-28-4	Bòbila Madurell	Corall	Dena tubular-globular	Corall	3	3,5	2	7	2	Neolític Mitjà
BM-MS61-28-5	Bòbila Madurell	Corall	Dena tubular	Corall	4	3,5	2	6	2	Neolític Mitjà
BM-MS61-37-1	Bòbila Madurell	Mineral	Dena rectangular	Calaita			3	6	2	Neolític Mitjà
BM-MS61-37-2	Bòbila Madurell	Mineral	Dena circular	Calaita			5	10	2	Neolític Mitjà
BM-MS61-37-3	Bòbila Madurell	Mineral	Dena circular	Calaita			3	6	2	Neolític Mitjà
BM-MS61-37-4	Bòbila Madurell	Mineral	Dena circular	Calaita			2	5	2	Neolític Mitjà
BM-MS61-37-5	Bòbila Madurell	Mineral	Dena circular	Calaita			2	5	2	Neolític Mitjà
BM-MS61-37-6	Bòbila Madurell	Mineral	Dena circular	Calaita			2	5	2	Neolític Mitjà
BM-MS61-37-7	Bòbila Madurell	Mineral	Dena circular	Calaita			3	8	2	Neolític Mitjà
BM-MS61-37-8	Bòbila Madurell	Mineral	Dena circular	Calaita			3	6	2	Neolític Mitjà
BM-MS61-37-9	Bòbila Madurell	Mineral	Dena circular	Calaita			3	7	2	Neolític Mitjà
BM-MS61-37-10	Bòbila Madurell	Mineral	Dena circular	Calaita			3	6	2	Neolític Mitjà
BM-MS61-37-11	Bòbila Madurell	Mineral	Dena circular	Calaita			3	7	2	Neolític Mitjà
BM-MS61-37-12	Bòbila Madurell	Mineral	Dena circular	Calaita			3	7	2	Neolític Mitjà
BM-MS61-37-13	Bòbila Madurell	Mineral	Dena circular	Calaita			3	6	2	Neolític Mitjà
BM-MS61-37-14	Bòbila Madurell	Mineral	Dena circular	Calaita			3	8	2	Neolític Mitjà
BM-MS61-37-15	Bòbila Madurell	Mineral	Dena barrilet	Calaita	8	6	3		2	Neolític Mitjà
BM-MS61-37-16	Bòbila Madurell	Corall	Dena tubular	Corall	4	4,5	2,5		2	Neolític Mitjà
BM-MS61-37-17	Bòbila Madurell	Corall	Dena circular	Corall	2	3,5	2,5		2	Neolític Mitjà
BM-MS61-16-1	Bòbila Madurell	Mineral	Dena circular	Calaita			4	7	2	Neolític Mitjà
BM-MS61-16-2	Bòbila Madurell	Mineral	Dena circular	Calaita			4	5	2	Neolític Mitjà
BM-MS61-16-3	Bòbila Madurell	Mineral	Dena circular	Calaita			4	6	2	Neolític Mitjà
BM-MS61-16-4	Bòbila Madurell	Mineral	Dena circular	Calaita			4	6	2	Neolític Mitjà
BM-MS61-16-5	Bòbila Madurell	Mineral	Dena circular	Calaita			4	6	2	Neolític Mitjà
BM-MS61-16-6	Bòbila Madurell	Mineral	Dena circular	Calaita			4	7	2	Neolític Mitjà
BM-MS61-16-7	Bòbila Madurell	Mineral	Dena circular	Calaita			4	5	2	Neolític Mitjà
BM-MS61-16-8	Bòbila Madurell	Corall	Dena tubular	Corall	5	6	2,5		2	Neolític Mitjà
BM-MS61-20	Bòbila Madurell	Mineral	Dena barrilet	Calaita	11	8	6		2	Neolític Mitjà
BM-MS61-19	Bòbila Madurell	Mineral	Dena barrilet	Calaita	20	15			4	Neolític Mitjà
BM-MS61-56	Bòbila Madurell	Mineral	Plaqueta rectangular	Calaita	5	5	2			Neolític Mitjà
BM-MS61-18-1	Bòbila Madurell	Mineral	Dena barrilet	Calaita	24	12	5			Neolític Mitjà
BM-MS61-18-2	Bòbila Madurell	Mineral	Dena barrilet	Calaita	15	9	3			Neolític Mitjà
BM-MS61-18-3	Bòbila Madurell	Mineral	Dena barrilet	Calaita	16	8	4			Neolític Mitjà
BM-MS61-18-4	Bòbila Madurell	Mineral	Dena barrilet	Calaita	9	7	2			Neolític Mitjà
BM-MS61-18-5	Bòbila Madurell	Mineral	Dena circular	Calaita				6	3	Neolític Mitjà
BM-MS61-18-6	Bòbila Madurell	Mineral	Dena circular	Calaita				6	3	Neolític Mitjà
BM-MS15-1	Bòbila Madurell	Mineral	Dena barrilet	Calaita	22	15	4			Neolític Mitjà
BM-MS15-2	Bòbila Madurell	Mineral	Dena barrilet	Calaita	17	10	3			Neolític Mitjà
BM-MS15-3	Bòbila Madurell	Mineral	Dena barrilet	Calaita	14	9	3			Neolític Mitjà
BM-MS15-4	Bòbila Madurell	Mineral	Dena barrilet	Calaita	13	9	3			Neolític Mitjà
BM-MS15-5	Bòbila Madurell	Mineral	Dena barrilet	Calaita	15	11	4		2,5	Neolític Mitjà
BM-MS61-21-1	Bòbila Madurell	Mineral	Dena circular	Calaita			4	7	2	Neolític Mitjà
BM-MS61-21-2	Bòbila Madurell	Mineral	Dena circular	Calaita			4	7	2	Neolític Mitjà
BM-MS61-21-3	Bòbila Madurell	Mineral	Dena barrilet	Calaita	10	7			2,5	Neolític Mitjà

Sigla	Jaciment	Matèria	Objecte	Espècie	Amp	Long	Gruix	Diam	Dim. Perf.	CRONOLOGIA
BM-MS61-17-1	Bòbila Madurell	Mineral	Dena circular	Calaïta			7	10	2	Neolític Mitjà
BM-MS61-17-2	Bòbila Madurell	Mineral	Dena circular	Calaïta			5	7	2	Neolític Mitjà
BM-MS61-17-3	Bòbila Madurell	Mineral	Dena circular	Calaïta			4	7	2	Neolític Mitjà
BM-MS61-17-4	Bòbila Madurell	Mineral	Dena circular	Calaïta			3,5	7	2	Neolític Mitjà
BM-MS61-14-1	Bòbila Madurell	Mineral	Dena circular	Calaïta				5	2	Neolític Mitjà
BM-MS61-14-2	Bòbila Madurell	Mineral	Dena circular	Calaïta				5	2	Neolític Mitjà
BM-MS61-14-3	Bòbila Madurell	Mineral	Dena circular	Calaïta				5	2	Neolític Mitjà
BM-MS61-14-4	Bòbila Madurell	Mineral	Dena circular	Calaïta				5	2	Neolític Mitjà
BM-MS61-14-5	Bòbila Madurell	Mineral	Dena circular	Calaïta				5	2	Neolític Mitjà
BM-MS61-12	Bòbila Madurell	Mineral	Dena circular	Calaïta			2	7	2	Neolític Mitjà
BM-MS61-11	Bòbila Madurell	Mineral	Dena circular	Calaïta			3,5	7	2	Neolític Mitjà
BM-MS61-29-1	Bòbila Madurell	Mineral	Dena tubular	Calaïta	6	6			3	Neolític Mitjà
BM-MS61-29-2	Bòbila Madurell	Mineral	Dena circular	Calaïta	6	3			2	Neolític Mitjà
BM-MS61-10	Bòbila Madurell	Mineral	Dena circular	Calaïta	6	3			2	Neolític Mitjà
S-1	Tomba de Segudet	Malacofauna marina	Braçalet	Glycymeris glycymeris			5	76	35	Neolític Mitjà
S-2	Tomba de Segudet	Malacofauna marina	Braçalet	Glycymeris glycymeris			6	80	61	Neolític Mitjà
S-3	Tomba de Segudet	Malacofauna marina	Braçalet	Glycymeris glycymeris			10	80	63	Neolític Mitjà
S-4	Tomba de Segudet	Mineral	Dena circular	XRD quars i moscovita			3	5	2	Neolític Mitjà
S-5	Tomba de Segudet	Mineral	Dena circular	XRD quars i moscovita			1	4	2	Neolític Mitjà
S-6	Tomba de Segudet	Mineral	Dena circular	XRD quars i moscovita			1	3,75	1,5	Neolític Mitjà
S-7	Tomba de Segudet	Mineral	Dena circular	XRD quars i moscovita			1	3,75	1,5	Neolític Mitjà
S-8	Tomba de Segudet	Mineral	Dena circular	XRD quars i moscovita			1	3,75	1,5	Neolític Mitjà
S-9	Tomba de Segudet	Mineral	Dena circular	XRD quars i moscovita			1	3,75	1,5	Neolític Mitjà
S-10	Tomba de Segudet	Mineral	Dena circular	XRD quars i moscovita			1	3,75	1,5	Neolític Mitjà
S-11	Tomba de Segudet	Mineral	Dena circular	XRD quars i moscovita			1	3,75	1,5	Neolític Mitjà
S-12	Tomba de Segudet	Mineral	Dena circular	XRD quars i moscovita			1	3,75	1,5	Neolític Mitjà
S-13	Tomba de Segudet	Mineral	Dena circular	XRD quars i moscovita			1	3,75	1,5	Neolític Mitjà
S-14	Tomba de Segudet	Mineral	Dena circular	XRD quars i moscovita			1	3,75	1,5	Neolític Mitjà
S-15	Tomba de Segudet	Mineral	Dena circular	XRD quars i moscovita			1	3,75	1,5	Neolític Mitjà
S-16	Tomba de Segudet	Mineral	Dena circular	XRD quars i moscovita			1	3,75	1,5	Neolític Mitjà
S-17	Tomba de Segudet	Mineral	Dena circular	XRD quars i moscovita			1	3,75	1,5	Neolític Mitjà
S-18	Tomba de Segudet	Mineral	Dena circular	XRD quars i moscovita			1	3,75	1,5	Neolític Mitjà
S-19	Tomba de Segudet	Mineral	Dena circular	XRD quars i moscovita			1	3,75	1,5	Neolític Mitjà
S-20	Tomba de Segudet	Mineral	Dena circular	XRD quars i moscovita			1	3,75	1,5	Neolític Mitjà
S-21	Tomba de Segudet	Mineral	Dena circular	XRD quars i moscovita			1	3,75	1,5	Neolític Mitjà
S-22	Tomba de Segudet	Mineral	Dena circular	XRD quars i moscovita			1	3,75	1,5	Neolític Mitjà
S-23	Tomba de Segudet	Mineral	Dena circular	XRD quars i moscovita			1	3,75	1,5	Neolític Mitjà
S-24	Tomba de Segudet	Mineral	Dena circular	XRD quars i moscovita			1	3,75	1,5	Neolític Mitjà
S-25	Tomba de Segudet	Mineral	Dena circular	XRD quars i moscovita			1	3,75	1,5	Neolític Mitjà
S-26	Tomba de Segudet	Mineral	Dena circular	XRD quars i moscovita			1	3,75	1,5	Neolític Mitjà
S-27	Tomba de Segudet	Mineral	Dena circular	XRD quars i moscovita			1	3,75	1,5	Neolític Mitjà
S-28	Tomba de Segudet	Mineral	Dena circular	XRD quars i moscovita			1	3,75	1,5	Neolític Mitjà
S-29	Tomba de Segudet	Mineral	Dena circular	XRD quars i moscovita			1	3,75	1,5	Neolític Mitjà
S-30	Tomba de Segudet	Mineral	Dena circular	XRD quars i moscovita			1	3,75	1,5	Neolític Mitjà
S-31	Tomba de Segudet	Mineral	Dena circular	XRD quars i moscovita			1	3,75	1,5	Neolític Mitjà
S-32	Tomba de Segudet	Mineral	Dena circular	XRD quars i moscovita			3	5	2	Neolític Mitjà

Sigla	Jaciment	Matèria	Objecte	Espècie	Amp	Long	Gruix	Diam	Dim. Perf.	CRONOLOGIA
FM-33c	Feixa del Moro	Mineral	Dena circular	Variscita XRD			1,5	5	2	Neolític Mitjà
FM-43c	Feixa del Moro	Mineral	Dena circular	Variscita XRD			4,5	5	2,5	Neolític Mitjà
FM-41c	Feixa del Moro	Mineral	Dena circular	Variscita XRD	5	7		5	2,5	Neolític Mitjà
FM-36c	Feixa del Moro	Mineral	Dena circular	Variscita XRD			3	7	2	Neolític Mitjà
FM-3c	Feixa del Moro	Mineral	Dena circular	Variscita XRD			4	7,5	2	Neolític Mitjà
FM-42c	Feixa del Moro	Mineral	Dena circular	Variscita XRD	8	8		6 i 8	2	Neolític Mitjà
FM-26c	Feixa del Moro	Mineral	Dena circular	Variscita XRD	9	9,5		7,5	3	Neolític Mitjà
FM-24c	Feixa del Moro	Mineral	Dena circular	Variscita XRD	7	14		6	3	Neolític Mitjà
FM-6	Feixa del Moro	Mineral	Dena tonelet	Variscita XRD	8	9,5		6	2	Neolític Mitjà
FM-11c	Feixa del Moro	Mineral	Dena circular	Variscita XRD			3,5	7	2	Neolític Mitjà
FM-13c	Feixa del Moro	Mineral	Dena circular	Variscita XRD			3,5	8	2,5	Neolític Mitjà
FM-17c	Feixa del Moro	Mineral	Dena circular	Variscita XRD		5	4,5	4	3	Neolític Mitjà
FM-28t	Feixa del Moro	Mineral	Dena tonelet	Variscita XRD				6,5	2,5	Neolític Mitjà
FM-29t	Feixa del Moro	Mineral	Dena tonelet	Variscita XRD	8	9		6	2	Neolític Mitjà
FM-14t	Feixa del Moro	Mineral	Dena tonelet	Variscita XRD	7		2,5	5	2	Neolític Mitjà
FM-16t	Feixa del Moro	Mineral	Dena tonelet	Variscita XRD	7		1,5	5	2	Neolític Mitjà
FM-40t	Feixa del Moro	Mineral	Dena tonelet	Variscita XRD	8		2	7	2,5	Neolític Mitjà
FM-10t	Feixa del Moro	Mineral	Dena tonelet	Variscita XRD	9		2	5,5	2,5	Neolític Mitjà
FM-9t	Feixa del Moro	Mineral	Dena tonelet	Variscita XRD	5	9		6	2	Neolític Mitjà
FM-4t	Feixa del Moro	Mineral	Dena tonelet	Variscita XRD	4	9		5	2	Neolític Mitjà
FM-7t	Feixa del Moro	Mineral	Dena tonelet	Variscita XRD	5	9,3		6	2	Neolític Mitjà
FM-19t	Feixa del Moro	Mineral	Dena tonelet	Variscita XRD	8	9,3		6,5	3	Neolític Mitjà
FM-38t	Feixa del Moro	Mineral	Dena tonelet	Variscita XRD	8	9,3		5	3	Neolític Mitjà
FM-1t	Feixa del Moro	Mineral	Dena tonelet	Variscita XRD	8	9,3		6	2	Neolític Mitjà
FM-44t	Feixa del Moro	Mineral	Dena tonelet	Variscita XRD	8	9,3		5	2	Neolític Mitjà
FM-snt	Feixa del Moro	Mineral	Dena tonelet	Variscita XRD	8	9,3		7,3	2,5	Neolític Mitjà
FM-20t	Feixa del Moro	Mineral	Dena tonelet	Variscita XRD	8	9,3		6	3	Neolític Mitjà
FM-3t	Feixa del Moro	Mineral	Dena tonelet	Variscita XRD		9,3		5	2,5	Neolític Mitjà
FM-42t	Feixa del Moro	Mineral	Dena tonelet	Variscita XRD	7	9,3		7,4	2	Neolític Mitjà
FM-22t	Feixa del Moro	Mineral	Dena tonelet	Variscita XRD	7	9,3		6	2	Neolític Mitjà
FM-5t	Feixa del Moro	Mineral	Dena tonelet	Variscita XRD	7	9,3		7	2,5	Neolític Mitjà
FM-46	Feixa del Moro	Mineral	Dena tonelet	Variscita XRD	8	9,3		6,5	3	Neolític Mitjà
FM-21t	Feixa del Moro	Mineral	Dena tonelet	Variscita XRD	8	9,3		5	2,5	Neolític Mitjà
FM-26t	Feixa del Moro	Mineral	Dena tonelet	Variscita XRD	8	9,3		6	2	Neolític Mitjà
FM-8	Feixa del Moro	Mineral	Dena globular bicònica	Variscita XRD	7	10			2	Neolític Mitjà
FM-12t	Feixa del Moro	Mineral	Dena tonelet	Variscita XRD	8	9				Neolític Mitjà
FM-30c	Feixa del Moro	Mineral	Dena circular	Variscita XRD			2	4	3	Neolític Mitjà
FM-15t	Feixa del Moro	Mineral	Dena tonelet	Variscita XRD	8	9				Neolític Mitjà
FM-h-	Feixa del Moro	Mineral	Dena circular	Variscita XRD			1,5	5	2	Neolític Mitjà
FM-32c	Feixa del Moro	Mineral	Dena circular	Variscita XRD			4,5	5	2,5	Neolític Mitjà
FM-25c	Feixa del Moro	Mineral	Dena circular	Variscita XRD	5	7		5	2,5	Neolític Mitjà
FM-l-	Feixa del Moro	Mineral	Dena circular	Variscita XRD			3	7	2	Neolític Mitjà
FM-39c	Feixa del Moro	Mineral	Dena circular	Variscita XRD			4	7,5	2	Neolític Mitjà
FM-37c	Feixa del Moro	Mineral	Dena circular	Variscita XRD	8	8		6 i 8	2	Neolític Mitjà
FM-F-	Feixa del Moro	Mineral	Dena circular	Variscita XRD	9	9,5		7,5	3	Neolític Mitjà
FM-35c	Feixa del Moro	Mineral	Dena circular	Variscita XRD	7	14		6	3	Neolític Mitjà

Sigla	Jaciment	Matèria	Objecte	Espècie	Amp	Long	Gruix	Diam	Dim. Perf.	CRONOLOGIA
FM-46c	Feixa del Moro	Mineral	Dena circular	Variscita XRD			1,5	5	2	Neolític Mitjà
FM-34c	Feixa del Moro	Mineral	Dena circular	Variscita XRD			4,5	5	2,5	Neolític Mitjà
FM-c-	Feixa del Moro	Mineral	Dena circular	Variscita XRD	5	7		5	2,5	Neolític Mitjà
FM-d	Feixa del Moro	Mineral	Dena circular	Variscita XRD			3	7	2	Neolític Mitjà
FM-48c	Feixa del Moro	Mineral	Dena circular	Variscita XRD			4	7,5	2	Neolític Mitjà
UE3489 S/N	La Gardunya	Mineral	Dena circular	Variscita			3,4	10	2,7	Neolític Mitjà
UE3489 52	La Gardunya	Mineral	Dena circular	Variscita			4,3	15,2	2,4	Neolític Mitjà
UE3489 12	La Gardunya	Mineral	Dena circular	Variscita			3,8	15,6	2,5	Neolític Mitjà
UE3489 13	La Gardunya	Mineral	Dena circular	Variscita			4	16,5	2,3	Neolític Mitjà
UE3489 60	La Gardunya	Mineral	Dena circular	Variscita			6,6	14,7	2,5	Neolític Mitjà
UE3489 11	La Gardunya	Mineral	Dena circular	Variscita			4,2	16,1	2,5	Neolític Mitjà
UE3489 10	La Gardunya	Mineral	Dena circular	Variscita			4,7	14,1	2,3	Neolític Mitjà
UE3489 62	La Gardunya	Mineral	Dena circular	Variscita			3,8	12,1	2,3	Neolític Mitjà
UE3489 53	La Gardunya	Mineral	Dena circular	Variscita			2,5	7,9	2	Neolític Mitjà
UE3489 43	La Gardunya	Mineral	Dena circular	Variscita			3,7	9,4	2	Neolític Mitjà
UE3489 71	La Gardunya	Mineral	Dena circular	Variscita			2,6	8	2	Neolític Mitjà
UE3489 63	La Gardunya	Mineral	Dena circular	Variscita			4,5	10,5	2	Neolític Mitjà
UE3489 23a	La Gardunya	Mineral	Dena circular	Variscita			3,4	8,6	2	Neolític Mitjà
UE3489 8	La Gardunya	Mineral	Dena circular	Variscita			4,4	11,2	2	Neolític Mitjà
UE3489 24a	La Gardunya	Mineral	Dena circular	Variscita			3,3	7,5	2	Neolític Mitjà
UE3489 9	La Gardunya	Mineral	Dena circular	Variscita			5,3	12	2,6	Neolític Mitjà
UE3489 67	La Gardunya	Mineral	Dena circular	Variscita			3,5	9,6	2,5	Neolític Mitjà
UE3489 59	La Gardunya	Mineral	Dena circular	Variscita			4,4	11,2	2,5	Neolític Mitjà
UE3489 6	La Gardunya	Mineral	Dena circular	Variscita			4,2	12,3	2,2-2,9	Neolític Mitjà
UE3489 58	La Gardunya	Mineral	Dena circular	Variscita			4,8	10,9	2,2	Neolític Mitjà
UE3489 22a	La Gardunya	Mineral	Dena circular	Variscita			2,7	9,2	2,2	Neolític Mitjà
UE3489 21	La Gardunya	Mineral	Dena circular	Variscita			4,1	8,6	2	Neolític Mitjà
UE3489 44	La Gardunya	Mineral	Dena circular	Variscita			4,6	10	2,3	Neolític Mitjà
UE3489 70	La Gardunya	Mineral	Dena circular	Variscita			4,7	11,3	2	Neolític Mitjà
UE3489 48	La Gardunya	Mineral	Dena circular	Variscita			1,7	8,1	2	Neolític Mitjà
UE3489 25a	La Gardunya	Mineral	Dena circular	Variscita			5,1	10	2	Neolític Mitjà
UE3489 41	La Gardunya	Mineral	Dena circular	Variscita			6	11	2,2	Neolític Mitjà
UE3489 20	La Gardunya	Mineral	Dena circular	Variscita			4,7	10,4	2,7	Neolític Mitjà
UE3489 45	La Gardunya	Mineral	Dena circular	Variscita			4,4	9,5	2	Neolític Mitjà
UE3489 66	La Gardunya	Mineral	Dena circular	Variscita			2,4	8,9	1,9	Neolític Mitjà
UE3489 72	La Gardunya	Mineral	Dena circular	Variscita			3	9,3	1,9	Neolític Mitjà
UE3489 47	La Gardunya	Mineral	Dena circular	Variscita			3,4	8,8	2	Neolític Mitjà
UE3489 55	La Gardunya	Mineral	Dena circular	Variscita			3,3	9,9	2	Neolític Mitjà
UE3489 51	La Gardunya	Mineral	Dena circular	Variscita			4,4	9,5	2,5	Neolític Mitjà
UE3489 5	La Gardunya	Mineral	Dena circular	Variscita			4	9,3	2,5	Neolític Mitjà
UE3489 46	La Gardunya	Mineral	Dena circular	Variscita			2,8	8,7	2,5	Neolític Mitjà
UE3489 56	La Gardunya	Mineral	Dena circular	Variscita			5,6	10,2	2	Neolític Mitjà
UE3489 1	La Gardunya	Mineral	Dena circular	Variscita			5,4	11,2	2,5	Neolític Mitjà
UE3489 2	La Gardunya	Mineral	Dena circular	Variscita			4,2	9,6	2,5	Neolític Mitjà
UE3489 3	La Gardunya	Mineral	Dena circular	Variscita			4,9	9,8	2,5	Neolític Mitjà
UE3489 7	La Gardunya	Mineral	Dena circular	Variscita			4,5	11,3	2	Neolític Mitjà

Sigla	Jaciment	Matèria	Objecte	Espècie	Amp	Long	Gruix	Diam	Dim. Perf.	CRONOLOGIA
UE3489 68	La Gardunya	Mineral	Dena circular	Variscita			3,3	8,5	2	Neolític Mitjà
UE3489 73 a	La Gardunya	Mineral	Dena circular	Variscita			4,3	10,4	2,2	Neolític Mitjà
UE3489 73 b	La Gardunya	Mineral	Dena circular	Variscita			4,8	8,5	2	Neolític Mitjà
UE3489 73 c	La Gardunya	Mineral	Dena circular	Variscita			4,4	8,6	2	Neolític Mitjà
UE3489 73 d	La Gardunya	Mineral	Dena circular	Variscita			4,5	8,1	2	Neolític Mitjà
UE3489 73 e	La Gardunya	Mineral	Dena circular	Variscita			5,4	8,5	2	Neolític Mitjà
UE3489 73 f	La Gardunya	Mineral	Dena circular	Variscita			4,4	8,3	2,5	Neolític Mitjà
UE3489 73 g	La Gardunya	Mineral	Dena barrilet	Variscita	8,5	11,9	6,9		2	Neolític Mitjà
UE3489 14	La Gardunya	Mineral	-Dena allargada semi rectangular	Variscita	9	12	6,3	8,2x6,2	2,5	Neolític Mitjà
UE3489 49	La Gardunya	Mineral	Dena barrilet	Variscita	9,5	14,2	9,5	9x7,8-9x8,8	2,5	Neolític Mitjà
UE3489 61	La Gardunya	Mineral	-Dena allargada semi rectangular	Variscita	9,7	11,5	7,5	7,3x8,4-7,6x8,6	2,5	Neolític Mitjà
UE3489 15	La Gardunya	Mineral	-Dena allargada semi rectangular	Variscita	8,6	13,6	5	7,7x5,3-7,2x4,5	2,5	Neolític Mitjà
UE3489 64	La Gardunya	Mineral	-Dena allargada semi rectangular	Variscita	10,2	17,9	6,1	9x5,8-9x6,7	2,5	Neolític Mitjà
UE3489 69	La Gardunya	Mineral	Dena barrilet	Variscita		14	10	9-9,2	2,5	Neolític Mitjà
UE3489 50	La Gardunya	Mineral	Dena barrilet	Variscita	14	24,5	11,9	10,8-11,6	3,8-4,3	Neolític Mitjà
UE3489 42	La Gardunya	Mineral	Dena barrilet	Variscita	8,7	12,3	7,8	7,7-7,6x6,7	2,3-2	Neolític Mitjà
UE3489 16	La Gardunya	Mineral	-Dena allargada semi rectangular	Variscita	9,4	14,4	5,8	7,6x5,2-8,5x5,8	2	Neolític Mitjà
UE3489 65	La Gardunya	Mineral	Dena barrilet	Variscita	9,3	13	9,6	7,8-7,6	3,2	Neolític Mitjà
UE3489 54	La Gardunya	Mineral	Dena barrilet	Variscita	10	16	8,4	8,4x7-9x8,2	2	Neolític Mitjà
UE3489 57	La Gardunya	Mineral	-Dena allargada semi rectangular	Variscita	8,8	13,2	7,9	8,1x7,6-7,9	2,8	Neolític Mitjà
UE3488 (R9812)	La Gardunya	Os/Dent	Penjoll	Ullal biperforat	17	13	2,5	4,8-3,8		Neolític Mitjà
UE3485 (R9812) 25a	La Gardunya	Pedra	Dena circular	serpentina?			0,6	4	1,3	Neolític Mitjà
UE3485 (R9812) 25b	La Gardunya	Pedra	Dena circular	serpentina?			0,4	4	1,5	Neolític Mitjà
UE3488 (R9812)	La Gardunya	Pedra	Dena circular	serpentina?						Neolític Mitjà
UE3485 (R9812) 30	La Gardunya	Pedra	Dena circular	serpentina?						Neolític Mitjà
UE3485 (R9812) 27	La Gardunya	Pedra	Dena circular	serpentina?						Neolític Mitjà
UE3485 (R9812) 19	La Gardunya	Pedra	Dena circular	serpentina?			1,1	4	1,2	Neolític Mitjà
UE3485 (R9812) 28	La Gardunya	Pedra	Dena circular	serpentina?			1,1	4	1,2	Neolític Mitjà
UE3485 (R9812) 32	La Gardunya	Pedra	Dena circular	serpentina?			1,1	4	1,2	Neolític Mitjà
UE3485 (R9812) 35	La Gardunya	Pedra	Dena circular	serpentina?			1,1	4	1,2	Neolític Mitjà
UE3485 (R9812) 31	La Gardunya	Pedra	Dena circular	serpentina?			1,1	4	1,2	Neolític Mitjà
UE3485 (R9812) SN199	La Gardunya	Pedra	Dena circular	serpentina?			2,1-0,3	2,9-4,3	1-1,6	Neolític Mitjà
PRM-86-6-14	Pla riu Marcetes	Mineral	Penjoll	Variscita XRD	18	12	6		6x3x1.5	Neolític Mitjà
PRM-86-6-6	Pla riu Marcetes	Mineral	Dena-penjoll	Antigorita-serpentina	17	13	6,5	13	12x13,10x8	Neolític Mitjà
CR11-329-1-67	Can Roqueta II	Mineral	Dena circular	Variscita			3	10	3	Neolític Mitjà
CR11-329-1-68	Can Roqueta II	Mineral	Dena circular	Variscita			4	9	2	Neolític Mitjà
CR11-329-1-69	Can Roqueta II	Mineral	Dena circular	Variscita			3	8	2	Neolític Mitjà
CR11-329-1-70	Can Roqueta II	Mineral	Dena circular	Variscita			3	9	2	Neolític Mitjà
CR11-329-1-71	Can Roqueta II	Mineral	Dena circular	Variscita			3	10	1	Neolític Mitjà

Sigla	Jaciment	Matèria	Objecte	Espècie	Amp	Long	Gruix	Diam	Dim. Perf.	CRONOLOGIA
CRII-329-1-72	Can Roqueta II	Mineral	Dena circular	Varisicita			4	9	2	Neolític Mitjà
CRII-329-1-73	Can Roqueta II	Mineral	Dena circular	Varisicita			2	7	2	Neolític Mitjà
CRII-329-1-74	Can Roqueta II	Mineral	Dena circular	Varisicita			4	9	2	Neolític Mitjà
CRII-329-1-75	Can Roqueta II	Mineral	Dena circular	Varisicita			4	7	2	Neolític Mitjà
CRII-329-1-76	Can Roqueta II	Mineral	Dena circular	Varisicita			4	9	2	Neolític Mitjà
CRII-329-1-77	Can Roqueta II	Mineral	Dena circular	Varisicita			4	7	2	Neolític Mitjà
CRII-329-1-78	Can Roqueta II	Mineral	Dena circular	Varisicita			4	10	3	Neolític Mitjà
CRII-329-1-79	Can Roqueta II	Mineral	Dena circular	Varisicita			5	11	2	Neolític Mitjà

INVENTARI TECNOLOGIA DEFINITIU

Peça N. Antic	Tipus d'ornament	Espècie malacològica	Tècnica
CF07-1-2-93	Valva perforada	Glycymeris sp	Abrasió
CF07-1-1-88	Valva perforada	Glycymeris sp	Abrasió
CF07-1-1-87	Valva perforada	Glycymeris sp	Abrasió?
CF07-1-1-81	Valva perforada	Glycymeris sp	ND-natural
D03 JG/90 64	Valva perforada	Glycymeris bimaculata	Abrasió de l'umbo
D02 R4	Valva perforada	Cerastoderma glaucum	Abrasió de l'umbo
D03 JE89 15	Valva perforada	Glycymeris insubrica?	Abrasió
D03 JF 89 95	Valva perforada	Acanthocardia tuberculata	Abrasió
D03 JF 87 15	Valva perforada	Acanthocardia tuberculata	Abrasió + percussió
D10-3-473	Valva perforada	Cerastoderma glaucum	Abrasió
D11-IJ40-5-1837	Valva perforada	Cerastoderma glaucum	Abrasió + rotació
D11-JC78-4-1818	Valva perforada	Glycymeris sp	Abrasió + rotació
D12-JE78-7-4436	Valva perforada	Acanthocardia tuberculata	Abrasió zona umbo
D12-JA78-4786	Valva perforada	Cerastoderma glaucum	Abrasió a zona umbo
D00 E-238 5	Valva perforada	Glycymeris sp	Percussió controlada i rotació
D91 260	Valva perforada	Glycymeris glycymeris	Abrasió + rotació
D91 K298 W82	Valva perforada	Cerastoderma glaucum	Abrasió + rotació
D97 JD 84 7	Valva perforada	Glycymeris glycymeris	Percussió controlada + rotació
CRCRV2005-255-2-1038	Valva perforada	Glycymeris sp	Abrasió
CRCRV2005-255-2-650	Valva perforada	Glycymeris sp	Abrasió
CRCRV2005-255-2-26	Valva perforada	Glycymeris sp	Abrasió
MB-303-1-7	Valva perforada	Acanthocardia tuberculata	Abrasió + percussió
MB-299-4-11a	Valva perforada	Cardium sp	Rotació + abrasió
MB-337-1-8	Valva perforada	Acanthocardia tuberculata	Rotació
MB-326-1-1	Valva perforada	Glycymeris violascens	Fractura+ abrasió

MB-355-1-21	Valva perforada	Glycymeris sp	Rotació
MB-355-1-83	Valva perforada	Glycymeris sp	Fractura
MB-355-2-153	Valva perforada	Glycymeris violascens	Abrasió + rotació
EST-93-p	Valva perforada	Chamelea gallina	Abrasió + rotació
CRII-651-1-1	Valva perforada	Glycymeris sp	Abrasió umbo
CRII-651-1-10	Valva perforada	Glycymeris sp	Abrasió umbo
CRII-651-1-107	Valva perforada	Glycymeris sp	Abrasió umbo
CRII-651-1-108	Valva perforada	Glycymeris sp	Abrasió umbo
CRII-651-1-109	Valva perforada	Glycymeris sp	Abrasió umbo
CRII-651-1-12	Valva perforada	Glycymeris sp	Abrasió umbo
CRII-651-1-136	Valva perforada	Glycymeris sp	Abrasió umbo
CRII-651-1-14	Valva perforada	Glycymeris sp	Abrasió umbo
CRII-651-1-2	Valva perforada	Glycymeris sp	<i>natural</i>
CRII-651-1-3	Valva perforada	Glycymeris sp	Abrasió umbo
CRII-651-1-4	Valva perforada	Glycymeris sp	Abrasió umbo
CRII-651-1-5	Valva perforada	Glycymeris sp	Abrasió umbo
CRII-651-1-6	Valva perforada	Glycymeris sp	Abrasió umbo
CRII-651-1-7	Valva perforada	Glycymeris sp	Abrasió umbo
CRII-651-1-8	Valva perforada	Glycymeris sp	Abrasió umbo
CRII-651-1-93	Valva perforada	Glycymeris sp	Abrasió umbo

Peça N. Mitjà	Tipus d'ornament	Espècie malacològica	Tècnica
SMB-67-5-58a	Valva perforada	<i>Acanthocardia tuberculata</i>	Abrasió sense descartar pressió controlada
SMB-67-5-58d	Valva perforada	<i>Acanthocardia tuberculata</i>	Pressió controlada
MB-319-1-53	Valva perforada	<i>Glycymeris sp</i>	Abrasió umbo
MB1-88-1-17-1	Valva perforada	<i>Glycymeris sp</i>	Abrasió umbo
MB1-88-1-17-2	Valva perforada	ND	ND-natural
MB1-88-1-17-3	Valva perforada	<i>Glycymeris sp</i>	Abrasió umbo
MB1-88-1-17-4	Valva perforada	<i>Glycymeris sp</i>	Abrasió umbo
MB1-88-1-17-5	Valva perforada	<i>Glycymeris sp</i>	Abrasió umbo
MB1-88-1-17-6	Valva perforada	<i>Glycymeris sp</i>	Abrasió umbo
MB1-88-1-17-7	Valva perforada	<i>Glycymeris sp</i>	Abrasió umbo
MB1-88-1-17-8	Valva perforada	<i>Glycymeris sp</i>	Abrasió umbo

MB1-88-1-17-9	Valva perforada	<i>Glycymeris sp</i>	Abrasió umbo
MB1-88-1-17-10	Valva perforada	<i>Glycymeris sp</i>	Abrasió umbo
MB1-88-1-17-11	Valva perforada	<i>Glycymeris sp</i>	Abrasió umbo
MB1-88-1-17-12	Valva perforada	<i>Glycymeris sp</i>	Abrasió umbo
MB1-88-1-17-13	Valva perforada	<i>Glycymeris sp</i>	Abrasió umbo
MB1-88-1-17-14	Valva perforada	<i>Glycymeris sp</i>	Abrasió umbo
MB1-88-1-17-15	Valva perforada	<i>Glycymeris sp</i>	Abrasió umbo
MB1-88-1-17-16	Valva perforada	<i>Glycymeris sp</i>	Abrasió umbo
MB1-88-1-17-17	Valva perforada	<i>Glycymeris sp</i>	Abrasió umbo
MB1-88-1-17-18	Valva perforada	<i>Glycymeris sp</i>	Abrasió umbo
MB1-88-1-17-19	Valva perforada	<i>Glycymeris sp</i>	Abrasió umbo
MB1-88-1-17-20	Valva perforada	<i>Glycymeris sp</i>	Abrasió umbo
MB1-88-1-17-21	Valva perforada	<i>Glycymeris sp</i>	Abrasió umbo
MB1-88-1-17-22	Valva perforada	<i>Glycymeris sp</i>	Abrasió umbo
MB1-88-1-17-23	Valva perforada	<i>Glycymeris sp</i>	Abrasió umbo
MB1-88-1-17-24	Valva perforada	<i>Glycymeris sp</i>	Abrasió umbo
MB1-88-1-17-25	Valva perforada	<i>Glycymeris sp</i>	Abrasió umbo
MB1-88-1-17-26	Valva perforada	<i>Glycymeris sp</i>	Abrasió umbo
MB1-88-1-17-27	Valva perforada	<i>Glycymeris sp</i>	Abrasió umbo
MB1-88-1-17-28	Valva perforada	<i>Glycymeris sp</i>	Abrasió umbo
MB1-88-1-17-29	Valva perforada	<i>Glycymeris sp</i>	Abrasió umbo
MB1-88-1-17-30	Valva perforada	<i>Glycymeris sp</i>	Abrasió umbo
MB1-88-1-17-31	Valva perforada	<i>Glycymeris sp</i>	Abrasió umbo
MB1-88-1-17-32	Valva perforada	<i>Glycymeris sp</i>	Abrasió umbo
MB1-88-1-17-33	Valva perforada	<i>Glycymeris sp</i>	Abrasió umbo
MB1-88-1-17-34	Valva perforada	<i>Glycymeris sp</i>	Abrasió umbo
MB1-88-1-17-35	Valva perforada	<i>Glycymeris sp</i>	Abrasió umbo
MB1-88-1-17-36	Valva perforada	<i>Glycymeris sp</i>	Abrasió umbo
MB1-88-1-17-37	Valva perforada	<i>Glycymeris sp</i>	Abrasió umbo
MB1-88-1-17-38	Valva perforada	<i>Glycymeris sp</i>	Abrasió umbo + rotació
MB1-88-1-17-39	Valva perforada	<i>Glycymeris sp</i>	Abrasió umbo
MB1-88-1-17-40	Valva perforada	<i>Glycymeris sp</i>	Abrasió umbo
BM-1-1-10a 12229	Valva perforada	<i>Glycymeris sp</i>	Abrasió + pressió controlada
BM-1-1-10b 12230	Valva perforada	<i>Glycymeris sp</i>	Abrasió

BM-78-2-397 12546	Valva perforada	<i>Glycymeris glycymeris</i>	Abrasió dèbil +rotació
BM-78-2-398 12547	Valva perforada	<i>Glycymeris sp</i>	Abrasió
BM-78-2-985 12558	Valva perforada	<i>Glycymeris sp</i>	Abrasió
BM-78-2-544 12544	Valva perforada	<i>Glycymeris sp</i>	Abrasió
BM-78-2548 12545	Valva perforada	<i>Glycymeris sp</i>	Abrasió
BM-78-2-399 12542	Valva perforada	<i>Acanthocardia tuberculata</i>	Abrasió
BM-78-2-543 12543	Valva perforada	<i>Glycymeris sp</i>	Abrasió
BM-78-1-982 12569	Valva perforada	<i>Glycymeris glycymeris</i>	Abrasió + percussió +rotació
BM-MS69-1-2-12535	Valva perforada	<i>Glycymeris sp</i>	Abrasió
BM-MS79-1-26 12534	Valva perforada	<i>Glycymeris sp</i>	Abrasió
BM-MS65-1-2 12536	Valva perforada	<i>Glycymeris sp</i>	Abrasió
BM-MS44-1-15 12539	Valva perforada	<i>Glycymeris glycymeris</i>	Natural
BM-MS43-1-7 12537	Valva perforada	<i>Glycymeris glycymeris</i>	Natural
BM-MS7-1-226 12253	Valva perforada	<i>Glycymeris sp</i>	Natural
BM-MS7-12251	Valva perforada	<i>Glycymeris sp</i>	Abrasió
BM-MS7-1-7 12250	Valva perforada	<i>Glycymeris sp</i>	Abrasió
BM-MS7-1-217	Valva perforada	<i>Glycymeris sp</i>	Natural
BM-MS17-12541	Valva perforada	<i>Glycymeris sp</i>	Abrasió
BM-MS17-12540	Valva perforada	<i>Chamelea gallina</i>	Abrasió
BM-36-2784	Valva perforada	<i>Glycymeris sp</i>	Abrasió
BM-36-2784b	Valva perforada	<i>Glycymeris sp</i>	Abrasió i pressió
BM-36-2784c	Valva perforada	<i>Glycymeris sp</i>	Abrasió
BM-36-2249a	Valva perforada	<i>Glycymeris sp</i>	Percussió + rotació
BM-36-2249b	Valva perforada	<i>Glycymeris sp</i>	Natural
BM-M14-3	Valva perforada	<i>Glycymeris sp</i>	Abrasió
BM-H10-44	Valva perforada	<i>Glycymeris sp</i>	Abrasió
BM-H10-82	Valva perforada	<i>Glycymeris sp</i>	Abrasió
BM-M5-53	Valva perforada	<i>Glycymeris sp</i>	Abrasió
BM-11.3-127	Valva perforada	<i>Glycymeris sp</i>	Abrasió
BM-11.3-128	Valva perforada	<i>Glycymeris sp</i>	Abrasió
BM-I9-333	Valva perforada	<i>Glycymeris sp</i>	Abrasió
BM-10.4-625	Valva perforada	<i>Glycymeris sp</i>	Abrasió
BM-10.2-135	Valva perforada	<i>Glycymeris sp</i>	Abrasió

Peça N.Antic	Tipus d'ornament	Espècie malacològica	Tècnica
Can Filuà	Gasteròpode perforat amb espira	<i>Columbella rustica</i>	Fractura pressió controlada
La Draga	Gasteròpode perforat amb espira	<i>Columbella rustica</i>	percussió controlada
D04 R5 garbell	Gasteròpode perforat amb espira	<i>Columbella rustica</i>	percussió controlada
D03 R 1	Gasteròpode perforat amb espira	<i>Columbella rustica</i>	percussió controlada
D03 R 2	Gasteròpode perforat amb espira	<i>Columbella rustica</i>	percussió controlada
D03 R 3	Gasteròpode perforat amb espira	<i>Columbella rustica</i>	percussió controlada
D03 R 4	Gasteròpode perforat amb espira	<i>Columbella rustica</i>	percussió controlada
D03 R 6	Gasteròpode perforat amb espira	<i>Columbella rustica</i>	percussió controlada
D03 R 8	Gasteròpode perforat amb espira	<i>Columbella rustica</i>	percussió controlada
D03 R 9	Gasteròpode perforat amb espira	<i>Columbella rustica</i>	percussió controlada
D02 R2	Gasteròpode perforat amb espira	<i>Columbella rustica</i>	percussió controlada
D02 R3	Gasteròpode perforat amb espira	<i>Columbella rustica</i>	percussió controlada
D12-JD80-7-4834	Gasteròpode perforat amb espira	<i>Cerithium vulgatum</i> (<i>Gourmya rupestris</i>)	Abrasió lleu i percussió controlada
CF-X25-C5b-319	Gasteròpode perforat amb espira	<i>Columbella rustica</i>	Pressió controlada

D01 remenat 4	Gasteròpode perforat sense espira	<i>Columbella rustica</i>	Percussió controlada
D04 R6 garbell	Gasteròpode perforat sense espira	<i>Columbella rustica</i>	Abrasió espira
D02 R5	Gasteròpode perforat sense espira	<i>Nassarius mutabilis?</i>	Percussió controlada
D03 R 5	Gasteròpode perforat sense espira	<i>Columbella rustica</i>	Percussió controlada
D03 R 7	Gasteròpode perforat sense espira	<i>Columbella rustica</i>	Percussió controlada
MB-332-1-3	Gasteròpode perforat sense espira	<i>Bolinus/Charonia?</i>	Abrasió

Peça N. antic	Tipus d'ornament	Espècie malacològica	Tècnica
CF07-1-1-83	Dena	<i>Dentalium vulgare</i>	Fractura extrem apical per pressió
D95 B22/125 garbell	Dena	<i>Dentalium vulgare</i>	Fractura extrem apical per pressió
D04 sub EJ/73-1	Dena	<i>Dentalium vulgare</i>	ND rodat
D02 R1	Dena	<i>Dentalium vulgare</i>	Fractura extrem apical per pressió

D91-E88-2	Dena	<i>Dentalium vulgare</i>	Abrasió dels extrems
D91-J-27-NW-1	Dena	<i>Antalis sp</i>	Abrasió dels extrems
D10-VI-remenat	Dena	<i>Antalis sp</i>	ND rodat
D11-JJ81-8-1831-A	Dena	<i>Dentalium vulgare</i>	Abrasió dels extrems
D11-JJ78-6-1829	Dena	<i>Dentalium (Antalis?)</i>	Abrasió dels extrems
D11-KA78-7-1827	Dena	<i>Dentalium (Antalis?)</i>	Abrasió dels extrems
D11-KA79-7-1830	Dena	<i>Dentalium (Antalis?)</i>	Fractura dels extrems
D11-JJ81-8-1831-B	Dena	<i>Dentalium vulgare</i>	Fractura dels extrems
D95 B22-125	Dena	<i>Dentalium vulgare</i>	Abrasió dels extrems

Peça N. mitjà	Tipus d'ornament	Espècie malacològica	Tècnica
SMB-134-3-114	Dena	<i>Dentalium vulgare</i>	Fractura dels extrems per pressió
BM-SH3-16	Dena	<i>Dentalium sp</i>	Fractura dels extrems i abrasió
BM-SH3-17	Dena	<i>Dentalium sp</i>	Fractura dels extrems i abrasió
BM-SH3-18	Dena	<i>Dentalium sp</i>	Fractura dels extrems i abrasió
BM-SH3-19	Dena	<i>Antalis dentalium</i>	Fractura dels extrems i abrasió
BM-SH3-20	Dena	<i>Antalis dentalium</i>	Fractura dels extrems i abrasió
BM-SH3-21	Dena	<i>Dentalium sp</i>	Fractura dels extrems i abrasió
BM-SH3-22	Dena	<i>Dentalium sp</i>	Fractura dels extrems i abrasió
BM-SH3-23	Dena	<i>Antalis dentalium</i>	Fractura dels extrems i abrasió
BM-SH3-24	Dena	<i>Dentalium sp</i>	Fractura dels extrems i abrasió
BM-SH3-34	Dena	<i>Dentalium sp</i>	Fractura dels extrems i abrasió
BM-SH3-35	Dena	<i>Dentalium sp</i>	Fractura dels extrems i abrasió
BM-SH3-36	Dena	<i>Dentalium sp</i>	Fractura dels extrems i abrasió

BM-SH3-37	Dena	<i>Dentalium sp</i>	Fractura dels extrems i abrasió
BM-SH3-38	Dena	<i>Dentalium sp</i>	Fractura dels extrems i abrasió
BM-SH3-39	Dena	<i>Dentalium sp</i>	Fractura dels extrems i abrasió
BM-SH3-40	Dena	<i>Dentalium sp</i>	Fractura dels extrems i abrasió
BM-SH3-57	Dena	<i>Dentalium sp</i>	Fractura dels extrems i abrasió
BM-SH3-57b	Dena	<i>Dentalium sp</i>	Fractura dels extrems i abrasió

Peça N. Antic	Tipus d'ornament	Espècie malacològica	Tècnica
CA-2672-2 a CA-2672-22	Denes circulars	Cardium sp fòssil	Abrasió+rotació concèntrica estri
CA-2672-23 a CA-2672-228	Denes circulars	Cardium sp	Abrasió+rotació concèntrica estri unidireccional

D92-A18-2	Dena circular	Cardium sp	Abrasió+perforació rotació concèntrica
D91-16-1	Dena circular	cardium sp	Abrasió+perforació rotació concèntrica
D92-K-16	Dena circular	Cardium sp	Abrasió+perforació rotació concèntrica
D91-K-27-29	Dena circular	Cardium sp	Abrasió+perforació rotació concèntrica
D91-G-17-127	Dena circular	Cardium sp	Abrasió+perforació rotació concèntrica
D91-M-28	Dena circular	cardium sp	Abrasió+perforació rotació concèntrica
D91-S-28-14	Dena circular	Cardium sp	Abrasió+perforació rotació concèntrica
D91-J-29-18	Dena circular	Cardium sp	Abrasió+perforació rotació concèntrica
D91-I-29	Dena circular	Cardium sp	Abrasió+perforació rotació concèntrica
D91-M-27	Dena circular	Cardium sp	Abrasió+perforació rotació concèntrica
D10-3-449	Dena circular	Cardium sp	Abrasió+ perforació rotació concèntrica bipolar
D11-KD81-2-1825-B	Dena circular	Cardium sp	Abrasió+perforació rotació concèntrica bipolar
D11-MS17-E241-1823	Dena circular	Cardium sp	Abrasió+perforació rotació concèntrica bipolar

D11-E241-1-1820	Dena circular	Cardium sp	Abrasió+perforació rotació concèntrica
D11-KA78-7-1828	Dena circular	Cardium sp	Abrasió+perforació rotació concèntrica
D11-KA79-2-1822	Dena circular	Cardium sp	Abrasió+perforació rotació concèntrica
D11-KD81-2-1825-A	Dena circular	Cardium sp	Abrasió+perforació rotació concèntrica
D12-JE79-7-4313	Dena circular	Cardium sp	Abrasió+ perforació rotació concèntrica bipolar
D12-JE91-7-4307	Dena circular	Cardium sp	Abrasió+perforació rotació concèntrica bipolar
D13-JE43-6946	Dena circular	Cardium sp	Abrasió+perforació rotació concèntrica
D13-JB46-6672	Dena circular	Cardium sp	Abrasió+perforació rotació concèntrica

MHCB-20474-1 a MHCB-20474-46	Denes circulars	Cardium sp	Abrasió+perforació rotació concèntrica bipolar
MHCB-20472-60 a MHCB-20472-63	Denes circulars	Cardium sp	Abrasió+perforació rotació concèntrica bipolar
MHCB-28006-2 a MHCB-28006-31	Denes circulars	Cardium sp	Abrasió+perforació rotació concèntrica en dos temps bipolar
MHCB-28837-2 a MHCB-28837-12	Denes circulars	Cardium sp	Abrasió+perforació rotació concèntrica en dos temps bipolar
MHCB-28792-1 a MHCB-28792-25	Denes circulars	Cardium sp	Abrasió+perforació rotació concèntrica bipolar
MHCB-28793-1 a MHCB-28793-6	Denes circulars	Cardium sp	Abrasió+perforació rotació concèntrica bipolar
MHCB-28795-1 a MHCB-28795-4	Denes circulars	Cardium sp	Abrasió+perforació rotació concèntrica bipolar
MHCB-28803-2	Denes circulars	Cardium sp	Abrasió+perforació rotació concèntrica bipolar
MHCB-28802-1 a MHCB- 28802-10	Denes circulars	Cardium sp	Abrasió+perforació rotació concèntrica bipolar
MHCB-28804-1 a MHCB-28804-16	Denes circulars	Cardium sp	Abrasió+perforació rotació concèntrica bipolar
MHCB-28805-7	Dena circular	Cardium sp	Abrasió+perforació rotació concèntrica bipolar
MHCB-28805-8	Dena circular	Cardium sp	Abrasió+perforació rotació concèntrica bipolar
MHCB-28807-1	Dena circular	Cardium sp	Abrasió+perforació rotació concèntrica bipolar
MHCB-28797-2	Dena circular	Cardium sp	Abrasió+perforació rotació concèntrica bipolar

MCHB-28806-25 a MCHB-28806-31	Denes circulars	Cardium sp	Abrasió+perforació rotació concèntrica bipolar
----------------------------------	-----------------	------------	--

Peça N. Antic	Tipus d'ornament	Matèria	Tècnica
MHCB-28809-1	Dena circular	Lignit	Abrasió + Perforació concèntrica rot. Bipolar
MCHB-28811-4	Dena circular	Lignit	Abrasió + Perforació concèntrica rot. Bipolar
MHCB-28796-1	Dena circular	Calcita	Abrasió + Perforació concèntrica rot. bipolar
MHCB-20474-51 MHCB-20474-69	a Dena circular	Lignit	Abrasió + Perforació concèntrica rot. Bipolar
MHCB-20472-1 MHCB-20472-59	a Dena circular	Lignit	Abrasió + Perforació concèntrica rot. Bipolar
MHCB-28006-33 MHCB-28006-50	a Dena circular	Lignit	Abrasió + Perforació concèntrica rot. En dos temps
MHCB-28802-11 MHCB-28802-48	a Dena circular	Lignit	Abrasió + Perforació concèntrica rot. Bipolar
MHCB-28803-12 MHCB-28803-16	a Dena circular	Lignit	Abrasió + Perforació concèntrica rot. Bipolar
MHCB-28805-12 MHCB-28805-20	a Dena circular	Lignit	Abrasió + Perforació concèntrica rot. Bipolar
MHCB-28798-1 MHCB-28798-6	a Dena circular	Lignit	Abrasió + Perforació concèntrica rot. Bipolar
MHCB-28799-1 MHCB-28799-16	a Dena circular	Lignit	Abrasió + Perforació concèntrica rot. Bipolar
MHCB-28801-1 MHCB-28801-4	a Dena circular	Lignit	Abrasió + Perforació concèntrica rot. Bipolar
MCHB-28806-32 MCHB-28806-49	a Dena circular	Lignit	Poliment total abrasiu amb plànol còncau + Perforació concèntrica rot. bipolar
MHCB-28797-3	Dena circular	Lignit	Abrasió + Perforació concèntrica rot. Bipolar
MHCB-28804-17	Dena circular	Silicat	Abrasió + Perforació concèntrica rot. Bipolar

MHCB-28796-3	Dena circular	Serpentina/ anfíbolita?	Abrasió + Perforació concèntrica rot. Bipolar
--------------	---------------	----------------------------	---

Peça N. Mitjà	Tipus d'ornament	Matèria	Tècnica
BM-2-11787 65	Dena circular	Pedra tova (esteatita?)	Abrasió+perf.concetrica unipolar
BM-2-69 B3	Dena circular	Pedra tova (esteatita?)	Abrasió+perf.concetrica unipolar
BM-2-70 B3	Dena circular	Pedra tova (esteatita?)	Abrasió+perf.concetrica unipolar
BM-2-81 B3	Dena circular	Pedra tova (esteatita?)	Abrasió+perf.concetrica unipolar
BM-2-82 B3	Dena circular	Pedra tova (esteatita?)	Abrasió+perf.concetrica unipolar
BM-2-39 B4	Dena circular	Pedra tova (esteatita?)	Abrasió+perf.concetrica unipolar
BM-2-40 B4	Dena circular	Pedra tova (esteatita?)	Abrasió+perf.concetrica unipolar
BM-2-41 B4	Dena circular	Pedra tova (esteatita?)	Abrasió+perf.concetrica unipolar
BM-2-5 3C	Dena circular	Pedra tova (esteatita?)	Abrasió+perf.concetrica unipolar
BM-2-211 A2-A4	Dena circular	Pedra tova (esteatita?)	Abrasió+perf.concetrica unipolar
BM-2-212 A2-A4	Dena circular	Pedra tova (esteatita?)	Abrasió+perf.concetrica unipolar
BM-2-213 A2-A4	Dena circular	Pedra tova (esteatita?)	Abrasió+perf.concetrica unipolar
BM-2-214 A2-A4	Dena circular	Pedra tova (esteatita?)	Abrasió+perf.concetrica unipolar
BM-2-215 A2-A4	Dena circular	Pedra tova (esteatita?)	Abrasió+perf.concetrica unipolar
BM-2-44	Dena circular	Pedra tova (esteatita?)	Abrasió+perf.concetrica unipolar
BM-2-45	Dena circular	Pedra tova (esteatita?)	Abrasió+perf.concetrica unipolar
BM-2-46	Dena circular	Pedra tova (esteatita?)	Abrasió+perf.concetrica unipolar
BM-M5-208	Dena circular	Calaita (variscita)	Abrasió+perf.concetrica bipolar en dos temps

BM-M11-38	Dena circular	Calaiïta (variscita)	Abrasió+perf.concetrica bipolar en dos temps
BM-M7-452	Dena circular	Calaiïta (variscita)	Abrasió+perf.concetrica bipolar en dos temps
BM-H10-80	Dena circular	Calaiïta (variscita)	Abrasió+perf.concetrica bipolar en dos temps
BM-H10-43	Dena circular	Calaiïta (variscita)	Abrasió+perf.concetrica bipolar en dos temps
BM-H10-41	Dena circular	Calaiïta (variscita)	Abrasió+perf.concetrica bipolar en dos temps
BM-H10-42	Dena circular	Calaiïta (variscita)	Abrasió+perf.concetrica bipolar en dos temps
BM-G12-45	Dena circular	Calaiïta (variscita)	Abrasió+perf.concetrica bipolar en dos temps
BM-G12-145	Dena circular	Calaiïta (variscita)	Abrasió+perf.concetrica bipolar en dos temps
BM-G12-22	Dena circular	Calaiïta (variscita)	Abrasió+perf.concetrica bipolar en dos temps
BM-G9-12	Dena circular	Silicat-moscovita	Abrasió+perf.concetrica bipolar en dos temps
BM-G9-78	Dena circular	Silicat-moscovita	Abrasió+perf.concetrica bipolar en dos temps
BM-G9-69	Dena circular	Silicat-moscovita	Abrasió+perf.concetrica bipolar en dos temps
BM-G9-40	Dena circular	Silicat-moscovita	Abrasió+perf.concetrica bipolar en dos temps
BM-G9-73	Dena circular	Silicat-moscovita	Abrasió+perf.concetrica bipolar en dos temps
BM-G9-74	Dena circular	Silicat-moscovita	Abrasió+perf.concetrica bipolar en dos temps
BM-G9-75	Dena circular	Silicat-moscovita	Abrasió+perf.concetrica bipolar en dos temps
BM-G9-76	Dena circular	Silicat-moscovita	Abrasió+perf.concetrica bipolar en dos temps
BM-G9-77	Dena circular	Silicat-moscovita	Abrasió+perf.concetrica bipolar en dos temps
BM-G9-80	Dena circular	Silicat-moscovita	Abrasió+perf.concetrica bipolar en dos temps
BM-G9-81	Dena circular	Silicat-moscovita	Abrasió+perf.concetrica bipolar en dos temps
BM-G9-82	Dena circular	Silicat-moscovita	Abrasió+perf.concetrica bipolar en dos temps

BM-G9-83	Dena circular	Silicat-moscovita	Abrasió+perf.concetrica bipolar en dos temps
BM-G9-79	Dena circular	Silicat-moscovita	Abrasió+perf.concetrica bipolar en dos temps
BM-M9-89	Dena circular	Calaíta	Abrasió+perf.concetrica bipolar en dos temps
BM-M9-96	Dena circular	Calaíta	Abrasió+perf.concetrica bipolar en dos temps
BM-M15-69	Dena circular	Calaíta	Abrasió+perf.concetrica bipolar en dos temps
BM-M15-96	Dena circular	Calaíta	Abrasió+perf.concetrica bipolar en dos temps
BM-M15-74	Dena circular	Calaíta	Abrasió+perf.concetrica bipolar en dos temps
BM-M15-78	Dena circular	Calaíta	Abrasió+perf.concetrica bipolar en dos temps
BM-M15-91	Dena circular	Calaíta	Abrasió+perf.concetrica bipolar en dos temps
BM-M15-73	Dena circular	Calaíta	Abrasió+perf.concetrica bipolar en dos temps
BM-M15-72	Dena circular	Calaíta	Abrasió+perf.concetrica bipolar en dos temps
BM-M15-97	Dena circular	Calaíta	Abrasió+perf.concetrica bipolar en dos temps
BM-M15-80	Dena circular	Calaíta	Abrasió+perf.concetrica bipolar en dos temps
BM-M15-90	Dena circular	Calaíta	Abrasió+perf.concetrica bipolar en dos temps
BM-M15-68	Dena circular	Calaíta	Abrasió+perf.concetrica bipolar en dos temps
BM-M15-85	Dena circular	Calaíta	Abrasió+perf.concetrica bipolar en dos temps
BM-M15-52	Dena circular	Calaíta	Abrasió+perf.concetrica bipolar en dos temps
BM-M15-67	Dena circular	Calaíta	Abrasió+perf.concetrica bipolar en dos temps
BM-M15-79	Dena circular	Calaíta	Abrasió+perf.concetrica bipolar en dos temps
BM-M15-54	Dena circular	Calaíta	Abrasió+perf.concetrica bipolar en dos temps

BM-M15-24	Dena circular	Calaíta	Abrasió+perf.concetrica bipolar en dos temps
BM-M15-46	Dena circular	Calaíta	Abrasió+perf.concetrica bipolar en dos temps
BM-M15-154	Dena circular	Calaíta	Abrasió+perf.concetrica bipolar en dos temps
BM-M15-87	Dena circular	Calaíta	Abrasió+perf.concetrica bipolar en dos temps
BM-M15-92	Dena circular	Calaíta	Abrasió+perf.concetrica bipolar en dos temps
BM-M15-103	Dena circular	Calaíta	Abrasió+perf.concetrica bipolar en dos temps
BM-M15-102	Dena circular	Calaíta	Abrasió+perf.concetrica bipolar en dos temps
BM-M15-14	Dena circular	Calaíta	Abrasió+perf.concetrica bipolar en dos temps
BM-M15-155	Dena circular	Calaíta	Abrasió+perf.concetrica bipolar en dos temps
BM-M15-100	Dena circular	Calaíta	Abrasió+perf.concetrica bipolar en dos temps
BM-M15-16	Dena circular	Calaíta	Abrasió+perf.concetrica bipolar en dos temps
BM-M15-89	Dena circular	Calaíta	Abrasió+perf.concetrica bipolar en dos temps
BM-M15-99	Dena circular	Calaíta	Abrasió+perf.concetrica bipolar en dos temps
BM-M15-44	Dena circular	Calaíta	Abrasió+perf.concetrica bipolar en dos temps
BM-M15-23	Dena circular	Calaíta	Abrasió+perf.concetrica bipolar en dos temps
BM-M15-77	Dena circular	Calaíta	Abrasió+perf.concetrica bipolar en dos temps
BM-M15-15	Dena circular	Calaíta	Abrasió+perf.concetrica bipolar en dos temps
BM-M15-51	Dena circular	Calaíta	Abrasió+perf.concetrica bipolar en dos temps
BM-M15-49	Dena circular	Calaíta	Abrasió+perf.concetrica bipolar en dos temps
BM-M15-76	Dena circular	Calaíta	Abrasió+perf.concetrica bipolar en dos temps
BM-M15-47	Dena circular	Calaíta	Abrasió+perf.concetrica bipolar en dos temps

BM-M15-84	Dena circular	Calaíta	Abrasió+perf.concetrica bipolar en dos temps
BM-M15-81	Dena circular	Calaíta	Abrasió+perf.concetrica bipolar en dos temps
BM-M15-75	Dena circular	Calaíta	Abrasió+perf.concetrica bipolar en dos temps
BM-M15-70	Dena circular	Calaíta	Abrasió+perf.concetrica bipolar en dos temps
BM-M15-57	Dena circular	Calaíta	Abrasió+perf.concetrica bipolar en dos temps
BM-M15-98	Dena circular	Calaíta	Abrasió+perf.concetrica bipolar en dos temps
BM-G10-192	Dena circular	Calaíta	Abrasió+perf.concetrica bipolar en dos temps
BM-G10-69	Dena circular	Calaíta	Abrasió+perf.concetrica bipolar en dos temps
BM-G10-52	Dena circular	Calaíta	Abrasió+perf.concetrica bipolar en dos temps
BM-G10-51	Dena circular	Calaíta	Abrasió+perf.concetrica bipolar en dos temps
BM-G10-185	Dena circular	Calaíta	Abrasió+perf.concetrica bipolar en dos temps
BM-G10-187	Dena circular	Calaíta	Abrasió+perf.concetrica bipolar en dos temps
BM-G10-193	Dena circular	Calaíta	Abrasió+perf.concetrica bipolar en dos temps
BM-G10-181	Dena circular	Calaíta	Abrasió+perf.concetrica bipolar en dos temps
BM-G10-182	Dena circular	Calaíta	Abrasió+perf.concetrica bipolar en dos temps
BM-G10-190	Dena circular	Calaíta	Abrasió+perf.concetrica bipolar en dos temps
BM-G10-184	Dena circular	Calaíta	Abrasió+perf.concetrica bipolar en dos temps
BM-G10-189	Dena circular	Calaíta	Abrasió+perf.concetrica bipolar en dos temps
BM-G10-20	Dena circular	Calaíta	Abrasió+perf.concetrica bipolar en dos temps
BM-MS61-13-1 a BM-MS61-13- 35	Dena circular	Calaíta	Abrasió+perf.concetrica bipolar

BM-MS61-28-1	Dena circular	Calaíta	Abrasió+perf.concetrica bipolar
BM-MS61-28-2	Dena circular	Calaíta	Abrasió+perf.concetrica bipolar
BM-MS61-28-3	Dena circular	Calaíta	Abrasió+perf.concetrica bipolar
BM-MS61-37-2	Dena circular	Calaíta	Abrasió+perf.concetrica bipolar
BM-MS61-37-3	Dena circular	Calaíta	Abrasió+perf.concetrica bipolar
BM-MS61-37-4	Dena circular	Calaíta	Abrasió+perf.concetrica bipolar
BM-MS61-37-5	Dena circular	Calaíta	Abrasió+perf.concetrica bipolar
BM-MS61-37-6	Dena circular	Calaíta	Abrasió+perf.concetrica bipolar
BM-MS61-37-7	Dena circular	Calaíta	Abrasió+perf.concetrica bipolar
BM-MS61-37-8	Dena circular	Calaíta	Abrasió+perf.concetrica bipolar
BM-MS61-37-9	Dena circular	Calaíta	Abrasió+perf.concetrica bipolar
BM-MS61-37-10	Dena circular	Calaíta	Abrasió+perf.concetrica bipolar
BM-MS61-37-11	Dena circular	Calaíta	Abrasió+perf.concetrica bipolar
BM-MS61-37-12	Dena circular	Calaíta	Abrasió+perf.concetrica bipolar
BM-MS61-37-13	Dena circular	Calaíta	Abrasió+perf.concetrica bipolar
BM-MS61-37-14	Dena circular	Calaíta	Abrasió+perf.concetrica bipolar
BM-MS61-16-1	Dena circular	Calaíta	Abrasió+perf.concetrica bipolar
BM-MS61-16-2	Dena circular	Calaíta	Abrasió+perf.concetrica bipolar
BM-MS61-16-3	Dena circular	Calaíta	Abrasió+perf.concetrica bipolar
BM-MS61-16-4	Dena circular	Calaíta	Abrasió+perf.concetrica bipolar
BM-MS61-16-5	Dena circular	Calaíta	Abrasió+perf.concetrica bipolar
BM-MS61-16-6	Dena circular	Calaíta	Abrasió+perf.concetrica bipolar
BM-MS61-16-7	Dena circular	Calaíta	Abrasió+perf.concetrica bipolar
BM-MS61-18-5	Dena circular	Calaíta	Abrasió+perf.concetrica bipolar
BM-MS61-18-6	Dena circular	Calaíta	Abrasió+perf.concetrica bipolar
BM-MS61-21-1	Dena circular	Calaíta	Abrasió+perf.concetrica bipolar
BM-MS61-21-2	Dena circular	Calaíta	Abrasió+perf.concetrica bipolar
BM-MS61-17-1	Dena circular	Calaíta	Abrasió+perf.concetrica bipolar
BM-MS61-17-2	Dena circular	Calaíta	Abrasió+perf.concetrica bipolar
BM-MS61-17-3	Dena circular	Calaíta	Abrasió+perf.concetrica bipolar
BM-MS61-17-4	Dena circular	Calaíta	Abrasió+perf.concetrica bipolar
BM-MS61-14-1	Dena circular	Calaíta	Abrasió+perf.concetrica bipolar
BM-MS61-14-2	Dena circular	Calaíta	Abrasió+perf.concetrica bipolar

BM-MS61-14-3	Dena circular	Calaíta	Abrasió+perf.concetrica bipolar
BM-MS61-14-4	Dena circular	Calaíta	Abrasió+perf.concetrica bipolar
BM-MS61-14-5	Dena circular	Calaíta	Abrasió+perf.concetrica bipolar
BM-MS61-12	Dena circular	Calaíta	Abrasió+perf.concetrica bipolar
BM-MS61-11	Dena circular	Calaíta	Abrasió+perf.concetrica bipolar
BM-MS61-29-2	Dena circular	Calaíta	Abrasió+perf.concetrica bipolar
BM-MS61-10	Dena circular	Calaíta	Abrasió+perf.concetrica bipolar
BM-G9-1 a BM-G9-11	Dena circular	Calaíta	Abrasió+perf.concetrica bipolar
CRII-329-1-67 a CRII-329-1-79	Dena circular	Variscita	Abrasió+perf.concetrica bipolar
La Gardunya UE3485	Dena circular	Serpentina?	Abrasió+ perforació central unipolar rotativa unidireccional
La Gardunya UE3489 S/N	Dena circular	Variscita	Abrasió+ perforació central bipolar rotativa unidireccional
MB-313-1 a MB-313-65	Dena circular	Serpentina /amfibolíta	Abrasió+ perforació central unipolar rotativa
BM-2-11787 1 A BM-2-11787-65	Dena circular	serpentina/ amfibolíta?	Abrasió+ perforació central unipolar rotativa

Peça N. Mitjà	Tipus d'ornament	Matèria	Tècnica
BM-M7-452	Dena barrilet	Calaíta	Abrasió + doble perforació bicònica, des de els dos extrems bipolar en dos temps
BM-H10-41	Dena barrilet	Calaíta	Abrasió + doble perforació bicònica, des de els dos extrems bipolar en dos temps
BM-H10-42	Dena barrilet	Calaíta	Abrasió + doble perforació bicònica, des de els dos extrems bipolar en dos temps
BM-M9-84-83	Dena barrilet	Calaíta	Abrasió + doble perforació bicònica, des de els dos extrems bipolar en dos temps
BM-M15-22	Dena barrilet	Calaíta	Abrasió + doble perforació bicònica, des de els dos extrems bipolar en dos temps
BM-M15-94	Dena barrilet	Calaíta	Abrasió + doble perforació bicònica, des de els dos extrems bipolar en dos temps
BM-M15-12	Dena barrilet	Calaíta	Abrasió + doble perforació bicònica, des de els dos extrems bipolar en dos temps

BM-M15-13	Dena barrilet	Calaita	Abrasió + doble perforació bicònica, des de els dos extrems bipolar en dos temps
BM-M15-93	Dena barrilet	Calaita	Abrasió + doble perforació bicònica, des de els dos extrems bipolar en dos temps
BM-M15-88	Dena barrilet	Calaita	Abrasió + doble perforació bicònica, des de els dos extrems bipolar en dos temps
BM-M15-50	Dena barrilet	Calaita	Abrasió + doble perforació bicònica, des de els dos extrems bipolar en dos temps
BM-M15-101	Dena barrilet	Calaita	Abrasió + doble perforació bicònica, des de els dos extrems bipolar en dos temps
BM-M15-59	Dena barrilet	Calaita	Abrasió + doble perforació bicònica, des de els dos extrems bipolar en dos temps
BM-M15-55	Dena barrilet	Calaita	Abrasió + doble perforació bicònica, des de els dos extrems bipolar en dos temps
BM-M15-48	Dena barrilet	Calaita	Abrasió + doble perforació bicònica, des de els dos extrems bipolar en dos temps
BM-M15-19	Dena barrilet	Calaita	Abrasió + doble perforació bicònica, des de els dos extrems bipolar en dos temps
BM-M15-43	Dena barrilet	Calaita	Abrasió + doble perforació bicònica, des de els dos extrems bipolar en dos temps
BM-M15-86	Dena barrilet	Calaita	Abrasió + doble perforació bicònica, des de els dos extrems bipolar en dos temps
BM-M15-56	Dena barrilet	Calaita	Abrasió + doble perforació bicònica, des de els dos extrems bipolar en dos temps
BM-M15-153	Dena barrilet	Calaita	Abrasió + doble perforació bicònica, des de els dos extrems bipolar en dos temps
BM-G10-25	Dena barrilet	Calaita	Abrasió + doble perforació bicònica, des de els dos extrems bipolar en dos temps
BM-G10-11	Dena barrilet	Calaita	Abrasió + doble perforació bicònica, des de els dos extrems bipolar en dos temps
BM-MS61-37-15	Dena barrilet	Calaita	Abrasió + doble perforació bicònica, des de els dos extrems bipolar en dos temps
BM-MS61-20	Dena barrilet	Calaita	Abrasió + doble perforació bicònica, des de els dos extrems bipolar en dos temps
BM-MS61-19	Dena barrilet	Calaita	Abrasió + doble perforació bicònica, des de els dos extrems bipolar en dos temps
BM-MS61-18-1	Dena barrilet	Calaita	Abrasió + doble perforació bicònica, des de els dos extrems bipolar en dos temps
BM-MS61-18-2	Dena barrilet	Calaita	Abrasió + doble perforació bicònica, des de els dos extrems bipolar en dos temps
Peça N. Mitjà	Tipus d'ornament	Matèria	

			Tècnica
BM-MS61-18-4	Dena barrilet	Calaita	Abrasió + doble perforació bicònica, des de els dos extrems bipolar en dos temps
BM-MS15-1	Dena barrilet	Calaita	Abrasió + doble perforació bicònica, des de els dos extrems bipolar en dos temps
BM-MS15-2	Dena barrilet	Calaita	Abrasió + doble perforació bicònica, des de els dos extrems bipolar en dos temps
BM-MS15-3	Dena barrilet	Calaita	Abrasió + doble perforació bicònica, des de els dos extrems bipolar en dos temps
BM-MS15-4	Dena barrilet	Calaita	Abrasió + doble perforació bicònica, des de els dos extrems bipolar en dos temps
BM-MS15-5	Dena barrilet	Calaita	Abrasió + doble perforació bicònica, des de els dos extrems bipolar en dos temps
BM-MS61-21-3	Dena barrilet	Calaita	Abrasió + doble perforació bicònica, des de els dos extrems bipolar en dos temps
BM-H10-43	Dena bicònica globular	Calaita	Abrasió + doble perforació bicònica, des de els dos extrems bipolar en dos temps
BM-M15-17	Dena bicònica globular	Calaita	Abrasió + doble perforació bicònica, des de els dos extrems bipolar en dos temps
BM-M15-18	Dena globular	Calaita	Abrasió + doble perforació bicònica, des de els dos extrems bipolar en dos temps
BM-G10-188	Dena globular	Calaita	Abrasió + doble perforació bicònica, des de els dos extrems bipolar en dos temps

La Gardunya UE3489 73 g	Dena barrilet	Variscita	Abrasió + perforació doble, des de cada extrem, bipolar rotativa unidireccional
La Gardunya UE3489 49	Dena barrilet	Variscita	Abrasió + perforació doble, des de cada extrem, bipolar rotativa unidireccional
La Gardunya UE3489 69	Dena barrilet	Variscita	Abrasió + perforació doble, des de cada extrem, bipolar rotativa unidireccional
La Gardunya UE3489 50	Dena barrilet	Variscita	Abrasió + perforació doble, des de cada extrem, bipolar rotativa unidireccional
La Gardunya UE3489 42	Dena barrilet	Variscita	Abrasió + perforació doble, des de cada extrem, bipolar rotativa unidireccional
La Gardunya UE3489 65	Dena barrilet	Variscita	Abrasió + perforació doble, des de cada extrem, bipolar rotativa unidireccional
La Gardunya UE3489 54	Dena barrilet	Variscita	Abrasió + perforació doble, des de cada extrem, bipolar rotativa unidireccional

FM-214	Dena circular	Variscita	Poliment per abrasió + perforació bipolar directa rotativa concèntrica
--------	---------------	-----------	--

FM-222	Dena circular	Variscita	Poliment per abrasió + perforació bipolar directa rotativa concèntrica
FM-210	Dena tonelet	Variscita	Poliment per abrasió + perforació bipolar directa rotativa concèntrica
FM-220	Dena circular	Variscita	Poliment per abrasió + perforació bipolar directa rotativa concèntrica
FM-150	Dena circular	Variscita	Poliment per abrasió + perforació bipolar directa rotativa concèntrica
FM-206	Dena tonelet	Variscita	Poliment per abrasió + perforació bipolar directa rotativa concèntrica
FM-208	Dena tonelet	Variscita	Poliment per abrasió + perforació bipolar directa rotativa concèntrica
FM-215	Dena tonelet	Variscita	Poliment per abrasió + perforació bipolar directa rotativa concèntrica
FM-211	Dena tonelet	Variscita	Poliment per abrasió + perforació bipolar directa rotativa concèntrica
FM-207	Dena circular	Variscita	Poliment per abrasió + perforació bipolar directa rotativa concèntrica
FM-221	Dena circular	Variscita	Poliment per abrasió + perforació bipolar directa rotativa concèntrica
Peça N. Mitjà	Tipus d'ornament	Matèria	Tècnica
FM-212	Dena circular	Variscita	Poliment per abrasió + perforació bipolar directa rotativa concèntrica
FM-502	Dena circular	Variscita	Poliment per abrasió + perforació bipolar directa rotativa concèntrica
FM-209	Dena circular	Variscita	Poliment per abrasió + perforació bipolar directa rotativa concèntrica
FM-64 circular discoidal	Dena circular	Variscita	Poliment per abrasió + perforació bipolar directa rotativa concèntrica
FM-48c circular discoidal	Dena circular	Variscita	Poliment per abrasió + perforació bipolar directa rotativa concèntrica
FM-27c circular discoidal	Dena circular	Variscita	Poliment per abrasió + perforació bipolar directa rotativa concèntrica
FM-31c	Dena circular	Variscita	Poliment per abrasió + perforació bipolar directa rotativa concèntrica
FM-33c	Dena circular	Variscita	Poliment per abrasió + perforació bipolar directa rotativa concèntrica
FM-43c	Dena circular	Variscita	Poliment per abrasió + perforació bipolar directa rotativa concèntrica
FM-41c	Dena circular	Variscita	Poliment per abrasió + perforació bipolar directa rotativa concèntrica

FM-36c	Dena circular	Variscita	Poliment per abrasió + perforació bipolar directa rotativa concèntrica
FM-3c	Dena circular	Variscita	Poliment per abrasió + perforació bipolar directa rotativa concèntrica
FM-42c	Dena circular	Variscita	Poliment per abrasió + perforació bipolar directa rotativa concèntrica
FM-26c	Dena circular	Variscita	Poliment per abrasió + perforació bipolar directa rotativa concèntrica
FM-24c	Dena circular	Variscita	Poliment per abrasió + perforació bipolar directa rotativa concèntrica
FM-6tonelete	Dena tonelet	Variscita	Poliment per abrasió + perforació bipolar directa rotativa concèntrica
FM-11c	Dena circular	Variscita	Poliment per abrasió + perforació bipolar directa rotativa concèntrica
FM-13c	Dena circular	Variscita	Poliment per abrasió + perforació bipolar directa rotativa concèntrica
FM-17c	Dena circular	Variscita	Poliment per abrasió + perforació bipolar bicònica en dos temps directa rotativa concèntrica
FM-28t	Dena tonelet	Variscita	Poliment per abrasió + perforació bipolar bicònica en dos temps directa rotativa concèntrica
FM-29t	Dena tonelet	Variscita	Poliment per abrasió + perforació bipolar bicònica en dos temps directa rotativa concèntrica
FM-14t	Dena tonelet	Variscita	Poliment per abrasió + perforació bipolar bicònica en dos temps directa rotativa concèntrica
FM-16t	Dena tonelet	Variscita	Poliment per abrasió + perforació bipolar bicònica en dos temps directa rotativa concèntrica
FM-40t	Dena tonelet	Variscita	Poliment per abrasió + perforació bipolar bicònica en dos temps directa rotativa concèntrica
FM-10t	Dena tonelet	Variscita	Poliment per abrasió + perforació bipolar bicònica en dos temps directa rotativa concèntrica
FM-9t	Dena tonelet	Variscita	Poliment per abrasió + perforació bipolar bicònica en dos temps directa rotativa concèntrica
FM-4t	Dena tonelet	Variscita	Poliment per abrasió + perforació bipolar bicònica en dos temps directa rotativa concèntrica
FM-7t	Dena tonelet	Variscita	Poliment per abrasió + perforació bipolar bicònica en dos temps directa rotativa concèntrica
FM-19t	Dena tonelet	Variscita	Poliment per abrasió + perforació bipolar bicònica en dos temps directa rotativa concèntrica
Peça N. Mitjà	Tipus d'ornament	Matèria	Tècnica

FM-38t	Dena tonelet	Variscita	Poliment per abrasió + perforació bipolar bicònica en dos temps directa rotativa concèntrica
FM-1t	Dena tonelet	Variscita	Poliment per abrasió + perforació bipolar bicònica en dos temps directa rotativa concèntrica
FM-44t	Dena tonelet	Variscita	Poliment per abrasió + perforació bipolar bicònica en dos temps directa rotativa concèntrica
FM-snt	Dena tonelet	Variscita	Poliment per abrasió + perforació bipolar bicònica en dos temps directa rotativa concèntrica
FM-20t	Dena tonelet	Variscita	Poliment per abrasió + perforació bipolar bicònica en dos temps directa rotativa concèntrica
FM-3t	Dena tonelet	Variscita	Poliment per abrasió + perforació bipolar bicònica en dos temps directa rotativa concèntrica
FM-42t	Dena tonelet	Variscita	Poliment per abrasió + perforació bipolar bicònica en dos temps directa rotativa concèntrica
FM-22t	Dena tonelet	Variscita	Poliment per abrasió + perforació bipolar bicònica en dos temps directa rotativa concèntrica
FM-5t	Dena tonelet	Variscita	Poliment per abrasió + perforació bipolar bicònica en dos temps directa rotativa concèntrica
FM-46t biconica	Dena tonelet	Variscita	Poliment per abrasió + perforació bipolar bicònica en dos temps directa rotativa concèntrica
FM-21t biconica	Dena tonelet	Variscita	Poliment per abrasió + perforació bipolar bicònica en dos temps directa rotativa concèntrica
FM-26t biconica	Dena tonelet	Variscita	Poliment per abrasió + perforació bipolar bicònica en dos temps directa rotativa concèntrica
FM-8globular	Dena globular bicònica	Variscita	Poliment per abrasió + perforació bipolar bicònica en dos temps directa rotativa concèntrica
FM-12t	Dena tonelet	Variscita	Poliment per abrasió + perforació bipolar bicònica en dos temps directa rotativa concèntrica
FM-30c	Dena circular	Variscita	Poliment per abrasió + perforació bipolar directa rotativa concèntrica
FM-15t	Dena tonelet	Variscita	Poliment per abrasió + perforació bipolar bicònica en dos temps directa rotativa concèntrica
FM-h-circular	Dena circular	Variscita	Poliment per abrasió + perforació bipolar directa rotativa concèntrica
FM-32c	Dena circular	Variscita	Poliment per abrasió + perforació bipolar directa rotativa concèntrica
FM-25c	Dena circular	Variscita	Poliment per abrasió + perforació bipolar directa rotativa concèntrica
FM-I-circular	Dena circular	Variscita	Poliment per abrasió + perforació bipolar directa rotativa concèntrica
FM-39c	Dena circular	Variscita	Poliment per abrasió + perforació bipolar directa rotativa concèntrica

FM-37c	Dena circular	Variscita	Poliment per abrasió + perforació bipolar directa rotativa concèntrica
FM-F-circular	Dena circular	Variscita	Poliment per abrasió + perforació bipolar directa rotativa concèntrica
FM-35c	Dena circular	Variscita	Poliment per abrasió + perforació bipolar directa rotativa concèntrica
FM-46c	Dena circular	Variscita	Poliment per abrasió + perforació bipolar directa rotativa concèntrica
FM-34c	Dena circular	Variscita	Poliment per abrasió + perforació bipolar directa rotativa concèntrica
FM-c-circular	Dena circular	Variscita	Poliment per abrasió + perforació bipolar directa rotativa concèntrica
FM-d-circular	Dena circular	Variscita	Poliment per abrasió + perforació bipolar directa rotativa concèntrica
FM-48c	Dena circular	Variscita	Poliment per abrasió + perforació bipolar directa rotativa concèntrica

Peça N. Mitjà	Tipus d'ornament	Matèria	Tècnica
PRM-86-6-6.	Dena-penjoll	Antigorita-serpentina	Abrasió multidireccional+Rotació concèntrica bicònica bipolar

Peça N. Mitjà	Tipus d'ornament	Matèria	Tècnica
La Gardunya UE3489 14	Dena allargada semi-rectangular	Variscita	Abrasió + perforació doble, des de cada extrem, bipolar rotativa unidireccional
La Gardunya UE3489 61	Dena allargada semi-rectangular	Variscita	Abrasió + perforació doble, des de cada extrem, bipolar rotativa unidireccional
La Gardunya UE3489 15	Dena allargada semi-rectangular	Variscita	Abrasió + perforació doble, des de cada extrem, bipolar rotativa unidireccional
La Gardunya UE3489 64	Dena allargada semi-rectangular	Variscita	Abrasió + perforació doble, des de cada extrem, bipolar rotativa unidireccional
La Gardunya UE3489 16	Dena allargada semi	Variscita	Abrasió + perforació doble, des de cada extrem, bipolar rotativa unidireccional
La Gardunya UE3489 57	Dena allargada semi-rectangular	Variscita	Abrasió + perforació doble, des de cada extrem, bipolar rotativa unidireccional

Peça N. Mitjà	Tipus d'ornament	Matèria	Tècnica
BM-M9-7	Plaqueta rectangular	Calaita	Abrasió de superfícies unidireccionalment i multidireccionalment i contorns

BM-M9-88	Plaqueta rectangular	Calaïta	Abrasió de superfícies i contorns
BM-MS61-56	Plaqueta rectangular	Calaïta	Abrasió de superfícies unidireccionalment imultidireccionalment i contorns

Peça N. Antic	Tipus d'ornament	Espècie malacològica	Tècnica
D92 Est 16 , 22	Dena-penjoll	<i>Glycymeris sp</i>	Abrasió + perforació central concèntrica rotativa bipolar
D05 Sub FB73 4	Dena-penjoll	<i>Glycymeris sp</i>	Abrasió + perforació central concèntrica rotativa bipolar
D92 C19 4	Dena-penjoll	<i>Glycymeris sp</i>	Abrasió + perforació central concèntrica rotativa bipolar
D92-B-19	Dena-penjoll	<i>cardium sp</i>	Abrasió+perforació per rotació concèntrica unipolar
D92-OZ-16	Dena-penjoll	<i>Cardium sp</i>	Abrasió+perforació per rotació concèntrica unipolar
D92-A-16-3	Dena-penjoll	<i>Glycymeris sp/Spondylus?</i>	Abrasió + perforació central concèntrica rotativa bipolar
D92-OX-19-7	Dena-penjoll	<i>Glycymeris sp/Spondylus?</i>	Abrasió + perforació central concèntrica rotativa bipolar
D92-A18-10	Dena-penjoll	<i>Cardium sp</i>	Abrasió + perforació central concèntrica rotativa bipolar
D11-JC81-5-1835	Dena-penjoll	<i>Spondylus gaederopus</i>	Abrasió + perforació central concèntrica rotativa bipolar
D11-KB81-6-1821	Dena-penjoll	<i>Spondylus gaederopus</i>	Abrasió + perforació central concèntrica rotativa bipolar
D11-JJ81-8-1832	Dena-penjoll	<i>Glycymeris sp</i>	Abrasió + perforació central concèntrica rotativa bipolar
D11-JE81-7-2485 2544	Dena-penjoll	<i>Glycymeris sp</i>	Abrasió + perforació central concèntrica rotativa bipolar
D11-JD78-5-1834	Dena-penjoll	<i>Glycymeris sp</i>	Abrasió + perforació central concèntrica rotativa bipolar
D11-JI78-3-1836	Dena-penjoll	<i>Cardium sp</i>	Abrasió + perforació central concèntrica rotativa bipolar
D12-JE81-7-4312	Dena-penjoll	<i>Glycymeris sp</i>	Abrasió + perforació central concèntrica rotativa bipolar

D13-JA43-6677	Dena-penjoll	<i>Glycymeris sp</i>	Abrasió + perforació central concèntrica rotativa bipolar
D13-JA43-6939	Dena-penjoll	<i>Spondylus gaederopus</i>	Abrasió + perforació central concèntrica rotativa bipolar
D13-JH45-6648	Dena-penjoll	<i>Spondylus gaederopus</i>	Abrasió + perforació central concèntrica rotativa bipolar
D13-JE45-6999	Dena-penjoll	<i>Glycymeris sp</i>	Abrasió + perforació central concèntrica rotativa bipolar
D13-JA42-6936	Dena-penjoll	<i>Spondylus gaederopus</i>	Abrasió + perforació central concèntrica rotativa bipolar
D13-JB44-6254	Dena-penjoll	<i>Spondylus gaederopus</i>	Abrasió + perforació central concèntrica rotativa bipolar
D13-JA43-6937	Dena-penjoll	<i>Spondylus gaederopus</i>	Abrasió + perforació central concèntrica rotativa bipolar
D13-JA43-6938	Dena-penjoll	<i>Spondylus gaederopus</i>	Abrasió + perforació central concèntrica rotativa bipolar
D13-JH45-6665	Dena-penjoll	<i>Spondylus gaederopus</i>	Abrasió + perforació central concèntrica rotativa bipolar
D14-JE45-8294	Dena-penjoll	<i>Spondylus gaederopus</i>	Abrasió + perforació central concèntrica rotativa bipolar
D14-no coord-8292	Dena-penjoll	ND	Abrasió + perforació central concèntrica rotativa bipolar
D14-JC42-7799	Dena-penjoll	<i>Spondylus gaederopus</i>	Abrasió + perforació central concèntrica rotativa bipolar
D13-JB43-6669	Dena-penjoll	<i>Spondylus gaederopus</i>	Abrasió + perforació central concèntrica rotativa bipolar
D13-JA43-6940	Dena-penjoll	<i>Spondylus gaederopus</i>	Abrasió + perforació central concèntrica rotativa bipolar
D13-JF46-5696	Dena-penjoll	<i>Spondylus gaederopus</i>	Abrasió + perforació central concèntrica rotativa bipolar
D13-JE45-6709	Dena-penjoll	<i>Cardium sp fòssil?</i>	Abrasió + perforació central concèntrica rotativa bipolar
D13-JA42-6934	Dena-penjoll	<i>Glycymeris sp</i>	Abrasió + perforació central concèntrica rotativa bipolar
D13-JE45-5807	Dena-penjoll	<i>Spondylus gaederopus</i>	Abrasió + perforació central concèntrica rotativa bipolar
CA-2670 a	Dena-penjoll	<i>Glycymeris sp</i>	Abrasió + perforació central concèntrica rotativa bipolar
CA-2670 b	Dena-penjoll	<i>Glycymeris sp</i>	Abrasió + perforació central concèntrica rotativa bipolar
CA-2670 c	Dena-penjoll	<i>Spondylus</i>	Abrasió + perforació central concèntrica rotativa bipolar

CA 72.3	Dena-penjoll	<i>Spondylus?/Corall?</i>	Abrasió + perforació central concèntrica rotativa bipolar
CA-2670-1	Dena-penjoll	<i>Corall</i>	Abrasió + perforació central concèntrica rotativa bipolar
CA-2671-10	Dena-penjoll	<i>Glycymeris sp</i>	Abrasió + perforació central concèntrica rotativa bipolar
CA-2671-11	Dena-penjoll	<i>Spondylus sp</i>	Abrasió + perforació central concèntrica rotativa bipolar
CA-2671-12	Dena-penjoll	<i>Spondylus sp</i>	Abrasió + perforació central concèntrica rotativa bipolar
CA-2671-229	Dena-penjoll	<i>Glycymeris sp</i>	Abrasió + perforació central concèntrica rotativa bipolar
CA-2671-230	Dena-penjoll	<i>Glycymeris sp</i>	Abrasió + perforació central concèntrica rotativa bipolar
CA-2671-231 4.20	Dena-penjoll	<i>Spondylus</i>	Abrasió + perforació central concèntrica rotativa bipolar
CA-2671-232	Dena-penjoll	<i>Spondylus</i>	Abrasió + perforació central concèntrica rotativa bipolar
CA-2671-233	Dena-penjoll	<i>Spondylus</i>	Abrasió + perforació central concèntrica rotativa bipolar
CA-2671-234	Dena-penjoll	<i>Spondylus</i>	Abrasió + perforació central concèntrica rotativa bipolar
CA-2671-235	Dena-penjoll	<i>Spondylus</i>	Abrasió + perforació central concèntrica rotativa bipolar
CA-2671-236	Dena-penjoll	<i>Spondylus</i>	Abrasió + perforació central concèntrica rotativa bipolar
CA-2671-237	Dena-penjoll	<i>Glycymeris sp?</i>	Abrasió + perforació central concèntrica rotativa bipolar
CA-2671-238	Dena-penjoll	<i>Spondylus</i>	Abrasió + perforació central concèntrica rotativa bipolar
MHCB-28837-1	Dena-penjoll	<i>Glycymeris sp</i>	Abrasió + perforació central concèntrica rotativa bipolar
MHCB-28796-2	Dena-penjoll	<i>Cardium sp</i>	Abrasió + perforació central concèntrica rotativa bipolar
MHCB-28808-1	Dena-penjoll	<i>Glycymeris sp</i>	Abrasió + perforació central concèntrica rotativa bipolar

Peça N. Mitjà	Tipus d'ornament	Matèria	Tècnica
Bordellet E-93-d	Dena tubular circular	corall	Abrasió+Perforació concent. rotativa unidirecc bipolar
Bordellet E-93-f	Dena tubular circular	corall	Abrasió+Perforació concent. rotativa unidirecc bipolar

Bordellet E-93-g	Dena tubular circular	corall	Abrasió+Perforació concent. rotativa unidirecc bipolar
Bordellet E-93-h	Dena tubular circular	corall	Abrasió+Perforació concent. rotativa unidirecc bipolar
Bordellet E-93-i	Dena tubular circular	corall	Abrasió+Perforació concent. rotativa unidirecc bipolar
Bordellet E-93-j	Dena tubular circular	corall	Abrasió+Perforació concent. rotativa unidirecc bipolar
Bordellet E-93-k	Dena tubular circular	corall	Abrasió+Perforació concent. rotativa unidirecc bipolar
Bordellet E-93-o	Dena tubular circular	corall	Abrasió+Perforació concent. rotativa unidirecc bipolar

Peça N. Mitjà	Tipus d'ornament	Matèria	Tècnica
BM-H10-80	Dena tubular	Calaita	Poliment abrasiu + perforació concèntrica rotativa bipolar
BM-M9-6	Dena tubular	Calaita	Poliment abrasiu + perforació concèntrica rotativa bipolar
BM-M15-71	Dena tubular	Calaita	Poliment abrasiu + perforació concèntrica rotativa bipolar
BM-M15-45	Dena tubular	Corall rosat	Poliment abrasiu + perforació concèntrica rotativa bipolar
BM-M15-53	Dena tubular	Corall rosat	Poliment abrasiu + perforació concèntrica rotativa bipolar
BM-G10-30	Dena tubular	Calaita	Poliment abrasiu + perforació concèntrica rotativa bipolar
BM-G10-186	Dena tubular	Calaita	Poliment abrasiu + perforació concèntrica rotativa bipolar
BM-G10-26	Dena tubular	Calaita	Poliment abrasiu + perforació concèntrica rotativa bipolar
BM-G10-183	Dena tubular	Calaita	Poliment abrasiu + perforació concèntrica rotativa bipolar
BM-MS61-28-5	Dena tubular	Corall	Poliment abrasiu + perforació concèntrica rotativa bipolar
BM-MS61-37-16	Dena tubular	Corall	Poliment abrasiu + perforació concèntrica rotativa bipolar
BM-MS61-16-8	Dena tubular	Corall	Poliment abrasiu + perforació concèntrica rotativa bipolar
BM-MS61-29-1	Dena tubular	Calaita	Poliment abrasiu + perforació concèntrica rotativa bipolar

Peça N. Antic	Tipus d'ornament	Espècie	Tècnica
El Bordellet E-93-a.	Penjoll lonsàgic	Glycymeris sp	Abrasió+Perforació concèntrica rotativa unidireccional bipolar

Peça N. Antic	Tipus d'ornament	Espècie	Tècnica
BM-2-216 11786	Penjoll	Glycymeris sp	Abrasio+ rotació concèntrica bipolar

Peça N. Antic	Tipus d'ornament	Matèria	Tècnica
MHCB-28791-1.	Penjoll.	Variscita.	Abrasió+ Perforació concèntrica rot. En dos temps bipolar.
D14-JG43-8523.	Penjoll	Marbre	Abrasió. No conserva la perforació.

Peça N. Mitjà	Tipus d'ornament	Matèria	Tècnica
PRM-86-6-14	Penjoll	Variscita	Abrasio+ rotació concèntrica bipolar

Peça N. Antic	Tipus d'ornament	Matèria	Tècnica
D95-0Z-21-9	Anella-disc	Os/ND	Abrasió latero-transversal i perforació directa per rotació concèntrica
D10-431-E240	Anella-disc	Os/Cap de fèmur	Abrasio+perforació directa rotativa+incisions i ranures estri lític a la superfície i vora
D10-1852-E241	Anella-disc	Os/Cap de fèmur	Abrasió latero-transversal i perforació directa rotació concèntrica
D10-2-E240	Anella-disc	Os/Cap de fèmur	Abrasió latero-transversal i perforació directa rotació concèntrica bipolar

Peça N. Antic	Tipus d'ornament	Espècie	Tècnica
D10-7-837	Anella-disc	Spondylus gaederopus	Abrasió + perforació bipolar rotativa concèntrica i poliment amb estri dins orifici
CRII-775-1-17	Anella-disc	Glycymeris sp	Abrasio+ perforació rotativa concèntrica bipolar +asserrat o ranuratge a la vora.

Peça N. Antic	Tipus d'ornament	Espècie /deter.	Tècnica
D95 C21/106	Anell	Os ND	Fragmentació per asserrat +Poliment abrasiu superfície i contorns.
D97 JC/85 1	Anell	Os ND	Fragmentació per asserrat +Poliment abrasiu superfície i contorns.
D91 H30SE1, J25SE26, J25SW36	Anell	Os ND	Fragmentació per asserrat +Poliment abrasiu superfície i contorns.
D91 Est 52 29 (E3,42)	Anell	Os ND	Fragmentació per asserrat +Poliment abrasiu superfície i contorns.
D04 JH 92 1	Anell	Tibia Ovicaprí	Fragmentació per asserrat +Poliment abrasiu superfície i contorns.
D03 JG87 3	Anell	Banya ungulat (cèvid)	Fragmentació per asserrat +Poliment abrasiu superfície i contorns.
D92 GY18 12	Anell	Os/Banya a	Fragmentació per asserrat +Poliment abrasiu superfície i contorns.
D05 KE 86 15	Anell	Tibia Ovicaprí	Fragmentació per asserrat +Poliment abrasiu superfície i contorns.
D11-JA81 JB81-6-432- 2434	Anell	Banya ungulat (cèvid)	Fragmentació per asserrat +Poliment abrasiu superfície i contorns.

D92 OW16 45	Anell amb cobertura blanca	Os/Banya	Fragmentació per asserrat +Poliment abrasiu superfície i contorns.
D95 E21/32	Anell amb cobertura blanca	Os/Banya	Fragmentació per asserrat +Poliment abrasiu superfície i contorns
D92 A17/20 garbell	Anell amb cobertura blanca	Os/Banya	Fragmentació per asserrat +Poliment abrasiu superfície i contorns

D03 JE88 9	Anell amb dues protuberàncies	tibia Ovicaprí	Fragmentació per asserrat +Poliment abrasiu superfície i contorns. Ranures incises en semicercle.
D-F-18-29	Anell amb dues protuberàncies	Os ND	Fragmentació per asserrat +Poliment abrasiu superfície i contorns. Ranures incises en semicercle.
D12-IJ80-6a- 4851	Anell amb dues protuberàncies	Banya	Fragmentació per asserrat +Poliment abrasiu superfície i contorns. Ranures incises en semicercle

D92 OY16 19	Anell amb protuberància	Os/Banya	Fragmentació per aserrat +Poliment abrasiu superfície i contorns. Ranures incises en semicercle.
D98 JG85 35	Anell amb protuberància	Os/Banya	Fragmentació per aserrat +Poliment abrasiu superfície i contorns. Ranures incises en semicercle
D-I-23 NE	Anell amb protuberància	Banya	Fragmentació per aserrat +Poliment abrasiu superfície i contorns. Ranures incises en semicercle.
D92 0416 19	Anell amb protuberància	Banya	Fragmentació per aserrat +Poliment abrasiu superfície i contorns. Ranures incises en semicercle
D03 R 25	Anell decorat incisions	tibia Ovicaprí	Fragmentació per aserrat +Poliment abrasiu superfície i contorns. Ranures incises en semicercle. Decoracions: incision estri lític.

D91 N30 SE 9	Fragment d'anell	A DET	Fragmentació per aserrat +Poliment abrasiu superfície i contorns
D11-KB81-6-1855	Fragment d'anell	ungulat (cèrvid)	Fragmentació per aserrat +Poliment abrasiu superfície i contorns
D11-JB81-6-2431	Fragment d'anell	ungulat (cèrvid)	Fragmentació per aserrat +Poliment abrasiu superfície i contorns
D11-KA78-6-1850	Fragment d'anell	?	Fragmentació per aserrat +Poliment abrasiu superfície i contorns
D12-IJ81-6a-4305	Fragment d'anell	ungulat (cèrvid)	Fragmentació per aserrat +Poliment abrasiu superfície i contorns
CF-S21-talla 21-b (C6)	fragment d'anell	Banya unguat	Fragmentació per aserrat +Poliment abrasiu superfície i contorns

Peça N. Antic	Tipus d'ornament	Espècie	Tècnica
SMB-22-6-154	Braçalet	Glycymeris glycymeris	Percussió directa i fractura del cos+ poliment abrasiu de superfícies i contorns.
SMB-117-1-32	Braçalet	Glycymeris glycymeris	Percussió directa i fractura del cos+ poliment abrasiu de superfícies i contorns.
MB-333-1-C	Fragment Braçalet	Glycymeris sp	Percussió directa i fractura del cos+ poliment abrasiu de superfícies i contorns.
CF-V24-C5a-85	fragment Braçalet	Glycymeris violascens	Percussió directa i fractura del cos+ poliment abrasiu de superfícies i contorns + rebaix umbo.

Peça N. Mitjà	Tipus d'ornament	Espècie	Tècnica
Segudet-1	Braçalet	Glycymeris glycymeris	Percussió directa i fractura del cos+ poliment abrasiu de superfícies i contorns.

Segudet-2	Braçalet	Glycymeris glycymeris	Percussió directa i fractura del cos+ poliment abrassiu de superfícies i contorns.
Segudet-3	Braçalet	Glycymeris glycymeris	Percussió directa i fractura del cos+ poliment abrassiu de superfícies i contorns.

Peça N. Antic	Tipus d'ornament	Matèria	Tècnica
D10-8-915	Braçalet	Marbre	Percussió directa i fractura + poliment abrassiu de superfícies i contorns. El poliment és uniforme realitzat en dos temps (hi ha un esbiaixament exvasat al sector gris) i traces verticals internes dins l'orifici del trepant-mola.
PM-E4	Braçalet articulat	Marbre	Percussió directa i fractura del cos+ poliment abrassiu de superfícies i contorns.+ perforació directa concèntrica per orificis d'articulació.
D13-JE46-5826	Fragment Braçalet	Calcària	Percussió directa i fractura + poliment abrassiu de superfícies i contorns

Peça N. Antic	Tipus d'ornament	Matèria	Tècnica
D12-JH80-7-4316a	Dena oval	Prunus avium	Abrasió en dos plànols, biperforada
D12-JH80-7-4316b	Dena oval	Prunus avium	Abrasió en dos plànols, biperforada
D12-JH81-7-4315	Dena oval	Prunus avium	Abrasió en dos plànols, biperforada
D12-JF81-7-4314	Dena oval	Prunus avium	Abrasió en dos plànols, biperforada
D12-JH80-7-4306	Dena oval	Prunus avium	Abrasió en dos plànols, biperforada
D12-JH81-7-4309a	Dena oval	Prunus avium	Abrasió en dos plànols, biperforada
D12-JH81-7-4309b	Dena oval	Prunus avium	Abrasió en dos plànols, biperforada
D12-JG80-7-4310	Dena oval	Prunus avium	Abrasió en dos plànols, biperforada
D02 Flotació grana Prunus 20	Dena oval	Prunus avium	Plànol d'abrasió en dos plànols, biperforada
D02 Flotació grana Prunus 46a	Dena oval	Prunus avium	Plànol d'abrasió en dos plànols, biperforada
D02 Flotació grana Prunus 46b	Dena oval	Prunus avium	Plànol d'abrasió en dos plànols, biperforada
D02 Flotació grana Prunus 46c	Dena oval	Prunus avium	Plànol d'abrasió en dos plànols, biperforada
D02 Flotació grana Prunus 46d	Dena oval	Prunus avium	Plànol d'abrasió en dos plànols, biperforada
D05-19 Flotació grana Prunus	Dena oval	Prunus avium	Plànol còncav abrassiu en els dos plànols, biperforada

D05-14a grana Prunus	Dena oval	Prunus avium	Abrasió en dos plànols, biperforada
-------------------------	-----------	--------------	-------------------------------------

Peça N. Antic	Tipus d'ornament	Espècie	Tècnica
SMB-22-4-17	Penjoll	Ullal suïd	Poliment abrasiu+ perforació directa unipolar concèntrica rotativa amb estri lític
SMB-22-6-153	Penjoll	Ullal suïd	Poliment abrasiu+ perforació directa unipolar concèntrica rotativa amb estri lític

Peça N. Mitjà	Tipus d'ornament	Espècie	Tècnica
La gardunya UE3488 (R9812)	Penjoll	Ullal suïd biperforat	Poliment abrasiu+ perforació directa unipolar concèntrica rotativa unidireccional amb estri lític de doble perforació central per cara interna